

REPORT ON THE TUNA FISHERY, STOCKS, AND ECOSYSTEM IN THE EASTERN PACIFIC OCEAN IN 2021

A.	The fishery for tunas and billfishes in the eastern Pacific Ocean	5
B.	Yellowfin tuna	59
C.	Skipjack tuna	82
D.	Bigeye tuna.....	88
E.	Pacific bluefin tuna.....	108
F.	Albacore tuna.....	115
G.	Swordfish.....	126
H.	Blue marlin	132
I.	Striped marlin.....	134
J.	Sailfish	138
K.	Sharks	143
L.	Ecosystem considerations.....	149

INTRODUCTION

This report provides a summary of the catches and effort in 2021 of the fishery for tunas in the eastern Pacific Ocean (EPO), for whose management the Inter-American Tropical Tuna Commission (IATTC) is responsible. It is based on data available to the IATTC staff in March 2022; therefore, some of the data for 2020 and 2021 are incomplete, and all data for 2020 and 2021 should be considered preliminary. Any changes in the fishery statistics provided in this report for the years prior to 2020 are due to data updates reported by CPCs.

All weights of catches and discards are in metric tons (t). In the tables, 0 means no effort, or a catch of less than 0.5 t; - means no data collected; * means data missing or not available. The following acronyms are used:

Species:	
ALB	Albacore tuna (<i>Thunnus alalunga</i>)
BET	Bigeye tuna (<i>Thunnus obesus</i>)
BIL	Unidentified istiophorid billfishes
BKJ	Black skipjack (<i>Euthynnus lineatus</i>)
BLM	Black marlin (<i>Makaira indica</i>)
BUM	Blue marlin (<i>Makaira nigricans</i>)
BZX	Bonito (<i>Sarda</i> spp.)
MLS	Striped marlin (<i>Kajikia audax</i>)
PBF	Pacific bluefin tuna (<i>Thunnus orientalis</i>)
SFA	Indo-Pacific sailfish (<i>Istiophorus platypterus</i>)
SKJ	Skipjack tuna (<i>Katsuwonus pelamis</i>)
SSP	Shortbill spearfish (<i>Tetrapturus angustirostris</i>)
SWO	Swordfish (<i>Xiphias gladius</i>)
TUN	Unidentified tunas
YFT	Yellowfin tuna (<i>Thunnus albacares</i>)

Fishing gears:	
FPN	Trap
GN	Gillnet
HAR	Harpoon
LL	Longline
LP	Pole and line
LTL	Troll
LX	Hook and line
OTR	Other ¹
UNK	Unknown
PS	Purse seine
RG	Recreational
TX	Trawl

Ocean areas:	
EPO	Eastern Pacific Ocean
WCPO	Western and Central Pacific Ocean

¹ Used to group known gear types

Set types:

DEL	Dolphin
NOA	Unassociated school
OBJ	Floating object
	LOG: Flotsam
	FAD: Fish-aggregating device

Flags:

IATTC Members & Cooperating Non-Members

BLZ	Belize
BOL	Bolivia
CAN	Canada
CHL	Chile
CHN	China
COL	Colombia
CRI	Costa Rica
ECU	Ecuador
EUR	European Union
EU (CYP)	Cyprus
EU (ESP)	Spain
EU (PRT)	Portugal
FRA	France
FRA (PYF)	French Polynesia
GTM	Guatemala
HND	Honduras
IDN	Indonesia
JPN	Japan
KIR	Kiribati
KOR	Republic of Korea
LBR	Liberia
MEX	Mexico
NIC	Nicaragua
PAN	Panama
PER	Peru
SLV	El Salvador
TWN	Chinese Taipei
USA	United States of America
VEN	Venezuela
VUT	Vanuatu

Other flag codes

COK	Cook Islands
NZL	New Zealand
RUS	Russia
VCT	St. Vincent and the Grenadines
UNK	Unknown

Stock assessment:

B	Biomass
C	Catch
CPUE	Catch per unit of effort
F	Rate of fishing mortality
MSY	Maximum sustainable yield
S	Index of spawning biomass
SBR	Spawning biomass ratio
SSB	Spawning stock biomass

INFORME SOBRE LA PESQUERÍA ATUNERA, LAS POBLACIONES, Y EL ECOSISTEMA EN EL OCÉANO PACÍFICO ORIENTAL EN 2021

A.	La pesquería de atunes y peces picudos en el Océano Pacífico oriental.....	51
B.	Atún aleta amarilla	76
C.	Atún barrilete	87
D.	Atún patudo	103
E.	Atún aleta azul del Pacífico	112
F.	Atún albacora	122
G.	Pez espada.....	130
H.	Marlín azul.....	133
I.	Marlín rayado	136
J.	Pez vela.....	141
K.	Tiburón sedoso.....	147
L.	Consideraciones ecosistémicas	196

INTRODUCCIÓN

El presente informe contiene un resumen de las capturas y esfuerzo en 2021 de la pesquería atunera en el Océano Pacífico oriental (OPO), de cuya ordenación la Comisión Interamericana del Atún Tropical (CIAT) es responsable. Se basa en datos disponibles al personal de la CIAT en marzo de 2022; por lo tanto, algunos de los datos de 2020 y 2021 son incompletos, y se debe considerar preliminares todos los datos de 2020 y 2021. Cualquier cambio en las estadísticas de pesca proporcionadas en este informe para los años anteriores a 2020 se debe a las actualizaciones de datos notificadas por los CPC.

Se expresan los pesos de capturas y descartes en toneladas métricas (t). En las tablas, 0 significa ningún esfuerzo o una captura de menos de 0.5 t; - significa que no se tomaron datos; * significa datos faltantes o no disponibles. Se usan las siguientes siglas:

Especies:	
ALB	Atún albacora (<i>Thunnus alalunga</i>)
BET	Atún patudo (<i>Thunnus obesus</i>)
BIL	Peces picudos istiofóridos no identificados
BKJ	Atún barrilete negro (<i>Euthynnus lineatus</i>)
BLM	Marlín negro (<i>Makaira indica</i>)
BUM	Marlín azul (<i>Makaira nigricans</i>)
BZX	Bonito (<i>Sarda spp.</i>)
MLS	Marlín rayado (<i>Kajikia audax</i>)
PBF	Atún aleta azul del Pacífico (<i>Thunnus orientalis</i>)
SFA	Pez vela del Indo-Pacífico (<i>Istiophorus platypterus</i>)
SKI	Atún barrilete (<i>Katsuwonus pelamis</i>)
SSP	Marlín trompa corta (<i>Tetrapturus angustirostris</i>)
SWO	Pez espada (<i>Xiphias gladius</i>)
TUN	Atunes no identificados

YFT	Atún aleta amarilla (<i>Thunnus albacares</i>)
Artes de pesca:	
FPN	Almadraba
GN	Red agallera
HAR	Arpón
LL	Palangre
LP	Caña
LTL	Curricán
LX	Sedal y anzuelo
OTR	Otras ¹
UNK	Desconocido
PS	Red de cerco
RG	Deportivo
TX	Red de arrastre
Áreas oceánicas:	
EPO	Océano Pacífico oriental
WCPO	Océano Pacífico occidental y central

¹ Usado para agrupar artes conocidas

Tipos de lance:

DEL	Delfín
NOA	Atunes no asociados
OBJ	Objeto flotante
	LOG: natural
	FAD: plantado

Banderas:

Miembros y no Miembros Cooperantes de la CIAT

BLZ	Belice
BOL	Bolivia
CAN	Canadá
CHL	Chile
CHN	China
COL	Colombia
CRI	Costa Rica
ECU	Ecuador
EUR	Unión Europea
EU (CYP)	Chipre
EU (ESP)	España
EU (PRT)	Portugal
FRA	Francia
FRA (PYF)	Polinesia Francesa
GTM	Guatemala
HND	Honduras
IDN	Indonesia
JPN	Japón
KIR	Kiribati
KOR	República de Corea
LBR	Liberia
MEX	México
NIC	Nicaragua
PAN	Panamá
PER	Perú
SLV	El Salvador
TWN	Taipéi Chino
USA	Estados Unidos de América
VEN	Venezuela
VUT	Vanuatu

Otros códigos de bandera

COK	Islas Cook
NZL	Nueva Zelanda
RUS	Rusia
VCT	San Vicente y Granadinas
UNK	Desconocido

Evaluación de poblaciones:

B	Biomasa
C	Captura
CPUE	Captura por unidad de esfuerzo
F	Tasa de mortalidad por pesca
MSY	Rendimiento máximo sostenible
S	Índice de biomasa reproductora
SBR	Cociente de biomasa reproductora
SSB	Biomasa de la población reproductora
SSI	Indicador de condición de población

A. THE FISHERY FOR TUNAS AND BILLFISHES IN THE EASTERN PACIFIC OCEAN

Introduction	5
1. Catches and landings of tunas, billfishes, and associated species.....	5
2. Catches by species	6
3. Catches and fishing effort	8
4. Distributions of the catches of tropical tunas.....	9
5. Size compositions of the catches of tunas	9
6. The fleets.....	11

INTRODUCTION

This document summarizes the catches and effort of the fisheries for species covered by the IATTC's Antigua Convention ("*tunas and tuna-like species and other species of fish taken by vessels fishing for tunas and tuna-like species*") in the eastern Pacific Ocean (EPO) in 2021. The most important of these species are the scombrids (family Scombridae), which include tunas, bonitos, seerfishes, and some mackerels. The principal species of tunas caught are the three tropical tuna species (yellowfin, skipjack, and bigeye), followed by the temperate tunas (albacore, and lesser catches of Pacific bluefin); other scombrids, such as bonitos and wahoo, are also caught. In addition to the tunas, this document covers the billfishes (swordfish, marlins, shortbill spearfish, and sailfish).

There are important fisheries for dorado, sharks, and other species and groups that interact with the tuna fisheries in the EPO and are thus within the IATTC's remit. Information on these other species such as carangids (yellowtail, rainbow runner, and jack mackerel), dorado, elasmobranchs (sharks, rays, and skates), among others, is provided in Document SAC-13-10, *Ecosystem considerations*.

Access to the fisheries is regulated by Resolution [C-02-03](#), which allows only vessels on the IATTC [Regional Vessel Register](#) to fish for tunas in the EPO. Vessels are authorized to fish by their respective flag governments, and only duly authorized vessels are included in the Register. The Register lists, in addition to a vessel's name and flag, its fishing gear, dimensions, carrying capacity, date of construction, ownership, home port, and other characteristics. However, this requirement has not been applied to the thousands of small artisanal vessels, called *pangas*, that are known to catch tunas, among other species, in coastal waters of the EPO, but data on their numbers, effort, and catches are incomplete or unavailable. A pilot program, focused on sharks, to collect data on these fisheries in Central America has been completed (SAC-11-14). The results of the pilot study will offer guidance in the development of a long-term sampling program in the region.

The IATTC staff has collected and compiled data on the longline fisheries since 1952, on catches of yellowfin and skipjack since 1954, bluefin since 1973, and bigeye since 1975. The data in this report, which are as accurate and complete as possible, are derived from various sources, including vessel logbooks, on-board observer data, unloading records provided by canners and other processors, export and import records, reports from governments and other entities, and the IATTC species and size composition sampling program.

1. CATCHES AND LANDINGS OF TUNAS, BILLFISHES, AND ASSOCIATED SPECIES

Almost all the catches in the EPO are made by the purse-seine and longline fleets; pole-and-line vessels, and various artisanal and recreational fisheries, account for a small percentage of the total catches. The IATTC staff compiles catch data for all fishing gears, including trolls, harpoons, and gillnets.

Detailed catch data are available for the purse-seine fishery, which takes over 90% of the total reported catches; the data for the other fisheries are incomplete. Purse-seine data for 2020 and 2021, and 2019-2021 data for longlines and other gears, are preliminary.

Since 1993 all Class-6³ purse-seine vessels carry observers, who collect detailed data on catches, including those discarded at sea. Estimates of the “retained” catch (the portion of the total catch that is landed) are based principally on data collected during vessel unloadings.

Longline vessels, particularly the larger ones, fish primarily for bigeye, yellowfin, albacore, and swordfish. Data on the retained catches of most of the larger longline vessels are obtained from the vessels’ flag governments; data for smaller longliners, artisanal vessels, and other vessels that fish for species covered by the Antigua Convention are incomplete or unavailable, but some are obtained from vessel logbooks, or from governments or governmental reports.

Data for the western and central Pacific Ocean (WCPO) are taken from the [Tuna Fishery Yearbook for 2020](#), published by the Western and Central Pacific Fisheries Commission (WCPFC).

This report summarizes data from all the above sources. The estimated total catches of tropical tunas (yellowfin, skipjack, and bigeye) in the entire Pacific Ocean are shown in [Table A-1](#) and are discussed further in the sections below.

Estimates of the annual retained and discarded catches of tunas and other species taken by tuna-fishing vessels in the EPO during 1992-2021 are shown in [Tables A-2a-b](#).

The catches of tropical tunas during 1992-2021, by flag, are shown in [Tables A-3a-e](#), and the purse-seine catches and landings of tunas during 2020-2021 are summarized by flag in [Tables A-4a-b](#).

2. CATCHES BY SPECIES

2.1. Yellowfin tuna

The total annual catches of yellowfin in the Pacific Ocean during 1992-2021 are shown in [Table A-1](#). The 2021 EPO catch of 254 thousand t is 4% higher than the average of 244 thousand t for the previous 5-year period (2016-2020). In the WCPO, the catches of yellowfin reached a record high of 722 thousand t in 2020.

The annual retained catches of yellowfin in the EPO, by gear, during 1992-2021 are shown in [Table A-2a](#). Over the most recent 15-year period (2006-2020), the annual retained purse-seine and pole-and-line catches have fluctuated around an average of 217 thousand t (range: 167 to 251 thousand t). The preliminary estimate of the retained catch in 2021, 253 thousand t, is 16% higher than that of 2020, and 11% higher than the 2006-2020 average. On average, about 0.3% (range: 0.1 to 1.0%) of the total purse-seine catch of yellowfin was discarded at sea during 2006-2020 ([Table A-2a](#)).

During 1991-2005, annual longline catches in the EPO averaged about 22 thousand t (range: 12 to 31 thousand t), or about 7% of the total retained catches of yellowfin. They then declined sharply, to an annual average of 10 thousand t (range: 8 to 13 thousand t), or about 4% of the total retained catches, during 2006-2020. Catches by other fisheries (recreational, gillnet, troll, artisanal, etc.), whether incidental or targeted, are shown in [Table A-2a](#), under “Other gears” (OTR); during 2006-2020 they averaged about 3 thousand t.

2.2. Skipjack tuna

The total annual catches of skipjack in the Pacific Ocean during 1992-2021 are shown in [Table A-1](#). Most of the catch is taken in the WCPO. Prior to 1998, WCPO catches averaged about 900 thousand t; subsequently, they increased steadily, from 1.1 million t to an all-time high of 2 million t in 2019. In the EPO, the greatest catches occurred between 2005 and 2021, ranging from 153 to 365 thousand t, the record catch in 2019.

³ Class 6: carrying capacity greater than 363 metric tons (t)

The annual retained catches of skipjack in the EPO, by gear, during 1992-2021 are shown in [Table A-2a](#). During 2006-2020 the annual retained purse-seine and pole-and-line catch averaged 279 thousand t (range: 147 to 347 thousand t). The preliminary estimate of the retained catch in 2021, 325 thousand t, is 16% greater than the 15-year average for 2006-2020.

Discards of skipjack at sea decreased each year during the period, from 4% in 2006 to a low of less than 1% in 2018, averaging about 1.5% of the total catch of the species ([Table A-2a](#)).

Catches of skipjack in the EPO by longlines and other gears are negligible ([Table A-2a](#)).

2.3. Bigeye tuna

The total annual catches of bigeye in the Pacific Ocean during 1992-2021 are shown in [Table A-1](#). Overall, the catches in both the EPO and WCPO have increased, but with considerable fluctuations. In the WCPO they averaged more than 77 thousand t during the late 1970s, decreased during the early 1980s, and then increased steadily to 127 thousand t in 1992; they jumped to 163 thousand t in 1999, and reached a high of 183 thousand t in 2004, since when they have fluctuated between 130 and 171 thousand t. In the EPO, the average catch during 1992-2021 was 104 thousand t, with a low of 75 thousand t in 2021 and a high of 149 thousand t in 2000.

The annual retained catches of bigeye in the EPO by purse-seine and pole-and-line vessels during 1992-2021 are shown in [Table A-2a](#). The introduction of fish-aggregating devices (FADs), placed in the water by fishers to attract tunas, in 1993 led to a sudden and dramatic increase in the purse-seine catches. Prior to 1993, the annual retained purse-seine catch of bigeye in the EPO was about 5 thousand t ([Table A-2a](#)); by 1994 it was 35 thousand t, and in 1996 was over 60 thousand t. During 1997-2020 it has fluctuated between 44 and 95 thousand t; the preliminary estimate for 2021 is 58 thousand t.

During 2000-2021 the percentage of the purse-seine catch of bigeye discarded at sea has steadily decreased, from 5% in 2000 to less than 1% in multiple years, averaging about 1.5%.

Before the expansion of the FAD fishery, longliners caught almost all the bigeye in the EPO, averaging 88 thousand t annually during 1985-1992. Since 1993, the annual average catch has declined by 52%, to 42 thousand t, and the preliminary estimate for 2021 is less than 18 thousand t ([Table A-2a](#)).

Small amounts of bigeye are caught in the EPO by other gears ([Table A-2a](#)).

2.4. Pacific bluefin tuna

The catches of Pacific bluefin in the entire Pacific Ocean, by flag and gear, as reported by the vessels' flag governments to the International Scientific Committee for Tuna and Tuna-like Species in the North Pacific Ocean (ISC), are shown in [Table A-5a](#).

The catches of Pacific bluefin in the EPO during 1992-2021, by gear, are shown in [Table A-2a](#). In recent years, purse-seine vessels accounted for over 91% of the annual catch. The 1992-2020 average EPO retained catch is 3.8 thousand t (range: 600 t to 9.9 thousand t); the preliminary estimate for 2021 is 3.1 thousand t ([Table A-2a](#)).

Catches of Pacific bluefin by recreational gear in the EPO are reported in numbers of individual fish caught, whereas all other gears report catches in weight; the data are therefore converted to weights for inclusion in the EPO catch totals. The original catch data for 1992-2021, in numbers of fish, are presented in [Table A-5b](#).

2.5. Albacore tuna

Data provided by the relevant CPCs on catches of albacore in the EPO, by gear and area (north and south of the equator), are shown in [Table A-6](#), and for the entire EPO in [Table A-2a](#). A portion of the albacore

catch is taken by troll vessels (LTL), included under “Other gears” (OTR) in [Table A-2a](#).

2.6. Other tunas and tuna-like species

While yellowfin, skipjack, and bigeye tunas comprise the great majority of the retained purse-seine catches in the EPO, other tunas and tuna-like species, such as albacore, black skipjack, bonito, frigate and bullet tunas, contribute to the overall harvest. The estimated annual retained and discarded catches of these species during 1992-2021 are shown in [Table A-2a](#). The catches reported in the “unidentified tunas” (TUN) category in [Table A-2a](#) contain some catches reported by species (frigate and bullet tunas) along with the unidentified tunas. The total retained catch of these other species by the purse-seine fishery in 2021 was 11.9 thousand t, greater than the 2006-2020 average of 9.5 thousand t (range: 5 to 19 thousand t).

Black skipjack are also caught by other gears in the EPO, mostly by coastal artisanal fisheries. Bonitos are also caught by artisanal fisheries, and have been reported as catch by longline vessels in some years.

2.7. Billfishes

Catch data for billfishes (swordfish, blue marlin, black marlin, striped marlin, shortbill spearfish, and sailfish) are shown in [Table A-2b](#).

Swordfish are caught in the EPO with large-scale and artisanal longlines, gillnets, harpoons, and occasionally with recreational gear. During 1999-2013 the longline catch averaged 15 thousand t, but during 2014-2016 this increased by about 50%, to over 23 thousand t, possibly due to increased abundance of swordfish, increased effort directed toward the species along with improved fishing efficiency, increased reporting, or a combination of all of these.

Other billfishes are caught with large-scale and artisanal longlines and recreational gear. The average annual longline catches of blue marlin and striped marlin during 2006-2020 were about 3.1 thousand and 1.9 thousand t, respectively. Smaller amounts of other billfishes are taken by longline.

Little information is available on the recreational catches of billfishes, but, the retained catches are believed to be substantially less than the commercial catches for all species, due to catch-and-release practices.

Billfishes are caught incidentally in the purse-seine fisheries, which during 2006-2020 accounted for about 1% of the total catch of billfishes in the EPO. Prior to 2011, they were all classified as discarded dead; however, the growing rate of retention of such bycatches made it important to reflect this in the data, and since 2011 retained catch and discards are reported separately in [Table A-2b](#).

3. CATCHES AND FISHING EFFORT

3.1. Purse seine

Estimates of the numbers of purse-seine sets of each type (associated with dolphins (DEL), associated with floating objects (OBJ), and unassociated (NOA)) in the EPO during 2006-2021, and the retained catches from those sets, are shown in [Table A-7](#) and [Figure 1](#).⁴ The estimates for Class 1-5⁵ vessels were calculated from logbook data in the IATTC statistical data base, and those for Class-6 vessels from the observer data bases of the IATTC, Colombia, Ecuador, the European Union, Mexico, Nicaragua, Panama, the United States, and Venezuela.

⁴ The catch data for 2006-2021 incorporate previously unavailable data, and are thus different from the corresponding data presented in previous publications.

⁵ ≤363 t carrying capacity

Since the introduction of artificial fish-aggregating devices (FADs) in the mid-1990s, they have become predominant in the floating-object fishery, and now account for an estimated 97% of all floating-object sets by Class-6 vessels ([Table A-8](#)).

3.2. Longline

The reported nominal fishing effort (in thousands of hooks) by longline vessels in the EPO, and their catches of the predominant tuna species, are shown in [Table A-9](#).

4. DISTRIBUTIONS OF THE CATCHES OF TROPICAL TUNAS

4.1. Purse-seine catches

The average annual distributions of purse-seine catches, by set type, of tropical tunas (yellowfin, skipjack, and bigeye) in the EPO during 2016-2020 are shown in [Figures A-1a](#), [A-2a](#), and [A-3a](#), respectively, and preliminary estimates for 2021 are shown in [Figures A-1b](#), [A-2b](#), and [A-3b](#).

Yellowfin: The majority of catches in 2021 were taken in sets associated with dolphins in two principal areas: north of 5°N from 105°W to 145°W, and inshore north of 5°S from 95°W to the coast. Lesser amounts were taken in dolphin and floating-object sets throughout the EPO south of 10°N ([Figure A-1b](#)).

Skipjack catches in 2021 occurred primarily in unassociated tuna sets from Galapagos to the coast of South America, and in floating object sets south of 10°N throughout the EPO. The area off the coast of Peru yielded the highest skipjack catch, producing more skipjack in this area than in previous years ([Figure A-2b](#)).

Bigeye are not often caught north of about 7°N in the EPO. Almost all of the 2021 catches were taken in sets on FADs between the 10°N and 10°S and west of 115°W ([Figure A-3b](#)).

4.2. Longline catches

Since 2009, the IATTC has received tuna catch and effort data from Belize, China, France (French Polynesia), Japan, the Republic of Korea, Panama, Chinese Taipei, the United States, and Vanuatu. Albacore, bigeye and yellowfin tunas make up the majority of the catches by most of these vessels. The distributions of the catches of bigeye and yellowfin in the Pacific Ocean by Chinese, Japanese, Korean, and Chinese Taipei longline vessels during 2016-2020 are shown in [Figure A-4](#).

5. SIZE COMPOSITIONS OF THE CATCHES OF TUNAS

5.1. Purse-seine, pole-and-line, and recreational fisheries

Length-frequency samples are the basic source of data used for estimating the size and age compositions of the various species of fish in the landings. This information is necessary to obtain age-structured estimates of the populations for various purposes, primarily the integrated modeling that the staff uses to assess the status of the stocks (see [Stock Assessment Reports](#)). Length-frequency samples are obtained from the catches of purse-seine vessels in the EPO by IATTC personnel at ports of landing in Ecuador,

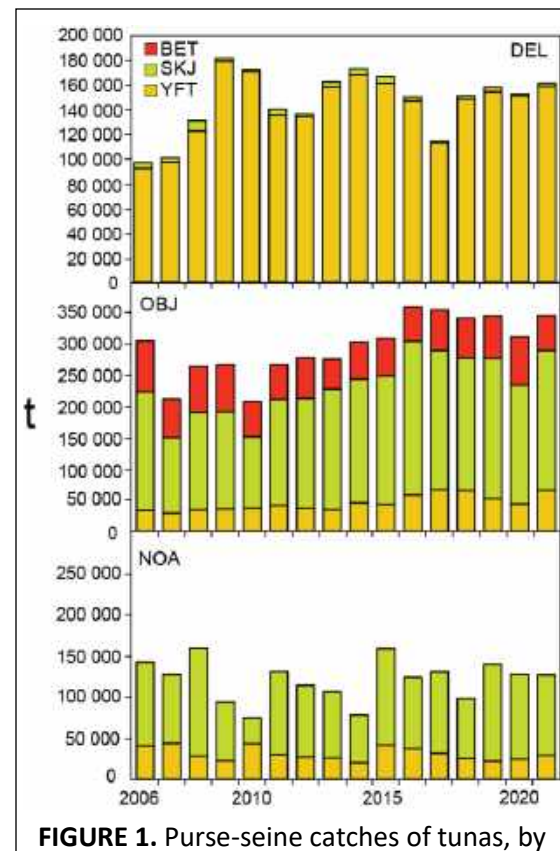


FIGURE 1. Purse-seine catches of tunas, by species and set type, 2006-2021

Mexico, Panama, and Venezuela. The methods for sampling the catches of tunas are described in the [IATTC Annual Report for 2000](#) and in IATTC [Stock Assessment Reports 2](#) and [4](#).

Historical long-term time series of size-composition data for yellowfin and bigeye are available in the [Stock Assessment Reports](#), and average length stock status indicators (SSIs) are available for yellowfin, bigeye and skipjack ([SAC-12-05](#)). In this report, data on the size composition of the catches during 2016-2021 are presented ([Figures A-6 to A-8](#)), with two sets of length-frequency histograms for each species: the first shows the data for 2021 by stratum (gear type, set type, and area), and the second the combined data for each year of the 2016-2021 period.

Yellowfin: nine purse-seine fisheries (four associated with floating objects (OBJ), three associated with dolphins (DEL), and two unassociated (NOA)) and one pole-and-line (LP) fishery, which includes all 13 sampling areas) are defined ([Figure A-5](#)). Of the 633 wells with fish caught during 2021, 566 contained yellowfin. The estimated size compositions of the fish caught are shown in [Figure A-6a](#). Most of the yellowfin catch was taken in the DEL fisheries during the first three quarters of the year, with smaller amounts taken in the OBJ-N and OBJ-E fisheries in the last three quarters. Large yellowfin (120-160 cm) were caught almost exclusively in the DEL fisheries, primarily in the DEL-N fishery in the first three quarters, the DEL-I fishery in the first and second quarters, and the DEL-S fishery in the first quarter. Smaller yellowfin (<60 cm) were taken in the OBJ-N and OBJ-E fisheries primarily in the first and second quarters.

The estimated size compositions of the yellowfin caught by all fisheries combined during 2016-2021 are shown in [Figure A-6b](#). The average weight of yellowfin in 2021, 7.9 kg, was much lower than the 2020 average of 10.6 kg, but was similar to the average for other years in the graphic (6.3-7.7 kg). The 2021 size distribution was similar to that of previous years, with fish in the 120-150 cm range most commonly encountered.

Skipjack: seven purse-seine fisheries (four OBJ, two NOA, one DEL) and one LP fishery are defined ([Figure A-5](#)); the last two include all 13 sampling areas. Of the 633 wells with fish caught, 339 contained skipjack. The estimated size compositions of the fish caught during 2021 are shown in [Figure A-7a](#). Most of the skipjack catch was taken in the OBJ-N, OBJ-E and OBJ-S fisheries in all four quarters, and in the NOA-S fishery in the first and second quarters. The largest skipjack (60-70 cm) were caught in the OBJ-N fishery in the second and third quarters. The smallest (<40 cm) were caught primarily in the OBJ-N, OBJ-E and OBJ-S fisheries in the third and fourth quarters.

The estimated size compositions of skipjack caught by all fisheries combined during 2016-2021 are shown in [Figure A-7b](#). The majority of the skipjack in 2021 was in the 40-55 cm range.

Bigeye: six purse-seine fisheries (four OBJ, one NOA, one DEL) and one LP fishery are defined ([Figure A-5](#)); all except the OBJ fisheries include all 13 sampling areas. Of the 633 wells with fish caught, 119 contained bigeye. The estimated size compositions of the fish caught during 2021 are shown in [Figure A-8a](#). Most of the bigeye catch was taken in the OBJ-N fishery in the second and third quarters, and in the OBJ-S fishery throughout the year. Lesser amounts were caught in the OBJ-E fishery in the second quarter.

The estimated size compositions of bigeye caught by all fisheries combined during 2016-2021 are shown in [Figure A-8b](#). The average weight of bigeye in 2021 (5.2 kg) was consistent with the previous five years (4.7-5.2 kg). The majority of bigeye caught in 2021 was in the 40-80 cm range, with much less of the larger bigeye >100 cm than in previous years.

Pacific bluefin are caught by purse-seine and recreational gears off California and Baja California, historically from about 23°N to 35°N, but only between 28°N and 32°N in recent years. The 2021 purse-

seine fishing season continued the trend of starting earlier than any previous year: in 2021, bluefin were first caught in early January, and the fishery was closed in late January, when the annual catch limit was reached. Most of the catch is transported live to grow-out pens near the coast of Mexico. Mexico's National Observer Program (PNAAPD) provided the length-composition data for purse-seine catches during 2016-2021 ([Figure A-9](#)).

5.2. Longline fishery

The size compositions of yellowfin and bigeye caught by the Japanese longline fleet (commercial and training vessels) in the EPO during 2016-2020 are shown in [Figures A-10](#) and [A-11](#). The average annual weight during that period ranged from 36.8 to 61.0 kg for yellowfin, and from 61.7 kg to 66.2 kg for bigeye.

5.3. Catches of tunas, by flag and gear

The annual retained catches of tunas in the EPO during 1992-2021, by flag and gear, are shown in [Tables A-3a-e](#). The purse-seine catches of tunas in 2020 and 2021, by flag and species, are summarized in [Table A-4a](#). Of the nearly 651 thousand t of tunas caught in 2021, 42% were caught by Ecuadorian vessels, and 19% by Mexican vessels. Other countries with significant catches included Panama (12%), Colombia (7%), Venezuela (6%), United States (5%) and Nicaragua (3%). The purse-seine landings of tunas in 2020 and 2021, by species and country of landing, are summarized in [Table A-4b](#). Of the more than 644 thousand t of tunas landed in the EPO in 2021, 64% were landed in Ecuadorian ports, and 20% in Mexican ports. Other countries with landings of tunas in the EPO included Colombia (4%), Peru (1%) and the United States (1%).

6. THE FLEETS

6.1. Purse seine

The IATTC [Regional Vessel Register](#) contains detailed records of all purse-seine vessels that are authorized to fish for tunas in the EPO. However, only vessels that fished for yellowfin, skipjack, bigeye, and/or Pacific bluefin tuna in the EPO in 2021 are included in the following description of the purse-seine fleet.

The IATTC uses well volume, in cubic meters (m^3), to measure the carrying capacity of purse-seine vessels. Reliable well volume data are available for almost all purse-seine vessels; the well volume of vessels lacking such data is calculated by applying a conversion factor to their capacity in tons ([Table A-10](#); [Figure 2](#)).

The 2020 and preliminary 2021 data for numbers and total well volumes of purse-seine vessels that fished for tunas in the EPO are shown in [Tables A-11a](#) and [A-11b](#). During 2021, the fleet was dominated by Ecuadorian and Mexican vessels, with about 32% and 24%, respectively, of the total well volume; they were followed by the Panama (11%), United States (10%), Venezuela (9%), Colombia (6%), European Union (Spain) (3%), El Salvador (2%), Nicaragua (2%), and Peru (1%).⁶

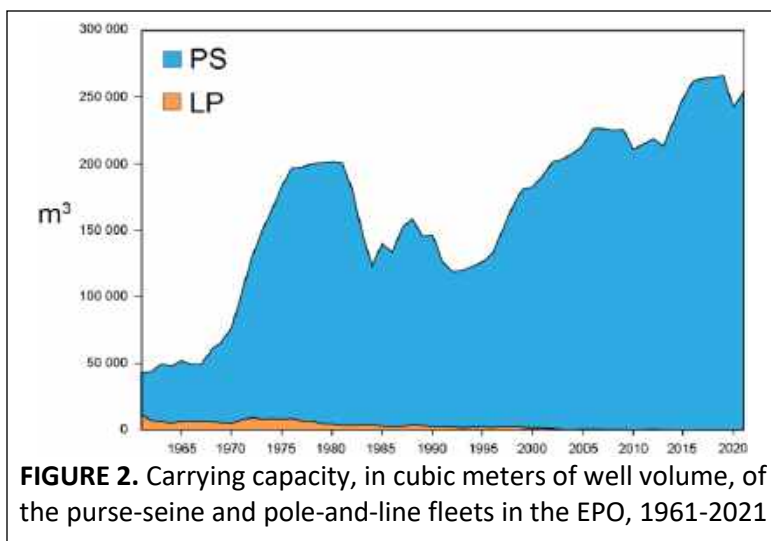


FIGURE 2. Carrying capacity, in cubic meters of well volume, of the purse-seine and pole-and-line fleets in the EPO, 1961-2021

⁶ The sum of the percentages may not add up to 100% due to rounding.

The cumulative capacity at sea during 2021 is compared to those of the previous five years in [Figure 3](#).

The monthly average, minimum, and maximum total well volumes at sea (VAS), in thousands of cubic meters, of purse-seine and pole-and-line vessels that fished for tunas in the EPO during 2011-2020, and the 2021 values, are shown in [Table A-12](#). The monthly values are averages of the VAS estimated at weekly intervals by the IATTC staff. The average VAS values for 2011-2020 and 2021 were slightly lower 142 thousand m³ (59% of total capacity) and about 144 thousand m³ (57% of total capacity), respectively.

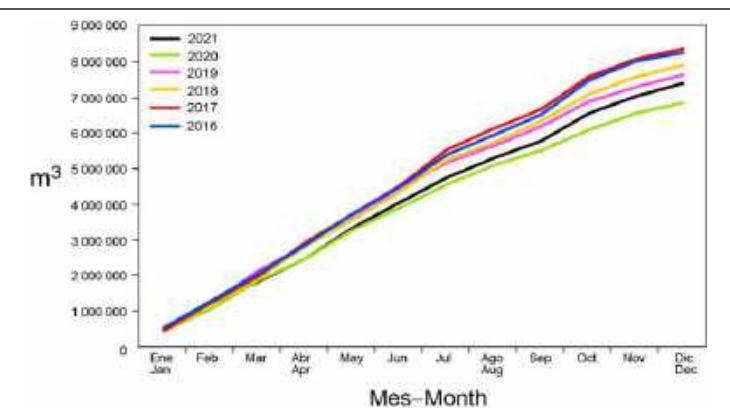


FIGURE 3. Cumulative capacity of the purse-seine and pole-and-line fleet at sea, by month, 2016-2021.

6.2. Other fleets of the EPO

Information on other types of vessels that are authorized to fish in the EPO is available in the IATTC's [Regional Vessel Register](#). In some cases, particularly for large longline vessels, the Register contains information for vessels authorized to fish not only in the EPO, but also in other oceans, and which may not have fished in the EPO during 2021, or ever.

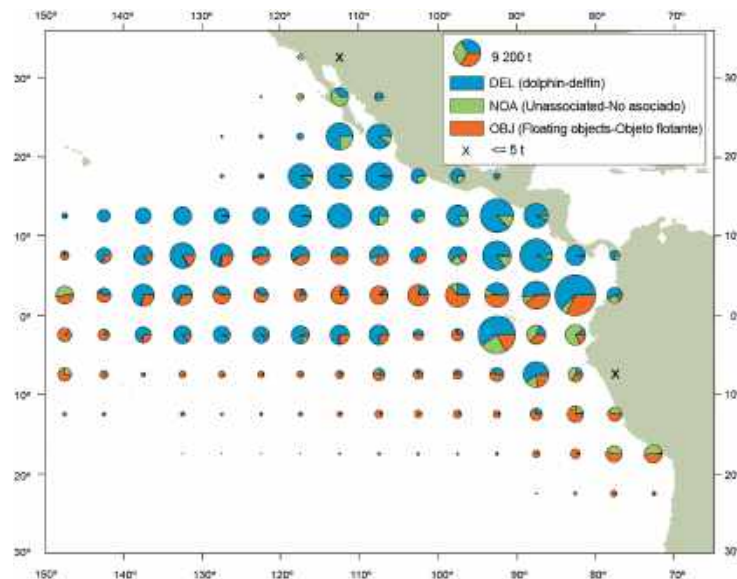


FIGURE A-1a. Average annual distributions of the purse-seine catches of yellowfin, by set type, 2016-2020. The sizes of the circles are proportional to the amounts of yellowfin caught in those 5° by 5° areas.

FIGURA A-1a. Distribución media anual de las capturas cerqueras de aleta amarilla, por tipo de lance, 2016-2020. El tamaño de cada círculo es proporcional a la cantidad de aleta amarilla capturado en la cuadrícula de 5° x 5° correspondiente.

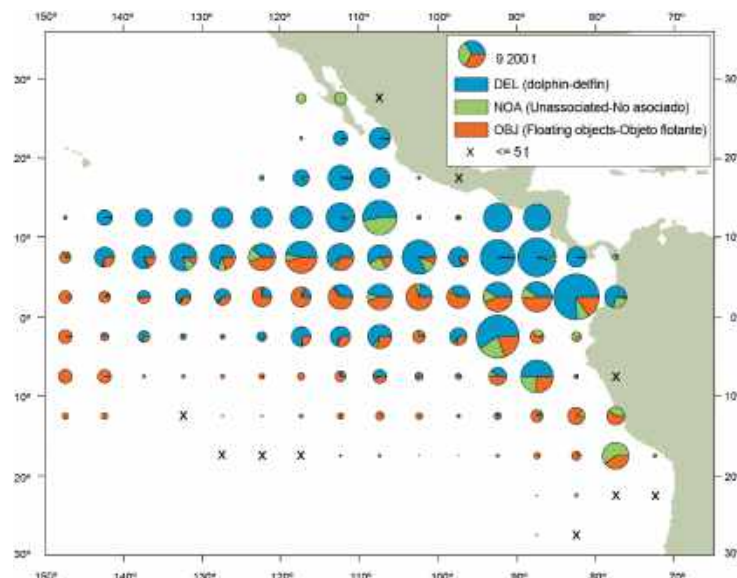


FIGURE A-1b. Annual distributions of the purse-seine catches of yellowfin, by set type, 2021. The sizes of the circles are proportional to the amounts of yellowfin caught in those 5° by 5° areas.

FIGURA A-1b. Distribución anual de las capturas cerqueras de aleta amarilla, por tipo de lance, 2021. El tamaño de cada círculo es proporcional a la cantidad de aleta amarilla capturado en la cuadrícula de 5° x 5° correspondiente.

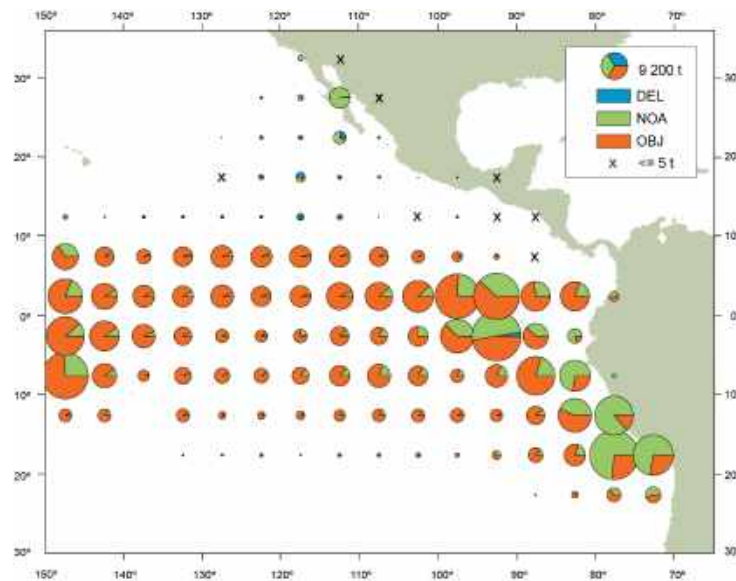


FIGURE A-2a. Average annual distributions of the purse-seine catches of skipjack, by set type, 2016-2020. The sizes of the circles are proportional to the amounts of skipjack caught in those 5° by 5° areas.

FIGURA A-2a. Distribución media anual de las capturas cerqueras de barrilete, por tipo de lance, 2016-2020. El tamaño de cada círculo es proporcional a la cantidad de barrilete capturado en la cuadrícula de 5° x 5° correspondiente.

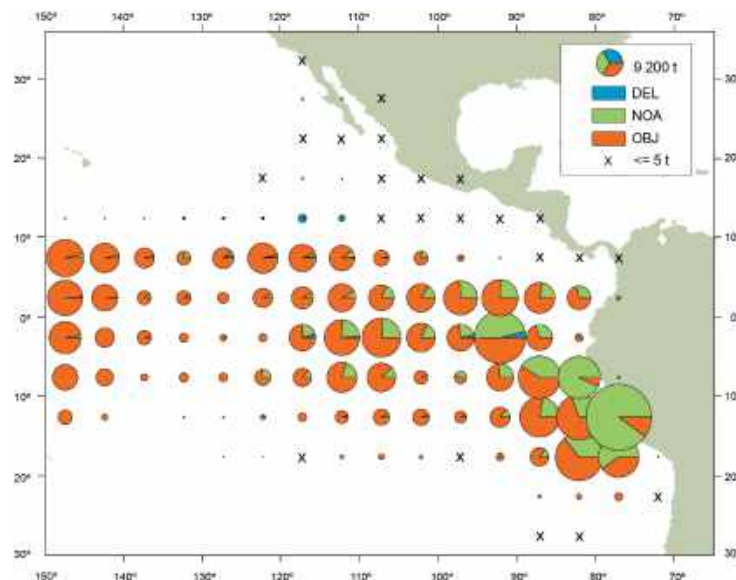


FIGURE A-2b. Annual distributions of the purse-seine catches of skipjack, by set type, 2021. The sizes of the circles are proportional to the amounts of skipjack caught in those 5° by 5° areas.

FIGURA A-2b. Distribución anual de las capturas cerqueras de barrilete, por tipo de lance, 2021. El tamaño de cada círculo es proporcional a la cantidad de barrilete capturado en la cuadrícula de 5° x 5° correspondiente.

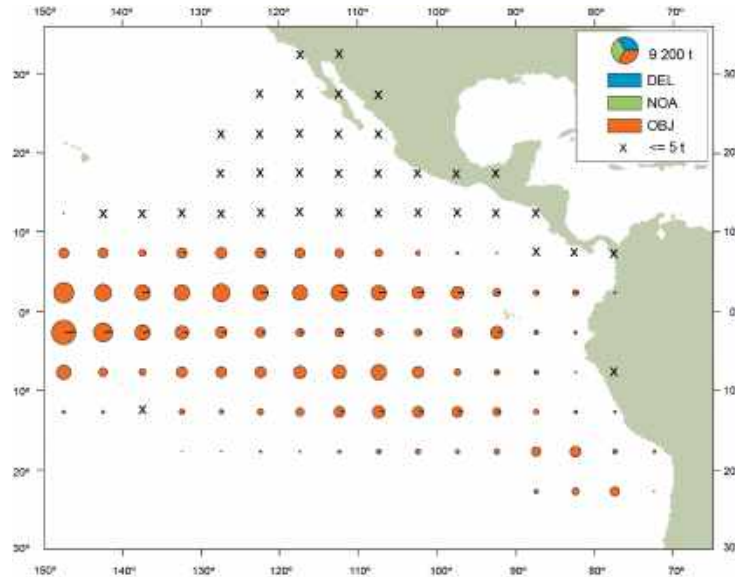


FIGURE A-3a. Average annual distributions of the purse-seine catches of bigeye, by set type, 2016-2020. The sizes of the circles are proportional to the amounts of bigeye caught in those 5° by 5° areas.

FIGURA A-3a. Distribución media anual de las capturas cerqueras de patudo, por tipo de lance, 2016-2020. El tamaño de cada círculo es proporcional a la cantidad de patudo capturado en la cuadrícula de 5° x 5° correspondiente.

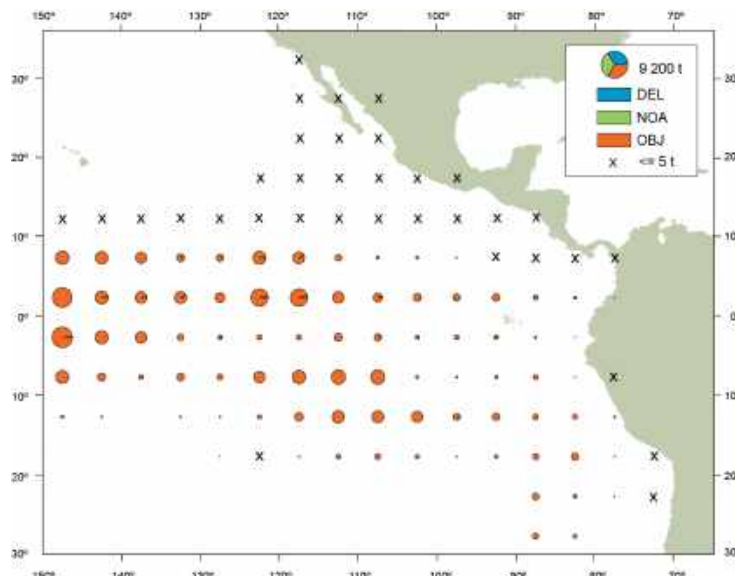


FIGURE A-3b. Annual distributions of the purse-seine catches of bigeye, by set type, 2021. The sizes of the circles are proportional to the amounts of bigeye caught in those 5° by 5° areas.

FIGURA A-3b. Distribución anual de las capturas cerqueras de patudo, por tipo de lance, 2021. El tamaño de cada círculo es proporcional a la cantidad de patudo capturado en la cuadrícula de 5° x 5° correspondiente.

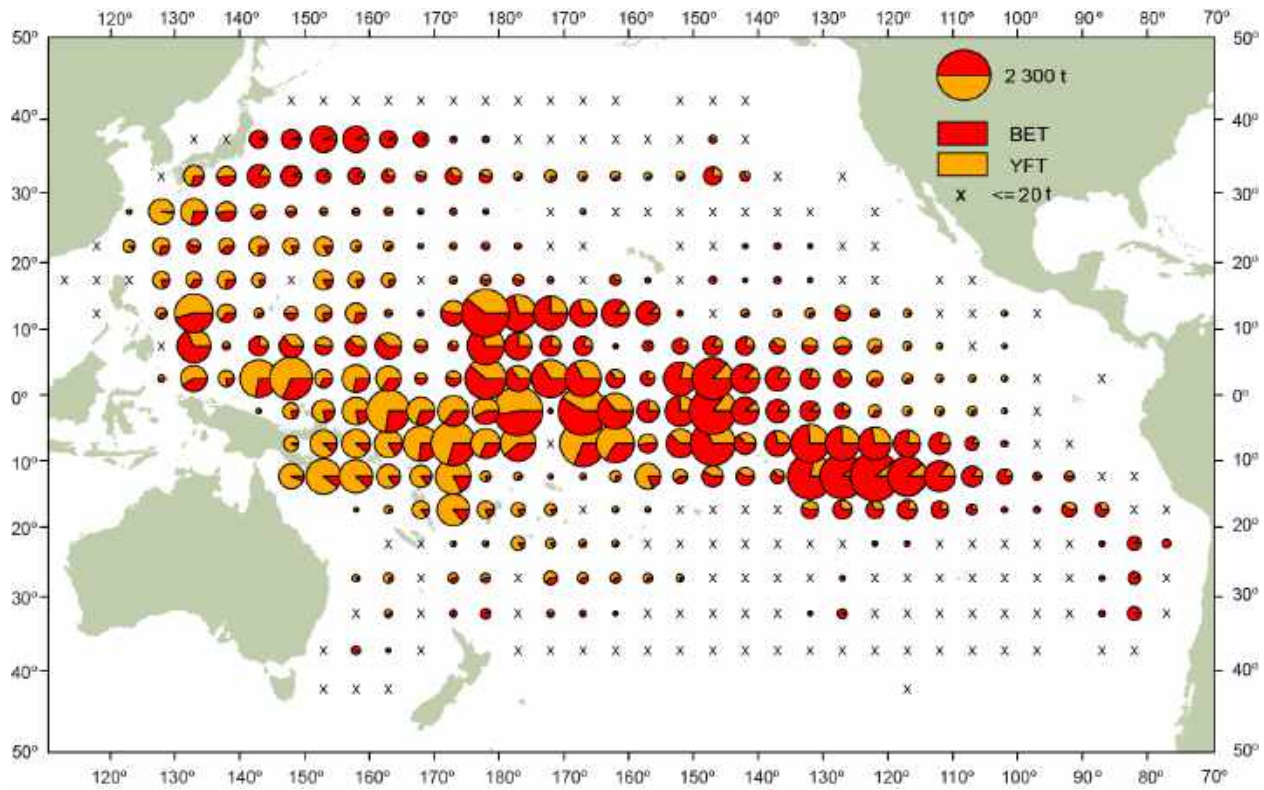


FIGURE A-4. Distributions of the average annual catches of bigeye and yellowfin tunas in the Pacific Ocean, in metric tons, by Chinese, Japanese, Korean, and Chinese Taipei longline vessels, 2016-2020. The sizes of the circles are proportional to the amounts of bigeye and yellowfin caught in those 5° by 5° areas.

FIGURA A-4. Distribución de las capturas anuales medias de atunes patudo y aleta amarilla en el Océano Pacífico, en toneladas métricas, por buques palangreros de China, Corea, Japón, y Taipeí Chino, 2016-2020. El tamaño de cada círculo es proporcional a la cantidad de patudo y aleta amarilla capturado en la cuadrícula de 5° x 5° correspondiente.

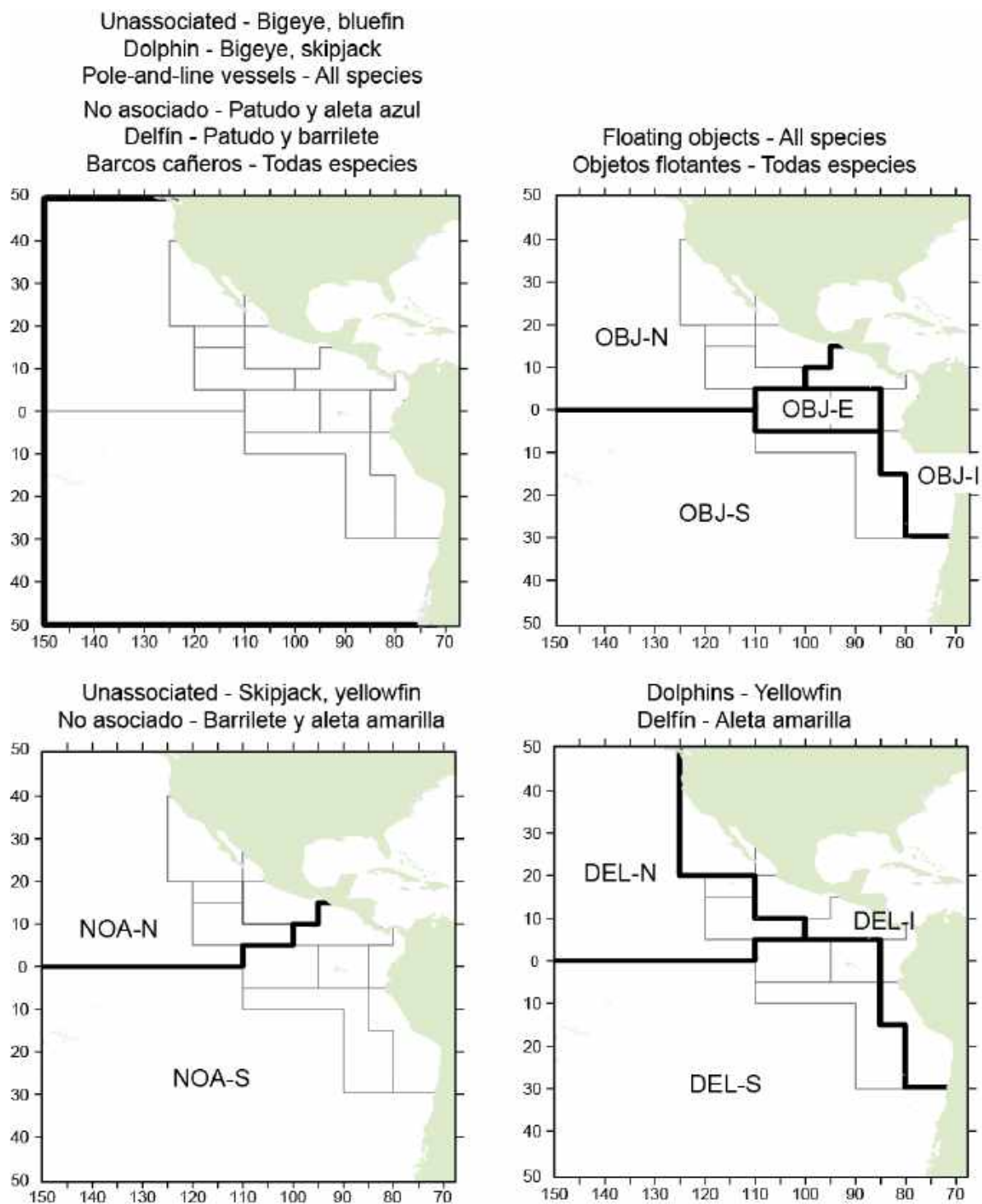


FIGURE A-5. The purse-seine fisheries defined by the IATTC staff for analyses of yellowfin, skipjack, and bigeye in the EPO. The thin lines indicate the boundaries of the 13 length-frequency sampling areas, and the bold lines the boundaries of the fisheries.

FIGURA A-5. Las pesquerías cerqueras definidas por el personal de la CIAT para los análisis de los atunes aleta amarilla, barrilete, y patudo en el OPO. Las líneas delgadas indican los límites de las 13 zonas de muestreo de frecuencia de tallas, y las líneas gruesas los límites de las pesquerías.

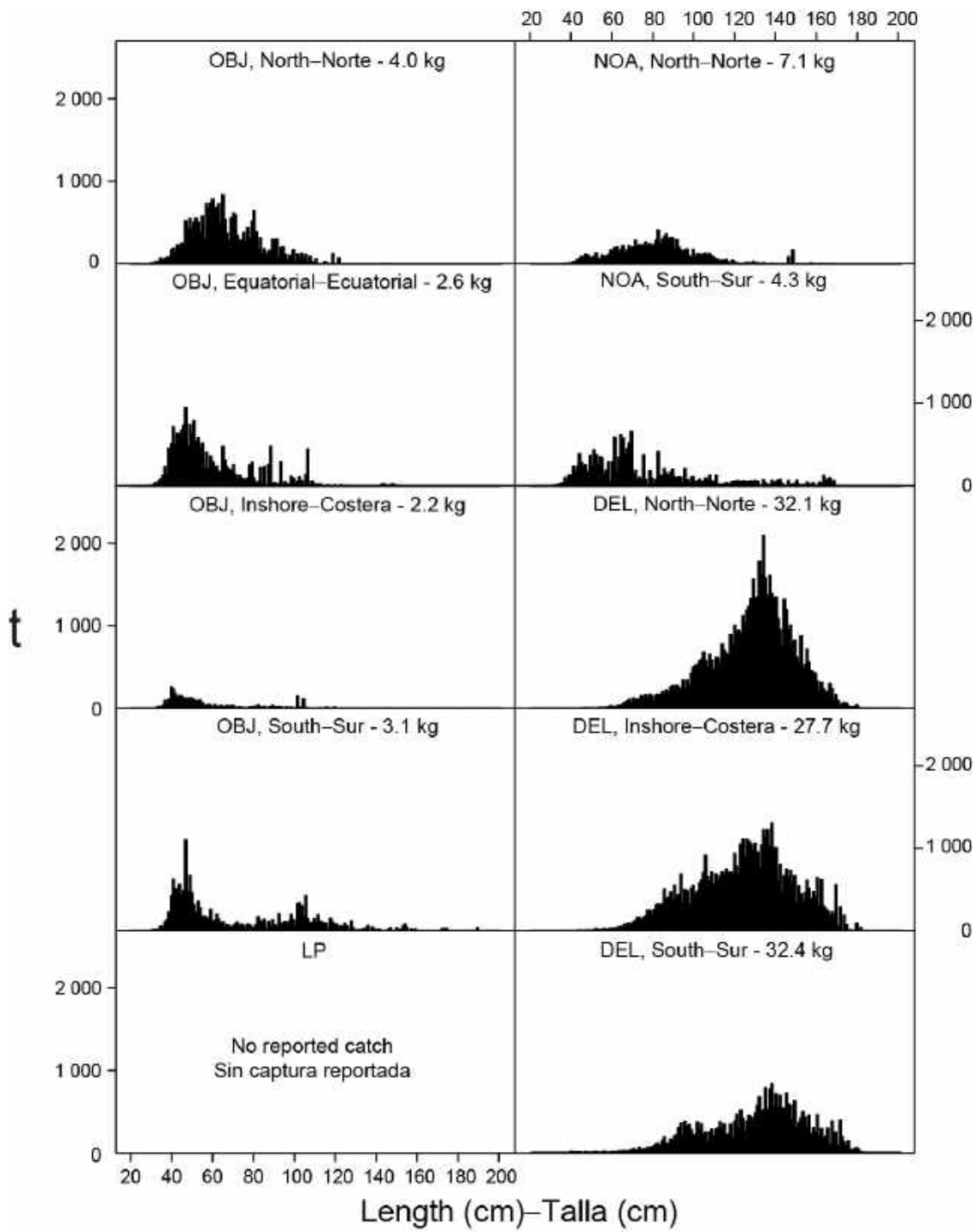


FIGURE A-6a. Estimated size compositions of the yellowfin caught in the EPO during 2021 for each fishery designated in Figure A-5. The value at the top of each panel is the average weight of the fish in the samples.
FIGURA A-6a. Composición por tallas estimada del aleta amarilla capturado en el OPO durante 2021 en cada pesquería ilustrada en la Figura A-5. El valor en cada recuadro representa el peso promedio del pescado en las muestras.

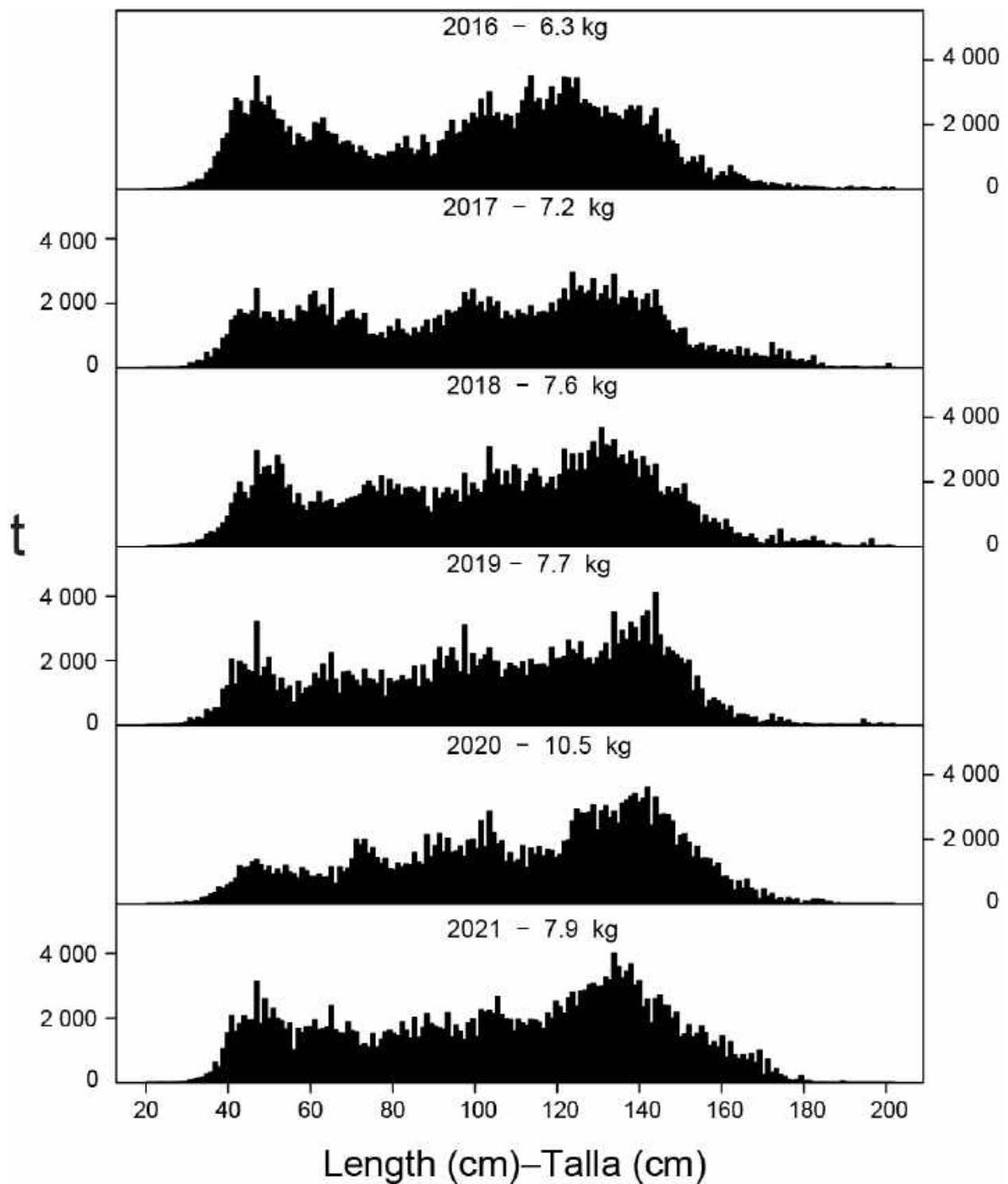


FIGURE A-6b. Estimated size compositions of the yellowfin caught by purse-seine and pole-and-line vessels in the EPO during 2016-2021. The value at the top of each panel is the average weight of the fish in the samples.

FIGURA A-6b. Composición por tallas estimada del aleta amarilla capturado por buques cerqueros y cañeros en el OPO durante 2016-2021. El valor en cada recuadro representa el peso promedio del pescado en las muestras.

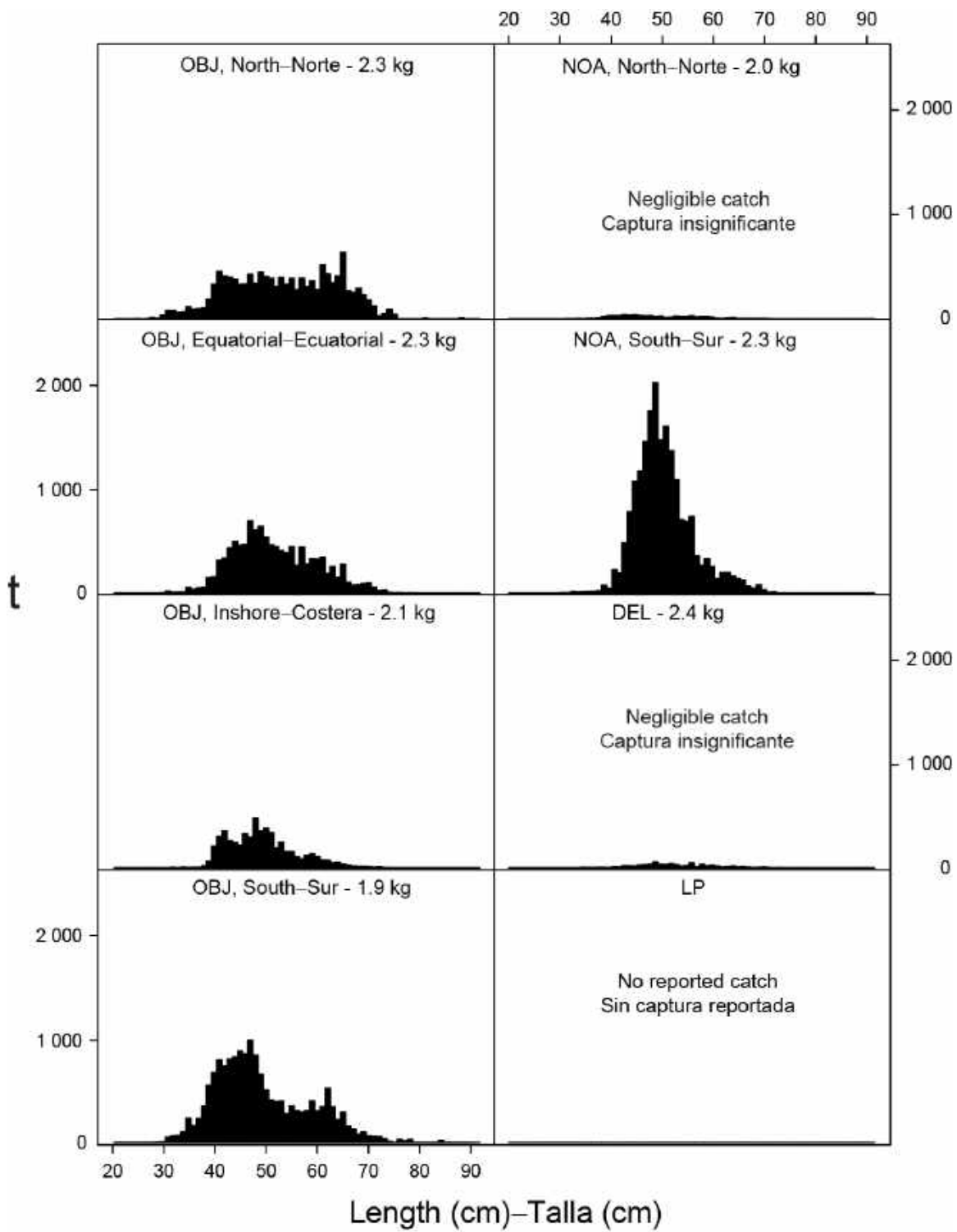


FIGURE A-7a. Estimated size compositions of the skipjack caught in the EPO during 2021 for each fishery designated in Figure A-5. The value at the top of each panel is the average weight of the fish in the samples.
FIGURA A-7a. Composición por tallas estimada del barrilete capturado en el OPO durante 2021 en cada pesquería ilustrada en la Figura A-5. El valor en cada recuadro representa el peso promedio del pescado en las muestras.

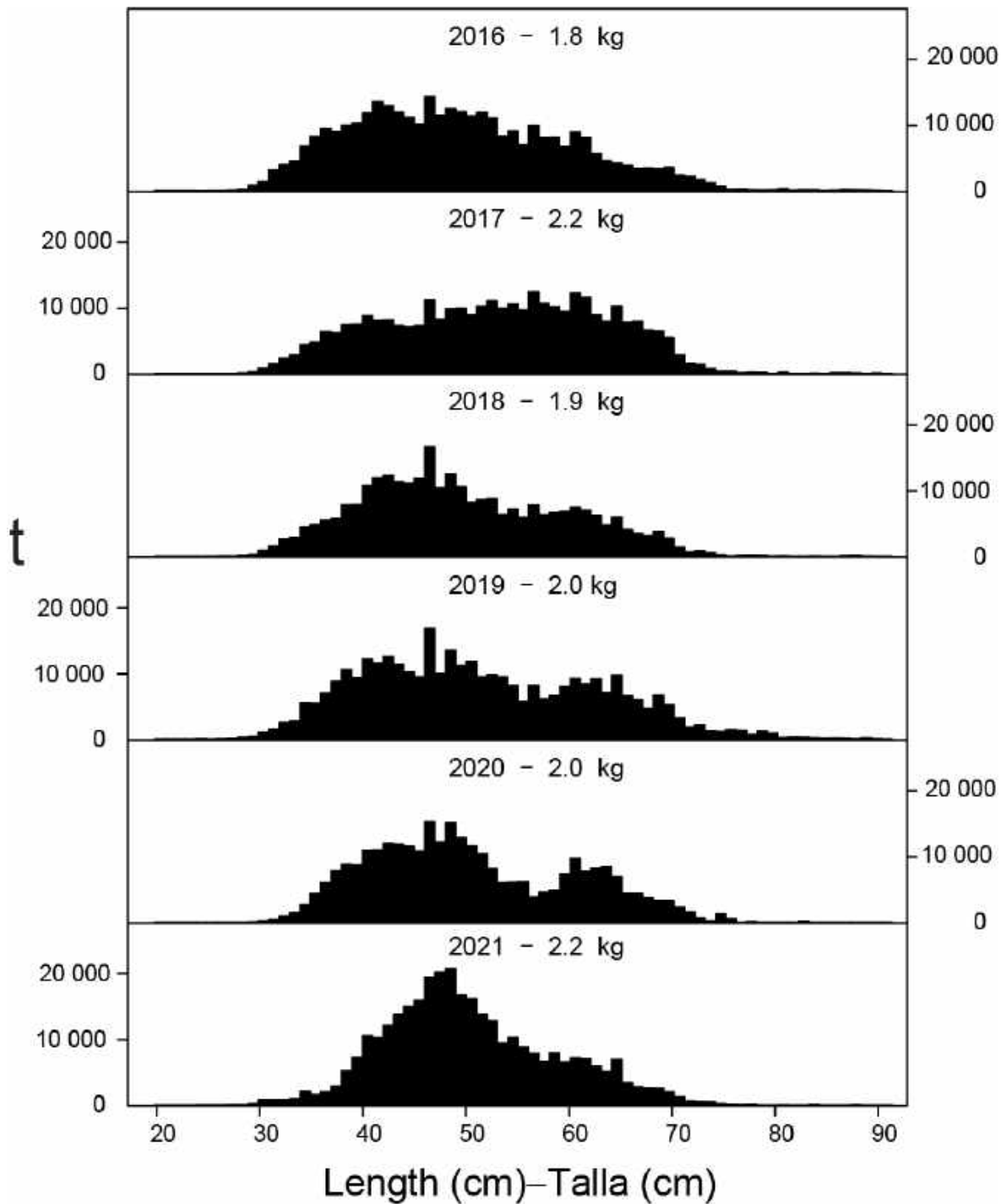


FIGURE A-7b. Estimated size compositions of the skipjack caught by purse-seine and pole-and-line vessels in the EPO during 2016-2021. The value at the top of each panel is the average weight of the fish in the samples.

FIGURA A-7b. Composición por tallas estimada del barrilete capturado por buques cerqueros y cañeros en el OPO durante 2016-2021. El valor en cada recuadro representa el peso promedio del pescado en las muestras.

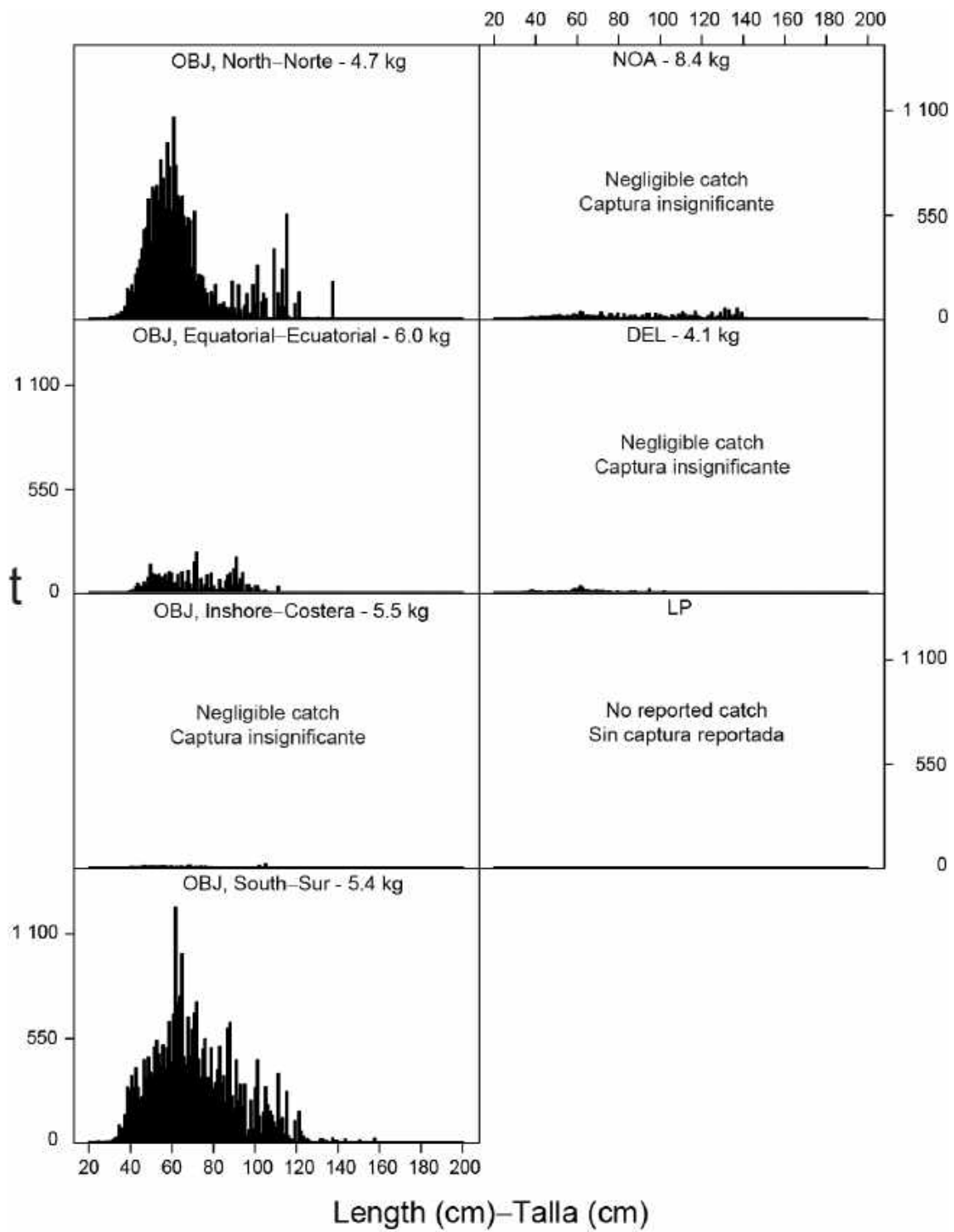


FIGURE A-8a. Estimated size compositions of the bigeye caught in the EPO during 2021 for each fishery designated in Figure A-5. The value at the top of each panel is the average weight.

FIGURA A-8a. Composición por tallas estimada del patudo capturado en el OPO durante 2021 en cada pesquería ilustrada en la Figura A-5. El valor en cada recuadro representa el peso promedio del pescado en las muestras.

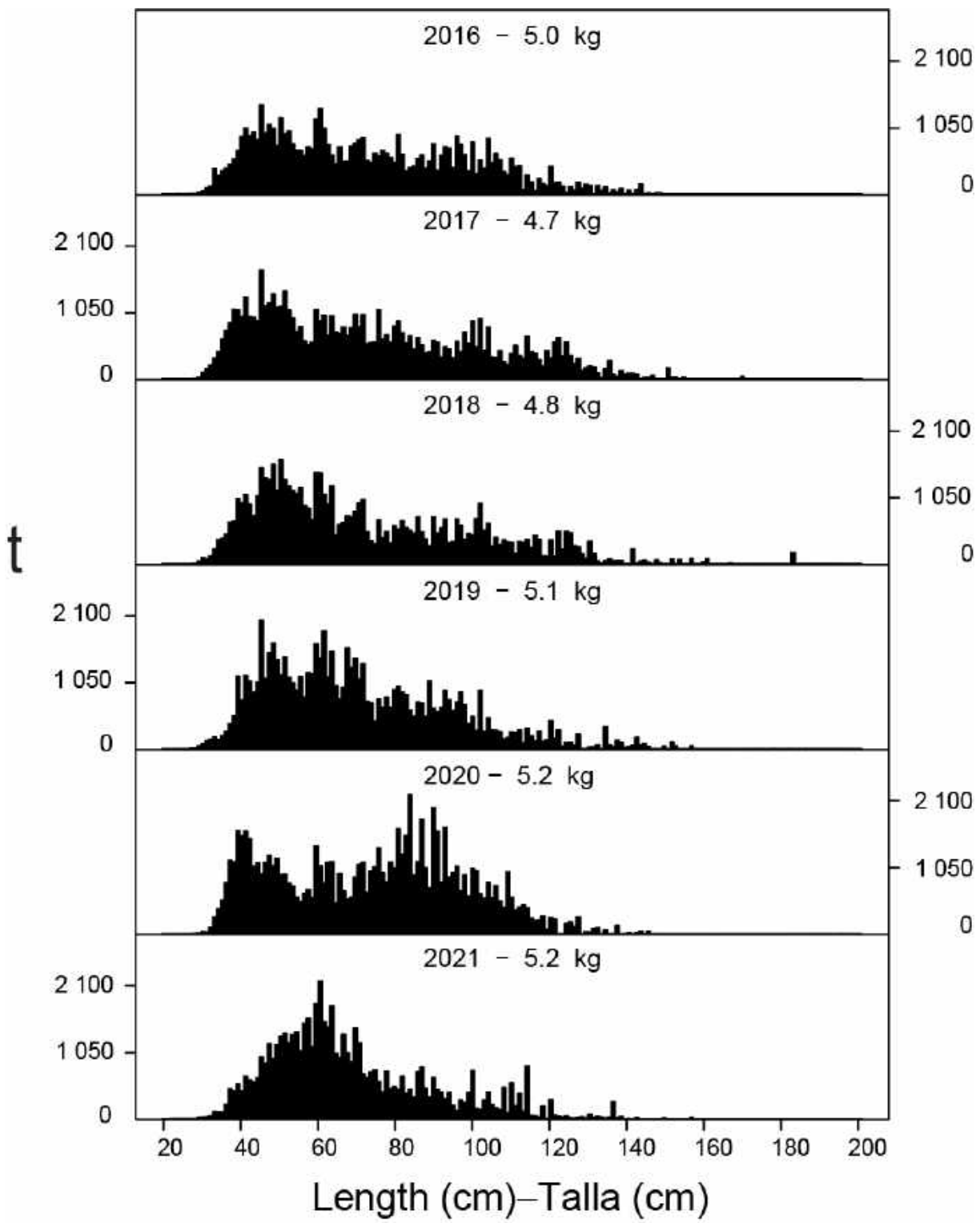


FIGURE A-8b. Estimated size compositions of the bigeye caught by purse-seine vessels in the EPO during 2016-2021. The value at the top of each panel is the average weight.

FIGURA A-8b. Composición por tallas estimada del patudo capturado por buques cerqueros en el OPO durante 2016-2021. El valor en cada recuadro representa el peso promedio del pescado en las muestras.

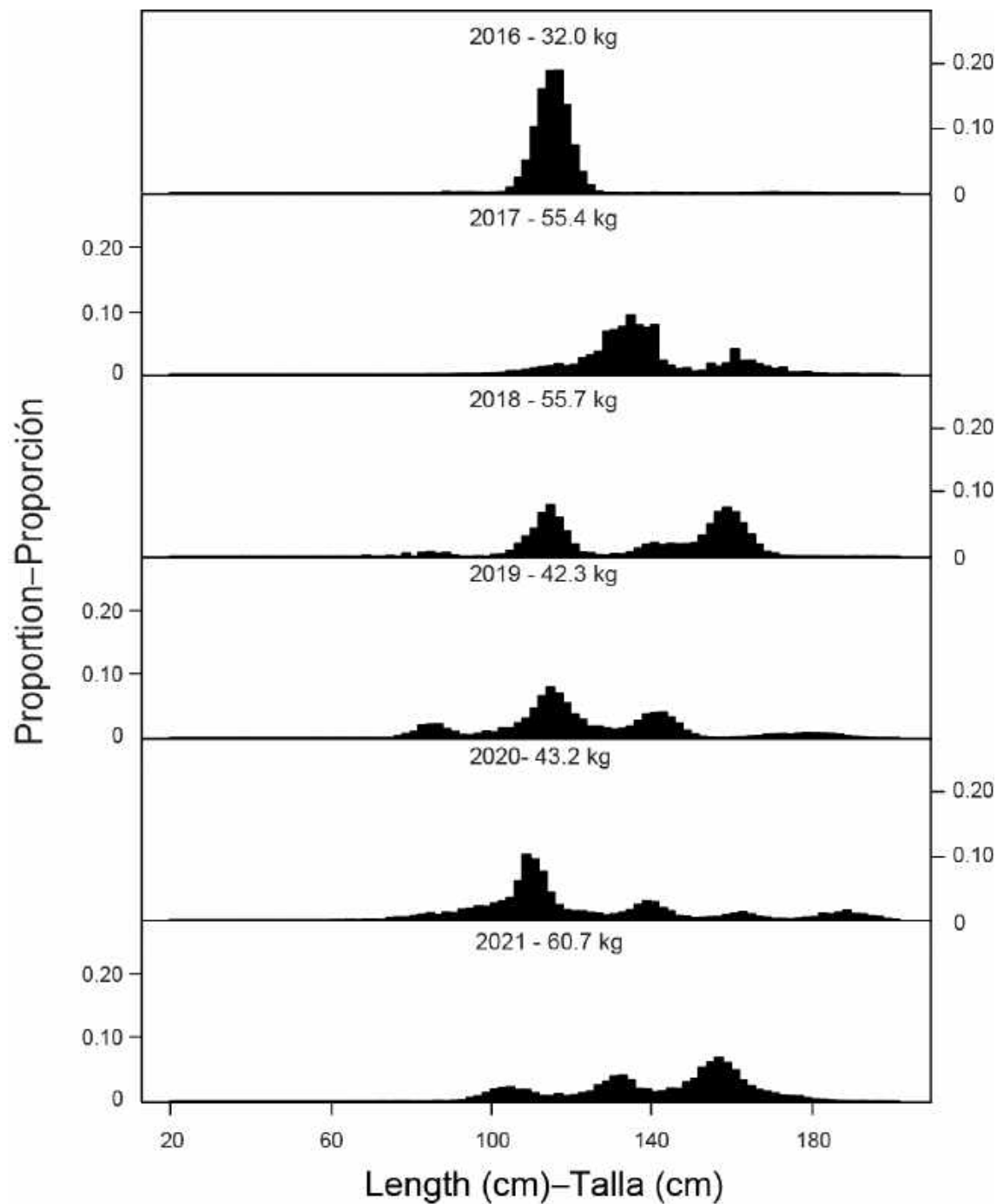


FIGURE A-9. Estimated length compositions of purse-seine catches of Pacific bluefin tuna, 2016-2021. The length distribution has been standardized as a proportion of the total number of measured tuna in each length interval. The value at the top of each panel is the average weight.

Source: Mexico's National Observer Program (PNAAPD).

FIGURA A-9. Composición por talla estimada de las capturas cerqueras de atún aleta azul del Pacífico, 2016-2021. La distribución de las tallas ha sido estandarizada como proporción del número total de atunes medidos en cada intervalo de talla. El valor en cada recuadro representa el peso promedio.

Fuente: Programa Nacional de Observadores de México (PNAAPD).

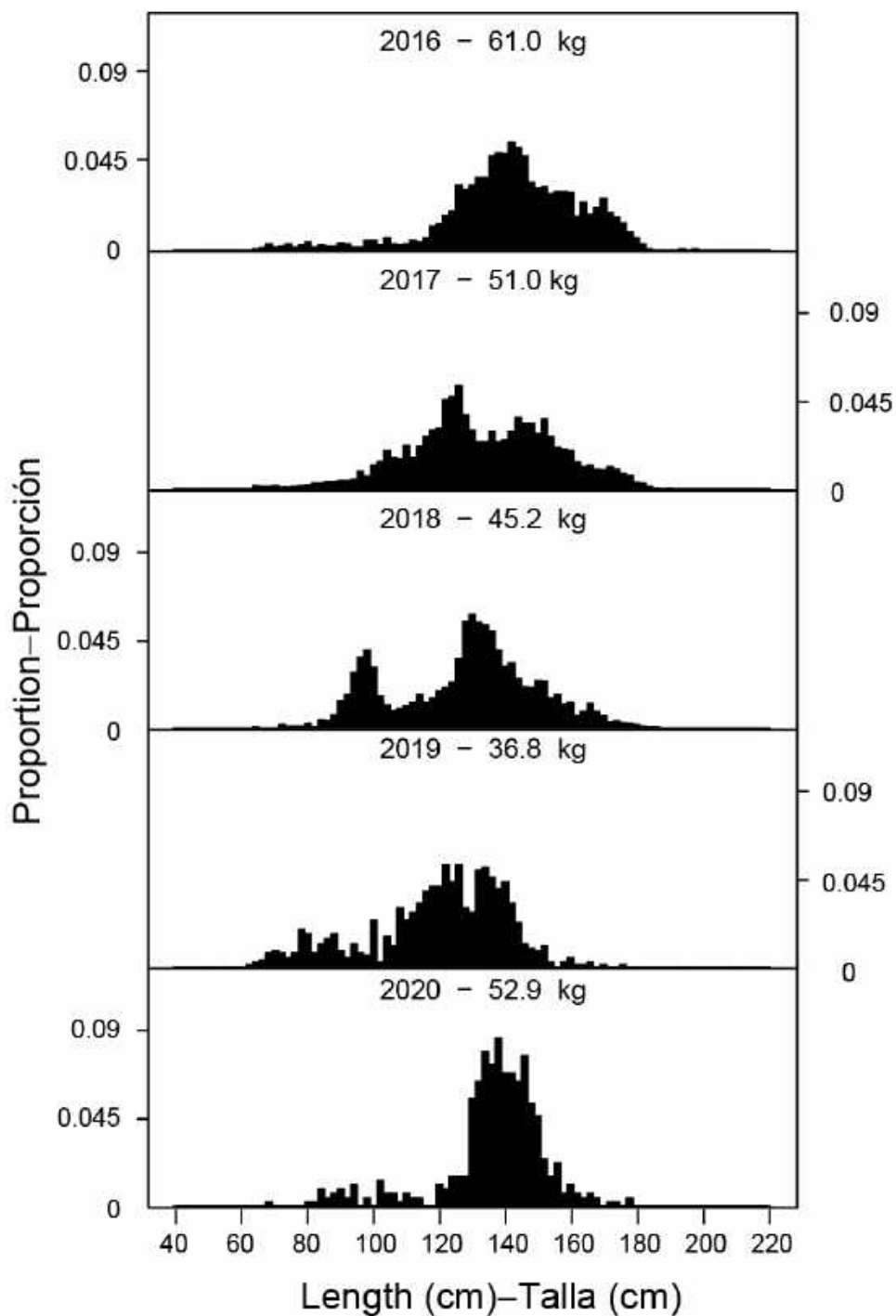


FIGURE A-10. Estimated size compositions of the catches of yellowfin by the Japanese longline fleet in the EPO, 2016-2020. The size distribution has been standardized as a proportion of the total number of measured tuna in each size range. The value at the top of each panel is the average weight. Source: Fisheries Agency of Japan.

FIGURA A-10. Composición por tallas estimada de las capturas de aleta amarilla por la flota palangrera japonesa en el OPO, 2016-2020. La distribución de las tallas ha sido estandarizada como proporción del número total de atunes medidos en cada gama de tallas. El valor en cada recuadro representa el peso promedio. Fuente: Agencia Pesquera de Japón.

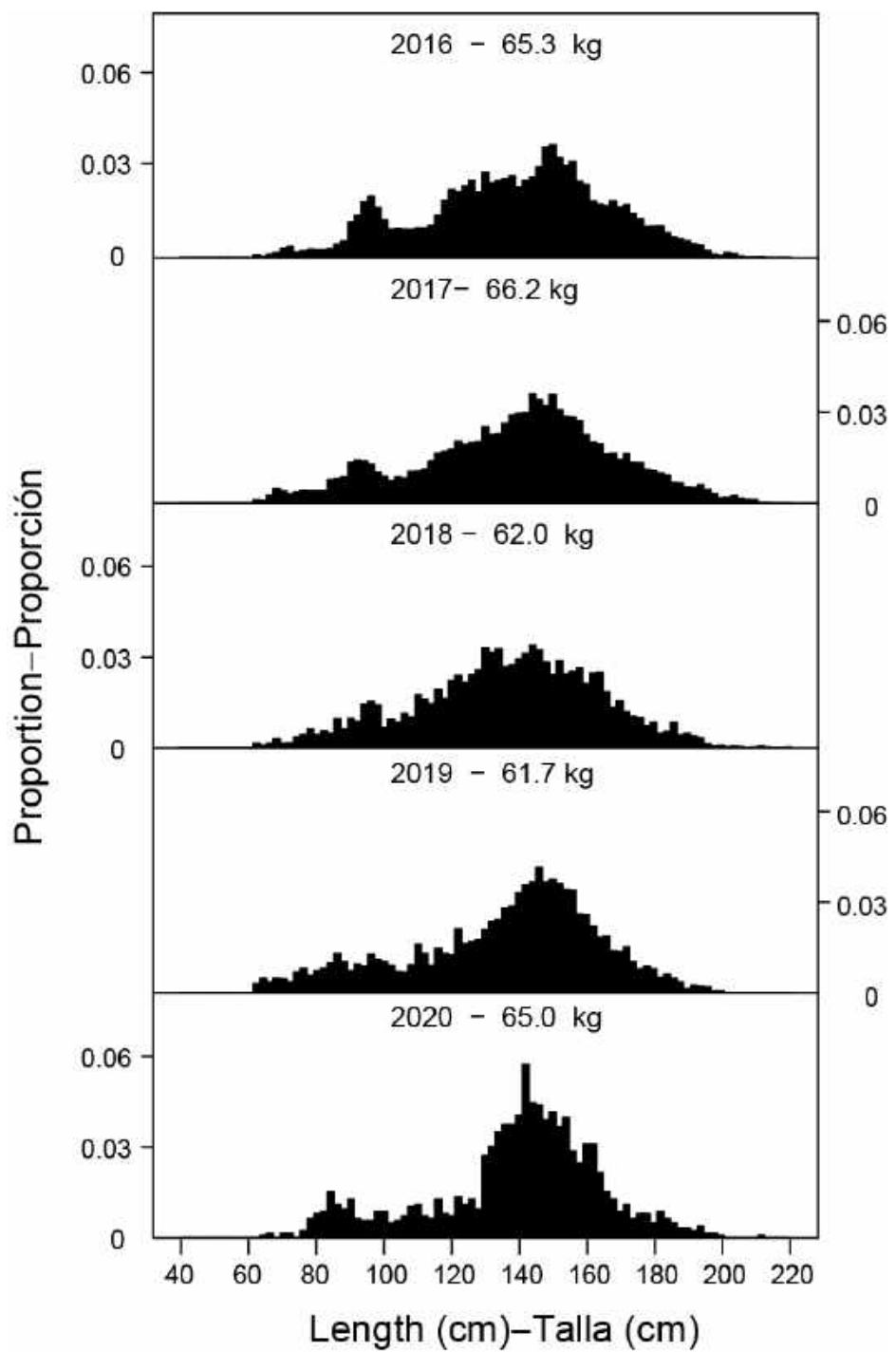


FIGURE A-11. Estimated size compositions of the catches of bigeye by the Japanese longline fleet in the EPO, 2016-2020. The size distribution has been standardized as a proportion of the total number of measured tuna in each size range. The value at the top of each panel is the average weight. Source: Fisheries Agency of Japan

FIGURA A-11. Composición por tallas estimada de las capturas de patudo por la flota palangrera japonesa en el OPO, 2016-2020. La distribución de las tallas ha sido estandarizada como proporción del número total de atunes medidos en cada gama de tallas. El valor en cada recuadro representa el peso promedio. Fuente: Agencia Pesquera de Japón.

TABLE A-1. Annual catches (t) of yellowfin, skipjack, and bigeye tunas, by all types of gear combined, in the Pacific Ocean. The EPO totals for 1993-2021 include discards from purse-seine vessels with carrying capacities greater than 363 t.

TABLA A-1. Capturas anuales (t) de atunes aleta amarilla, barrilete, y patudo, por todas las artes combinadas, en el Océano Pacífico. Los totales del OPO de 1993-2021 incluyen los descartes de buques cerqueros de más de 363 t de capacidad de acarreo.

	YFT			SKJ			BET			Total		
	EPO	WCPO	Total	EPO	WCPO	Total	EPO	WCPO	Total	EPO	WCPO	Total
1992	252,514	456,510	709,024	87,294	928,150	1,015,444	92,000	131,196	223,196	431,808	1,515,856	1,947,664
1993	256,199	418,101	674,300	100,434	864,455	964,889	82,843	113,424	196,267	439,476	1,395,980	1,835,456
1994	248,071	449,221	697,292	84,661	939,508	1,024,169	109,331	124,623	233,954	442,063	1,513,352	1,955,415
1995	244,639	442,815	687,454	150,661	977,478	1,128,139	108,210	110,376	218,586	503,510	1,530,669	2,034,179
1996	266,928	425,705	692,633	132,335	1,003,205	1,135,540	114,706	107,153	221,859	513,969	1,536,063	2,050,032
1997	277,575	481,125	758,700	188,285	942,932	1,131,217	122,274	133,740	256,014	588,134	1,557,797	2,145,931
1998	280,606	536,853	817,459	165,489	1,247,087	1,412,576	93,954	152,607	246,561	540,049	1,936,547	2,476,596
1999	304,638	475,159	779,797	291,249	1,072,899	1,364,148	93,078	163,186	256,264	688,965	1,711,244	2,400,209
2000	286,863	506,965	793,828	230,479	1,198,149	1,428,628	148,557	149,248	297,805	665,899	1,854,362	2,520,261
2001	425,008	505,659	930,667	157,676	1,104,553	1,262,229	130,546	135,601	266,147	713,230	1,745,813	2,459,043
2002	443,458	491,890	935,348	167,048	1,256,174	1,423,222	132,806	158,936	291,742	743,312	1,907,000	2,650,312
2003	415,933	565,533	981,466	300,470	1,247,718	1,548,188	115,175	143,931	259,106	831,578	1,957,182	2,788,760
2004	296,847	598,099	894,946	217,249	1,357,330	1,574,579	110,722	182,945	293,667	624,818	2,138,374	2,763,192
2005	286,492	553,254	839,746	283,453	1,418,129	1,701,582	110,514	155,709	266,223	680,459	2,127,092	2,807,551
2006	180,519	539,773	720,292	309,090	1,479,386	1,788,476	117,328	165,069	282,397	606,937	2,184,228	2,791,165
2007	182,141	567,047	749,188	216,324	1,663,349	1,879,673	94,260	165,153	259,413	492,725	2,395,549	2,888,274
2008	197,328	644,427	841,755	307,699	1,649,075	1,956,774	103,350	171,318	274,668	608,377	2,464,820	3,073,197
2009	250,413	558,446	808,859	239,408	1,761,338	2,000,746	109,255	169,168	278,423	599,076	2,488,952	3,088,028
2010	261,871	566,205	828,076	153,092	1,680,363	1,833,455	95,408	139,927	235,335	510,371	2,386,495	2,896,866
2011	216,720	531,230	747,950	283,509	1,536,806	1,820,315	89,460	168,273	257,733	589,689	2,236,309	2,825,998
2012	213,310	625,687	838,997	273,519	1,731,944	2,005,463	102,687	167,341	270,028	589,516	2,524,972	3,114,488
2013	231,170	578,552	809,722	284,043	1,831,396	2,115,439	86,029	154,882	240,911	601,242	2,564,830	3,166,072
2014	246,789	618,063	864,852	265,490	1,985,132	2,250,622	96,045	169,029	265,074	608,324	2,772,224	3,380,548
2015	260,265	589,285	849,550	334,050	1,788,514	2,122,564	104,635	145,722	250,357	698,950	2,523,521	3,222,471
2016	255,446	658,538	913,984	345,142	1,790,934	2,136,076	92,835	156,681	249,516	693,423	2,606,153	3,299,576
2017	228,421	707,866	936,287	338,389	1,614,935	1,953,324	102,571	130,535	233,106	669,381	2,453,336	3,122,717
2018	256,122	695,142	951,264	298,997	1,849,017	2,148,014	94,393	151,569	245,962	649,512	2,695,728	3,345,240
2019	247,134	689,599	936,733	364,704	2,041,758	2,406,462	97,261	131,193	228,454	709,099	2,862,550	3,571,649
2020	231,415	722,042	953,457	298,376	1,753,922	2,052,298	104,972	148,371	253,343	634,763	2,624,335	3,259,098
2021	253,611	*	253,611	326,767	*	326,767	75,443	*	75,443	655,821	*	655,821

TABLE A-2a. Estimated catches, in metric tons, of tunas and bonitos in the EPO, by fishing gear, 1992-2021. For purse-seine (PS) vessels, retained (Ret.) catches include all vessels; discard (Dis.) data are for Class-6 vessels only. 'C' indicates that the catch has been combined with the total in the 'OTR' column. The purse-seine and pole-and-line (LP) data for yellowfin, skipjack, and bigeye tunas have been adjusted to the species composition estimate, and are preliminary. The data for 2020-2021 are preliminary.

TABLA A-2a. Capturas estimadas, en toneladas métricas, de atunes y bonitos en el OPO, por arte de pesca, 1992-2021. En el caso de los buques de cerco (PS), las capturas retenidas (Ret) incluyen todos los buques; los datos de descartes (Dis.) son de buques de Clase 6 únicamente. 'C' indica que la captura se ha combinado con el total en la columna 'OTR'. Los datos de los atunes aleta amarilla, barrilete, y patudo de las pesquerías de cerco y de caña (LP) fueron ajustados a la estimación de composición por especies, y son preliminares. Los datos de 2020-2021 son preliminares.

	Yellowfin—Aleta amarilla					Skipjack—Barrilete					Bigeye—Patudo							
	PS		LP	LL	OTR + UNK	Total	PS		LP	LL	OTR + UNK	Total	PS		LP	LL	OTR + UNK	Total
	Ret.	Dis. [§]					Ret.	Dis. [§]					Ret.	Dis. [§]				
1992	228,121	-	3,789	18,646	1,958	252,514	84,283	-	1,957	24	1,030	87,294	7,179	-	-	84,808	13	92,000
1993	219,492	4,713	4,951	24,009	3,034	256,199	83,830	10,515	3,772	61	2,256	100,434	9,657	653	-	72,498	35	82,843
1994	208,408	4,525	3,625	30,026	1,487	248,071	70,126	10,491	3,240	73	731	84,661	34,899	2,266	-	71,360	806	109,331
1995	215,434	5,275	1,268	20,596	2,066	244,639	127,047	16,373	5,253	77	1,911	150,661	45,321	3,251	-	58,269	1,369	108,210
1996	238,607	6,312	3,762	16,608	1,639	266,928	103,973	24,494	2,555	52	1,261	132,335	61,311	5,689	-	46,958	748	114,706
1997	244,878	5,516	4,418	22,163	600	277,575	153,456	31,338	3,260	135	96	188,285	64,272	5,402	-	52,580	20	122,274
1998	253,959	4,697	5,085	15,336	1,529	280,606	140,631	22,643	1,684	294	237	165,489	44,129	2,822	-	46,375	628	93,954
1999	281,920	6,547	1,783	11,682	2,706	304,638	261,565	26,046	2,044	201	1,393	291,249	51,158	4,932	-	36,450	538	93,078
2000	253,263	6,205	2,431	23,855	1,109	286,863	205,647	24,467	231	68	66	230,479	95,282	5,417	-	47,605	253	148,557
2001	383,936	7,028	3,916	29,608	520	425,008	143,165	12,815	448	1,214	34	157,676	60,518	1,254	-	68,755	19	130,546
2002	412,286	4,140	950	25,531	551	443,458	153,546	12,506	616	261	119	167,048	57,421	949	-	74,424	12	132,806
2003	383,279	5,865	470	25,174	1,145	415,933	273,968	22,453	638	634	2,777	300,470	53,052	2,326	-	59,776	21	115,175
2004	272,557	3,000	1,884	18,779	627	296,847	197,824	17,078	528	713	1,106	217,249	65,471	1,574	-	43,483	194	110,722
2005	268,101	2,771	1,822	11,946	1,852	286,492	263,229	16,915	1,299	231	1,779	283,453	67,895	1,900	-	40,694	25	110,514
2006	166,631	1,534	686	10,210	1,458	180,519	296,268	11,177	435	224	986	309,090	83,838	1,680	-	31,770	40	117,328
2007	170,016	1,725	894	8,067	1,439	182,141	208,295	6,450	276	238	1,065	216,324	63,450	890	-	29,876	44	94,260
2008	185,057	696	814	9,820	941	197,328	296,603	8,249	499	1,185	1,163	307,699	75,028	2,086	-	26,208	28	103,350
2009	236,757	1,262	709	10,444	1,241	250,413	230,523	6,064	151	1,584	1,086	239,408	76,799	1,019	-	31,422	15	109,255
2010	251,009	1,031	460	8,339	1,032	261,871	147,192	2,769	47	1,815	1,269	153,092	57,752	564	-	37,090	2	95,408
2011	206,851	415	276	8,048	1,130	216,720	276,035	5,215	24	1,384	851	283,509	56,512	631	-	32,317	-	89,460
2012	198,017	451	400	12,954	1,488	213,310	266,215	3,511	303	2,381	1,109	273,519	66,020	473	-	36,167	27	102,687
2013	218,187	207	759	10,783	1,234	231,170	278,560	2,254	164	2,024	1,041	284,043	49,487	273	-	36,170	99	86,029
2014	234,066	517	C	8,649	3,557	246,789	261,469	2,596	C	194	1,231	265,490	60,445	83	-	35,340	177	96,045
2015	245,727	334	C	10,637	3,567	260,265	328,907	3,699	C	189	1,255	334,050	62,913	177	-	41,524	21	104,635
2016	242,118	404	-	9,807	3,118	255,446	337,561	4,086	-	214	3,281	345,142	56,731	541	-	35,541	22	92,835
2017	210,980	412	-	10,480	6,549	228,421	324,759	1,765	-	170	11,695	338,389	66,973	201	-	35,360	37	102,571
2018	238,981	231	-	12,468	4,442	256,122	288,821	865	-	1,221	8,090	298,997	64,523	145	-	29,707	18	94,393
2019	228,313	578	-	11,923	6,320	247,134	347,405	2,851	-	253	14,195	364,704	69,223	117	-	27,903	18	97,261
2020	218,747	148	-	12,393	127	231,415	295,961	1,787	-	544	84	298,376	78,784	106	-	26,049	33	104,972
2021	253,486	125	-	*	*	253,611	325,021	1,746	-	*	*	326,767	57,675	59	-	17,709	*	75,443

[§] Class-6 (carrying capacity >363 t) purse-seine vessels only-Buques cerqueros de Clase 6 (capacidad de acarreo >363 t) solamente

TABLE A-2a. (continued)**TABLA A-2a.** (continuación)

Pacific bluefin—Aleta azul del Pacífico					Albacore—Albacora					Black skipjack—Barrilete negro								
PS		LP	LL	OTR + UNK	Total	PS		LP	LL	OTR + UNK	Total	PS		LP	LL	OTR + UNK	Total	
Ret.	Dis. §					Ret.	Dis. §					Ret.	Dis. §					
1992	1,928	-	-	21	147	2,096	-	-	255	17,080	5,740	23,075	105	-	-	3	-	108
1993	580	-	-	11	316	907	-	-	1	11,194	4,410	15,605	104	3,925	-	31	-	4,060
1994	969	-	-	12	116	1,097	-	-	85	10,390	10,154	20,629	188	857	-	40	-	1,085
1995	659	-	-	25	264	948	-	-	465	6,185	7,427	14,077	202	1,448	-	-	-	1,650
1996	8,333	-	-	19	83	8,435	11	-	72	7,631	8,398	16,112	704	2,304	-	12	-	3,020
1997	2,608	3	2	14	235	2,862	1	-	59	9,678	7,540	17,278	100	2,512	-	11	-	2,623
1998	1,772	-	-	95	516	2,383	42	-	81	12,635	13,158	25,916	489	1,876	39	-	-	2,404
1999	2,553	54	5	151	514	3,277	47	-	227	11,633	14,510	26,417	171	3,404	-	-	-	3,575
2000	3,712	-	61	46	349	4,168	71	-	86	9,663	13,453	23,273	294	1,995	-	-	-	2,289
2001	1,155	3	1	148	378	1,685	3	-	157	19,410	13,727	33,297	2,258	1,019	-	-	-	3,277
2002	1,758	1	3	71	620	2,453	31	-	381	15,289	14,433	30,134	1,459	2,283	8	-	-	3,750
2003	3,233	-	3	87	369	3,692	34	-	59	24,901	20,397	45,391	433	1,535	6	13	117	2,104
2004	8,880	19	-	15	59	8,973	105	-	126	18,444	22,011	40,686	884	387	-	27	862	2,160
2005	4,743	15	-	-	80	4,838	2	-	66	9,350	15,668	25,086	1,472	2,124	-	-	22	3,618
2006	9,928	-	-	-	93	10,021	109	-	1	13,831	18,980	32,921	1,999	1,972	-	-	-	3,971
2007	4,189	-	-	-	14	4,203	187	-	21	11,107	19,261	30,576	2,307	1,625	-	2	54	3,988
2008	4,392	14	15	-	63	4,484	49	-	1,050	9,218	16,505	26,822	3,624	2,251	-	-	8	5,883
2009	3,428	24	-	-	161	3,613	50	2	C	12,072	19,090	31,214	4,256	1,020	-	2	-	5,278
2010	7,746	-	-	3	89	7,838	25	-	C	14,256	19,363	33,644	3,425	1,079	-	8	184	4,696
2011	2,829	4	-	1	244	3,078	10	-	C	16,191	16,074	32,275	2,317	719	-	6	-	3,042
2012	6,705	-	-	1	405	7,111	-	-	C	24,198	18,100	42,298	4,504	440	-	5	7	4,956
2013	3,154	-	-	1	819	3,974	-	-	C	25,396	18,513	43,909	3,580	805	-	10	24	4,419
2014	5,263	66	-	-	427	5,756	-	-	C	29,231	19,463	48,694	4,153	486	-	11	81	4,731
2015	3,168	-	-	15	405	3,588	-	-	C	28,939	17,142	46,081	3,763	356	-	1	111	4,231
2016	3,025	-	-	31	697	3,753	2	-	-	26,777	14,567	41,346	6,606	792	-	-	178	7,576
2017	4,109	-	-	22	936	5,067	-	-	-	26,332	9,463	35,795	5,079	306	-	-	53	5,438
2018	2,852	-	-	31	548	3,431	8	-	-	25,384	11,135	36,527	3,002	732	-	-	118	3,852
2019	2,475	-	-	36	699	3,210	-	-	-	19,849	11,897	31,746	5,199	499	-	-	131	5,829
2020	3,383	19	-	88	679	4,169	-	-	-	19,196	10,008	29,204	4,573	684	-	-	359	5,616
2021	3,069	-	-	*	*	3,069	-	-	-	*	*	*	4,107	475	-	-	*	4,582

§ Class-6 (carrying capacity >363 t) purse-seine vessels only-Buques cerqueros de Clase 6 (capacidad de acarreo >363 t) solamente

TABLE A-2a. (continued)**TABLA A-2a.** (continuación)

	Bonitos					Unidentified tunas—Atunes no identificados					Total							
	PS		LP	LL	OTR + UNK	Total	PS		LP	LL	OTR + UNK	Total	PS		LP	LL	OTR + UNK	Total
	Ret.	Dis. [§]					Ret.	Dis. [§]					Ret.	Dis. [§]				
1992	977	-	-	-	318	1,295	24	-	-	27	1,071	1,122	322,617	-	6,001	120,610	10,276	459,504
1993	599	12	1	-	436	1,048	9	1,975	-	10	4,082	6,076	314,271	21,793	8,725	107,814	14,570	467,173
1994	8,331	147	362	-	185	9,025	9	498	-	1	464	972	322,930	18,781	7,311	111,901	13,943	474,867
1995	7,929	55	81	-	54	8,119	11	626	-	-	1,004	1,641	396,603	27,028	7,066	85,152	14,096	529,945
1996	647	1	7	-	16	671	37	1,028	-	-	1,038	2,103	413,623	39,827	6,395	71,283	13,183	544,311
1997	1,097	4	8	-	34	1,143	71	3,383	-	7	1,437	4,898	466,483	48,157	7,747	84,588	9,962	616,936
1998	1,330	4	7	-	588	1,929	13	1,233	-	24	18,158	19,428	442,365	33,276	6,897	74,758	34,815	592,111
1999	1,719	-	-	24	369	2,112	27	3,092	-	2,113	4,279	9,511	599,160	44,076	4,059	62,254	24,310	733,859
2000	636	-	-	75	56	767	190	1,410	-	1,992	1,468	5,060	559,095	39,494	2,809	83,305	16,756	701,459
2001	17	-	-	34	19	70	191	679	-	2,448	55	3,373	591,243	22,799	4,523	121,616	14,755	754,935
2002	-	-	-	-	1	1	576	1,863	-	482	1,422	4,343	627,077	21,741	1,958	116,057	17,158	783,992
2003	-	-	1	-	25	26	80	1,238	-	215	750	2,283	714,079	33,416	1,177	110,799	25,600	885,071
2004	15	35	1	8	3	62	256	973	-	349	258	1,836	545,992	23,066	2,539	81,818	25,120	678,536
2005	313	18	-	-	11	342	190	1,922	-	363	427	2,902	605,945	25,664	3,187	62,585	19,865	717,246
2006	3,507	80	12	-	3	3,602	50	1,910	-	29	193	2,182	562,330	18,353	1,134	56,066	21,754	659,636
2007	15,906	628	107	2	-	16,643	598	1,221	-	2,197	301	4,317	464,948	12,540	1,298	51,488	22,179	552,452
2008	7,874	37	9	6	26	7,952	136	1,380	1	727	883	3,127	572,763	14,712	2,388	47,164	19,617	656,644
2009	9,720	15	-	8	77	9,820	162	469	-	1,933	74	2,638	561,695	9,875	860	57,466	21,743	651,640
2010	2,820	19	4	2	70	2,915	136	709	-	1,770	36	2,651	470,105	6,170	511	63,279	22,045	562,111
2011	7,969	45	18	10	11	8,053	108	784	-	3,178	-	4,070	552,631	7,813	318	61,136	18,311	640,208
2012	8,191	156	-	1	64	8,412	41	354	-	196	221	812	549,693	5,385	704	75,900	21,419	653,101
2013	2,067	9	-	13	27	2,116	53	461	-	-	529	1,043	555,088	4,009	923	74,397	22,286	656,703
2014	2,821	38	-	-	154	3,013	113	328	-	269	392	1,102	568,330	4,113	-	73,695	25,482	671,620
2015	789	28	-	1	-	818	90	242	-	-	1,232	1,564	645,357	4,836	-	81,306	23,733	755,232
2016	3,806	15	-	-	1	3,822	129	212	-	-	294	635	649,978	6,050	-	72,485	22,157	750,655
2017	3,438	54	-	-	-	3,492	234	303	-	-	366	903	615,572	3,041	-	72,467	29,100	720,180
2018	2,409	58	-	-	-	2,467	75	448	-	3	227	753	600,671	2,479	-	68,814	24,578	696,551
2019	7,255	27	-	-	-	7,044	83	276	-	4	93	456	659,953	4,348	-	59,969	71,085	795,355
2020	3,169	6	-	-	534	3,709	211	480	-	1	16	708	604,828	3,229	-	58,271	11,841	678,169
2021	6,893	76	-	-	-	6,969	913	442	-	*	*	1,355	651,163	2,922	-	17,709	*	671,795

[§] Class-6 (carrying capacity >363 t) purse-seine vessels only-Buques cerqueros de Clase 6 (capacidad de acarreo >363 t) solamente

TABLE A-2b. Estimated catches, in metric tons, of billfishes in the EPO, by fishing gear, 1992-2021. Purse-seine (PS) vessel data are for Class-6 vessels only. The data for 2020-2021 are preliminary.

TABLA A-2b. Capturas estimadas, en toneladas métricas, de peces picudos en el OPO, por arte de pesca, 1992-2021. En el caso de los buques de cerco (PS), los datos son de buques de Clase 6 únicamente. Los datos de 2020-2021 son preliminares.

	Swordfish—Pez espada				Blue marlin—Marlín azul				Black marlin—Marlín negro				Striped marlin—Marlín rayado							
	PS §		LL	OTR	Total	PS §		LL	OTR	Total	PS §		LL	OTR	Total	PS §				
	Ret.	Dis.				Ret.	Dis.				Ret.	Dis.				Ret.	Dis.			
1992	-	4	9,820	4,267	14,091	-	52	6,626	-	6,678	-	95	228	-	323	-	69	3,054	239	3,362
1993	3	1	6,187	4,414	10,605	84	20	6,571	-	6,675	57	31	218	-	306	47	20	3,575	259	3,901
1994	1	-	4,990	3,822	8,813	69	15	9,027	-	9,111	39	23	256	-	318	20	9	3,396	257	3,682
1995	3	-	4,495	2,974	7,472	70	16	7,288	-	7,374	43	23	158	-	224	18	8	3,249	296	3,571
1996	1	-	7,071	2,486	9,558	62	15	5,596	-	3,673	46	24	100	-	170	20	9	3,218	430	3,677
1997	2	1	10,580	1,781	12,364	126	15	5,915	-	6,056	71	22	154	-	247	28	3	4,473	329	4,833
1998	3	-	9,800	3,246	13,049	130	20	4,856	-	5,006	72	28	168	-	268	20	3	3,558	509	4,090
1999	2	-	7,569	1,965	9,536	181	38	3,691	-	3,910	83	42	94	-	219	26	11	2,621	376	3,034
2000	3	-	8,930	2,383	11,316	120	23	3,634	-	3,777	67	21	105	-	193	17	3	1,889	404	2,313
2001	3	1	16,007	1,964	17,975	119	40	4,196	-	4,355	67	48	123	-	238	13	8	1,961	342	2,324
2002	1	-	17,598	2,119	19,718	188	33	3,480	-	3,701	86	30	78	-	194	69	5	2,158	412	2,644
2003	3	1	18,161	354	18,519	185	21	4,015	-	4,221	121	26	73	-	220	31	4	1,904	417	2,356
2004	2	-	15,372	309	15,683	140	21	3,783	-	3,944	62	5	41	-	108	23	1	1,547	390	1,961
2005	2	-	8,935	4,304	13,241	209	14	3,350	-	3,573	95	9	39	-	143	37	4	1,531	553	2,125
2006	7	-	9,890	3,800	13,697	164	21	2,934	105	3,224	124	21	77	-	222	54	3	1,735	490	2,282
2007	4	-	9,639	4,390	14,033	124	13	2,393	106	2,636	74	8	47	-	129	32	4	1,656	1,024	2,716
2008	6	-	12,248	3,071	15,325	125	8	1,705	114	1,952	76	9	100	-	185	33	2	1,291	1,045	2,371
2009	4	-	15,539	3,905	19,448	159	15	2,102	131	2,407	76	8	94	-	178	23	2	1,333	7	1,365
2010	4	-	18,396	4,480	22,880	176	12	2,920	126	3,234	62	9	160	-	231	21	2	2,129	9	2,161
2011	3	-	20,400	5,101	25,504	150	6	2,025	144	2,325	59	7	187	-	253	28	1	2,640	16	2,685
2012	5	-	23,587	7,148	30,740	178	15	3,723	177	4,093	71	4	444	-	519	28	-	2,703	20	2,751
2013	2	-	22,342	5,560	27,904	172	15	4,202	168	4,557	99	4	138	-	241	21	1	2,439	19	2,480
2014	4	-	21,331	6,332	27,667	209	12	4,069	186	4,476	70	4	151	-	225	22	1	1,929	3	1,955
2015	5	1	25,803	6,080	31,889	306	11	4,120	182	4,619	117	14	240	-	371	26	-	1,268	474	1,768
2016	4	-	24,371	7,512	31,887	247	6	3,678	175	4,106	62	3	80	-	145	19	-	1,562	4	1,585
2017	1	2	21,588	8,073	29,664	151	4	3,832	191	4,178	39	1	211	-	251	10	-	1,736	4	1,750
2018	2	-	23,037	7,039	30,078	167	1	4,021	174	4,363	23	-	297	-	320	10	1	1,801	5	1,817
2019	3	-	20,075	9,247	29,325	201	4	2,402	186	2,793	45	-	160	-	205	16	-	1,714	11	1,741
2020	2	-	22,484	5,685	28,171	131	1	2,982	*	3,114	45	-	612	-	657	10	-	1,860	5	1,875
2021	2	-	*	*	2	117	1	*	*	118	38	-	*	-	38	12	-	*	*	12

§ Class-6 (carrying capacity >363 t) purse-seine vessels only-Buques cerqueros de Clase 6 (capacidad de acarreo >363 t) solamente

TABLE A-2b. (continued)

TABLA A-2b. (continuación)

Shortbill spearfish— Marlín trompa corta				Sailfish— Pez vela				Unidentified istiophorid billfishes—Picudos istio- fóridos no identificados				Total billfishes— Total de peces picudos								
PS §		LL	OTR	Total	PS §		LL	OTR	Total	PS §		LL	OTR	Total	PS §		LL	OTR	Total	
Ret.	Dis.				Ret.	Dis.				Ret.	Dis.				Ret.	Dis.				
1992	-	1	1	-	2	-	-	1,351	-1,351	-	-	1,123	-	1,123	-	221	22,203	4,506	26,930	
1993	-	-	1	-	1	26	32	2,266	-2,324	29	68	1,650	-	1,747	246	172	20,468	4,673	25,559	
1994	-	-	144	-	144	19	21	1,682	-1,722	7	16	1,028	-	1,051	155	84	20,523	4,079	24,841	
1995	1	-	155	-	156	12	15	1,351	-1,378	4	9	232	-	245	151	71	16,928	3,270	20,420	
1996	1	-	126	-	127	10	12	738	-760	6	13	308	-	327	146	73	15,157	2,916	18,292	
1997	1	-	141	-	142	12	11	1,891	-1,914	3	5	1,324	-	1,332	243	57	24,478	2,110	26,888	
1998	-	-	200	-	200	28	31	1,382	-1,441	5	7	575	55	642	258	89	20,539	3,810	24,696	
1999	1	-	278	-	279	33	8	1,216	-1,257	6	12	1,136	-	1,154	332	111	16,605	2,341	19,389	
2000	1	-	285	-	286	33	17	1,380	-1,430	3	6	880	136	1,025	244	70	17,103	2,923	20,340	
2001	-	-	304	-	304	18	45	1,539	325	1,927	2	5	1,741	204	1,952	222	147	25,871	2,835	29,075
2002	1	-	273	-	274	19	15	1,792	17	1,843	4	5	1,862	14	1,885	368	88	27,241	2,562	30,259
2003	1	4	290	-	295	38	49	1,174	-1,261	6	5	1,389	-	1,400	385	110	27,006	771	28,272	
2004	1	-	207	-	208	19	13	1,400	17	1,449	4	4	1,385	-	1,393	251	44	23,735	716	24,746
2005	1	-	229	-	230	32	11	805	15	863	5	3	901	-	909	381	41	15,790	4,872	21,084
2006	1	-	231	-	232	30	13	1,007	35	1,085	23	4	490	1	518	403	62	16,364	4,431	21,260
2007	1	-	239	-	240	41	8	1,032	64	1,145	13	4	1,171	15	1,203	289	37	16,177	5,599	22,102
2008	1	-	266	-	267	28	7	524	72	631	16	5	1,587	8	1,616	285	31	17,721	4,310	22,347
2009	1	-	446	-	447	17	6	327	8	358	11	1	1,799	12	1,823	291	32	21,640	4,063	26,026
2010	1	-	519	-	520	27	20	655	3	705	8	2	2,604	-	2,614	299	45	27,383	4,618	32,345
2011	-	-	462	-	462	18	5	658	28	709	15	1	2,377	3	2,396	273	20	28,749	5,292	34,334
2012	1	-	551	-	552	14	2	685	15	716	10	1	2,178	-	2,189	307	22	33,871	7,360	41,560
2013	1	-	913	-	914	16	2	614	9	641	15	3	2,743	1	2,762	326	25	33,391	5,757	39,499
2014	-	-	721	-	721	16	1	481	8	506	8	2	220	3	233	329	20	28,902	6,532	35,783
2015	1	-	497	-	498	18	8	1,402	22	1,450	19	1	705	4	729	492	35	34,036	6,762	41,325
2016	1	-	416	-	417	49	9	457	19	534	112	9	732	1	854	494	27	31,296	7,710	39,527
2017	-	-	245	-	245	22	2	525	15	564	164	12	258	15	449	387	21	28,396	8,298	37,102
2018	-	-	235	-	235	13	2	467	17	499	123	6	203	10	342	338	10	30,060	7,245	37,653
2019	-	-	809	-	809	17	1	856	5	879	121	5	417	51	594	403	11	26,433	9,499	36,346
2020	1	-	647	-	648	18	1	493	3	515	77	3	564	7	651	284	5	29,643	5,700	35,632
2021	-	-	*	-	*	10	1	*	*	11	72	5	*	*	77	251	7	*	*	258

§ Class-6 (carrying capacity >363 t) purse-seine vessels only-Buques cerqueros de Clase 6 (capacidad de acarreo >363 t) solamente

TABLE A-3a. Catches (t) of yellowfin tuna by purse-seine vessels in the EPO, by vessel flag. ‘C’ indicates that the catch has been combined with the total in the ‘OTR’ column. The data have been adjusted to the species composition estimate and are preliminary.

TABLA A-3a. Capturas (t) de atún aleta amarilla por buques de cerco en el OPO, por bandera del buque. ‘C’ indica que la captura se ha combinado con el total en la columna ‘OTR’. Los datos están ajustados a la estimación de composición por especie, y son preliminares.

	COL	CRI	ECU	EU (ESP)	MEX	NIC	PAN	PER	SLV	USA	VEN	VUT	C + OTR ¹	Total
1992	C	-	12,119	C	118,455	-	3,380	45	-	16,961	44,336	27,406	5,419	228,121
1993	3,863	-	18,094	C	101,792	-	5,671	-	-	14,055	43,522	24,936	7,559	219,492
1994	7,533	-	18,365	C	99,618	-	3,259	-	-	8,080	41,500	25,729	4,324	208,408
1995	8,829	C	17,044	C	108,749	-	1,714	-	-	5,069	47,804	22,220	4,005	215,434
1996	9,855	C	17,125	C	119,878	-	3,084	-	-	6,948	62,846	10,549	8,322	238,607
1997	9,402	-	18,697	C	120,761	-	4,807	-	-	5,826	57,881	20,701	6,803	244,878
1998	15,592	-	36,201	5,449	106,840	-	3,330	-	C	2,776	61,425	17,342	5,004	253,959
1999	13,267	-	53,683	8,322	114,545	C	5,782	-	C	3,400	55,443	16,476	11,002	281,920
2000	6,138	-	35,492	10,318	101,662	C	5,796	-	-	4,374	67,672	8,247	13,563	253,262
2001	12,950	-	55,347	18,448	130,087	C	9,552	-	C	5,670	108,974	10,729	32,180	383,937
2002	17,574	-	32,512	16,990	152,864	C	15,719	C	7,412	7,382	123,264	7,502	31,068	412,287
2003	9,770	-	34,271	12,281	172,807	-	16,591	C	C	3,601	96,914	9,334	27,710	383,279
2004	C	-	40,886	13,622	91,442	C	33,563	-	C	C	39,094	7,371	46,577	272,555
2005	C	-	40,596	11,947	110,898	4,838	33,393	-	6,470	C	28,684	C	31,276	268,102
2006	C	-	26,049	8,409	69,449	4,236	22,521	-	C	C	13,286	C	22,679	166,629
2007	C	-	19,749	2,631	65,091	3,917	26,024	-	C	C	20,097	C	32,507	170,016
2008	C	-	18,463	3,023	84,462	4,374	26,993	C	C	C	17,692	C	30,050	185,057
2009	C	-	18,167	7,864	99,785	6,686	35,228	C	C	C	25,298	C	43,729	236,757
2010	20,493	-	34,764	2,820	104,969	9,422	34,538	C	C	-	21,244	C	22,758	251,008
2011	18,643	-	32,946	1,072	99,812	7,781	18,607	-	C	C	18,712	C	9,278	206,851
2012	20,924	-	29,485	1,065	93,323	7,541	15,932	-	C	C	23,408	C	6,339	198,017
2013	16,476	-	27,655	511	114,706	8,261	18,301	C	C	-	24,896	C	7,381	218,187
2014	17,185	-	37,546	760	120,980	8,100	19,349	C	C	1,105	23,025	-	6,016	234,066
2015	17,270	-	50,153	C	106,171	6,876	26,558	783	C	3,212	30,428	-	4,276	245,727
2016	19,280	-	59,280	C	93,928	11,047	23,249	1,647	C	4,578	23,812	-	5,298	242,118
2017	15,106	-	55,705	C	80,870	9,347	19,921	3,349	C	6,500	16,809	-	3,373	210,980
2018	21,855	-	57,164	C	101,651	7,552	22,625	1,458	C	3,808	19,527	-	3,341	238,981
2019	17,177	-	46,102	C	105,426	7,114	17,826	1,782	C	6,515	22,558	-	3,814	228,313
2020	16,641	-	39,897	C	102,137	5,423	22,585	561	C	3,728	24,475	-	3,300	218,747
2021	14,652		50,720	C	108,043	7,368	29,686	C	C	4,655	33,200	-	5,162	253,486

¹ Includes—Incluye: BLZ, BOL, CHN, EU(CYP), GTM, HND, LBR, NZL, RUS, UNK, VCT

TABLE A-3b. Annual catches (t) of yellowfin tuna by longline vessels, and totals for all gears, in the EPO, by vessel flag. 'C' indicates that the catch has been combined with the total in the 'OTR' column. The data for 2020-2021 are preliminary.

TABLA A-3b. Capturas anuales (t) de atún aleta amarilla por buques de palangre en el OPO, y totales de todas las artes, por bandera del buque. 'C' indica que la captura se ha combinado con el total en la columna 'OTR'. Los datos de 2020-2021 son preliminares.

	CHN	CRI	FRA (PYF)	JPN	KOR	MEX	PAN	TWN	USA	VUT	C + OTR ¹	Total LL	Total PS+LL	OTR ²
1992	-	119	57	15,296	2,865	-	-	306	3	-	*	18,646	246,767	5,747
1993	-	200	39	20,339	3,257	C	-	155	17	-	2	24,009	243,501	7,985
1994	-	481	214	25,983	3,069	41	-	236	2	-	*	30,026	238,434	5,112
1995	-	542	198	17,042	2,748	7	-	28	31	-	*	20,596	236,030	3,334
1996	-	183	253	12,631	3,491	0	-	37	13	-	*	16,608	255,215	5,401
1997	-	715	307	16,218	4,753	-	-	131	11	-	28	22,163	267,041	5,018
1998	-	1,124	388	10,048	3,624	16	-	113	15	-	8	15,336	269,295	6,614
1999	-	1,031	206	7,186	3,030	10	-	186	7	-	26	11,682	293,602	4,489
2000	-	1,084	1,052	15,265	5,134	153	359	742	10	5	51	23,855	277,118	3,540
2001	942	1,133	846	14,808	5,230	29	732	3,928	29	13	1,918	29,608	413,544	4,436
2002	1,457	1,563	278	8,513	3,626	4	907	7,360	5	290	1,528	25,531	437,817	1,501
2003	2,739	1,418	462	9,125	4,911	365	C	3,477	5	699	1,973	25,174	408,453	1,615
2004	798	1,701	767	7,338	2,997	32	2,802	1,824	6	171	343	18,779	291,336	2,511
2005	682	1,791	530	3,966	532	0	1,782	2,422	7	51	183	11,946	280,047	3,674
2006	246	1,402	537	2,968	928	0	2,164	1,671	21	164	109	10,210	176,841	2,144
2007	224	1,204	408	4,582	353	8	-	745	11	154	378	8,067	178,083	2,333
2008	469	1,248	335	5,383	83	5	-	247	33	175	1,842	9,820	194,877	1,755
2009	629	1,003	590	4,268	780	10	-	636	84	244	2,200	10,444	247,201	1,950
2010	459	3	301	3,639	737	6	-	872	54	269	1,999	8,339	259,348	1,492
2011	1,807	-	349	2,373	754	6	-	647	55	150	1,907	8,048	214,899	1,406
2012	2,591	1,482	538	3,600	631	7	519	749	39	155	2,643	12,954	210,971	1,888
2013	1,874	1,424	410	3,117	928	8	325	572	43	101	1,981	10,783	228,970	1,993
2014	2,120	1,072	567	2,633	704	4	249	896	61	323	20	8,649	242,715	3,557
2015	2,642	1,415	929	2,177	957	20	419	1,287	121	530	139	10,637	256,364	3,567
2016	2,398	1,010	825	1,839	1,124	29	688	1,222	253	166	253	9,807	251,925	3,118
2017	2,907	837	1,252	1,463	1,176	10	612	1,263	535	406	18	10,480	221,460	6,549
2018	5,386	1,190	1,101	1,412	1,189	-	231	1,212	428	293	26	12,468	251,449	4,442
2019	3,372	1,490	1,015	1,810	1,725	-	314	1,556	260	344	37	11,923	240,236	6,320
2020	3,392	1,719	1,499	1,466	2,110	-	94	1,184	410	242	277	12,393	231,140	127
2021	*	*	*	*	*	*	*	*	*	*	*	*	253,486	*

¹Includes—Incluye: BLZ, CHL, ECU, EU(ESP), EU(PRT), GTM, HND, NIC, SLV

²Includes gillnets, pole-and-line, recreational, troll and unknown gears—Incluye red agallera, caña, artes deportivas, y desconocidas

TABLE A-3c. Catches (t) of skipjack tuna by purse-seine and longline vessels in the EPO, by vessel flag, adjusted to the species composition estimate. 'C' indicates that the catch has been combined with the total in the 'OTR' column. The 2020-2021 data are preliminary.

TABLA A-3c. Capturas (t) de atún barrilete por buques de cerco y de palangre en el OPO, por bandera del buque, ajustadas a la estimación de composición por especie. 'C' indica que la captura se ha combinado con el total en la columna 'OTR'. Los datos de 2020-2021 son preliminares.

	PS													LL+ OTR²	
	COL	CRI	ECU	EU(ESP)	MEX	NIC	PAN	PER	SLV	USA	VEN	VUT	C+OTR¹	Total	
1992	C	-	25,408	C	9,188	-	3,724	352	-	14,108	10,226	13,315	7,962	84,283	3,011
1993	3,292	-	21,227	C	13,037	-	1,062	-	-	17,853	7,270	10,908	9,181	83,830	6,089
1994	7,348	-	15,083	C	11,783	-	2,197	-	-	8,947	6,356	9,541	8,871	70,126	4,044
1995	13,081	C	31,934	C	29,406	-	4,084	-	-	14,032	5,508	13,910	15,092	127,047	7,241
1996	13,230	C	32,433	C	14,501	-	3,619	-	-	12,012	4,104	10,873	13,201	103,973	3,868
1997	12,332	-	51,826	C	23,416	-	4,277	-	-	13,687	8,617	14,246	25,055	153,456	3,491
1998	4,698	-	67,074	20,012	15,969	-	1,136	-	C	6,898	6,795	11,284	6,765	140,631	2,215
1999	11,210	-	124,393	34,923	16,767	C	5,286	-	C	13,491	16,344	21,287	17,864	261,565	3,638
2000	10,138	-	104,849	17,041	14,080	C	9,573	-	-	7,224	6,720	13,620	22,399	205,644	365
2001	9,445	-	66,144	13,454	8,169	C	6,967	-	C	4,135	3,215	7,824	23,813	143,166	1,696
2002	10,908	-	80,378	10,546	6,612	C	9,757	C	4,601	4,582	2,222	4,657	19,283	153,546	996
2003	14,771	-	139,804	18,567	8,147	-	25,084	C	C	5,445	6,143	14,112	41,895	273,968	4,049
2004	C	-	89,621	8,138	24,429	C	20,051	-	C	C	23,356	4,404	27,825	197,824	2,347
2005	C	-	140,927	9,224	32,271	3,735	25,782	-	4,995	C	22,146	C	24,149	263,229	3,309
2006	C	-	138,490	16,668	16,790	8,396	44,639	-	C	C	26,334	C	44,952	296,269	1,645
2007	C	-	93,553	2,879	21,542	4,286	28,475	-	C	C	21,990	C	35,571	208,296	1,579
2008	C	-	143,431	4,841	21,638	7,005	43,230	C	C	C	28,333	C	48,125	296,603	2,847
2009	C	-	132,712	6,021	6,847	5,119	26,973	C	C	C	19,370	C	33,481	230,523	2,821
2010	11,400	-	82,280	1,569	3,010	5,242	19,213	C	C	-	11,818	C	12,660	147,192	3,132
2011	23,269	-	149,637	5,238	11,899	3,889	29,837	-	C	C	27,026	C	25,240	276,035	2,259
2012	15,760	-	151,280	15,773	18,058	3,931	25,786	-	C	C	20,829	C	14,798	266,215	3,793
2013	22,168	-	172,002	2,900	17,350	4,345	31,022	C	C	-	17,522	C	11,251	278,560	3,229
2014	22,732	-	172,239	5,581	8,783	6,300	21,776	C	C	521	13,767	-	9,770	261,469	1,425
2015	16,431	-	208,765	C	23,515	1,261	31,427	5,225	C	16,826	4,792	-	20,665	328,907	1,444
2016	20,665	-	190,577	C	13,286	1,971	32,844	6,449	C	40,036	9,067	-	22,666	337,561	3,495
2017	19,284	-	190,139	C	21,238	6,959	37,419	6,257	C	24,989	7,288	-	11,186	324,759	11,865
2018	15,365	-	177,456	C	17,014	7,759	36,504	4,119	C	11,869	6,679	-	12,056	288,821	9,312
2019	23,395	-	211,827	C	19,656	8,089	33,662	8,944	C	19,706	5,719	-	16,407	347,405	14,448
2020	15,569	-	189,750	C	7,322	9,049	39,058	2,618	C	14,119	4,578	-	13,898	295,961	629
2021	25,008	-	193,560	C	7,995	7,284	44,021	C	C	24,217	7,349	-	15,587	325,021	*

¹ Includes—Incluye: BLZ, BOL, CHN, EU(CYP), GTM, HND, LBR, NZL, RUS, VCT, UNK

² Includes gillnets, pole-and-line, recreational, and unknown gears—Incluye red agallera, caña, artes deportivas y desconocidas

TABLE A-3d. Catches (t) of bigeye tuna by purse-seine vessels in the EPO, by vessel flag. ‘C’ indicates that the catch has been combined with the total in the ‘OTR’ column. The data have been adjusted to the species composition estimate and are preliminary for 2020 and 2021.

TABLA A-3d. Capturas (t) de atún patudo por buques de cerco en el OPO, por bandera del buque. ‘C’ indica que la captura se ha combinado con el total en la columna ‘OTR’. Los datos están ajustados a la estimación de composición por especie, y los de 2020 y 2021 son preliminares.

COL	CRI	ECU	EU(ESP)	MEX	NIC	PAN	PER	SLV	USA	VEN	VUT	C + OTR ¹	Total	
1992	-	-	1,647	C	61	-	38	*	-	3,002	184	1,397	850	7,179
1993	686	-	2,166	C	120	-	10	*	-	3,324	253	1,848	1,250	9,657
1994	5,636	-	5,112	C	171	-	-	*	-	7,042	637	8,829	7,472	34,899
1995	5,815	C	8,304	C	91	-	839	*	-	11,042	706	12,072	6,452	45,321
1996	7,692	C	20,279	C	82	-	1,445	*	-	8,380	619	12,374	10,440	61,311
1997	3,506	-	30,092	C	38	-	1,811	*	-	8,312	348	6,818	13,347	64,272
1998	596	-	25,113	5,747	12	-	12	*	C	5,309	348	4,746	2,246	44,129
1999	1,511	-	24,355	11,703	33	C	1,220	*	C	2,997	10	5,318	4,011	51,158
2000	7,443	-	36,094	12,511	0	C	7,028	*	-	5,304	457	10,000	16,446	95,283
2001	5,230	-	24,424	7,450	0	C	3,858	*	C	2,290	0	4,333	12,933	60,518
2002	5,283	-	26,262	5,108	0	C	4,726	C	2,228	2,219	0	2,256	9,340	57,422
2003	3,664	-	22,896	4,605	0	-	6,222	C	C	1,350	424	3,500	10,390	53,051
2004	C	-	30,817	3,366	0	C	8,294	*	C	C	9,661	1,822	11,511	65,471
2005	C	-	30,507	3,831	0	1,551	10,707	*	2,074	C	9,197	C	10,028	67,895
2006	C	-	39,302	5,264	6	2,652	14,099	*	C	C	8,317	C	14,197	83,837
2007	C	-	40,445	711	0	1,058	7,029	*	C	C	5,428	C	8,780	63,451
2008	C	-	41,177	1,234	327	1,785	11,018	C	C	C	7,221	C	12,266	75,028
2009	C	-	35,646	2,636	1,334	2,241	11,807	C	C	C	8,479	C	14,657	76,800
2010	4,206	-	34,902	579	11	1,934	7,089	C	C	-	4,360	C	4,672	57,753
2011	3,210	-	31,282	4,111	133	2,256	7,953	*	C	C	301	C	7,266	56,512
2012	1,873	-	45,633	3,866	225	1,250	7,238	*	C	C	848	C	5,087	66,020
2013	1,405	-	32,444	1,672	124	2,749	6,118	-	C	-	963	C	4,012	49,487
2014	2,479	-	39,094	2,812	40	3,068	8,168	-	C	129	1,183	-	3,472	60,445
2015	2,470	-	44,063	C	156	774	10,113	-	C	2,384	100	-	2,853	62,913
2016	2,743	-	33,139	C	255	667	8,440	312	C	2,801	345	-	8,029	56,731
2017	3,656	-	38,299	C	358	1,610	10,544	0	C	6,210	1,256	-	5,040	66,973
2018	1,449	-	40,427	C	766	1,519	11,753	104	C	3,354	1,157	-	3,994	64,523
2019	4,171	-	38,757	C	962	2,630	10,868	-	C	3,304	996	-	7,536	69,223
2020	4,548	-	47,957	C	726	1,885	10,519	65	C	4,066	688	-	8,330	78,784
2021	3,685	-	30,907	C	1,095	1,676	6,310	-	C	5,007	271	-	8,724	57,675

¹ Includes—Incluye: BLZ, BOL, CHN, EU(CYP), GTM, HND, LBR, NZL, UNK, VCT

TABLE A-3e. Annual catches (t) of bigeye tuna by longline vessels, and totals for all gears, in the EPO, by vessel flag. ‘C’ indicates that the catch has been combined with the total in the ‘OTR’ column. The data for 2020-2021 are preliminary.

TABLA A-3e. Capturas anuales (t) de atún patudo por buques de palangre en el OPO, y totales de todas las artes, por bandera del buque. ‘C’ indica que la captura se ha combinado con el total en la columna ‘OTR’. Los datos de 2020-2021 son preliminares.

	CHN	CRI	FRA (PYF)	JPN	KOR	MEX	PAN	TWN	USA	VUT	C + OTR ¹	Total LL	Total PS + LL	OTR ²
1992	-	9	7	74,466	9,202	-	-	1,032	92	-	*	84,808	91,987	13
1993	-	25	7	63,190	8,924	*	-	297	55	-	*	72,498	82,155	35
1994	-	1	102	61,471	9,522	-	-	255	9	-	*	71,360	106,259	806
1995	-	13	97	49,016	8,992	-	-	77	74	-	*	58,269	103,590	1,369
1996	-	1	113	36,685	9,983	-	-	95	81	-	*	46,958	108,269	748
1997	-	9	250	40,571	11,376	-	-	256	118	-	*	52,580	116,852	20
1998	-	28	359	35,752	9,731	-	-	314	191	-	*	46,375	90,504	628
1999	-	25	3,652	22,224	9,431	-	-	890	228	-	*	36,450	87,608	538
2000	-	27	653	28,746	13,280	42	14	1,916	162	2,754	11	47,605	142,887	253
2001	2,639	28	684	38,048	12,576	1	80	9,285	147	3,277	1,990	68,755	129,273	19
2002	7,614	19	388	34,193	10,358	-	6	17,253	132	2,995	1,466	74,424	131,845	12
2003	10,066	18	346	24,888	10,272	-	C	12,016	232	1,258	680	59,776	112,828	21
2004	2,645	21	405	21,236	10,729	-	48	7,384	149	407	459	43,483	108,954	194
2005	2,104	23	398	19,113	11,580	-	30	6,441	536	318	151	40,694	108,589	25
2006	709	18	388	16,235	6,732	-	37	6,412	85	960	195	31,771	115,608	40
2007	2,324	15	361	13,977	5,611	-	-	6,057	417	1,013	101	29,876	93,326	44
2008	2,379	16	367	14,908	4,150	-	-	1,852	1,277	790	468	26,207	101,236	28
2009	2,481	13	484	15,490	6,758	-	-	3,396	730	1,032	1,038	31,422	108,221	15
2010	2,490	4	314	15,847	9,244	-	-	5,276	1,356	1,496	1,063	37,090	94,842	2
2011	5,450	-	445	13,399	6,617	-	-	3,957	1,050	694	706	32,318	88,829	-
2012	4,386	3	464	16,323	7,450	-	-	4,999	875	1,063	604	36,167	102,187	27
2013	5,199	-	527	14,258	8,822	-	-	4,162	2,054	604	544	36,170	85,657	99
2014	5,253	9	526	13,634	8,203	-	114	4,511	2,073	897	120	35,340	95,785	177
2015	8,401	8	692	13,079	8,635	-	364	5,181	2,948	1,888	328	41,524	104,437	21
2016	7,052	3	477	10,467	7,692	-	313	6,006	2,090	762	679	35,541	92,272	22
2017	7,093	16	700	8,054	8,749	-	357	6,186	2,700	1,359	147	35,360	102,333	37
2018	6,060	14	897	6,125	6,675	-	415	5,125	2,410	1,841	145	29,707	94,230	18
2019	5,372	23	800	6,024	6,137	-	325	5,868	1,725	1,466	163	27,903	97,126	18
2020	4,048	35	756	5,440	7,633	-	164	5,414	1,462	798	299	26,049	104,833	33
2021	3483	*	*	4,717	5,497	-	*	3,988	*	24	*	17,709	75,384	*

¹ Includes—Incluye: BLZ, CHL, ECU, EU(ESP), EU(PRT), HND, SLV

² Includes gillnets, pole-and-line, recreational, and unknown gears—Incluye red agallera, caña, artes deportivas, y desconocidas

TABLE A-4a. Preliminary estimates of the retained catches, in metric tons, of tunas and bonitos caught by purse-seine vessels in the EPO in 2020 and 2021, by species and vessel flag. The data for yellowfin, skipjack, and bigeye tunas have been adjusted to the species composition estimates, and are preliminary.

TABLA A-4a. Estimaciones preliminares de las capturas retenidas, en toneladas métricas, de atunes y bonitos por buques cerqueros en el OPO en 2020 y 2021, por especie y bandera del buque. Los datos de los atunes aleta amarilla, barrilete, y patudo fueron ajustados a las estimaciones de composición por especie, y son preliminares.

	YFT	SKJ	BET	PBF	ALB	BKJ	BZX	TUN	Total	%
2020	Retained catches—Capturas retenidas									
COL	16,641	15,569	4,548	-	-	11	-	7	36,776	6.1
ECU	39,896	189,750	47,957	-	-	2,214	-	151	279,968	46.3
MEX	102,137	7,322	726	3,266	-	2,298	3,169	33	118,951	19.7
NIC	5,423	9,049	1,885	-	-	2	-	1	16,360	2.7
PAN	22,586	39,058	10,519	-	-	26	-	5	72,194	11.9
PER	561	2,617	65	-	-	-	-	-	3,243	0.6
USA	3,728	14,119	4,066	117	-	14	-	1	22,045	3.6
VEN	24,476	4,578	688	-	-	8	-	-	29,750	4.9
OTR ¹	3,299	13,899	8,330	-	-	-	-	13	25,541	4.2
Total	218,747	295,961	78,784	3,383	-	4,573	3,169	211	604,828	
2021	Retained catches—Capturas retenidas									
COL	14,652	25,008	3,685	-	-	22	-	-	43,367	6.7
ECU	50,720	193,560	30,906	-	-	1,009	48	398	276,641	42.5
MEX	108,043	7,995	1,095	3,026	-	3,030	6,800	11	130,000	20.0
NIC	7,368	7,284	1,676	-	-	-	-	-	16,328	2.5
PAN	29,686	44,021	6,311	-	-	32	-	473	80,523	12.4
USA	4,654	24,217	5,007	43	-	1	25	-	33,947	5.2
VEN	33,200	7,349	271	-	-	12	-	19	40,851	6.3
OTR ²	5,162	15,586	8,725	-	-	1	20	12	29,506	4.4
Total	253,485	325,020	57,676	3,069	-	4,107	6,893	913	651,163	

¹ Includes El Salvador and European Union (Spain) - This category is used to avoid revealing the operations of individual vessels or companies.

¹ Incluye El Salvador y Unión Europea (España) - Se usa esta categoría para no revelar información sobre las actividades de buques o empresas individuales.

² Includes El Salvador, European Union (Spain) and Peru - This category is used to avoid revealing the operations of individual vessels or companies.

² Incluye El Salvador, Perú y Unión Europea (España) - Se usa esta categoría para no revelar información sobre las actividades de buques o empresas individuales.

TABLE A-4b. Preliminary estimates of the landings, in metric tons, of tunas and bonitos caught by purse-seine vessels in the EPO in 2020 and 2021, by year, species and country of landing. The data for yellowfin, skipjack, and bigeye tunas have not been adjusted to the species composition estimates and are preliminary.

TABLA A-4b. Estimaciones preliminares de las descargas, en toneladas métricas, de atunes y bonitos por buques cerqueros en el OPO en 2020 y 2021, por año, especie y país de descarga. Los datos de los atunes aleta amarilla, barrilete, y patudo no fueron ajustados a las estimaciones de composición por especie, y son preliminares.

	YFT	SKJ	BET	PBF	ALB	BKJ	BZX	TUN	Total	%
2020	Landings-Descargas									
COL	17,819	14,712	3,036	-	-	10	-	3	35,580	5.8
ECU	71,501	275,445	38,712	-	-	2,192	-	149	387,999	63.4
MEX	100,985	11,201	1,306	3,266	-	2,300	3,169	33	122,260	20.0
PER	1,430	9,294	566	-	-	19	-	6	11,315	1.8
USA	1,754	3,212	250	117	-	-	-	-	5,333	0.9
OTR ¹	29,195	15,060	5,528	-	-	-	-	-	49,783	8.1
Total	222,684	328,923	49,398	3,383	-	4,520	3,169	191	612,269	
2021	Landings-Descargas									
COL	10,272	11,818	1,600	-	-	2	-	-	23,692	3.7
ECU	98,756	280,823	28,409	-	-	1,091	73	853	410,005	63.7
MEX	109,770	12,630	1,400	3,026	-	3,030	6,800	11	136,667	21.2
PER	1,215	5,995	354	-	-	5	20	6	7,595	1.2
USA	1,009	6,149	1,083	43	-	-	-	-	8,284	1.3
OTR ²	35,262	17,017	5,512	-	-	3	-	51	57,845	8.9
Total	256,284	334,431	38,358	3,069	-	4,130	6,893	921	644,087	

¹ Includes Costa Rica, El Salvador, Guatemala, Kiribati and Unknown - This category is used to avoid revealing the operations of individual vessels or companies.

¹ Incluye Costa Rica, Desconocida, El Salvador, Guatemala y Kiribati - Se usa esta categoría para no revelar información sobre las actividades de buques o empresas individuales.

² Includes Costa Rica, El Salvador, European Union (Spain), Guatemala, Kiribati, Panama and Unknown - This category is used to avoid revealing the operations of individual vessels or companies.

² Incluye Costa Rica, Desconocida, El Salvador, Guatemala, Kiribati, Panamá y Unión Europea (España) - Se usa esta categoría para no revelar información sobre las actividades de buques o empresas individuales.

TABLE A-5a. Annual retained catches of Pacific bluefin tuna, by gear type and flag, in metric tons, 1992-2020. The data for 2019 and 2020 are preliminary; 2021 data are not available.

TABLA A-5a. Capturas retenidas anuales de atún aleta azul del Pacífico, por arte de pesca y bandera, en toneladas, 1992-2020. Los datos de 2019 y 2020 son preliminares; no se dispone de datos de 2021.

PBF	Western Pacific flags—Banderas del Pacífico occidental ¹												EPO flags—Banderas del OPO					Total
	JPN				KOR			TWN			Sub-total	MEX		USA		Sub-total		
	PS	LP	LL	OTR	PS	OTR	PS	LL	OTR	PS		PS	OTR	PS	OTR			
1992	7,162	166	513	3,204	288	-	73	464	8	11,878	0	-	1,928	171	2,099	13,977		
1993	6,600	129	812	1,759	40	-	1	471	3	9,815	-	-	580	386	966	10,781		
1994	8,131	162	1,206	5,667	50	-	-	559	-	15,775	63	2	906	145	1,116	16,891		
1995	18,909	270	678	7,223	821	-	-	335	2	28,238	11	-	657	294	962	29,200		
1996	7,644	94	901	5,359	102	-	-	956	-	15,056	3,700	-	4,639	110	8,449	23,505		
1997	13,152	34	1,300	4,354	1,054	-	-	1,814	-	21,708	367	-	2,240	264	2,871	24,579		
1998	5,391	85	1,255	4,450	188	-	-	1,910	-	13,279	1	0	1,771	703	2,475	15,754		
1999	16,173	35	1,157	5,246	256	-	-	3,089	-	25,956	2,369	35	184	592	3,180	29,136		
2000	16,486	102	953	7,031	2,401	-	-	2,780	2	29,755	3,019	99	693	380	4,191	33,946		
2001	7,620	180	791	5,614	1,176	10	-	1,839	4	17,234	863	-	292	392	1,547	18,781		
2002	8,903	99	841	4,338	932	1	-	1,523	4	16,641	1,708	2	50	625	2,385	19,026		
2003	5,768	44	1,237	3,345	2,601	-	-	1,863	21	14,879	3,211	43	22	373	3,649	18,528		
2004	8,257	132	1,847	3,855	773	-	-	1,714	3	16,581	8,880	14	-	61	8,955	25,536		
2005	12,817	549	1,925	6,363	1,318	9	-	1,368	2	24,351	4,542	-	201	80	4,823	29,174		
2006	8,880	108	1,121	4,058	1,012	3	-	1,149	1	16,332	9,806	-	-	96	9,902	26,234		
2007	6,840	236	1,762	4,983	1,281	4	-	1,401	10	16,517	4,147	-	42	14	4,203	20,720		
2008	10,221	64	1,390	5,505	1,866	10	-	979	2	20,037	4,407	15	-	64	4,486	24,523		
2009	8,077	50	1,080	4,814	936	4	-	877	11	15,849	3,019	-	410	162	3,591	19,440		
2010	3,742	83	890	3,681	1,196	16	-	373	36	10,017	7,746	-	-	89	7,835	17,852		
2011	8,340	63	837	3,754	670	14	-	292	24	13,994	2,731	1	-	343	3,075	17,069		
2012	2,462	113	673	2,846	1,421	2	-	210	4	7,731	6,668	1	-	442	7,111	14,842		
2013	2,771	8	784	2,848	604	1	-	331	3	7,350	3,154	-	-	820	3,974	11,324		
2014	5,456	5	683	3,429	1,305	6	-	483	42	11,409	4,862	-	401	427	5,690	17,099		
2015	3,645	8	649	2,085	676	1	-	552	26	7,642	3,082	-	86	412	3,580	11,222		
2016	5,095	54	691	2,514	1,024	5	-	454	0	9,837	2,709	-	316	412	3,437	13,274		
2017	4,540	49	913	3,491	734	9	-	415	0	10,151	3,643	-	466	472	4,581	14,732		
2018	4,050	9	700	1,447	523	12	-	381	3	7,125	2,482	-	12	567	3,061	10,186		
2019	4,464	0	1,002	2,033	542	39	-	486	6	8,572	2,249	-	226	511	2,986	11,558		
2020	3,960	11	1,416	2,496	567	38	-	1,148	4	9,630	3,266	-	116	767	4,149	13,779		

¹ Source: International Scientific Committee, 21st Plenary Meeting, PBFWG workshop report on Pacific Bluefin Tuna, July 2021—Fuente: Comité Científico Internacional, 21^a Reunión Plenaria, Taller PBFWG sobre Atún Aleta Azul del Pacífico, julio de 2021

TABLE A-5b. Reported catches of Pacific bluefin tuna in the EPO by recreational gear, in number of fish, 1992-2021.

TABLA A-5b. Capturas reportadas de atún aleta azul del Pacífico en el OPO por artes deportivas, en número de peces, 1992-2021.

1992	8,586	2007	1,028
1993	10,535	2008	10,187
1994	2,243	2009	12,138
1995	16,025	2010	8,453
1996	2,739	2011	31,494
1997	8,338	2012	40,012
1998	20,466	2013	63,158
1999	36,797	2014	27,889
2000	20,669	2015	28,661
2001	21,913	2016	12,312
2002	33,399	2017	16,493
2003	22,291	2018	13,855
2004	3,391	2019	18,683
2005	5,757	2020	35,972
2006	7,473	2021	52,401

TABLE A-6. Annual retained catches of albacore in the EPO, by gear and area (north and south of the equator), in metric tons, 1992-2020. The data for 2019 and 2020 are preliminary; 2021 data are not available.

TABLA A-6. Capturas retenidas anuales de atún albacora en el OPO, por arte y zona (al norte y al sur de la línea ecuatorial), en toneladas, 1992-2020. Los datos de 2019 y 2020 son preliminares; no se dispone de datos de 2021.

ALB	North—Norte				South—Sur				Total
	LL	LTL ¹	OTR	Subtotal	LL	LTL	OTR	Subtotal	
1992	1,635	4,770	2	6,407	15,445	1,205	18	16,668	23,075
1993	1,772	4,332	25	6,129	9,422	35	19	9,476	15,605
1994	2,356	9,666	106	12,128	8,034	446	21	8,501	20,629
1995	1,380	7,773	102	9,255	4,805	2	15	4,822	14,077
1996	1,675	8,267	99	10,041	5,956	94	21	6,071	16,112
1997	1,365	6,115	1,019	8,499	8,313	466	0	8,779	17,278
1998	1,730	12,019	1,250	14,999	10,905	12	0	10,917	25,916
1999	2,701	11,028	3,668	17,397	8,932	81	7	9,020	26,417
2000	1,880	10,960	1,869	14,709	7,783	778	3	8,564	23,273
2001	1,822	11,727	1,638	15,187	17,588	516	6	18,110	33,297
2002	1,227	12,286	2,388	15,901	14,062	131	40	14,233	30,134
2003	1,129	17,808	2,260	21,197	23,772	419	3	24,194	45,391
2004	854	20,288	1,623	22,765	17,590	331	0	17,921	40,686
2005	405	13,807	1,741	15,953	8,945	181	7	9,133	25,086
2006	3,671	18,515	408	22,594	10,161	48	119	10,328	32,922
2007	2,708	17,948	1,415	22,071	8,399	19	87	8,505	30,576
2008	1,160	17,137	308	18,605	8,058	0	159	8,217	26,822
2009	91	17,933	996	19,020	11,981	0	213	12,194	31,214
2010	1,134	18,246	892	20,272	13,122	3	247	13,372	33,644
2011	1,833	15,437	426	17,696	14,357	0	222	14,579	32,275
2012	4,583	16,633	1,222	22,438	19,613	35	210	19,858	42,296
2013	6,193	17,398	844	24,435	19,204	0	271	19,475	43,910
2014	3,546	18,178	1,042	22,766	25,685	0	243	25,928	48,694
2015	2,067	15,986	934	18,987	26,873	0	221	27,094	46,081
2016	1,641	13,600	677	15,918	25,136	0	290	25,426	41,346
2017	2,512	8,871	386	11,769	23,820	0	206	24,026	35,795
2018	2,433	10,433	381	13,247	22,951	0	329	23,280	36,527
2019	1,427	10,167	1,368	12,962	18,422	0	362	18,784	31,746
2020	1,476	9,672	278	11,426	17,720	0	58	17,778	29,204

¹ Includes pole-and-line—Incluye caña

TABLE A-7. Estimated numbers of sets, by set type and vessel capacity category, and estimated retained catches, in metric tons, of yellowfin, skipjack, and bigeye tuna by purse-seine vessels in the EPO. The data for 2020 and 2021 are preliminary. The data for yellowfin, skipjack, and bigeye tunas have been adjusted to the species composition estimate and are preliminary.

TABLA A-7. Números estimados de lances, por tipo de lance y categoría de capacidad de buque, y capturas retenidas estimadas, en toneladas métricas, de atunes aleta amarilla, barrilete, y patudo por buques cerqueros en el OPO. Los datos de 2020 y 2021 son preliminares. Los datos de los atunes aleta amarilla, barrilete, y patudo fueron ajustados a la estimación de composición por especie, y son preliminares.

DEL	Number of sets—Número de lances		Retained catch—Captura retenida		
	Vessel capacity—Capacidad del buque		Total	YFT	SKJ
	≤363 t	>363 t			
Sets associated with dolphins Lances asociados a delfines					
2006	0	8,923	8,923	91,800	4,801
2007	0	8,871	8,871	97,075	3,272
2008	0	9,246	9,246	122,107	8,388
2009	0	10,910	10,910	178,291	2,683
2010	0	11,646	11,646	170,028	1,365
2011	0	9,604	9,604	134,926	4,387
2012	0	9,220	9,220	133,825	2,122
2013	0	10,736	10,736	157,432	4,272
2014	0	11,382	11,382	167,780	4,413
2015	0	11,020	11,020	160,595	5,608
2016	0	11,219	11,219	146,526	3,179
2017	0	8,863	8,863	112,533	1,656
2018	0	9,774	9,774	147,859	2,456
2019	0	9,680	9,680	153,649	3,696
2020	0	9,773	9,773	150,263	1,705
2021	0	9,892	9,892	158,216	2,570
Sets associated with floating objects Lances asociados a objetos flotantes					
2006	1,313	6,862	8,175	34,111	191,006
2007	1,605	5,857	7,462	29,412	122,119
2008	1,958	6,655	8,613	34,763	157,324
2009	2,142	7,077	9,219	36,147	157,023
2010	2,432	6,399	8,831	37,850	114,659
2011	2,538	6,921	9,459	42,176	171,193
2012	3,067	7,610	10,677	37,487	177,055
2013	3,081	8,038	11,119	35,112	194,372
2014	3,860	8,777	12,637	46,049	199,696
2015	3,457	9,385	12,842	43,603	206,515
2016	4,214	10,377	14,591	58,673	248,190
2017	4,544	11,148	15,692	67,167	224,422
2018	4,954	11,871	16,825	66,122	213,626
2019	4,885	10,591	15,476	52,862	226,375
2020	3,363	8,788	12,151	44,461	191,399
2021	3,986	11,153	15,139	66,488	225,132
					56,861

TABLE A-7. (continued)**TABLA A-7. (continuación)**

	Number of sets—Número de lances		Retained catch—Captura retenida					
	Vessel capacity— Capacidad del buque		Total	YFT	SKJ			
	≤363 t	>363 t						
Sets on unassociated schools Lances sobre cardúmenes no asociados								
NOA								
2006	7,180	8,443	15,623	40,720	100,461			
2007	5,480	7,211	12,691	43,529	82,904			
2008	5,204	6,210	11,414	28,187	130,891			
2009	3,822	4,109	7,931	22,319	70,817			
2010	2,744	3,885	6,629	43,131	31,168			
2011	2,840	5,182	8,022	29,749	100,455			
2012	2,996	5,369	8,365	26,705	87,038			
2013	3,064	4,156	7,220	25,643	79,916			
2014	2,428	3,369	5,797	20,237	57,360			
2015	3,116	6,201	9,317	41,529	116,784			
2016	2,300	5,101	7,401	36,919	86,192			
2017	2,016	4,960	6,976	31,280	98,681			
2018	1,925	4,163	6,088	25,000	72,739			
2019	2,064	5,948	8,012	21,802	117,334			
2020	1,883	4,575	6,458	24,023	102,857			
2021	1,672	4,804	6,476	28,782	97,319			
Sets on all types of schools Lances sobre todos tipos de cardumen								
ALL								
2006	8,493	24,228	32,721	166,631	296,268			
2007	7,085	21,939	29,024	170,016	208,295			
2008	7,162	22,111	29,273	185,057	296,603			
2009	5,964	22,096	28,060	236,757	230,523			
2010	5,176	21,930	27,106	251,009	147,192			
2011	5,378	21,707	27,085	206,851	276,035			
2012	6,063	22,199	28,262	198,017	266,215			
2013	6,145	22,930	29,075	218,187	278,560			
2014	6,288	23,528	29,816	234,066	261,469			
2015	6,573	26,606	33,179	245,727	328,907			
2016	6,514	26,697	33,211	242,118	337,561			
2017	6,560	24,971	31,531	210,980	324,759			
2018	6,879	25,808	32,687	238,981	288,821			
2019	6,949	26,219	33,168	228,313	347,405			
2020	5,246	23,136	28,382	218,747	295,961			
2021	5,658	25,849	31,507	253,486	325,021			

TABLE A-8. Types of floating objects involved in sets by vessels of >363 t carrying capacity, 2006-2021. The 2021 data are preliminary.

TABLA A-8. Tipos de objetos flotantes sobre los que realizaron lances buques de >363 t de capacidad de acarreo, 2006-2021. Los datos de 2021 son preliminares.

OBJ	Flotsam Naturales		FADs Plantados		Unknown Desconocido		Total
	No.	%	No.	%	No.	%	
2006	697	10.2	6,123	89.2	42	0.6	6,862
2007	597	10.2	5,188	88.6	72	1.2	5,857
2008	560	8.4	6,070	91.2	25	0.4	6,655
2009	322	4.5	6,728	95.1	27	0.4	7,077
2010	337	5.3	6,038	94.3	24	0.4	6,399
2011	563	8.1	6,342	91.6	16	0.2	6,921
2012	286	3.8	7,321	96.2	3	< 0.1	7,610
2013	274	3.4	7,759	96.5	5	0.1	8,038
2014	283	3.2	8,490	96.7	4	< 0.1	8,777
2015	273	2.9	9,093	96.9	19	0.2	9,385
2016	278	2.7	10,070	97.0	29	0.3	10,377
2017	271	2.4	10,877	97.6	0	0	11,148
2018	322	2.7	11,549	97.3	0	0	11,871
2019	216	2.0	10,373	97.9	2	< 0.1	10,591
2020	166	1.9	8,622	98.1	0	0	8,788
2021	286	2.6	10,867	97.4	0	0	11,153

TABLE A-9. Reported nominal longline fishing effort (E; 1000 hooks) and catch (C; metric tons) of yellowfin, skipjack, bigeye, Pacific bluefin, and albacore tunas only, by flag, in the EPO. 2021 data are not available.

TABLA A-9. Esfuerzo de pesca palangrero nominal reportado (E; 1000 anzuelos), y captura (C; toneladas métricas) de atunes aleta amarilla, barrilete, patudo, aleta azul del Pacífico, y albacora solamente, por bandera, en el OPO. No se dispone de datos de 2021.

LL	CHN		JPN		KOR		FRA(PYF)		TWN		USA		OTR ¹
	E	C	E	C	E	C	E	C	E	C	E	C	C
1992	-	-	191,284	93,011	45,634	13,104	199	89	33,025	14,142	325	106	128
1993	-	-	159,955	87,977	46,375	12,843	153	79	18,064	6,566	415	81	227
1994	-	-	163,968	92,606	44,788	13,250	1,373	574	12,588	4,883	303	25	523
1995	-	-	129,598	69,435	54,979	12,778	1,776	559	2,910	1,639	828	180	562
1996	-	-	103,654	52,298	40,290	14,121	2,087	931	5,830	3,553	510	182	185
1997	-	-	96,383	59,325	30,493	16,663	3,464	1,941	8,720	5,673	464	215	752
1998	-	-	106,568	50,167	51,817	15,089	4,724	2,858	10,586	5,039	1,008	406	1,176
1999	-	-	80,958	32,886	54,269	13,294	5,512	4,446	23,247	7,865	1,756	469	1,157
2000	-	-	79,311	45,216	33,585	18,759	8,090	4,382	18,152	7,809	737	204	4,868
2001	13,056	5,162	102,219	54,775	72,261	18,201	7,445	5,086	41,920	20,060	1,438	238	15,612
2002	34,889	10,398	103,920	45,401	96,273	14,370	943	3,238	78,018	31,773	613	138	10,258
2003	43,289	14,548	101,227	36,187	71,006	15,551	11,098	4,101	74,460	28,328	1,314	262	11,595
2004	15,889	4,033	76,824	30,936	55,861	14,540	13,757	3,030	49,979	19,535	1,049	166	9,193
2005	16,896	3,681	65,081	25,712	15,798	12,284	13,356	2,515	38,536	12,229	2,397	557	5,244
2006	588	969	56,525	21,432	27,472	7,892	11,786	3,220	38,134	12,375	234	121	10,027
2007	12,226	2,624	45,972	20,514	10,548	6,037	9,672	3,753	22,244	9,498	2,689	436	6,424
2008	11,518	2,984	44,547	21,375	3,442	4,256	10,255	3,017	12,544	4,198	6,322	1,369	9,231
2009	10,536	3,435	41,517	21,492	18,364	7,615	10,686	4,032	13,904	6,366	5,141	852	11,731
2010	11,905	3,590	47,807	21,017	25,816	10,477	8,976	3,139	24,976	10,396	8,879	1,480	11,400
2011	37,384	9,983	52,194	18,682	25,323	7,814	9,514	3,192	21,065	9,422	7,359	1,233	7,616
2012	55,508	14,462	55,587	22,214	20,338	8,286	8,806	3,589	20,587	11,924	5,822	986	14,237
2013	70,411	18,128	48,825	19,097	31,702	10,248	9,847	3,303	19,198	11,722	10,765	2,127	9,754
2014	78,851	24,282	40,735	17,235	22,695	9,132	10,572	3,291	17,047	10,435	11,276	2,168	6,874
2015	99,131	25,559	35,290	16,046	22,394	9,879	13,661	4,509	15,334	11,274	13,868	3,089	10,924
2016	66,405	25,756	30,910	13,242	23,235	9,457	13,677	3,954	20,941	11,432	11,313	2,444	6,236
2017	82,461	27,341	27,961	10,617	27,540	10,525	11,641	3,425	24,164	11,811	15,266	3,311	5,461
2018	83,023	27,024	24,608	8,686	19,443	8,474	13,258	4,300	31,735	9,985	13,607	2,953	7,426
2019	65,298	18,652	18,472	8,831	17,655	8,556	12,620	4,209	34,930	12,169	11,117	2,103	5,450
2020	56,607	15,620	18,012	7,781	23,284	10,427	14,253	3,906	43,643	11,776	9,377	2,186	5,613

¹ Includes the catches of—Incluye las capturas de: BLZ, CHL, COK, CRI, ECU, EU(ESP), GTM, HND, MEX, NIC, PAN, EU(PRT), SLV, VUT

TABLE A-10. Numbers and well volumes, in cubic meters, of purse-seine and pole-and line vessels of the EPO tuna fleet. The data for 2020 and 2021 are preliminary.

TABLA A-10. Número y volumen de bodega, en metros cúbicos, de buques cerqueros y cañeros de la flota atunera del OPO. Los datos de 2020 y 2021 son preliminares.

	PS		LP		Total	
	No.	Vol. (m ³)	No.	Vol. (m ³)	No.	Vol. (m ³)
1992	158	116,619	20	1,807	178	118,426
1993	151	117,593	15	1,550	166	119,143
1994	166	120,726	20	1,726	186	122,452
1995	175	123,798	20	1,784	195	125,582
1996	180	130,774	17	1,646	197	132,420
1997	194	147,926	23	2,127	217	150,053
1998	202	164,956	22	2,216	224	167,172
1999	208	178,724	14	1,642	222	180,366
2000	205	180,679	12	1,220	217	181,899
2001	204	189,088	10	1,259	214	190,347
2002	218	199,870	6	921	224	200,791
2003	214	202,381	3	338	217	202,719
2004	218	206,473	3	338	221	206,811
2005	220	212,419	4	498	224	212,917
2006	225	225,166	4	498	229	225,664
2007	227	225,359	4	380	231	225,739
2008	219	223,804	4	380	223	224,184
2009	221	224,632	4	380	225	225,012
2010	202	210,025	3	255	205	210,280
2011	208	213,237	3	339	211	213,576
2012	209	217,687	4	464	213	218,151
2013	203	212,087	3	268	206	212,355
2014	226	230,379	2	226	228	230,605
2015	244	248,428	1	125	245	248,553
2016	250	261,474	0	0	250	261,474
2017	254	263,018	0	0	254	263,018
2018	261	263,666	0	0	261	263,666
2019	261	265,085	0	0	261	265,085
2020	242	241,331	0	0	242	241,331
2021	236	253,323	0	0	236	253,323

TABLE A-11a. Estimates of the numbers and well volume (cubic meters) of purse-seine (PS) and pole-and-line (LP) vessels that fished in the EPO in 2020, by flag and gear. Each vessel is included in the total for each flag under which it fished during the year but is included only once in the “Grand total”; therefore, the grand total may not equal the sums of the individual flags.

TABLA A-11a. Estimaciones del número y volumen de bodega (metros cúbicos) de buques cerqueros (PS) y cañeros (LP) que pescaron en el OPO en 2020 por bandera y arte de pesca. Se incluye cada buque en los totales de cada bandera bajo la cual pescó durante el año, pero solamente una vez en el “Total general”; por consiguiente, los totales generales no equivalen necesariamente a las sumas de las banderas individuales.

Flag Bandera	Gear Arte	Well volume—Volumen de bodega (m ³)					Total	
		<401	401-800	801-1300	1301-1800	>1800	No.	Vol. (m ³)
		Number—Número						
COL	PS	2	2	7	3	-	14	14,860
ECU	PS	35	33	22	8	11	109	87,210
EU(ESP)	PS	-	-	-	-	2	2	4,120
MEX	PS	4	2	19	23	-	48	58,854
NIC	PS	-	-	2	1	1	4	6,099
PAN	PS	-	2	7	7	3	19	25,564
PER	PS	4	6	-	-	-	10	4,818
SLV	PS	-	-	-	1	2	3	6,202
USA	PS	12	-	2	6	3	23	19,174
VEN	PS	-	-	6	5	1	12	16,986
Grand total— Total general	PS	57	45	64	53	23	242	
Well volume—Volumen de bodega (m ³)								
Grand total— Total general	PS	14,435	26,632	71,519	80,812	47,933		241,331

- : none—ninguno

TABLE A-11b. Estimates of the numbers and well volumes (cubic meters) of purse-seine (PS) vessels that fished in the EPO in 2021, by flag and gear. Each vessel is included in the total for each flag under which it fished during the year but is included only once in the “Grand total”; therefore, the grand total may not equal the sums of the individual flags.

TABLA A-11b. Estimaciones del número y volumen de bodega (metros cúbicos) de buques cerqueros (PS) que pescaron en el OPO en 2021, por bandera y arte de pesca. Se incluye cada buque en los totales de cada bandera bajo la cual pescó durante el año, pero solamente una vez en el “Total general”; por consiguiente, los totales generales no equivalen necesariamente a las sumas de las banderas individuales.

Flag Bandera	Gear Arte	Well volume—Volumen de bodega (m ³)					Total	
		<401	401-800	801-1300	1301-1800	>1800	No.	Vol. (m ³)
		Number—Número						
COL	PS	2	2	7	3	-	14	14,860
ECU	PS	34	34	24	4	10	106	82,234
EU(ESP)	PS	-	-	-	-	3	3	7,281
MEX	PS	5	3	20	23	-	51	61,072
NIC	PS	-	-	2	1	1	4	6,099
PAN	PS	-	2	5	7	5	19	27,390
PER	PS	-	4	-	-	-	4	2,475
SLV	PS	-	-	-	1	2	3	6,202
USA	PS	3	-	2	7	5	17	24,152
VEN	PS	-	-	6	8	1	15	21,558
Grand total— Total general	PS	44	45	66	54	27	236	
Well volume—Volumen de bodega (m ³)								
Grand total— Total general	PS	12,243	26,689	74,744	82,277	57,370		253,323

- : none—ninguno

TABLE A-12. Minimum, maximum, and average capacity, in thousands of cubic meters, of purse-seine and pole-and-line vessels at sea in the EPO during 2011-2020 and in 2021, by month.

TABLA A-12. Capacidad mínima, máxima, y media, en miles de metros cúbicos, de los buques cerqueros y cañeros en el mar en el OPO durante 2011-2020 y en 2021, por mes.

Month Mes	2011-2020			2021
	Min	Max	Ave.-Prom.	
1	86.9	129.6	100.6	120.5
2	150.7	192.3	171.8	176.8
3	135.4	189.7	165.1	151.9
4	145.9	200.8	167.0	161.1
5	139.8	196.9	166.7	170.6
6	155.0	198.6	171.8	179.1
7	154.1	200.4	169.9	173.4
8	107.6	148.7	121.1	108.8
9	102.2	142.2	118.8	118.5
10	141.7	188.9	170.5	152.7
11	93.9	140.8	121.0	119.8
12	45.9	72.5	59.1	90.4
Ave.-Prom.	121.6	166.8	142.0	143.6

A. LA PESQUERÍA DE ATUNES Y PECES PICUDOS EN EL OCÉANO PACÍFICO ORIENTAL

Introducción.....	51
1. Capturas y descargas de atunes, peces picudos y especies asociadas	51
2. Capturas por especie.....	52
3. Capturas y Esfuerzo de pesca.....	55
4. Distribución de las capturas de atunes tropicales	55
5. Composición por tamaño de las capturas de atunes.....	56
6. Las flotas.....	57

INTRODUCCIÓN

En este documento se presenta un resumen de las capturas y esfuerzo de las pesquerías de especies amparadas por la Convención de Antigua (“*los atunes y especies afines y otras especies de peces capturados por buques que pescan atunes y especies afines*”) en el Océano Pacífico oriental (OPO) en 2021. Las más importantes de estas especies son los escómbridos (familia Scombridae), que incluyen los atunes, bonitos, carites, sierras y petos. Las principales especies de atunes capturadas son las tres especies de atunes tropicales (leta amarilla, barrilete, y patudo), seguidos por los atunes templados (albacora, con capturas menores de atúnleta azul del Pacífico); se capturan también otros escómbridos, como el bonito y el peto. Además de los atunes, este documento abarca los peces picudos (pez espada, marlines, marlín trompa corta, y pez vela).

Existen pesquerías importantes de dorado, tiburones, y otras especies y grupos que interactúan con las pesquerías atuneras en el OPO, y son por lo tanto competencia de la CIAT. En el Documento SAC-13-10, *Consideraciones Ecosistémicas*, se proporciona información sobre estas otras especies como los carángidos (jureles, macarela y salmón), dorado, elasmobranquios (tiburones y rayas), entre otros.

El acceso a las pesquerías es regulado por la resolución [C-02-03](#), que permite solamente a los buques que están en el [Registro Regional de Buques](#) de la CIAT pescar atunes en el OPO. Los buques son autorizados para pescar por su gobierno de pabellón respectivo, y se incluye en el Registro solamente buques debidamente autorizados. El registro detalla, además del nombre y pabellón de un buque, su arte de pesca, dimensiones, capacidad de acarreo, fecha de construcción, propietario, puerto base, y otras características. Sin embargo, este requisito no ha sido aplicado a los miles de pequeñas embarcaciones artesanales, denominadas *pangas*, que se sabe capturan atunes, entre otras especies, en las aguas costeras del OPO, pero los datos de sus números, esfuerzo, y capturas son incompletos, o no están disponibles. Se completó un programa piloto, enfocado en tiburones, para recolectar datos de esas pesquerías en Centroamérica ([SAC-11-14](#)). Los resultados del estudio piloto ofrecerán orientación para el desarrollo de un programa de muestreo a largo plazo en la región.

El personal de la CIAT ha recolectado y compilado datos de las pesquerías palangreras desde 1952, de la captura deleta amarilla y barrilete desde 1954, deleta azul desde 1973, y de patudo desde 1975. Los datos en el presente informe, que son lo más exactos y completos posible, provienen de varias fuentes, incluyendo los cuadernos de bitácora de los buques, datos de observadores a bordo, registros de descarga provistos por empresas enlatadoras y otros procesadores, registros de exportación e importación, informes de gobiernos y otras entidades, y el programa de la CIAT de muestreo de composición por especie y talla.

1. CAPTURAS Y DESCARGAS DE ATUNES, PECES PICUDOS Y ESPECIES ASOCIADAS

Casi todas las capturas en el OPO son realizadas por las flotas de cerco y de palangre; los buques cañeros, y varias pesquerías artesanales y recreativas, responden de un pequeño porcentaje de las capturas totales reportadas. El personal de la CIAT compila datos de captura de todas las artes de pesca, incluyendo curricán, arpón, y red agallera.

Se dispone de datos de captura detallados para la pesquería de cerco, que toma más del 90% de la captura

total reportada; los datos de las otras pesquerías son incompletos. Los datos de cerco de 2020 y 2021, y los datos de palangre y otras artes de 2019-2021, son preliminares.

Desde 1993, todos los buques de cerco de clase 6⁷ llevan observadores, que recolectan datos detallados sobre las capturas, incluyendo las descartadas en el mar. Las estimaciones de la captura “retenida” (la porción de la captura total que se descarga) se basan principalmente en datos tomados durante la descarga de pescado de los buques.

Los buques palangreros, particularmente los más grandes, pescan principalmente patudo, aleta amarilla, albacora, y pez espada. Se obtienen de los gobiernos del pabellón de los buques datos de las capturas retenidas de la mayoría de los buques palangreros grandes; los datos de palangreros pequeños, embarcaciones artesanales, y otras embarcaciones que pescan especies amparadas por la Convención de Antigua son incompletos o no están disponibles, pero se obtienen algunos datos de cuadernos de bitácora de los buques, o de gobiernos o informes gubernamentales.

Los datos del Pacífico occidental y central (WCPO) provienen del [Anuario de Pesquerías Atuneras de 2020](#) de la Comisión de Pesca del Pacífico Occidental y Central (WCPFC).

En el presente informe se resumen los datos de todas las fuentes antes descritas. En la [Tabla A-1](#) se presentan las capturas totales estimadas de atunes tropicales (leta amarilla, barrilete, y patudo) en el Océano Pacífico entero, y se comentan en detalle en las secciones siguientes.

En las [Tablas A-2a-b](#) se presentan estimaciones de las capturas anuales retenidas y descartadas de atunes y otras especies capturadas por buques atuneros en el OPO durante 1992-2021.

En las [Tablas A-3a-e](#) se presentan las capturas de atunes tropicales durante 1992-2021, por bandera, y en las [Tablas A-4a-b](#) se resumen las capturas y descargas cerqueras de atunes durante 2020-2021, por bandera.

2. CAPTURAS POR ESPECIE

2.1. Atún aleta amarilla

En la [Tabla A-1](#) se presentan las capturas anuales de aleta amarilla durante 1992-2021. La captura del OPO en 2021 de 254 mil t es 4% mayor que el promedio de 244 mil t del quinquenio previo (2016-2020). En el WCPO, las capturas de aleta amarilla alcanzaron un récord de 722 mil t en 2020.

En la [Tabla A-2a](#) se presentan las capturas retenidas anuales de aleta amarilla en el OPO, por arte, durante 1992-2021. En el periodo más reciente de 15 años (2006-2020), las capturas retenidas anuales cerqueras y cañeras han fluctuado en un promedio de 217 mil t (amplitud: 167 a 251 mil t). La estimación preliminar de la captura retenida en 2021, 253 mil t, es 16% mayor que aquélla de 2020, y 11% mayor que el promedio de 2006-2020. En promedio, aproximadamente el 0.3% (amplitud: 0.1 a 1.0%) de la captura cerquera total de aleta amarilla fue descartada en el mar durante 2006-2020 ([Tabla A-2a](#)).

Durante 1991-2005, las capturas palangreras anuales en el OPO fueron en promedio aproximadamente 22 mil t (amplitud: 12 a 31 mil t), o un 7% de las capturas retenidas totales de aleta amarilla. Luego disminuyeron bruscamente, a un promedio anual de 10 mil t (amplitud: 8 a 13 mil t), o un 4% de las capturas retenidas totales, durante 2006-2020. En la [Tabla A-2a](#), bajo “Otras artes” (OTR) se presentan las capturas de otras pesquerías (recreacional, red agallera, curricán, artesanal, etc.), ya sea incidental o dirigida; durante 2006-2020 fueron en promedio unas 3 mil t.

2.2. Atún barrilete

En la [Tabla A-1](#) se presentan las capturas totales anuales de barrilete en el Océano Pacífico durante 1992-

⁷ Clase 6: más de 363 t de capacidad de acarreo

2021. La mayor parte de la captura es tomada en el Pacífico central y occidental, donde las capturas promedio fueron de unas 900 mil t antes de 1998; subsecuentemente aumentaron constantemente, de 1.1 millones de toneladas a un récord de 2 millones de toneladas en 2019. En el OPO, las capturas máximas ocurrieron entre 2005 y 2021, variando de 153 a 365 mil t, la captura récord en 2019.

En la [Tabla A-2a](#) se presentan las capturas retenidas anuales de barrilete en el OPO durante 1992-2021, por arte. La captura retenida anual promedio cerquera y cañera durante 2006-2020 fue 279 mil t (amplitud: 147 a 347 mil t). La estimación preliminar para 2021, 325 mil t, es 16% mayor que el promedio de 15 años de 2006-2020.

Los descartes de barrilete en el mar disminuyeron cada año durante el periodo, de 4% en 2006 a una mínima de menos de 1% en 2018, en promedio un 1.5% de la captura total de la especie ([Tabla A-2a](#)).

Las capturas de barrilete en el OPO por palangres y otras artes son insignificantes ([Tabla A-2a](#)).

2.3. Atún patudo

En la [Tabla A-1](#) se presentan las capturas totales anuales de patudo en el Océano Pacífico durante 1992-2021. En general, las capturas en el OPO y en el Pacífico central y occidental han aumentado, pero con fluctuaciones considerables. En el Pacífico central y occidental fueron en promedio 77 mil t a fines de los años 1970, disminuyeron a principios de los 1980, y luego aumentaron constantemente a 127 mil t en 1992; saltaron a 163 mil en 1999, y alcanzaron un récord de 183 mil t en 2004, desde cuando han fluctuado entre 130 y 171 mil t. En el OPO, la captura promedio durante 1992-2021 fue 104 mil t, con una mínima de 75 mil t en 2021 y una máxima de 149 mil t en 2000.

En la [Tabla A-2a](#) se presentan las capturas retenidas anuales de patudo en el OPO por buques cerqueros y cañeros durante 1992-2021. La introducción de dispositivos agregadores de peces (plantados), puestos en el agua por pescadores para atraer atunes, en 1993 condujo a un aumento súbito y dramático de las capturas cerqueras. Antes de 1993, la captura cerquera retenida promedio de patudo en el OPO fue unas 5,000 t ([Tabla A-2a](#)); en 1994 alcanzó 35 mil t, y en 1996 más de 60 mil t. Durante 1997-2020 ha fluctuado entre 44 y 95 mil t; la estimación preliminar para 2021 es de 58 mil t.

Durante 2000-2021, el porcentaje de la captura cerquera de patudo descartado en el mar ha disminuido constantemente, de 5% en 2000 a menos de 1% en varios años, con un promedio de alrededor de 1.5%.

Antes de la expansión de la pesquería sobre plantados, los palangreros capturaban casi todo el patudo en el OPO, con un promedio anual de unas 88 mil t durante 1985-1992. Desde 1993, la captura promedio anual ha disminuido en un 52%, hasta 42 mil t, y la estimación preliminar para 2021 es inferior a 18 mil t ([Tabla A-2a](#)).

Se capturan pequeñas cantidades de patudo con otras artes en el OPO ([Tabla A-2a](#)).

2.4. Atún aleta azul del Pacífico

En la [Tabla A-5a](#) se presentan las capturas de aleta azul del Pacífico en el Océano Pacífico entero, por bandera y arte, reportadas por los gobiernos de pabellón de los buques al Comité Científico Internacional sobre los Atunes y Especies Afines en el Océano Pacífico Norte (ISC).

En la [Tabla A-2a](#) se presentan las capturas de atún aleta azul del Pacífico en el OPO durante 1992-2021, por arte. En los últimos años, los buques cerqueros tomaban más del 91% de la captura anual. La captura promedio retenida del OPO durante 1992-2020 es de 3.8 mil t (amplitud: 600 t a 9.9 mil t); la estimación preliminar de 2021 es de 3.1 mil t ([Tabla A-2a](#)).

Las capturas de atún aleta azul del Pacífico con artes recreativas en el OPO son reportadas en número de peces individuales capturados, mientras todas las otras artes reportan sus capturas en peso; los datos se

convierten por lo tanto en peso para inclusión en las capturas totales del OPO. En la [Tabla A-5b](#) se presentan los datos originales de 1992-2021, en número de peces.

2.5. Atún albacora

En la [Tabla A-6](#) se presentan datos, provistos por los CPC correspondientes, de captura de albacora en el OPO, por arte y zona (al norte y al sur de la línea ecuatorial), y en la [Tabla A-2a](#) en el OPO entero. Una porción de la captura de albacora es tomada por buques curricaneros (LTL), incluidos bajo “Otras artes” (OTR) en la [Tabla A-2a](#).

2.6. Otros atunes y especies afines

Mientras que los atunes aleta amarilla, barrilete, y patudo forman la gran mayoría de las capturas cerqueras retenidas en el OPO, otros atunes y especies afines, como el albacora, barrilete negro, bonito, y las melvas, contribuyen a la captura general. En la [Tabla A-2a](#) se presentan estimaciones de las capturas retenidas y descartadas de estas especies durante 1992-2021. Las capturas reportadas en la categoría de “atunes no identificados” (TUN) en la [Tabla A-2a](#) contienen algunas capturas reportadas por especie (melvas) junto con los atunes no identificados. La captura retenida total de estas otras especies en la pesquería de cerco en 2021 fue 11.9 mil t, más que el promedio de 2006-2020 de 9.5 mil t (amplitud: 5 a 19 mil t).

El barrilete negro es también capturado con otras artes en el OPO, principalmente en la pesca artesanal costera. El bonito es asimismo capturado en las pesquerías artesanales, y ha sido reportado como captura por buques palangreros en algunos años.

2.7. Peces picudos

En la [Tabla A-2b](#) se presentan datos de captura de peces picudos (pez espada, marlines azul, negro, rayado y trompa corta, y pez vela).

El **pez espada** es capturado en el OPO con palangres a gran escala y artesanales, red agallera, arpón y, de vez en cuando, con artes recreacionales. Durante 1999-2013 la captura anual media palangrera fue 15 mil t, pero durante 2014-2016 aumentó alrededor de 50%, a más de 23 mil t, debido posiblemente a una mayor abundancia de la especie, a un mayor aumento del esfuerzo dirigido hacia la misma junto con una mayor eficacia pesquera, a mejores informes, o a una combinación de todos estos factores.

Otros peces picudos son capturados con palangres a gran escala y artesanales y por artes recreacionales. Las capturas palangreras anuales medias de marlín azul y marlín rayado durante 2006-2020 fueron unas 3.1 mil and 1.9 mil t, respectivamente. Se capturan cantidades menores de otros peces picudos con palangre.

Se cuenta con poca información sobre las capturas recreacionales de peces picudos, pero se cree que, debido a prácticas de captura y liberación, las capturas retenidas son sustancialmente menores que las capturas comerciales de todas estas especies.

Los peces picudos son capturados incidentalmente en las pesquerías cerqueras, que durante 2006-2020 representaron el 1% de la captura total de peces picudos en el OPO. Antes de 2011, todos eran clasificados como descartados muertos, pero a causa de la tendencia creciente de retener estas capturas incidentales, se consideró importante reflejarlas en los datos, y desde 2011 se reportan las capturas retenidas y descartes por separado en la [Tabla A-2b](#).

3. CAPTURAS Y ESFUERZO DE PESCA

3.1. Cercos

En la [Tabla A-7](#) y en la [Figura 1](#)⁸ se presentan estimaciones del número de lances cerqueros de cada tipo (asociados a delfines (DEL), asociados a objetos flotantes (OBJ), y no asociados (NOA)) en el OPO durante 2006-2021, y de las capturas retenidas de esos lances. Se calcularon las estimaciones para los buques de clases 1-5⁹ con datos de bitácora en la base de datos estadística de la CIAT, y aquéllos para los buques de clase 6 a partir de las bases de datos de observadores de la CIAT, Colombia, Ecuador, Estados Unidos, México, Nicaragua, Panamá, la Unión Europea y Venezuela.

Desde la introducción de los dispositivos agregadores de peces artificiales (plantados) a mediados de los años 1990, se han vuelto predominantes en la pesquería sobre objetos flotantes, y ahora forman el 97% estimado de todos los lances sobre objetos flotantes por buques de clase 6 ([Tabla A-8](#)).

3.2. Palangre

En la [Tabla A-9](#) se presentan el esfuerzo nominal de los buques palangreros en el OPO, en miles de anzuelos, y sus capturas reportadas de las principales especies de atunes.

4. DISTRIBUCIÓN DE LAS CAPTURAS DE ATUNES TROPICALES

4.1. Capturas cerqueras

En las [Figuras A-1a](#), [A-2a](#), y [A-3a](#) se ilustran las distribuciones anuales medias de las capturas cerqueras en el OPO, por tipo de lance, de los atunes tropicales (aleta amarilla, barrilete y patudo), durante 2016-2020, respectivamente, y en las [Figuras A-1b](#), [A-2b](#), y [A-3b](#) las estimaciones preliminares para 2021.

Aleta amarilla: La mayor parte de las capturas en 2021 provino de lances asociados a delfines en dos áreas principales: al norte de 5°N, desde 105°O hasta 145°O, y cerca a la costa al norte de 5°S desde 95°O hasta la costa. Se capturaron cantidades menores en lances sobre delfines y objetos flotantes en todo el OPO al sur de 10°N ([Figura A-1b](#)).

En 2021, las capturas de **barrilete** provinieron principalmente de lances no asociados desde las islas Galápagos hasta la costa de Suramérica y de lances sobre objetos flotantes al sur de 10°N en todo el OPO. El área frente a la costa de Perú produjo la mayor captura de barrilete, produciendo más barrilete en esta zona que en años anteriores ([Figura A-2b](#)).

El **patudo** es rara vez capturado al norte de aproximadamente 7°N en el OPO. Casi todas las capturas en 2021 fueron logradas en lances sobre plantados entre 10°N y 10°S y al oeste de 115°O ([Figura A-3b](#)).

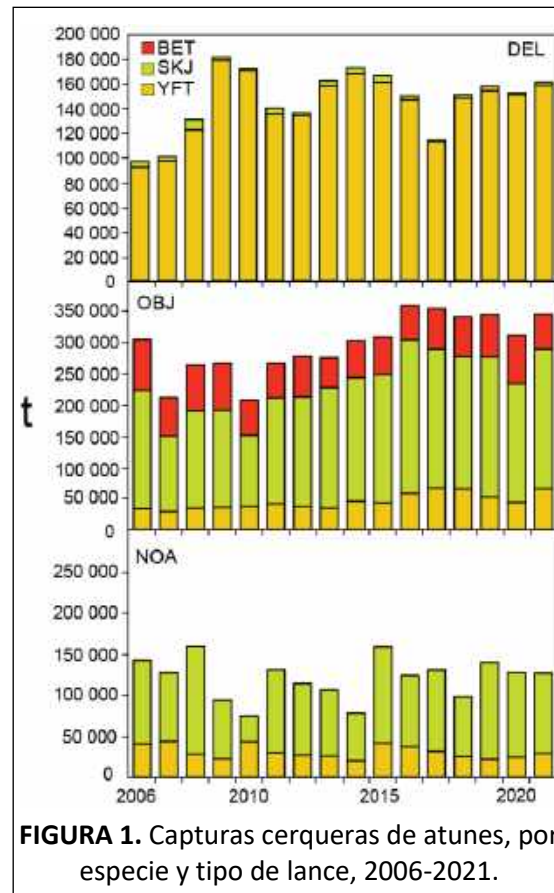


FIGURA 1. Capturas cerqueras de atunes, por especie y tipo de lance, 2006-2021.

⁸ Los datos de captura de 2006-2021 incorporan datos no disponibles anteriormente, y son por lo tanto diferentes de los datos correspondientes presentados en publicaciones previas.

⁹ Capacidad de acarreo ≤363 t

4.2. Capturas palangreras

Desde 2009, la CIAT recibe datos de captura y esfuerzo de Belice, China, la República de Corea, Panamá, Estados Unidos, Francia (Polinesia Francesa), Japón, Taipéi Chino, y Vanuatu. Los atunes albacora, patudo, y aleta amarilla forman la mayor parte de las capturas de la mayoría de estos buques. En la [Figura A-4](#) se ilustra la distribución de las capturas de aleta amarilla y patudo por buques palangreros de China, Corea, Japón, y Taipéi Chino en el Océano Pacífico durante 2016-2020.

5. COMPOSICIÓN POR TALLA DE LAS CAPTURAS DE ATUNES

5.1. Pesquerías cerqueras, cañeras, y recreacionales

Las muestras de frecuencia de talla forman la fuente básica de los datos usados para estimar la composición por talla y edad de las distintas especies de peces en las descargas. Esta información es necesaria para obtener estimaciones de la composición de las poblaciones por edad, usadas para varios propósitos, principalmente el modelado integrado que usa el personal para evaluar la condición de las poblaciones (ver [Informes de Evaluación de Stocks](#)). Las muestras de frecuencia de talla son obtenidas de las capturas de buques cerqueros en el OPO por técnicos de la CIAT en puertos de descarga en Ecuador, México, Panamá, y Venezuela. En el [informe anual de la CIAT de 2000](#) y los [Informes de Evaluación de Stocks 2 y 4](#) de la CIAT se describen los métodos de muestreo de las capturas de atunes.

Las series de tiempo históricas a largo plazo de datos de composición por talla del aleta amarilla y el patudo están disponibles en los [Informes de Evaluación de Stocks](#), y se dispone de indicadores de condición de población (SSI) basados en la talla promedio del aleta amarilla, patudo y barrilete ([SAC-12-05](#)). En este informe se presentan los datos sobre la composición por talla de las capturas durante 2016-2021 ([Figuras A-6 a A-8](#)), con dos conjuntos de histogramas de frecuencia de talla para cada especie: el primero presenta los datos de 2021 por estrato (tipo de arte, tipo de lance, y área), y el segundo los datos combinados para cada año del periodo de 2016-2021.

Aleta amarilla: se definen nueve pesquerías cerqueras (cuatro asociadas a objetos flotantes (OBJ), tres asociadas a delfines (DEL), y dos no asociadas (NOA)) y una pesquería cañera (LP), que incluye todas las 13 áreas de muestreo) ([Figura A-5](#)). De las 633 bodegas con peces capturados durante 2021, 566 contenían aleta amarilla. En la [Figura A-6a](#) se ilustra la composición por talla estimada de los peces capturados. La mayor parte de la captura de aleta amarilla provino de las pesquerías DEL durante los primeros tres trimestres del año, con menores cantidades capturadas en la pesquería OBJ-N y OBJ-E durante los últimos tres trimestres. Los aletas amarillas grandes (120-160 cm) fueron capturados casi exclusivamente en las pesquerías DEL, principalmente en la pesquería DEL-N en los primeros tres trimestres, la pesquería DEL-I en el primer y segundo trimestre y la pesquería DEL-S en el primer trimestre. Los aletas amarillas más pequeños (<60 cm) fueron capturados en las pesquerías OBJ-N y OBJ-E, principalmente en el primer y segundo trimestre.

En la [Figura A-6b](#) se ilustra la composición por talla estimada del aleta amarilla capturado en todas las pesquerías combinadas durante 2016-2021. El peso promedio del aleta amarilla en 2021, 7.9 kg, fue mucho menor que el promedio de 2020 de 10.6 kg, pero fue similar al promedio de otros años en la gráfica (6.3-7.7 kg). La distribución de las tallas de 2021 fue similar a la de años anteriores, con la mayor cantidad de peces dentro del rango de 120-150 cm.

Barrilete: se definen siete pesquerías de cerco (cuatro OBJ, dos NOA, una DEL) y una de caña ([Figura A-5](#)); las dos últimas incluyen todas las 13 áreas de muestreo. De las 633 bodegas con peces capturados, 339 contenían barrilete. En la [Figura A-7a](#) se ilustran las composiciones por talla estimadas del pescado capturado durante 2021. La mayoría de la captura de barrilete provino de las pesquerías OBJ-N, OBJ-E y OBJ-S en todos los trimestres, y de la pesquería NOA-S en el primer y segundo trimestre. Los barriletes más grandes (60-70 cm) fueron capturados en la pesquería OBJ-N en el segundo y tercer trimestre. Los

barriletes más pequeños (<40 cm) fueron capturados principalmente en las pesquerías OBJ-N, OBJ-E y OBJ-S en el tercer y cuarto trimestre.

En la [Figura A-7b](#) se ilustra la composición por talla estimada del barrilete capturado en todas las pesquerías combinadas durante 2016-2021. La mayoría de los barriletes en 2021 estuvieron dentro del rango de 40-55 cm.

Patudo: se definen seis pesquerías de cerco (cuatro OBJ, una NOA, una DEL) y una de caña ([Figura A-5](#)); todas excepto las pesquerías OBJ incluyen todas las 13 áreas de muestreo. De las 633 bodegas con peces capturados, 119 contenían patudo. En la [Figura A-8a](#) se ilustran las composiciones por talla estimadas del pescado capturado durante 2021. La mayor parte de la captura de patudo provino de la pesquería OBJ-N en el segundo y tercer trimestre, y de la pesquería OBJ-S durante todo el año. Se capturaron cantidades menores en la pesquería OBJ-E en el segundo trimestre.

En la [Figura A-8b](#) se ilustra la composición por talla estimada del patudo capturado por todas las pesquerías combinadas durante 2016-2021. El peso promedio del patudo en 2021 (5.2 kg) fue coherente con los últimos cinco años (4.7-5.2 kg). La mayoría de los patudos capturados en 2021 estuvieron dentro del rango de 40-80 cm, con una cantidad mucho menor de patudos mayores de 100 cm que en años anteriores.

El aleta azul del Pacífico es capturado con artes de cerco y recreacionales frente a California y Baja California, históricamente desde aproximadamente 23°N hasta 35°N, pero únicamente entre 28°N y 32°N en años recientes. La temporada de pesca de cerco de 2021 continuó la tendencia de comenzar más temprano que en cualquier año previo: en 2021, se capturó aleta azul por primera vez a principios de enero y la pesquería cerró a finales de enero, cuando se alcanzó el límite anual de captura. La mayoría de la captura es transportada viva a jaulas de engorda cerca del litoral mexicano. El Programa Nacional de Observadores de México (PNAAPD) proveyó datos de composición por talla de capturas cerqueras durante 2016-2021 ([Figura A-9](#)).

5.2. Pesquería de palangre

En las [Figuras A-10](#) y [A-11](#) se ilustra la composición por talla del aleta amarilla y patudo capturado por la flota palangrera japonesa en el OPO durante 2016-2020, basada en datos provistos por la Agencia Pesquera de Japón. El peso promedio anual durante ese periodo osciló entre 36.8 y 61.0 kg en el caso del aleta amarilla, y entre 61.7 kg y 66.2 kg en el caso del patudo.

5.3. Capturas de atunes, por bandera y arte

En las [Tablas A-3a-e](#) se detallan las capturas retenidas anuales de atunes en el OPO durante 1992-2021, por bandera y arte. En la [Tabla A-4a](#) se resumen las capturas cerqueras de atunes en 2020 y 2021, por bandera y especie. De las casi 651 mil t de atunes capturadas en 2021, el 42% fue capturado por buques ecuatorianos, y 19% por buques mexicanos. Otros países con capturas importantes incluyen Panamá (12%), Colombia (7%), Venezuela (6%), Estados Unidos (5%) y Nicaragua (3%). En la [Tabla A-4b](#) se resumen las descargas cerqueras de atunes en 2020 y 2021, por especie y país de descarga. De las más de 644 mil t de atunes descargadas en el OPO en 2021, el 64% fue descargado en puertos ecuatorianos, y 20% en puertos mexicanos. Otros países con descargas de atunes en el OPO incluyen Colombia (4%), Perú (1%) y Estados Unidos (1%).

6. LAS FLOTAS

6.1. Cerco

El [Registro Regional de Buques](#) de la CIAT contiene registros detallados de todos los buques de cerco

autorizados para pescar atunes en el OPO. Sin embargo, en la siguiente descripción de la flota cerquera se incluyen solamente los buques que pescaron atunes aleta amarilla, barrilete, patudo, y/o aleta azul del Pacífico en el OPO en 2021.

La CIAT usa el volumen de bodega, en metros cúbicos (m^3), para medir la capacidad de acarreo de los buques cerqueros. Se cuenta con datos fiables de volumen de bodega para casi todos los buques cerqueros; se calcula el volumen de bodega de los buques restantes mediante la aplicación de un factor de conversión a su capacidad en toneladas ([Tabla A-10](#); [Figura 2](#)).

En las [Tablas A-11a](#) y [A-11b](#) se presentan los datos de 2020 y los preliminares de 2021 del número y volumen total de bodega de los buques de cerco que pescaron atunes en el OPO. Durante 2021, la flota estuvo dominada por buques ecuatorianos y mexicanos, con alrededor de 32% y 24% del volumen total de bodega, respectivamente; les siguieron Panamá (11%), Estados Unidos (10%), Venezuela (9%), Colombia (6%), El Salvador (2%), Nicaragua (2%), Perú (1%) y la Unión Europea (España) (3%).¹⁰

En la [Figura 3](#) se compara la capacidad acumulativa en el mar durante 2021 con los cinco años anteriores.

En la [Tabla A-12](#) se presentan los valores mensuales medios, mínimos, y máximos del volumen total de bodega en el mar (VEM), en miles de metros cúbicos, de los buques cerqueros y cañeros que pescaron atunes en el OPO durante 2011-2020, junto con los valores de 2021. Los valores mensuales son los promedios de las estimaciones del VEM calculadas semanalmente por el personal de la CIAT. Durante 2011-2020 y 2021 el valor medio del VEM fue un poco menos de 142 mil m^3 (59% de la capacidad total) y cerca de 144 mil m^3 (57% de la capacidad total), respectivamente.

6.2. Otras flotas del OPO

El [Registro Regional de Buques](#) de la CIAT contiene información sobre otros tipos de buques que están autorizados para pescar atunes en el OPO. En algunos casos, particularmente los buques palangreros grandes, el Registro contiene información de buques autorizados para pescar no sólo en el OPO, sino también en otros océanos, y que posiblemente no hayan pescado en el OPO durante 2021, o jamás.

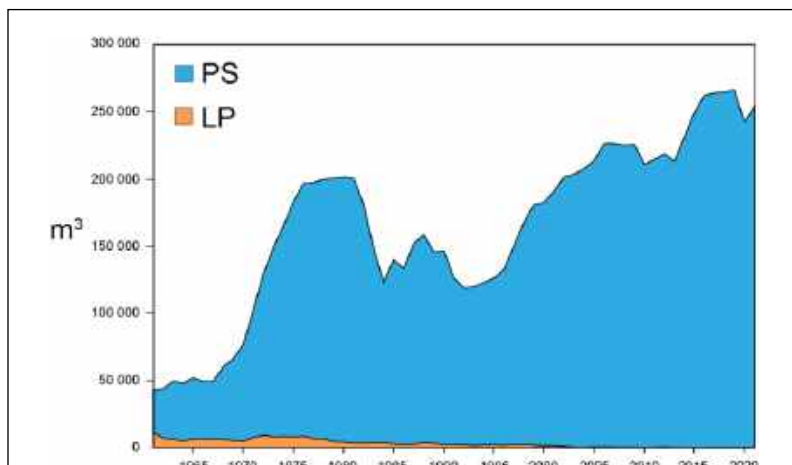


FIGURA 2. Capacidad de acarreo, en metros cúbicos de volumen de bodega, de las flotas de cerco y de caña en el OPO, 1961-2021

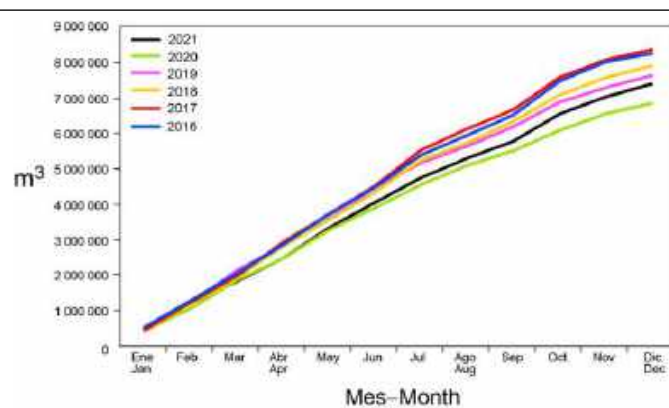


FIGURA 3. Capacidad acumulativa de la flota cerquera y cañera en el mar, por mes, 2016-2021

¹⁰ La suma de los porcentajes puede no sumar 100% debido al redondeo.

B. YELLOWFIN TUNA

For the full version of this analysis, see documents [SAC-11-05](#), [SAC-11-07](#), [SAC-11-INF-J](#) and [SAC-11-08](#).

Yellowfin are distributed across the Pacific Ocean, but the bulk of the catch is made in the eastern and western regions. Purse-seine catches in the vicinity of the western boundary of the EPO at 150°W are relatively low, but have been increasing, mainly in sets on floating objects ([Figure A-1a](#) and [A-1b](#), Tables [A-1](#), [A-2](#)). Most of the catch in the eastern Pacific Ocean (EPO) is taken in purse-seine sets associated with dolphins and floating objects ([Figure B-1](#)). Tagging studies of yellowfin throughout the Pacific indicate that they tend to stay within 1,800 km of their release positions. This regional fidelity, along with the geographic variation in phenotypic and genotypic characteristics of yellowfin shown in some studies, suggests that there might be multiple stocks of yellowfin in the EPO and throughout the Pacific Ocean. However, movement rates between these putative stocks, as well as across the 150°W meridian, cannot be estimated with currently-available tagging data.

In 2022, stock status indicators (SSIs) were developed for yellowfin using the data collected in the EPO as a whole ([SAC-13-06](#)). In the short term, the indicators show the effect of the COVID-19 pandemic. The total number of floating-object sets decreased 21.5% from 2019 to 2020. The closure-adjusted capacity slightly decreased as well. In 2021, both effort measures increased, and the current conditions are at the average 2017-2019 conditions (*status quo*). There was apparent decrease in the estimated floating object catches, followed by an increase in 2021. The port sampling for species composition was greatly affected as well, which caused a bias in the catch estimation ([SAC-13-05](#)). The 2020 yellowfin tuna estimated catches may be as much as 18% larger than what is shown in Figure B-1, while the 2021 may be 10% smaller, because some yellowfin tuna catches were most likely attributed to bigeye tuna, and vice-versa in 2020 and 2021([Figure B-3](#)), respectively, due to lack of sampling on key ports as a result of the impact of the COVID-19 pandemic. The effort for the purse-seine fishery associated with dolphins and the unassociated fishery, has been stable since 2018. The longline effort was about the same in 2020 as 2019 ([Figure B-2](#)), yet the relative CPUE and the average length increased ([Figure B-3](#)). The average length also increased in 2021 for the purse-seine fishery associated with dolphins, which also showed a slight increase in relative CPUE. In the long term, most floating-object fishery SSIs suggest that the yellowfin stock has potentially been subject to increased fishing mortality, mainly due to the increase in the number of sets in the floating-object fishery since 2005 ([Figure B-2](#)) and corresponding increase in catch for yellowfin ([Figure B-3](#)), associated with decline in catch-per-set ([Figure B-3](#)) and reduction in the average length of the fish in the catch ([Figure B-3](#)) for the floating-object fishery. This coincided with a declining trend in the yellowfin longline CPUE index based on spatiotemporal modelling since 2005, which was at the lowest historic levels in 2017 – 2018 ([Figure B-4](#)). Long term trends in some of the other SSIs do not support the interpretation that increased fishing mortality is occurring because of an increase in the numbers of floating-object sets, such as trends in catch-per-set for other set types ([Figure B-3](#)), mean length of yellowfin in the other set types ([Figure B-3](#)), and the longline SSIs ([Figure B-3](#)). The SSI based on spatiotemporal modelling of CPDF for the purse-seine fishery associated with dolphins shows a period of low values starting in 2015 ([Figure B-4](#)) which coincides with a period of increased yellowfin catches in floating-objects set ([Figure B-3](#)). The SSI based on spatiotemporal modelling of CPUE for the longline fishery does not coincide with the purse-seine one ([Figure B-4](#)), although both indices refer to large fish, with longline fish being the largest. The inconsistencies among SSIs for yellowfin may be due to an interaction between potential stock structure (*i.e.* the longline index referring to a southern population and the purse-seine index to a northern) and differences in the spatial distribution of effort in the different gear/set types. In addition, catch-per-set may not be a reliable indicator of abundance, particularly for the target species (*i.e.* yellowfin in the dolphin-associated fishery). Nonetheless, the fact that most SSIs based on the floating-object fishery are consistent with an increase in fishing mortality in that fishery means that precautionary management measures should be considered to prevent further increases. Due to the

COVID-19 effect, 2020 and 2021 should be regarded with caution when interpreting long term trends in the indicators.

A workplan to improve the stock assessments for tropical tunas was completed taking into consideration the results of the [external review of yellowfin](#). The yellowfin review panel did not single out a particular model configuration as a replacement for the current base case model but suggested a variety of alternatives for the staff to consider. To encompass as many scenarios as possible, the staff developed a pragmatic risk assessment framework to apply for both species, which included the development of hypothesis, the implementation and weighting of models, and the construction of risk tables based on the combined result ([SAC-11-08](#), [SAC-11-INF-F](#),[SAC-11-INF-J](#)).

The degree of spatial mixing of the yellowfin tuna population in the EPO was considered the main uncertainty within the risk analysis ([SAC-11-INF-J](#)). This conclusion came from the detailed inspection of the contradictory indices of abundance. Previous assessments used five indices of abundance, one from the longline fishery and four from the purse-seine fisheries, and the length composition data from longline and purse-seine fisheries. The model was unable to reconcile indices from different fisheries and length-frequency data that apparently carried contradictory signals about the status of the stock ([SAC-10 INF-F](#)). To solve the inconsistencies, spatiotemporal models were used to produce new purse-seine and longline indices and associated length frequencies, but the inconsistencies were not resolved ([Figure B-4](#)). The mismatch was most apparent in 2001-2003, when a peak occurred earlier in the longline index and later in the purse-seine index (opposite to what was expected given the growth and selectivity assumptions of the model). By incorporating length classes in the standardization, it became clear that the differences were due mainly to the 1998 cohort (coinciding with an important El Niño year) being prominent in the longline index, while not showing in in purse-seine index, and the opposite occurring with the 1999 cohort (coinciding with an equally important La Niña year) (see Figure B-4 average length). The mismatch between the purse-seine and the longline indices continues to be striking in the updated series ([Figure B-4](#)). Spatial heterogeneity was considered as the most plausible explanation for the unresolved inconsistencies.

Three overarching hypotheses related to the degree of spatial mixing of the yellowfin tuna stock in the EPO where developed ([SAC-11-INF-J](#)). Of those, the high-mixing hypothesis was assumed for the benchmark assessment, with the purse-seine index assumed the most representative of the core of the exploited population ([SAC-11-07](#)). A series of lower hierarchical level hypotheses were developed regarding other major uncertainties in the previous assessment. From those, 12 reference models were developed, which combine components that address changes in selectivity and catchability, growth, asymptotic selectivity, and density-dependence in the index catchability (Table B-1). Each reference model was run with four steepness of the stock-recruitment relationship assumptions (0.7, 0.8, 0.9, and 1.0). A total of 48 models composed the benchmark assessment for yellowfin tuna ([SAC-11-07](#)). In addition, new fishery definitions were implemented, and spline selectivity functions were adopted for most fisheries. All EPO catches were added to the models, which were fit to a standardized purse-seine index of abundance for the EPO north of 5°N and to the length-composition data from the purse-seine fisheries that operate north of 5°N, in order to avoid contamination of the signal with that of a possible southern population. The models were diagnosed for model misspecification, lack of fit, retrospective bias, among others ([SAC-11-07](#)). Rather than choosing a base-case model, all models where used to produce management advice by combining them using relative weights determined based on several criteria, including performance on model diagnostics ([SAC-11-INF-J](#)).

The 48 models of the benchmark assessment estimate similar relative recruitment trends, regardless of the steepness assumed ([Figure B-5](#)). All biomass trajectories have declining trends, but they vary in the

magnitude of the declines ([Figure B-6](#)). All models indicate the highest F for fish aged 21+ quarters (5.25+ years), followed by fish aged 11-20 quarters (2.75-5 years) ([Figure B-7](#)). All models estimate similar impacts of the different types of fisheries ([Figure B-8](#)). The longline and the sorted discard fisheries have the smallest impact, while the purse-seine fisheries associated with dolphins have the greatest impact during most of the assessment period (1984-2019). In 1990s the impact of the floating-object fisheries started to be noteworthy, and surpassed that of the unassociated fisheries around 2008 and that of the purse-seine fisheries associated with dolphins in 2018. At the beginning of 2020, the spawning biomass (S) of yellowfin ranged from 49% to 219% of the level at dynamic MSY (S_{MSY_d}); 12 models suggested that it was below that level ([Figure B-9](#), [Table B-2](#)). At the beginning of 2020, the spawning biomass (S) of yellowfin ranged from 145% to 345% of the limit reference level (S_{LIMIT}); no models suggest that it was below that limit. During 2017-2019 the fishing mortality (F) of yellowfin ranged from 40% to 168% of the level at MSY (F_{MSY}); 14 models suggested that it was above that level. During 2017-2019, the fishing mortality of yellowfin ranged from 22% to 65% of the limit reference level (F_{LIMIT}); no models suggest that it was above that limit. Every reference model suggests that lower steepness values correspond to more pessimistic estimates of stock status: lower S and higher F relative to the reference points.

The results from the reference models are combined in a risk analysis to provide management advice ([SAC-11-08](#)). The probabilities of exceeding the reference points were computed using each model result and its associated weight, the final estimates are in [Table B-3](#) and [Figures B-9](#) and [B-10](#). All probability distributions are unimodal ([Figure B-10](#)). There is a low probability of F_{cur} being above F_{MSY} (9%). The probability of F_{cur} being above F_{LIMIT} is zero. The probability of the spawning biomass being below S_{MSY_d} is low (12%). The probability of the spawning biomass exceeding S_{LIMIT} is zero. The combined expected risk of F exceeding F_{MSY} is below 50% for six closure durations ([Table B-3](#); [Figure B-11](#)), varying from 26% (no closure) to 5% (100 days), with a low risk (9%) for the current closure (72 days). One model (Base-A) produced a pessimistic result (a risk above 50% of exceeding F_{MSY} for all scenarios ([Table B-3](#)), but this model has a very low relative weight (0.01).

A key uncertainty not addressed in the assessment is the spatial structure of the stock of yellowfin tuna in the EPO. Future work to further improve the assessment will focus on it.

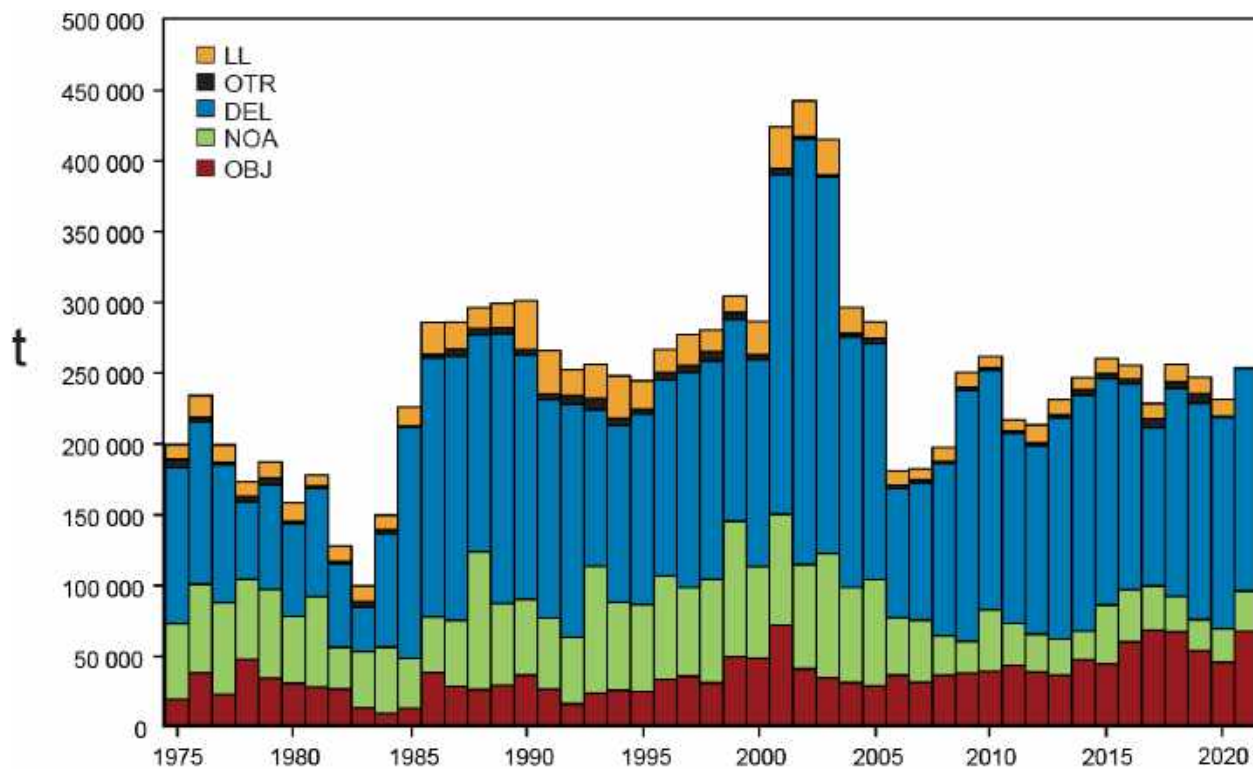


FIGURE B-1. Total catches (retained catches plus discards) for the purse-seine fisheries, by set type (DEL, NOA, OBJ), and retained catches for the longline (LL) and other (OTR) fisheries, of yellowfin tuna in the eastern Pacific Ocean, 1975-2021. The purse-seine catches are adjusted to the species composition estimate obtained from sampling the catches. The 2020 and 2021 data are preliminary.

FIGURA B-1. Capturas totales (capturas retenidas más descartes) en las pesquerías de cerco, por tipo de lance (DEL, NOA, OBJ), y capturas retenidas de las pesquerías de palangre (LL) y otras (OTR), de atún aleta amarilla en el Océano Pacífico oriental, 1975-2021. Se ajustan las capturas de cerco a la estimación de la composición por especie obtenida del muestreo de las capturas. Los datos de 2020 y 2021 son preliminares.

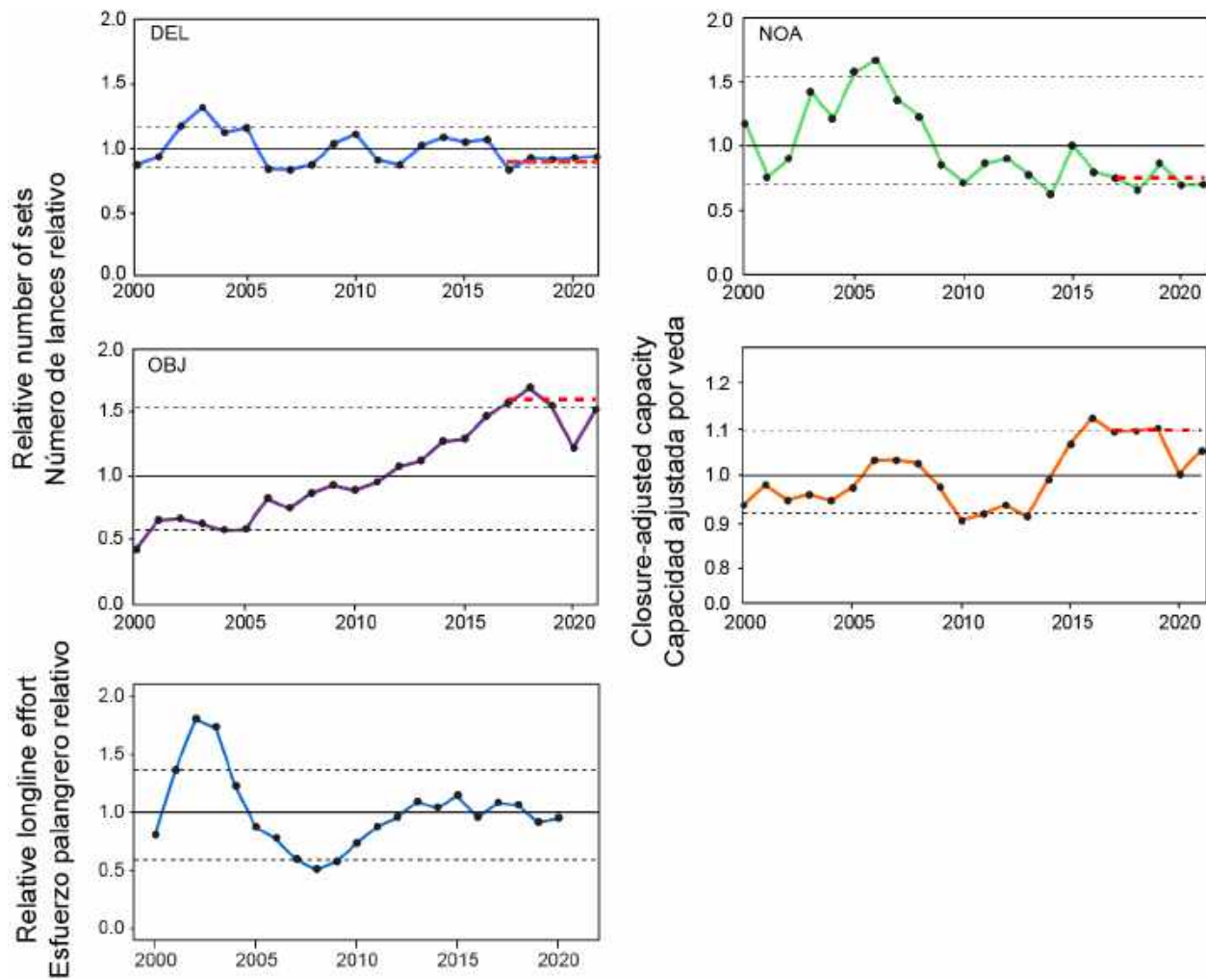


FIGURE B-2. Indicators of total effort in the EPO, based on purse-seine data closure-adjusted capacity, 2000-2021; annual total number of sets, by type, 1987-2021) and based on longline data for 2000-2020 (effort reported by all fleets, in total numbers of hooks; proportion of the effort corresponding to Japan). The dashed horizontal lines are the 10th and 90th percentiles, the solid horizontal line is the mean. The red dashed lines mark the *status quo* levels (average conditions in 2017-2019).

FIGURA B-2. Indicadores del esfuerzo total en el OPO, basados en datos de cerco (capacidad ajustada por veda, 2000-2021; número total anual de lances, por tipo, 1987-2021) y en datos de palangre de 2000-2020 (esfuerzo notificado por todas las flotas, en número total de anzuelos; proporción del esfuerzo correspondiente a Japón). Las líneas horizontales de trazos representan los percentiles de 10 y 90%, y la línea horizontal sólida el promedio. Las líneas discontinuas rojas marcan los niveles de *status quo* (condiciones promedio en 2017-2019).

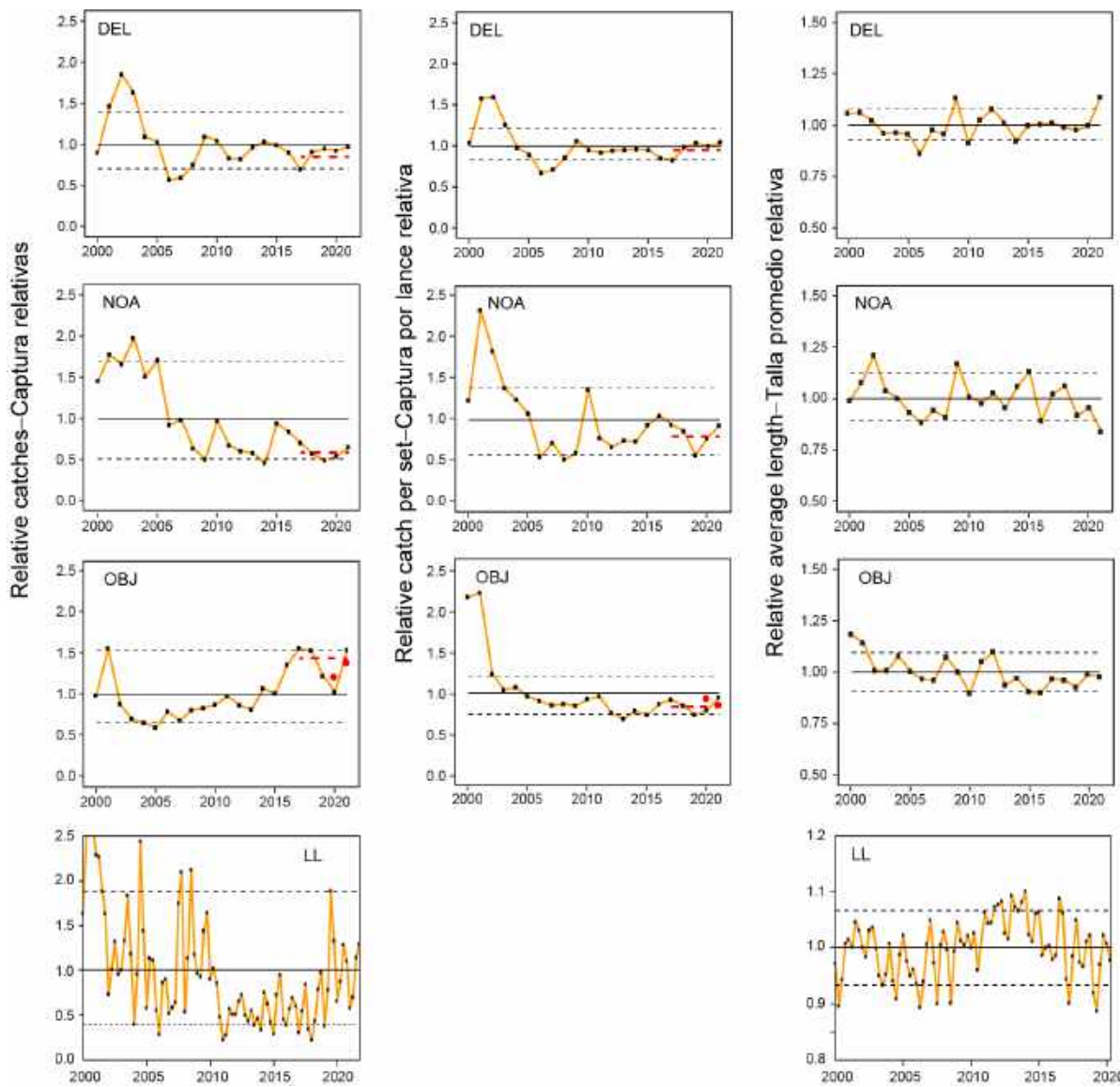


FIGURE B-3. Indicators (catch (t) and numbers); CPUE (t/day fished); average length (cm)) for the yellowfin tuna stock in the eastern Pacific Ocean, from purse-seine fisheries; relative catch and relative average length, obtained from standardized length composition using spatiotemporal model, from longline fisheries. The lines represent the 10% and 90% percentiles (dashed lines) and the mean (solid line). The red dots are the bias-adjusted estimates for floating-object catches in the two COVID-19 years (see [SAC-13-05](#)). The red dashed lines mark the *status quo* reference levels (average conditions in 2017–2019).

FIGURA B-3. Indicadores (captura (t); esfuerzo (días de pesca); CPUE (t/día de pesca); talla promedio (cm)) para la población de atún aleta amarilla en el Océano Pacífico oriental, de las pesquerías de cerco, Captura relativa y talla promedio relativa de las pesquerías de palangre, obtenidas de la composición por talla estandarizada usando el modelo espaciotemporal, de las pesquerías de palangre. Las líneas representan los percentiles de 10% y 90% (líneas de trazo) y el promedio (línea sólida). Los puntos rojos son las estimaciones ajustadas al sesgo de las capturas de objetos flotantes en los dos años de COVID-19 (ver [SAC-13-05](#)). Las líneas discontinuas rojas marcan los niveles de *status quo* (condiciones promedio en 2017–2019).

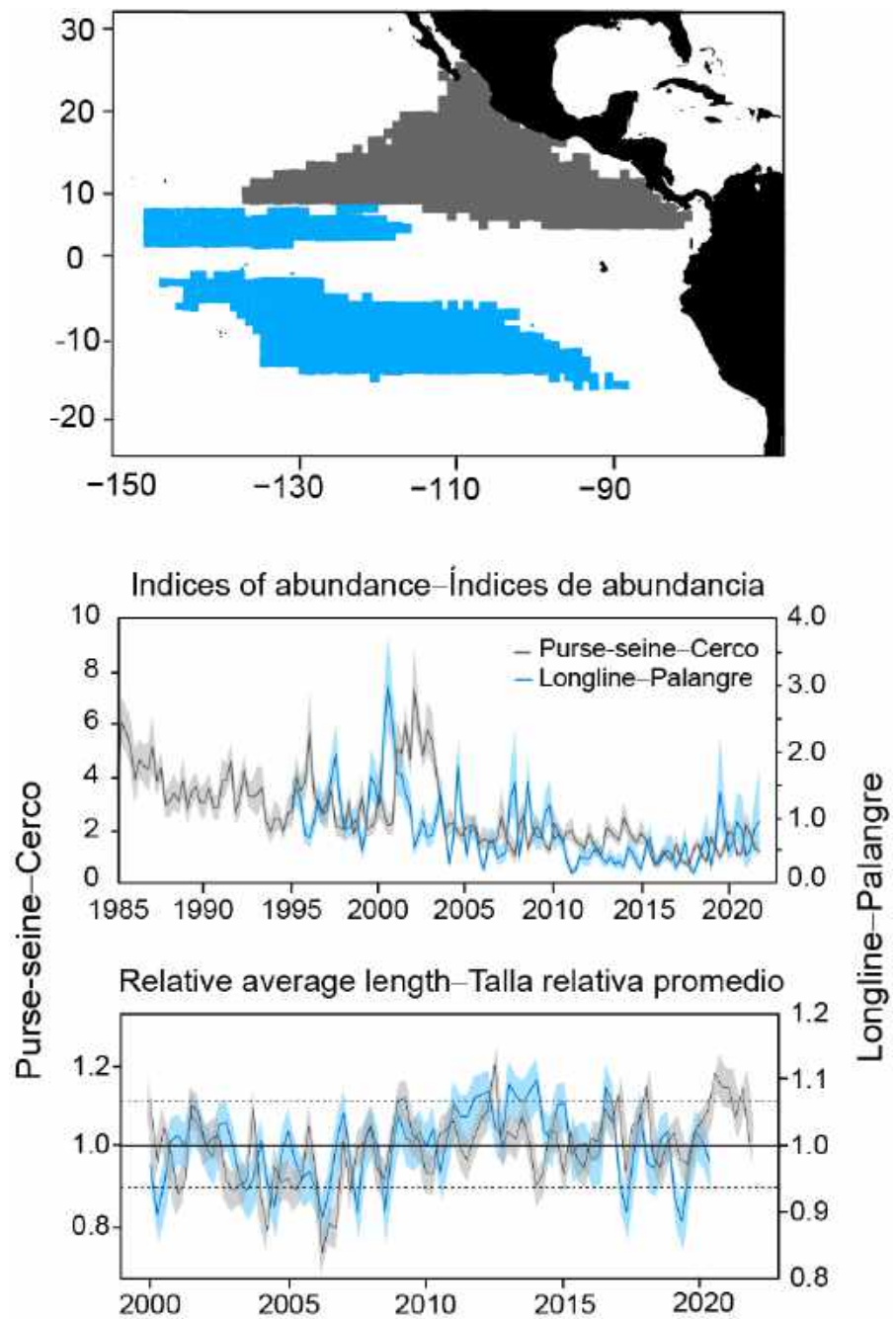


FIGURE B-4. Top: Spatial domain of the purse-seine and longline derived indices. Middle: Relative abundance indices derived from catch per unit of effort of purse-seine (1985-2020) and longline (1995-2020 3rd quarter) fisheries standardized using spatiotemporal models. Bottom: Relative average size.

FIGURA B-4. Arriba: Dominio espacial de los índices derivados de cerco y palangre. Medio: Índices de abundancia relativa derivados de la captura por unidad de esfuerzo de las pesquerías de cerco (1985-2020) y de palangre (1995-2020 3^{er} trimestre) estandarizados mediante modelos espaciotemporales. Abajo: Talla promedio relativa.

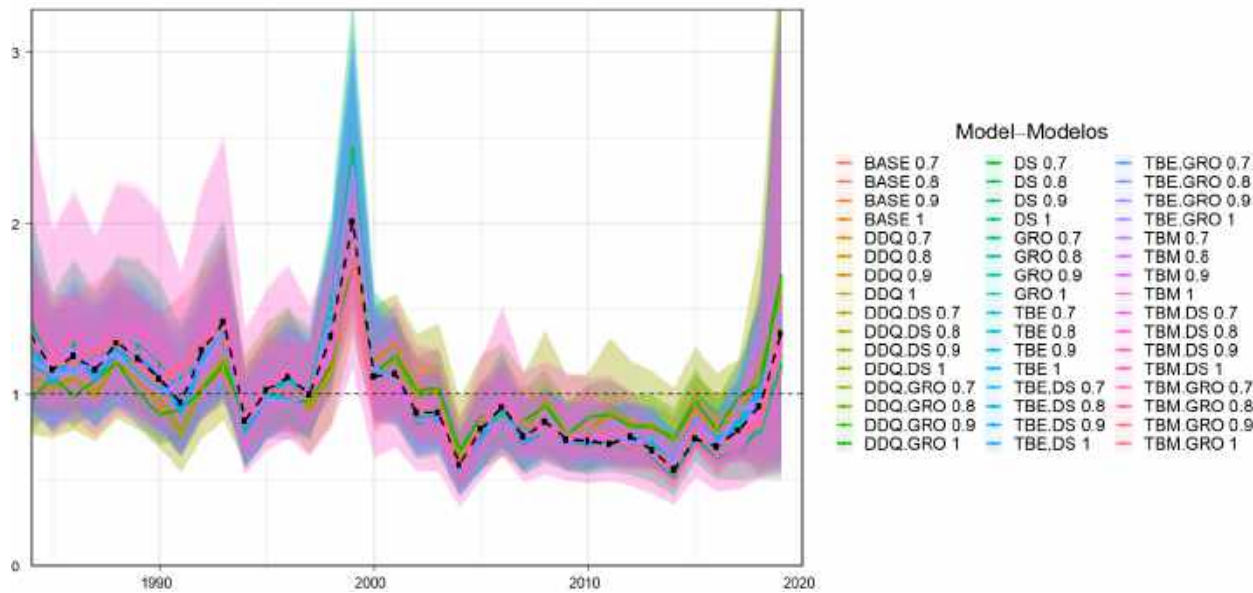


FIGURE B-5. Annual relative recruitment of yellowfin tuna to the fisheries of the EPO estimated by the 48 models and weighted average (black dashed line). The lines and dots indicate the maximum likelihood estimates of recruitment, and the shaded areas the approximate 95% confidence intervals around the estimates. The estimates are scaled so that the average recruitment is equal to 1.0 (dashed horizontal line). See model descriptions in Table B-1. The weighted average is computed using the weights assigned to each model in [SAC-11-INF-J](#).

FIGURA B-5. Reclutamiento anual relativo del aleta amarilla en las pesquerías del OPO estimado por los 48 modelos y media ponderada (línea negra de trazos). Las líneas y puntos indican las estimaciones de máxima verosimilitud (EMV) del reclutamiento, y las áreas sombreadas los intervalos de confianza de 95% aproximados alrededor de las estimaciones. Se ajusta la escala de las estimaciones para que el reclutamiento promedio sea igual a 1.0 (línea de trazos horizontal). Ver descripciones de los modelos en la Tabla B-1. La media ponderada fue calculada usando los pesos asignados a cada modelo en [SAC-11-INF-J](#).

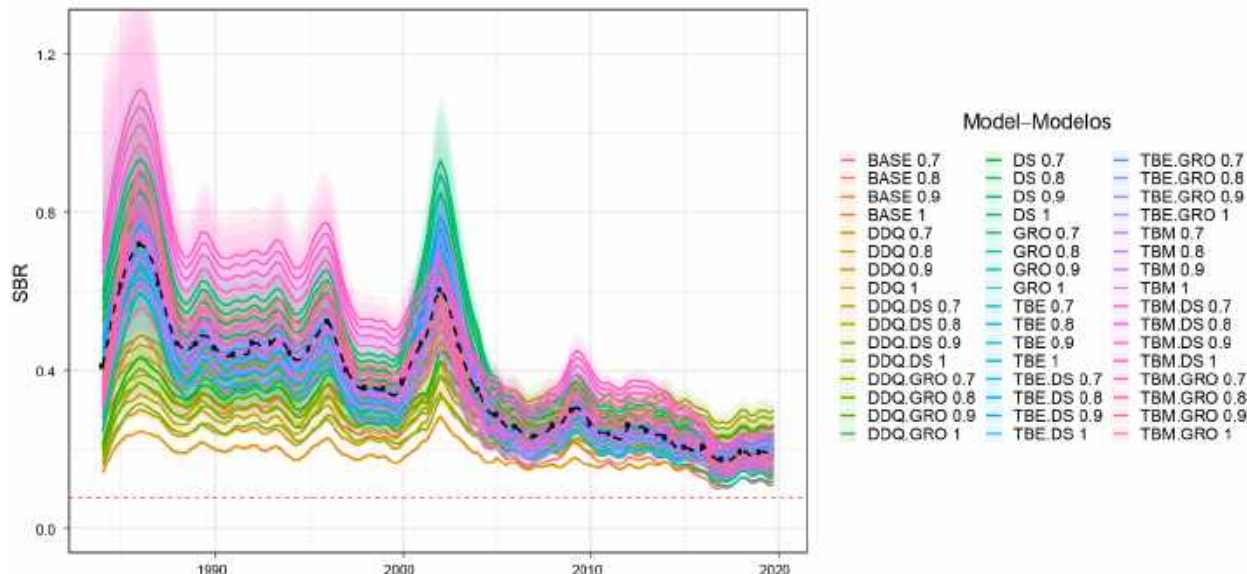


FIGURE B-6. Spawning biomass ratios (SBRs) for yellowfin tuna in the EPO, 1985-2019. The solid lines represent the maximum likelihood estimates and the shaded areas the approximate 95% confidence intervals around those estimates estimated by the 48 models and weighted average (black dashed line). The red dashed horizontal line (at 0.077) identifies the SBR at S_{LIMIT} . See model descriptions in Table B-1. The weighted average was computed using the weights assigned to each model in [SAC-11-INF-J](#).

FIGURA B-6. Cocientes de biomasa reproductora (SBR) del aleta amarilla en el OPO, 1985-2019. Las líneas sólidas representan las estimaciones de máxima verosimilitud, las áreas sombreadas son los intervalos de confianza de 95% aproximados alrededor de esas estimaciones para los 48 modelos y media ponderada (línea negra de trazos). La línea de trazos horizontal roja (en 0.077) identifica el SBR en $S_{LÍMITE}$. Ver descripciones de los modelos en la Tabla B-1. La media ponderada fue calculada usando los pesos asignados a cada modelo en [SAC-11-INF-J](#).

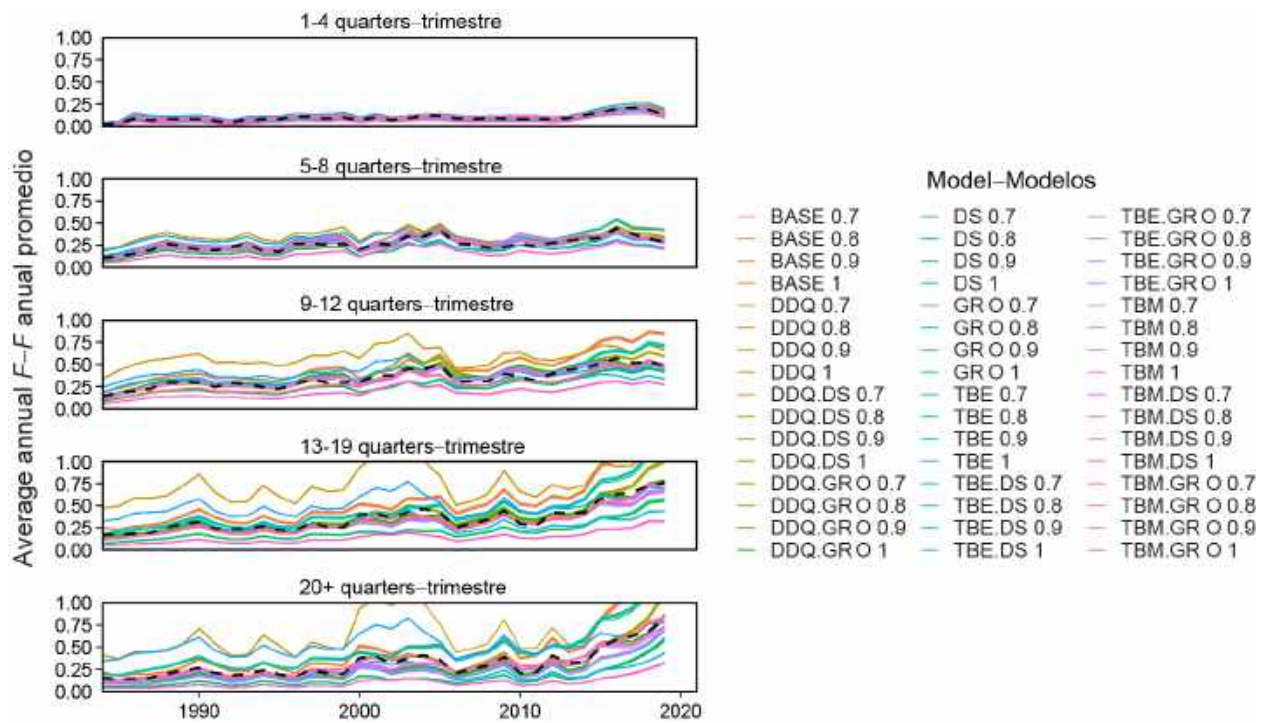


FIGURE B-7. Average annual fishing mortality (F) of yellowfin tuna in the EPO, by age group (in quarters), for all gears, estimated by the 48 models and weighted average. See model descriptions in Table B-1. The weighted average was computed using the weights assigned to each model in [SAC-11-INF-J](#).

FIGURA B-7. Mortalidad por pesca (F) anual promedio del atún aleta amarilla en el OPO, por grupo de edad (en trimestres), por todas las artes, estimada por los 48 modelos y media ponderada. Ver descripciones de los modelos en la Tabla B-1. La media ponderada fue calculada usando los pesos asignados a cada modelo en [SAC-11-INF-J](#).

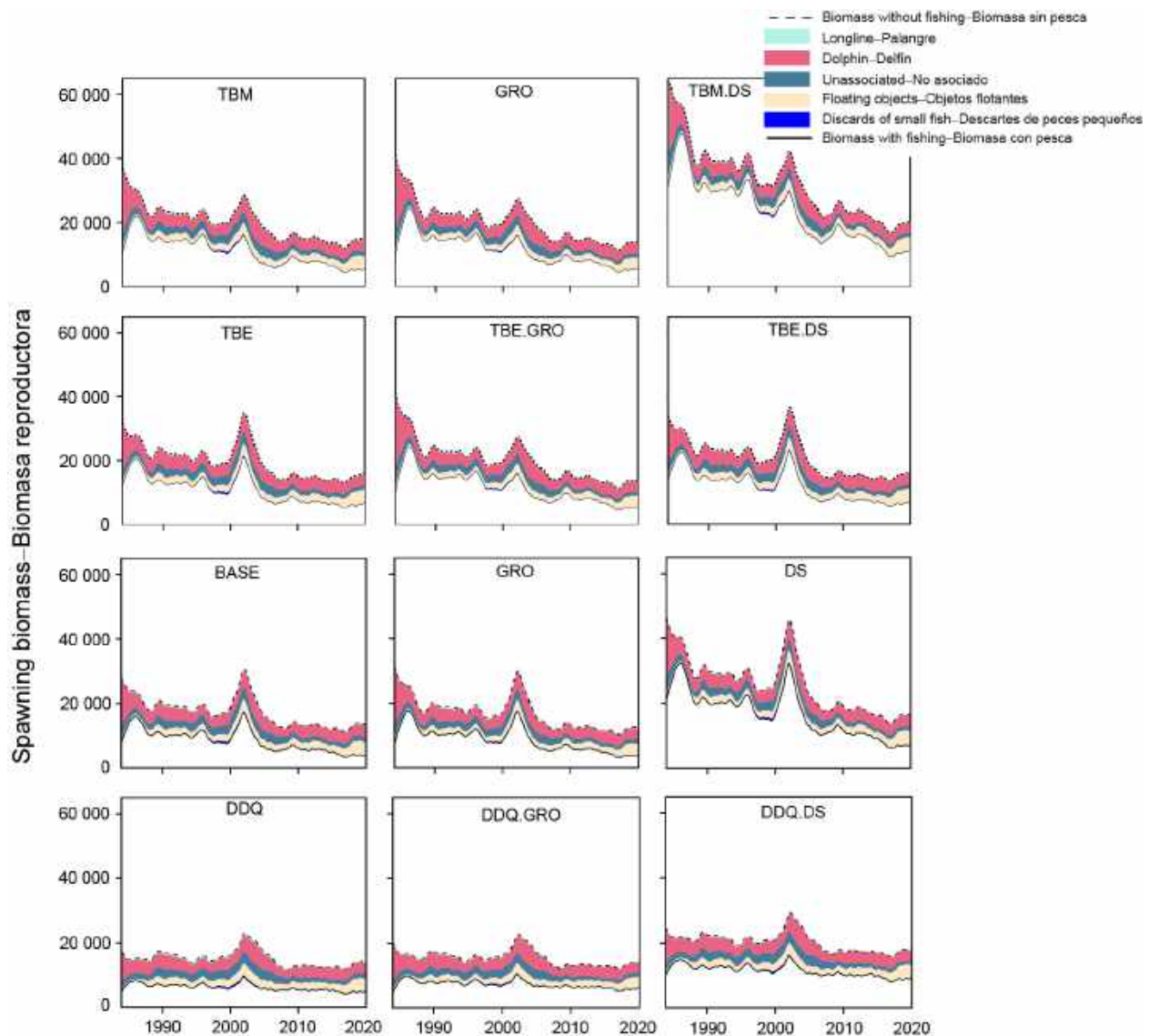


FIGURE B-8. Impact of fishing, 1985-2019: trajectory of the spawning biomass (a fecundity index, see text for details) of a simulated population of yellowfin tuna that was never exploited (dashed line) and that predicted by each model, with a steepness of 1.0 (solid line). The shaded areas between the two lines show the portions of the impact attributed to each fishing method. See model descriptions in [Table B-1](#).

FIGURA B-8. Impacto de la pesca, 1985-2019: trayectoria de la biomasa reproductora (un índice de fecundidad, ver detalles en el texto) de una población simulada de aleta amarilla que nunca fue explotada (línea de trazos) y la trayectoria predicha por cada modelo, con una inclinación de 1.0 (línea sólida). Las áreas sombreadas entre las dos líneas muestran las porciones del impacto atribuido a cada método de pesca. Ver descripciones de los modelos en la [Tabla B-1](#).

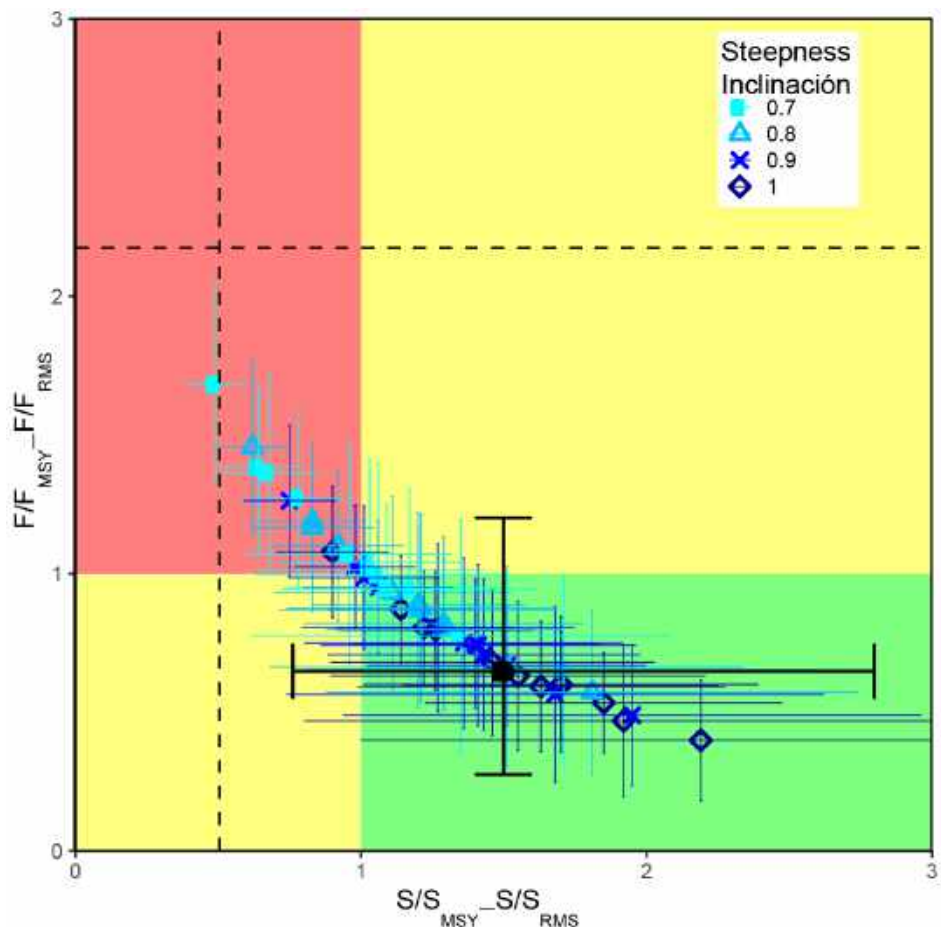


FIGURE B-9. Kobe (phase) plot of the time series of estimates of spawning stock size (S) and fishing mortality (F) of yellowfin tuna relative to their MSY reference points. The colored panels are separated by the target reference points (S_{MSY} and F_{MSY}). Limit reference points (dashed lines), which correspond to a 50% reduction in recruitment from its average unexploited level, based on a conservative steepness (h) of 0.75 for the Beverton-Holt stock-recruitment relationship, are merely indicative, since they vary by model and are based on all models combined. The center point for each model indicates the current stock status, based on the average fishing mortality (F) over the last three years; The solid black circle represents all models combined; to be consistent with the probabilistic nature of the risk analysis and the HCR, it is based on $P(S_{cur}/S_{LIMIT} < x) = 0.5$ and $P(F_{cur}/F_{MSY} > x) = 0.5$. The lines around each estimate represent its approximate 95% confidence interval.

FIGURA B-9. Diagrama de Kobe (fase) de la serie de tiempo de las estimaciones del tamaño de la población reproductora (S) y de la mortalidad por pesca (F) del atún aleta amarilla relativas a sus puntos de referencia de RMS. Los paneles de colores están separados por los puntos de referencia objetivo (S_{RMS} y F_{RMS}). Los puntos de referencia límite (líneas de trazos), que corresponden a una reducción del 50% del reclutamiento de su nivel promedio sin explotación, basados en una inclinación (h) cautelosa de 0.75 para la relación población-reclutamiento de Beverton-Holt, son meramente indicativos, ya que varían por modelo y se basan en todos los modelos combinados. El punto central para cada modelo indica la condición actual de la población, con base en la mortalidad por pesca media durante los tres últimos años. El círculo negro sólido representa todos los modelos combinados; para ser consistente con la naturaleza probabilista del análisis de riesgos y la RCE, se basa en $P(S_{act}/S_{LÍMITE} < x) = 0.5$ y $P(F_{act}/F_{RMS} > x) = 0.5$. Las líneas alrededor de cada estimación representan su intervalo de confianza aproximado de 95%.

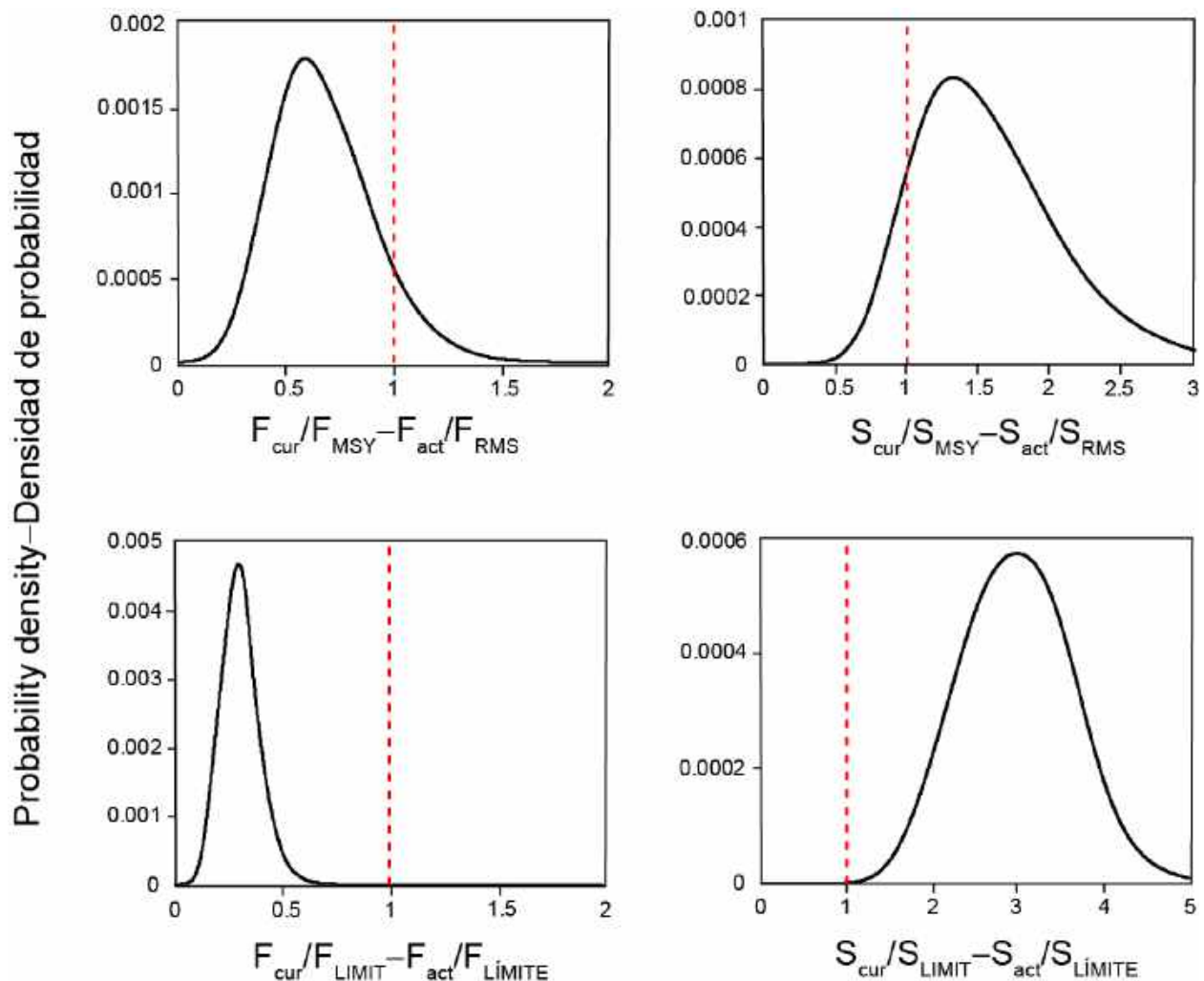


FIGURE B-10. Yellowfin probability density functions for $F_{\text{cur}}/F_{\text{MSY}}$, $F_{\text{cur}}/F_{\text{LIMIT}}$ and $S_{\text{cur}}/S_{\text{LIMIT}}$ broken down into different components for models developed to address: a) combined; b) issues with the index of abundance; c) misfit to the composition data for the fishery with asymptotic selectivity; and d) different assumptions on steepness (h).

FIGURA B-10. Funciones de densidad de probabilidad para $F_{\text{act}}/F_{\text{RMS}}$, $F_{\text{act}}/F_{\text{LÍMITE}}$ y $S_{\text{act}}/S_{\text{LÍMITE}}$ de aleta amarilla divididas en diferentes componentes para modelos implementados para resolver: a) combinada; b) problemas con el índice de abundancia; c) problemas en los ajustes a los datos de composiciones de talla de la pesquería con selectividad asintótica; y d) distintos supuestos sobre la inclinación (h).

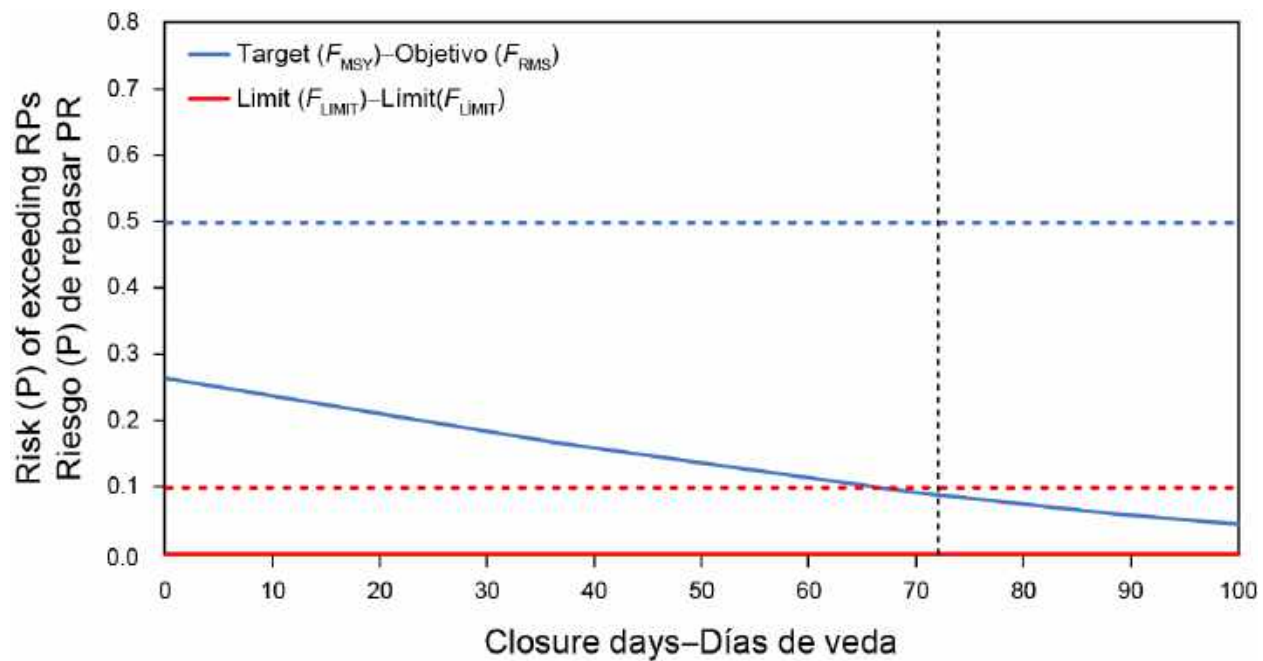


FIGURE B-11. Risk curves showing the probability of exceeding the target and limit reference points (PRs) for different durations of the temporal closure for yellowfin in the EPO.

FIGURA B-11. Curvas de riesgo que señalan la probabilidad de rebasar los puntos de referencia (PR) objetivo y límite con diferentes duraciones de la veda temporal para aleta amarilla en el OPO.

TABLE B-1. Model configurations (hypotheses) used for yellowfin tuna in the EPO (from [SAC-11-08](#) Table A)

TABLE A. Model configurations (hypotheses) used for yellowfin tuna in the EPO.	
Model	Description
A. Prop: Proportional	
Base-A	Index of abundance proportional to abundance. Growth fixed; selectivity of all fleets and survey time-invariant; F19 selectivity asymptotic; index catchability (q , the proportionality constant between the index and biomass) time-invariant.
EstGro-A	As Base-A, but fitted to otolith data, growth estimated.
EstSel-A	As Base-A, but assumes dome-shaped F19 selectivity, with parameters estimated.
B. DDQ: Density dependence	
Base-B	As Base-A, but assumes non-linear relationship between index of abundance and biomass, with parameters estimated.
EstGro-B	As Base-B, but growth estimated.
EstSel-B	As Base-B, but assumes dome-shaped F19 selectivity, with parameters estimated.
C. TBM: Time block middle	
Base-C	As Base-A, but assumes a time block during 2001-2003 for the index catchability (q) (to accommodate a large increase in the index) and a time block for selectivity during 2002-2007 for the index, and F18 and F19 fisheries. F19 selectivity assumed dome-shaped during 2002-2007, otherwise asymptotic.
EstGro-C	As Base-C, but growth estimated.
EstSel-C	As Base-C, but assumes dome-shaped F19 selectivity, with parameters estimated.
D. TBE: Time block end	
Base-D	As Base-A, but assumes a time block beginning in 2015 for the index (both catchability and selectivity) and for F19 selectivity (to accommodate increase in size in the index and fishery with asymptotic selectivity).
EstGro-D	As Base-D, but growth estimated.
EstSel-D	As Base-D, but assumes dome-shaped F19 selectivity, with parameters estimated.

TABLE B-2. Management quantities for yellowfin tuna in the EPO for each reference model summarized over the four steepness values. See explantion of code in Table B-1 (from [SAC-11-08](#) Table 1)

P (Model)	Management quantities for yellowfin tuna in the EPO. See explanation of codes in Table A. $E(x)$ is the expected value. $P=0.5$: median of the distributions of $P(S_{\text{cur}}/S_{\text{MSY}})$ and $P(F_{\text{cur}}/F_{\text{MSY}})$.												
	A. Proportional			B. Density dependence			C. Time block middle			D. Time block end			Combined
	Base-A	EstGro-A	EstSel-A	Base-B	EstGro-B	EstSel-B	Base-C	EstGro-C	EstSel-C	Base-D	EstGro-D	EstSel-D	$E(x) P=0.5$
$F_{\text{cur}}/F_{\text{MSY}}$	1.24	0.95	0.69	1.01	0.65	0.55	0.93	0.72	0.47	0.79	0.72	0.73	0.67 0.65
$P(F_{\text{cur}}>F_{\text{MSY}})$	0.88	0.37	0.05	0.46	0.03	0.01	0.32	0.07	0.00	0.13	0.08	0.09	0.09
$S_{\text{cur}}/S_{\text{MSY},d}$	0.46	0.45	0.31	0.38	0.32	0.25	0.38	0.35	0.22	0.33	0.33	0.31	0.30
$P(S_{\text{cur}}<S_{\text{MSY}})$	0.00	0.00	0.00	0.00	0.00	0.00	0.00	0.00	0.00	0.00	0.00	0.00	0.00
$S_{\text{cur}}/S_{\text{MSY},l}$	0.78	1.07	1.48	1.01	1.60	1.74	1.09	1.48	2.02	1.31	1.48	1.40	1.57 1.58
$P(S_{\text{cur}}<S_{\text{MSY}})$	0.93	0.41	0.07	0.48	0.04	0.08	0.34	0.06	0.03	0.15	0.09	0.11	0.12
$S_{\text{cur}}/S_{\text{LIMIT}}$	1.87	1.96	2.60	2.62	3.24	3.70	2.33	2.53	3.25	2.99	2.94	3.08	2.98
$P(S_{\text{cur}}<S_{\text{LIMIT}})$	0.00	0.00	0.00	0.00	0.00	0.00	0.00	0.00	0.00	0.00	0.00	0.00	0.00

TABLE B-3. Decision table for yellowfin tuna in the EPO for each reference model summarized over the four steepness values. See explantion of code in Table B-1 (FROM [SAC-11-08](#) Table 3).

Closure days	A. Prop			B. DDQ			C. TBM			D. TBE			Comb	
	Base-A	EstGro-A	EstSel-A	Base-B	EstGro-B	EstSel-B	Base-C	EstGro-C	EstSel-C	Base-D	EstGro-D	EstSel-D		
P(F>FMSY)	Probability												$\leq 50\%$	$> 50\%$
0	0.99	0.74	0.23	0.88	0.17	0.09	0.74	0.29	0.02	0.43	0.30	0.32	0.26	
36	0.97	0.56	0.12	0.70	0.08	0.04	0.53	0.17	0.01	0.27	0.17	0.19	0.17	
70	0.88	0.37	0.05	0.46	0.03	0.01	0.32	0.07	0.00	0.13	0.08	0.09	0.09	
72	0.87	0.36	0.05	0.44	0.03	0.01	0.31	0.07	0.00	0.13	0.08	0.08	0.09	
88	0.77	0.28	0.03	0.33	0.01	0.01	0.22	0.04	0.00	0.08	0.05	0.05	0.06	
100	0.68	0.22	0.01	0.26	0.01	0.00	0.16	0.02	0.00	0.06	0.03	0.03	0.05	
P(F>FLIMIT)	Probability												$\leq 10\%$	$> 10\%$
0	0.00	0.00	0.00	0.00	0.00	0.00	0.00	0.00	0.00	0.00	0.00	0.00	0.00	
36	0.00	0.00	0.00	0.00	0.00	0.00	0.00	0.00	0.00	0.00	0.00	0.00	0.00	
70	0.00	0.00	0.00	0.00	0.00	0.00	0.00	0.00	0.00	0.00	0.00	0.00	0.00	
72	0.00	0.00	0.00	0.00	0.00	0.00	0.00	0.00	0.00	0.00	0.00	0.00	0.00	
88	0.00	0.00	0.00	0.00	0.00	0.00	0.00	0.00	0.00	0.00	0.00	0.00	0.00	
100	0.00	0.00	0.00	0.00	0.00	0.00	0.00	0.00	0.00	0.00	0.00	0.00	0.00	

B. ATÚN ALETA AMARILLA

Para la versión completa de este análisis, consulte los documentos [SAC-11-05](#), [SAC-11-07](#), [SAC-11-INF-J](#) y [SAC-11-08](#).

El aleta amarilla está distribuido en todo el Océano Pacífico, pero la mayor parte de la captura se realiza en las regiones oriental y occidental. Las capturas cerqueras cerca del límite occidental del OPO en 150°O son relativamente bajas, pero han ido en aumento, principalmente en lances sobre objetos flotantes ([Figura A-1a](#) y [A-1b](#), [Tablas A-1](#), [A-2](#)). La mayor parte de la captura en el Océano Pacífico oriental (OPO) se realiza en lances cerqueros asociados a delfines y objetos flotantes ([Figura B-1](#)). Estudios de marcado de aleta amarilla en todo el Pacífico indican que suelen permanecer a 1,800 km de sus lugares de liberación. Esta fidelidad regional, junto con la variación geográfica de las características fenotípicas y genotípicas del aleta amarilla demostrada en algunos estudios, sugiere que podría haber múltiples poblaciones de aleta amarilla en el OPO y en todo el Océano Pacífico. Sin embargo, las tasas de desplazamiento entre estas poblaciones supuestas, así como a través del meridiano de 150°O, no se pueden estimar con los datos de marcado disponibles actualmente.

En 2022, se desarrollaron indicadores de condición de población (SSI, de *stock status indicators*) para el aleta amarilla utilizando los datos recolectados en el OPO entero ([SAC-13-06](#)). A corto plazo, los indicadores muestran el efecto de la pandemia de COVID-19. El número total de lances sobre objetos flotantes disminuyó 21.5% de 2019 a 2020. La capacidad ajustada a la veda también disminuyó ligeramente. En 2021, ambas medidas de esfuerzo aumentaron, y las condiciones actuales se sitúan en el promedio de las condiciones de 2017-2019 (*status quo*). Hubo una aparente disminución de las capturas con objetos flotantes estimadas, seguida de un aumento en 2021. El muestreo en puerto para la composición por especie se vio también muy afectado, lo que provocó un sesgo en la estimación de las capturas ([SAC-13-05](#)). Es posible que las capturas estimadas de atún aleta amarilla en 2020 sean un 18% mayores que las mostradas en la Figura B-1, mientras que las de 2021 pueden ser un 10% menores, ya que algunas capturas de atún aleta amarilla se atribuyeron probablemente a patudo, y viceversa en 2020 y 2021 ([Figura B-3](#)), respectivamente, debido a la falta de muestreo en puertos clave como resultado del impacto de la pandemia de COVID-19. El esfuerzo de la pesquería de cerco asociada a delfines y la pesquería no asociada se ha mantenido estable desde 2018. El esfuerzo de palangre fue aproximadamente el mismo en 2020 que en 2019 ([Figura B-2](#)), pero la CPUE relativa y la talla promedio aumentaron ([Figura B-3](#)). La talla promedio también aumentó en 2021 para la pesquería de cerco asociada a delfines, que también mostró un ligero aumento de la CPUE relativa. A largo plazo, muestran que la mayoría de los SSI de la pesquería sobre objetos flotantes sugiere que la población de aleta amarilla ha estado potencialmente sujeta a una mortalidad por pesca mayor, debido principalmente al aumento del número de lances en la pesquería sobre objetos flotantes desde 2005 ([Figura B-2](#)) y el correspondiente aumento de la captura de aleta amarilla ([Figura B-3](#)), asociado a una disminución de la captura por lance ([Figura B-3](#)) y de la talla promedio de los peces en la captura ([Figura B-3](#)) en la pesquería sobre objetos flotantes. Esto coincidió con una tendencia descendente del índice de CPUE palangrera del aleta amarilla basado en modelado espaciotemporal desde 2005, que estuvo en los niveles históricos más bajos en 2017-2018 ([Figura B-4](#)). Las tendencias a largo plazo de algunos de los otros SSI no apoyan la interpretación de que el incremento de la mortalidad por pesca esté ocurriendo debido a un aumento del número de lances sobre objetos flotantes, tales como las tendencias de la captura por lance para otros tipos de lance ([Figura B-3](#)), la talla promedio del aleta amarilla en los otros tipos de lance ([Figura B-3](#)), y los SSI de palangre ([Figura B-3](#)). El indicador basado en el modelado espaciotemporal de la CPDP para la pesquería cerquera asociada a delfines muestra un periodo de CPUE baja, comenzando en 2015 (Figura B-4), que coincide con un periodo de capturas elevadas de aleta amarilla en lances sobre objetos flotantes ([Figura B-3](#)). El indicador basado en el modelado espaciotemporal de la CPUE para la pesquería palangrera no coincide con el de la pesquería cerquera ([Figura B-4](#)), aunque ambos índices se refieren a peces grandes,

siendo los de palangre los más grandes. Las inconsistencias entre los SSI de aleta amarilla podrían deberse a una interacción entre la estructura potencial de la población (es decir, el índice de palangre se refiere a una población del sur y el índice de cerco a una población del norte) y diferencias en la distribución espacial del esfuerzo en los distintos tipos de lance/arte. Además, la captura por lance podría no ser un indicador fiable de la abundancia, particularmente para la especie objetivo (es decir, aleta amarilla en la pesquería sobre delfines). No obstante, el hecho que la mayoría de los SSI basados en la pesquería sobre objetos flotantes sean consistentes con un aumento de la mortalidad por pesca en esa pesquería significa que se deben considerar medidas de ordenación precautorias para evitar mayores aumentos. Debido al efecto del COVID-19, el 2020 y el 2021 deben considerarse con precaución a la hora de interpretar las tendencias de los indicadores a largo plazo.

Se completó un plan de trabajo para mejorar las evaluaciones de las poblaciones de atunes tropicales tomando en consideración los resultados de la revisión externa del aleta amarilla. Aunque el panel no identificó ningún sustituto particular para el modelo de caso base actual, sugirió una gama de alternativas para la consideración del personal. A fin de abarcar tantos escenarios como fuera posible, el personal desarrolló un marco pragmático de evaluación de riesgos para aplicar a ambas especies, que incluyó el desarrollo de hipótesis, la implementación y ponderación de los modelos, y la construcción de tablas de riesgo basadas en el resultado combinado ([SAC-11-08](#), [SAC-11-INF-F](#), [SAC-11-INF-J](#)).

El grado de mezcla espacial de la población de atún aleta amarilla en el OPO se consideró la principal fuente de incertidumbre en el análisis de riesgos ([SAC-11-INF-J](#)). Esta conclusión provino de la inspección detallada de los índices de abundancia contradictorios. En las evaluaciones anteriores se usaron cinco índices de abundancia, uno de la pesquería de palangre y cuatro de las pesquerías de cerco, y los datos de composición por talla de las pesquerías de palangre y de cerco. El modelo no pudo conciliar los índices de diferentes pesquerías y los datos de composición por talla que aparentemente llevaban señales contradictorias sobre la condición de la población ([SAC-10 INF-F](#)). A fin de resolver las inconsistencias, se usaron modelos espaciotemporales para producir nuevos índices cerqueros y palangreros y frecuencias de talla asociadas, pero no se resolvieron las inconsistencias ([Figura B-4](#)). La discrepancia fue más evidente en 2001-2003, cuando se produjo un pico más temprano en el índice de palangre y más tarde en el índice de cerco (contrario a lo que se esperaba dados los supuestos de crecimiento y selectividad del modelo). Al incorporar las clases de talla en la estandarización, se hizo evidente que las diferencias se debían principalmente a que la cohorte de 1998 (coinciéndiendo con un año importante de El Niño) era prominente en el índice de palangre, mientras que no aparecía en el índice de cerco, y lo contrario ocurría con la cohorte de 1999 (coinciéndiendo con un año de La Niña igualmente importante) (ver talla promedio en la [Figura B-4](#)). Las discrepancias entre los índices de cerco y de palangre siguen siendo sorprendentes en la serie actualizada ([Figura B-4](#)). Se consideró la heterogeneidad espacial como la explicación más plausible de las incoherencias no resueltas.

Se desarrollaron tres hipótesis dominantes relacionadas con el grado de mezcla espacial de la población de atún aleta amarilla en el OPO ([SAC-11-INF-J](#)). De ellas, se supuso la hipótesis de mezcla alta para la evaluación de referencia, suponiendo que el índice de cerco era el más representativo del núcleo de la población explotada ([SAC-11-07](#)). Se desarrolló una serie de hipótesis de nivel jerárquico inferior en relación con otras incertidumbres importantes en la evaluación anterior. De ellas, se desarrollaron 12 modelos de referencia, que combinan componentes que abordan los cambios en la selectividad y capturabilidad, el crecimiento, la selectividad asintótica y la densodependencia en la capturabilidad del índice ([Tabla B-1](#)). Cada modelo de referencia fue ejecutado con cuatro supuestos de la inclinación de la relación población-reclutamiento (0.7, 0.8, 0.9, y 1.0). Un total de 48 modelos compusieron la evaluación de referencia para el atún aleta amarilla ([SAC-11-07](#)). Además, se implementaron nuevas definiciones de las pesquerías, y se adoptaron nuevas funciones de selectividad de *spline* para la mayoría de las pesquerías. Todas las capturas del OPO fueron añadidas a los modelos, que se ajustaron a un índice de

abundancia de cerco estandarizado para el OPO al norte de 5°N y a los datos de composición por talla de las pesquerías de cerco que operan al norte de 5°N, a fin de evitar la contaminación de la señal con la de una posible población del sur. Los modelos fueron diagnosticados por especificación errónea del modelo, falta de ajuste, sesgo retrospectivo, entre otros ([SAC-11-07](#)). En lugar de elegir un modelo de caso base, se usaron todos los modelos para producir asesoramiento de ordenación combinándolos mediante pesos relativos determinados con base en varios criterios, incluyendo el desempeño en los diagnósticos de los modelos ([SAC-11-INF-J](#)).

Los 48 modelos de la evaluación de referencia estiman tendencias de reclutamiento relativo similares, independientemente de la inclinación supuesta ([Figura B-5](#)). Todas las trayectorias de la biomasa tienen tendencias decrecientes, pero la magnitud de las disminuciones varía ([Figura B-6](#)). Todos los modelos indican la F más alta para peces de 21+ trimestres (5.25+ años), seguidos por peces de 11-20 trimestres (2.75-5 años) ([Figura B-7](#)). Todos los modelos estiman impactos similares de los diferentes tipos de pesquerías ([Figura B-8](#)). Las pesquerías de palangre y de descartes por clasificación tienen el menor impacto, mientras que las pesquerías cerqueras asociadas a delfines tienen el mayor impacto a lo largo de la mayor parte del periodo (1984-2019). En los años 1990 el impacto de las pesquerías sobre objetos flotantes comenzó a ser importante, y superó al de las pesquerías no asociadas alrededor de 2008 y al de las pesquerías cerqueras asociadas a delfines en 2018. Al principio de 2020, la biomasa reproductora (S) del aleta amarilla varió del 49% al 219% del nivel en RMS dinámico (S_{RMS_d}); 12 modelos sugirieron que estuvo por debajo de dicho nivel ([Figura B-9](#), [Tabla B-2](#)). Al principio de 2020, la biomasa reproductora (S) varió del 145% al 345% del nivel de referencia límite ($S_{LÍMITE}$); ningún modelo sugirió que estuvo por debajo de dicho límite. Durante 2017-2019 la mortalidad por pesca (F) del aleta amarilla varió del 40% al 168% del nivel en RMS (F_{RMS}); 14 modelos sugirieron que estuvo por encima de dicho nivel. Durante 2017-2019, la mortalidad por pesca del aleta amarilla varió del 22% al 65% del nivel de referencia límite ($F_{LÍMITE}$); ningún modelo sugirió que estuvo por debajo de dicho límite. Todos los modelos sugieren que los valores de inclinación más bajos corresponden a estimaciones más pesimistas de la condición de la población: S más baja y F más alta con respecto a los puntos de referencia.

Los resultados de los modelos de referencia se combinan en un análisis de riesgos para proporcionar asesoramiento de ordenación ([SAC-11-08](#)). Las probabilidades de rebasar los puntos de referencia se calcularon usando el resultado de cada modelo y su peso asociado; las estimaciones finales se encuentran en la Tabla B-3 y en las Figuras B-9 y B-10. Todas las distribuciones de probabilidad son unimodales ([Figura B-10](#)). Existe una baja probabilidad de que F_{act} esté por encima de F_{RMS} (9%). La probabilidad de que F_{act} esté por encima de $F_{LÍMITE}$ es cero. La probabilidad de que la biomasa reproductora esté por debajo de S_{RMS_d} es baja (12%). La probabilidad de que la biomasa reproductora rebase $S_{LÍMITE}$ es cero. El riesgo esperado combinado de que F rebase F_{RMS} es inferior a 50% para seis duraciones de veda ([Tabla B-3](#); [Figura B-11](#)), variando entre 26% (sin veda) y 5% (100 días), con riesgo bajo (9%) para la veda actual (72 días). Un modelo (Base-A) produjo un resultado pesimista (un riesgo superior al 50% de rebasar F_{RMS} para todos los escenarios ([Tabla B-3](#)), pero este modelo tiene una ponderación relativa muy baja (0.01).

Una incertidumbre clave que no se abordó en la evaluación es la estructura espacial de la población de atún aleta amarilla en el OPO. En el futuro, el trabajo para mejorar la evaluación se centrará en ella.

TABLA B-1. Configuraciones de los modelos (hipótesis) usadas para el atún aleta amarilla en el OPO (de [SAC-11-08 Tabla A](#))

TABLA A. Configuraciones de modelo (hipótesis) usadas para el atún aleta amarilla en el OPO	
Modelo	Descripción
A. Prop: Proporcional	
Base-A	Índice de abundancia proporcional a la abundancia. Crecimiento fijo; selectividad de todas las flotas y estudio invariable con el tiempo; selectividad F19 asintótica; índice de capturabilidad (q , constante de proporcionalidad entre índice y biomasa) invariable con el tiempo.
EstGro-A	Como Base-A, pero ajustado a datos de otolitos, crecimiento estimado.
EstSel-A	Como Base-A, pero supone selectividad F19 en forma de domo, con parámetros estimados.
B. DDQ: Densodependencia	
Base-B	Como Base-A, pero supone relación no lineal entre índice de abundancia y biomasa, con parámetros estimados.
EstGro-B	Como Base-B, pero crecimiento estimado.
EstSel-B	Como Base-B, pero supone selectividad F19 en forma de domo, con parámetros estimados.
C. TBM: Bloque de tiempo centro	
Base-C	Como Base-A, pero supone bloque de tiempo durante 2001-2003 para el índice de capturabilidad (q) (para acomodar un aumento grande en el índice) y un bloque de tiempo de selectividad durante 2002-2007 para el índice, y pesquerías F18 y F19. Selectividad F19 supuesta en forma de domo durante 2002-2007, asintótica en otros periodos.
EstGro-C	Como Base-C, pero crecimiento estimado.
EstSel-C	Como Base-C, pero supone selectividad F19 en forma de domo, con parámetros estimados.
D. TBE: Bloque de tiempo fin	
Base-D	Como Base-A, pero supone bloque de tiempo comenzando en 2015 para el índice (capturabilidad y selectividad) y para selectividad F19 (para acomodar un aumento de tamaño en el índice y pesquería con selectividad asintótica).
EstGro-D	Como Base-D, pero crecimiento estimado.
EstSel-D	Como Base-D, pero supone selectividad F19 en forma de domo, con parámetros estimados.

TABLA B-2. Cantidadades de ordenación para el atún aleta amarilla en el OPO para cada modelo de referencia resumidas sobre los cuatro valores de inclinación. Ver explicación de los códigos en la Tabla B-1 (de [SAC-11-08](#) Tabla 1)

TABLA 1. Cantidadades de ordenación para el atún aleta amarilla en el OPO. Ver explicaciones de códigos en Tabla A. $E(x)$ es el valor esperado. $P=0.5$: mediana de las distribuciones de $P(S_{act}/S_{RMS})$ y $P(F_{act}/F_{RMS})$

	A. Prop			B. DDQ			C. TBM			D. TBE			Comb.	
	Base-A	EstGro-A	EstSel-A	Base-B	EstGro-B	EstSel-B	Base-C	EstGro-C	EstSel-C	Base-D	EstGro-D	EstSel-D	$E(x)$	$P=0.5$
P (Modelo)	0.01	0.05	0.06	0.03	0.13	0.09	0.05	0.10	0.24	0.03	0.06	0.14	1.00	
Mortalidad por pesca (F)														
F_{act}/F_{RMS}	1.24	0.95	0.69	1.01	0.65	0.55	0.93	0.72	0.47	0.79	0.72	0.73	0.67	0.65
$P(F_{act}>F_{RMS})$	0.88	0.37	0.05	0.46	0.03	0.01	0.32	0.07	0.00	0.13	0.08	0.09	0.09	
$F_{act}/F_{LÍMITE}$	0.46	0.45	0.31	0.38	0.32	0.25	0.38	0.35	0.22	0.33	0.33	0.31	0.30	
$P(F_{act}>F_{LÍMITE})$	0.00	0.00	0.00	0.00	0.00	0.00	0.00	0.00	0.00	0.00	0.00	0.00	0.00	
Biomasa reproductora (S)														
S_{act}/S_{RMS_d}	0.78	1.07	1.48	1.01	1.60	1.74	1.09	1.48	2.02	1.31	1.48	1.40	1.57	1.58
$P(S_{act}<S_{RMS})$	0.93	0.41	0.07	0.48	0.04	0.08	0.34	0.06	0.03	0.15	0.09	0.11	0.12	
$S_{act}/S_{LÍMITE}$	1.87	1.96	2.60	2.62	3.24	3.70	2.33	2.53	3.25	2.99	2.94	3.08	2.98	
$P(S_{act}<S_{LÍMITE})$	0.00	0.00	0.00	0.00	0.00	0.00	0.00	0.00	0.00	0.00	0.00	0.00	0.00	

TABLA B-3. Tabla de decisión para el atún aleta amarilla en el OPO para cada modelo de referencia resumidas sobre los cuatro valores de inclinación. Ver explicación de los códigos en la Tabla B-1 (de [SAC-11-08](#) Tabla 3).

Días de veda	A. Prop			B. DDQ			C. TBM			D. TBE			Comb
	Base-A	EstGro-A	EstSel-A	Base-B	EstGro-B	EstSel-B	Base-C	EstGro-C	EstSel-C	Base-D	EstGro-D	EstSel-D	
$P(F > F_{RMS})$													Probabilidad
0	0.99	0.74	0.23	0.88	0.17	0.09	0.74	0.29	0.02	0.43	0.30	0.32	0.26
36	0.97	0.56	0.12	0.70	0.08	0.04	0.53	0.17	0.01	0.27	0.17	0.19	0.17
70	0.88	0.37	0.05	0.46	0.03	0.01	0.32	0.07	0.00	0.13	0.08	0.09	0.09
72	0.87	0.36	0.05	0.44	0.03	0.01	0.31	0.07	0.00	0.13	0.08	0.08	0.09
88	0.77	0.28	0.03	0.33	0.01	0.01	0.22	0.04	0.00	0.08	0.05	0.05	0.06
100	0.68	0.22	0.01	0.26	0.01	0.00	0.16	0.02	0.00	0.06	0.03	0.03	0.05
$P(F > F_{LÍMITE})$													Probabilidad
0	0.00	0.00	0.00	0.00	0.00	0.00	0.00	0.00	0.00	0.00	0.00	0.00	0.00
36	0.00	0.00	0.00	0.00	0.00	0.00	0.00	0.00	0.00	0.00	0.00	0.00	0.00
70	0.00	0.00	0.00	0.00	0.00	0.00	0.00	0.00	0.00	0.00	0.00	0.00	0.00
72	0.00	0.00	0.00	0.00	0.00	0.00	0.00	0.00	0.00	0.00	0.00	0.00	0.00
88	0.00	0.00	0.00	0.00	0.00	0.00	0.00	0.00	0.00	0.00	0.00	0.00	0.00
100	0.00	0.00	0.00	0.00	0.00	0.00	0.00	0.00	0.00	0.00	0.00	0.00	0.00

C. SKIPJACK TUNA

Skipjack tuna are distributed in tropical waters across the Pacific Ocean. In the eastern Pacific Ocean (EPO), the majority of catch is taken by the purse seine fishery. Since 1990 the purse-seine fishery associated with floating objects has become the dominant fishery type ([Figure C-1](#)).

An integrated statistical age-structured catch-at-length stock assessment was developed for skipjack tuna in the eastern Pacific Ocean using Stock Synthesis. The assessment is similar to those conducted for bigeye and yellowfin tuna and is fit to indices of relative abundance and length-composition data. Although the assessment is termed *interim* by the staff, the staff considers it reliable for management advice. The term *interim* results from additional improvements being expected on the skipjack assessment under the ongoing workplan to develop a stock assessment for skipjack in the EPO that includes tagging data.

There is substantial uncertainty about several model assumptions and sensitivity analyses are conducted to determine if the management advice is robust to the uncertainty. In particular, there is uncertainty about why the large skipjack are not seen in the purse-seine fishery. This could be due to dome-shaped selectivity, high fishing mortality, high natural mortality for old fish, or a rapid decline in growth rates for older fish. Several data sources are available to fit the model, but there is uncertainty about their reliability. Sensitivity analyses are conducted to determine if the management advice is robust to the use of the different data sources. Relative indices of abundance include: a) a longline index, for which the sample size is low; b) catch-per-set indices for purse-seine sets, by set type (floating objects, free swimming schools), for which the relationship between catch-per-set and abundance is uncertain; and, c) an index based on echosounder buoy data, which has recently been developed. A reference model is developed based on the most plausible assumptions and sensitivity analyses are conducted by changing the assumptions of the reference model. The diagnostics indicate that a data conflict exists, and that this was reduced somewhat when the stock east of 120°W was assessed separately. However, the management results were robust to the inclusion or exclusion of the index of abundance and length-composition data sets.

MSY-based quantities cannot be estimated because the tradeoff between growth and natural mortality, in combination with the assumption that recruitment is independent of stock size, implies fish should be caught at the youngest ages to maximize yield, implying that the optimal fishing mortality should be infinite. Therefore, a conservative proxy for the target biomass of SBR = 0.3 based on values for bigeye and yellowfin, and the fishing mortality corresponding to that biomass, are used as the target reference points. The reference model estimated that the 2021 exploitation rate was slightly above *status quo* (average level of 2017-2019; [Figure C-2](#)) as did over half of the sensitivity models ranging from being only slightly above to being 0.1 higher (except one model that estimated high exploitation rates; [Table C-1](#)). The reference model and most of the sensitivity analyses estimate that the current biomass is above the target reference point and the fishing mortality is below the target fishing mortality ([Figure C-3](#), [Table C-1](#)).

The model will continue to be improved towards the benchmark assessment in 2024, including incorporating the results of the analysis of recently collected tagging data.

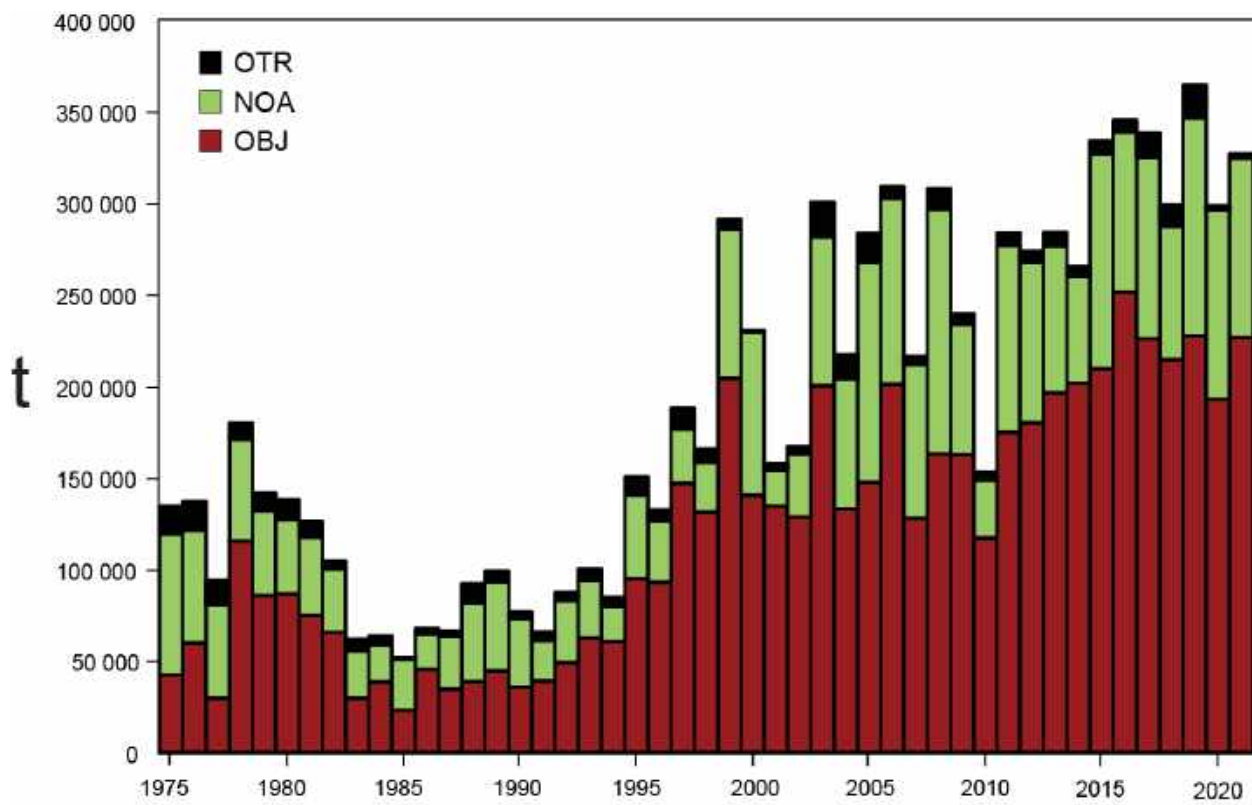


FIGURE C-1. Total catches (retained catches plus discards) for the purse-seine fisheries, by set type (NOA, OBJ) and retained catches for the other (OTR) fisheries, of skipjack tuna in the eastern Pacific Ocean, 1975-2021. The purse-seine catches are adjusted to the species composition estimate obtained from sampling the catches. The 2020 catch data are preliminary.

FIGURA C-1. Capturas totales (capturas retenidas más descartes) en las pesquerías de cerco, por tipo de lance (NOA, OBJ), y capturas retenidas de las otras pesquerías (OTR), de atún barrilete en el Océano Pacífico oriental, 1975-2021. Se ajustan las capturas de cerco a la estimación de la composición por especie obtenida del muestreo de las capturas. Los datos de captura de 2020 son preliminares.

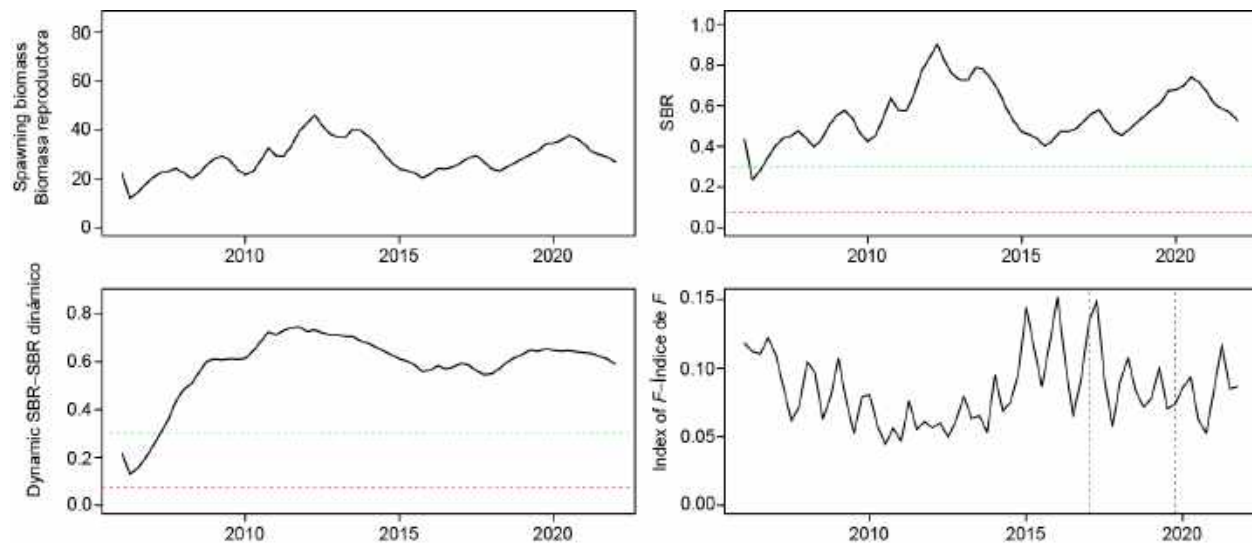


FIGURE C-2. Spawning biomass, spawning biomass ratio, dynamic spawning biomass ratio, and an index of quarterly exploitation rate for the reference model. The green dashed horizontal line is the target biomass reference point ($SBR = 0.3$) and the red horizontal dashed line is the limit biomass reference point ($SBR = 0.077$). The two vertical lines represent the *status quo* period (2017-2019).

FIGURA C-2. Biomasa reproductora, cociente de biomasa reproductora, cociente de biomasa reproductora dinámica y un índice de la tasa de explotación trimestral para el análisis de sensibilidad que supone que la edad de un pez de 37 cm es 3 trimestres. La línea horizontal verde discontinua es el punto de referencia objetivo de la biomasa ($SBR = 0.3$) y la línea horizontal roja discontinua es el punto de referencia límite de la biomasa ($SBR = 0.077$). Las dos líneas verticales representan el periodo de *status quo* (2017-2019).

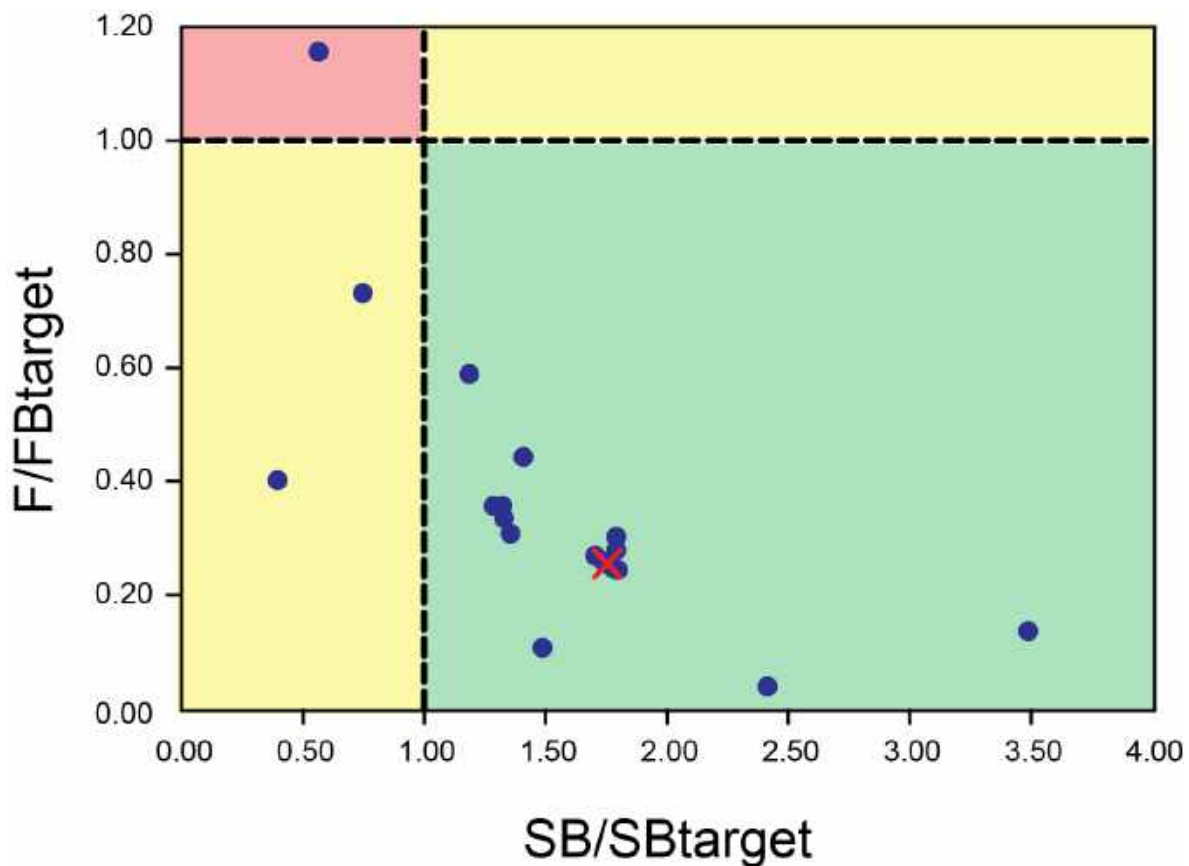


FIGURE C-3. Kobe plot showing the stock status estimates from all the models.

FIGURA C-3. Gráfica de Kobe que muestra las estimaciones de la condición de la población de todos los modelos.

TABLE C-1. Estimates of spawning biomass, spawning biomass ratio (SBR), dynamic spawning biomass ration (dSBR), average recruitment over the model time period (except the 4th quarter of 2021) as a ratio of the estimated virgin recruitment for all of the models, average exploitation rate in 2020 as a ratio of the *status quo*, average exploitation rate in 2021 as a ratio of the *status quo*, and current fishing mortality as a ratio of the fishing mortality corresponding to $B_{target} = 0.3B_0$. R_{ave}/R_0 is a check to make sure the SBR based on B_0 is not biased due to the bias correction for recruitment residuals (this will affect the plots of SBR that are plotted with confidence intervals). The dSBR is adjusted by the ratio R_{ave}/R_0 . The red highlighting and text indicate where SBR or dSBR are below the proxy target reference point (0.3) and when the *status quo* fishing mortality (average of 2017-2019) has been exceeded.

TABLA C-1. Estimaciones de biomasa reproductora, cociente de biomasa reproductora (SBR), cociente de biomasa reproductora dinámica (dSBR), reclutamiento promedio a lo largo del periodo del modelo (excepto el cuarto trimestre de 2021) como razón del reclutamiento virgen estimado para todos los modelos, tasa promedio de explotación en 2020 como razón del *status quo*, tasa promedio de explotación en 2021 como razón del *status quo*, y mortalidad por pesca actual como razón de la mortalidad por pesca correspondiente a $B_{obj} = 0.3B_0$. R_{prom}/R_0 es una comprobación para asegurarse de que el SBR basado en B_0 no esté sesgado debido a la corrección del sesgo por los residuales de reclutamiento (esto afectará a las gráficas de SBR que se trazan con intervalos de confianza). El dSBR se ajusta por la razón R_{prom}/R_0 . Las celdas y el texto en rojo indican los casos en que el SBR o dSBR están por debajo del punto de referencia objetivo sustituto (0.3) y cuando se ha rebasado la mortalidad por pesca del *status quo* (promedio de 2017-2019).

Model code	Model	SB	SBR	dSBR	R_{ave}/R_0	F_{2020}/F_{sq}	F_{2021}/F_{sq}	$F_{cur}/F_{b_{target}}$
	Reference model	26871	0.53	0.59	0.98	0.80	1.01	0.25
a	$L_{inf} = 73$ cm	28475	0.54	0.60	0.99	0.81	1.02	0.24
b	$L_{inf} = 83$ cm	24899	0.51	0.57	0.98	0.79	1.00	0.27
c	$L_{cv} = 0.05$	27560	0.53	0.60	0.97	0.80	1.02	0.25
d	$L_{cv} = 0.07$	26086	0.52	0.58	0.99	0.79	1.01	0.26
e	Bias corrected catch for 2020-2021	27861	0.53	0.60	0.98	0.76	1.03	0.25
f	No echosounder index	70976	1.05	0.79	1.04	0.59	0.55	0.14
g	No longline index	23746	0.41	0.56	0.99	0.92	1.06	0.31
h	OBJ catch-per-set index	25339	0.54	0.58	0.98	0.81	0.95	0.28
i	NOA catch-per-set index	22421	0.54	0.55	0.98	0.76	0.90	0.30
j	NOA asymptotic selectivity	3688	0.17	0.18	0.98	0.93	1.00	1.16
k	OBJ asymptotic selectivity	14786	0.42	0.44	0.96	0.77	0.88	0.44
l	East of -120	7960	0.36	0.36	1.01	0.93	0.97	0.59
m1	Higher M for adults	55346	0.72	0.84	0.99	0.72	1.01	0.04
m2	No LL higher M for adults	20029	0.45	0.64	1.00	0.88	1.09	0.11
m3 no M	No LL not Dome	21993	0.40	0.54	0.99	0.92	1.07	0.36
m3 M	No LL not Dome higher M for adults	1772	0.12	0.14	0.97	1.05	1.59	0.40
n	Constant selectivity after 78 cm	26674	0.53	0.59	0.98	0.80	1.01	0.26
o1	$L_{inf} = 70$ cm	28334	0.54	0.59	0.99	0.81	1.02	0.24
o2	No longline $L_{inf} = 70$ cm	21296	0.40	0.52	0.99	0.92	1.06	0.33
o3	No longline $L_{inf} = 70$ cm not dome	19489	0.39	0.50	0.99	0.92	1.07	0.36
o4	as h3 with F5 cons select after 70cm	6572	0.22	0.26	0.97	0.95	1.10	0.73

C. ATÚN BARRILETE

El atún barrilete se distribuye en aguas tropicales a lo largo del Océano Pacífico. En el Océano Pacífico oriental (OPO), la mayoría de las capturas proceden de la pesquería de cerco. Desde 1990, la pesquería de cerco asociada a objetos flotantes se ha convertido en el tipo de pesquería dominante ([Figura C-1](#)).

Se desarrolló una evaluación estadística integrada de captura por talla estructurada por edad para el atún barrilete en el Océano Pacífico oriental utilizando Stock Synthesis. La evaluación es similar a las realizadas para el atún patudo y el atún aleta amarilla y se ajusta a índices de abundancia relativa y datos de composición por talla. Aunque el personal califica la evaluación como *provisional*, la considera fiable para el asesoramiento de ordenación. El término “provisional” se debe a que se espera que haya mejoras adicionales en la evaluación del barrilete conforme al plan de trabajo en curso para desarrollar una evaluación de la población de barrilete en el OPO que incluya datos de marcado.

Existe incertidumbre sustancial sobre varios supuestos del modelo y se realizan análisis de sensibilidad para determinar si el asesoramiento de ordenación es robusto a dicha incertidumbre. En particular, existe incertidumbre sobre por qué no se observan barriletes grandes en la pesquería cerquera. Esto podría deberse a una selectividad en forma de domo, una alta mortalidad por pesca, una alta mortalidad natural de los peces viejos o a un descenso rápido de las tasas de crecimiento de los peces más viejos. Se dispone de varias fuentes de datos para ajustar el modelo, pero su fiabilidad es incierta. Se llevan a cabo análisis de sensibilidad para determinar si el asesoramiento de ordenación es robusto al uso de las diferentes fuentes de datos. Los índices de abundancia relativa incluyen: a) un índice de palangre, para el que el tamaño de muestra es bajo; b) índices de captura por lance para lances cerqueros, por tipo de lance (objetos flotantes, cardúmenes libres), para los que la relación entre la captura por lance y la abundancia es incierta; y, c) un índice basado en datos de boyas con ecosonda, que se desarrolló recientemente. Se desarrolla un modelo de referencia basado en los supuestos más plausibles y se realizan análisis de sensibilidad cambiando los supuestos del modelo de referencia. Los diagnósticos indican que existe un conflicto de datos, y que éste se redujo en cierta medida cuando se evaluó por separado la población al este de 120°O. Sin embargo, los resultados de ordenación fueron robustos a la inclusión o exclusión de los conjuntos de datos de composición por talla e índices de abundancia.

Las cantidades basadas en el RMS no pueden estimarse porque el balance entre el crecimiento y la mortalidad natural, en combinación con el supuesto de que el reclutamiento es independiente del tamaño de la población, implican que deberían capturarse a las edades más tempranas para maximizar el rendimiento, lo que implica que la mortalidad por pesca óptima debería ser infinita. Por lo tanto, se utilizan un sustituto conservador para la biomasa objetivo de SBR = 0.3 con base en los valores del patudo y el aleta amarilla, y la mortalidad por pesca correspondiente a esa biomasa, como puntos de referencia objetivo. El modelo de referencia estimó que la tasa de explotación de 2021 fue ligeramente superior al *statu quo* (nivel promedio de 2017-2019; [Figura C-2](#)), al igual que más de la mitad de los modelos de sensibilidad, que abarcaron estar entre ligeramente y 0.1 por encima (excepto un modelo que estimó tasas de explotación elevadas; [Tabla C-1](#)). El modelo de referencia y la mayoría de los análisis de sensibilidad estiman que la biomasa actual está por encima del punto de referencia objetivo y que la mortalidad por pesca está por debajo de la mortalidad por pesca objetivo ([Figura C-3](#), [Tabla C-1](#)).

Se seguirá mejorando el modelo hacia la evaluación de referencia de 2024, incluyendo la incorporación de los resultados del análisis de los datos de marcado recolectados recientemente.

D. BIGEYE TUNA

For the full version of this analysis, see documents [SAC-11-05](#), [SAC-11-06](#), [SAC-11-INF-F](#), and [SAC-11-08](#).

Bigeye tuna are distributed in tropical and temperate waters across the Pacific Ocean. In the eastern Pacific Ocean (EPO), the majority of catch before 1993 was taken by longline fisheries that target large bigeye ([Figure D-1](#)). Due to the expansion of purse-seine fisheries associated with floating objects, purse-seine fisheries that target small bigeye have replaced longline fisheries as the dominant fishery type for EPO bigeye since 1996.

In 2022, stock status indicators (SSIs) were developed for bigeye using the data collected in the EPO as a whole ([SAC-13-06](#)). For the floating-object fishery, the main fishery for bigeye since 1993, fishing effort has been continuously increasing ([Figure B-2](#)). This increase in fishing effort corresponds to increased catch, decreased catch per set, and decreased average length for the floating-object fishery during the same time ([Figure D-2](#)). In 2020 and 2021, COVID-19 became a global pandemic and had pronounced impacts on the floating-object fishery in the EPO. Specifically, fishing effort dramatically decreased ([Figure B-2](#)) while catch and catch per set for bigeye both notably increased in 2020 ([Figure D-2](#)). The staff recently found that the estimated bigeye catches in the floating-object fishery are overestimated for 2020 and 2021 by 12% and 18%, respectively ([SAC-13-05](#)). This overestimation was caused by the impact of the COVID-19 pandemic on the operations of the port-sampling program for species and size compositions. In 2020 and 2021, the bias-adjusted bigeye catches in the floating-object fishery are slightly above and below the *status quo* level, respectively. It should be noted that the 2021 catch and bias estimates are considered preliminary and further research is needed to investigate their reliability. The fishing effort associated with the longline fishery, in comparison, does not show a noticeable long-term trend and remained around the median level since 2013 ([Figure B-2](#)). The longline index of abundance represents adult population trend and is one of the key inputs to the stock assessment model for bigeye. It suggests a long-term decreasing trend in adult population abundance since 2000 ([Figure D-3](#)). However, the average length for the longline fishery remained relatively stable since 2000 ([Figure D-3](#)).

A workplan to improve the stock assessments for tropical tunas was executed and an [external review for bigeye](#) was completed. The external review panel did not single out a particular model configuration as a replacement for the base case model but suggested a variety of alternatives for the staff to consider. To encompass as many hypotheses as possible, the staff developed a pragmatic risk assessment framework to apply for both species, which included the development of hypotheses, the implementation and weighting of models, and the construction of risk tables based on the combined result across all reference models ([SAC-11-08](#), [SAC-11-INF-F](#), [SAC-11-INF-J](#)).

The reference models for the benchmark assessment of bigeye were built based on three overarching hypotheses ([SAC-11-INF-J](#)). The first overarching hypothesis is about the cause of the apparent recruitment shift which coincides with the expansion of the floating-object fishery, assuming that shift is either real or an artifact of model misspecification. The second overarching hypothesis consists of two levels. The first level represents the cause of the apparent recruitment shift given it is an artifact of model misspecification. It is assumed that mis-specified process is either known (movement, mortality, selectivity, or growth) or unknown (other than those four processes). The second level represents the cause of the misfit to the length composition data from the longline fishery that has asymptotic selectivity. It is assumed that the misfit is due to random observation error or an artifact of model misspecification (in growth, selectivity, or natural mortality). The third overarching hypothesis is about the steepness of the Beverton-Holt stock-recruitment relationship, which was assumed in the reference models to be 0.7, 0.8, 0.9, or 1.0. In total, 44 reference models were retained in the benchmark assessment for bigeye tuna ([SAC-11-06](#)). These reference models on which the management advice is based were combined using relative weights determined by several

criteria, including performance on model diagnostics ([SAC-11-INF-J](#)).

The results from the 44 reference models for bigeye show that (1) the recruitment shift is apparent in some but not all models ([Figure D-4](#)); (2) all models show a decreasing trend in spawning biomass while the scale of the spawning biomass varies dramatically among models ([Figure D-5](#)); (3) since 2000, the fishing mortality on juvenile bigeye (age 1-8 quarters) has increased while that on adult bigeye (age 13-39 quarters) has decreased ([Figure D-6](#)). The fishery impact plot shows clearly that the floating-object fishery has the dominant impact on the current spawning biomass of bigeye, regardless of the model ([Figure D-7](#)).

Regarding management quantities ([Figure D-8](#)), the 44 reference models estimate that (1) at the beginning of 2020, the spawning biomass of bigeye ranged from 14% to 212% of the level at dynamic MSY; 26 models suggest that it was below that level; (2) at the beginning of 2020, the spawning biomass of bigeye ranged from 51% to 532% of the limit reference level; five models suggest that it was below that limit; (3) during 2017-2019, the fishing mortality of bigeye ranged from 51% to 223% of the level at MSY; 26 runs suggest that it was above that level; (4) during 2017-2019, the fishing mortality of bigeye ranged from 32% to 114% of the limit reference level; three models suggest that it was above that limit.

The results from the 44 reference models are combined in a risk analysis framework to provide management advice ([SAC-11-08](#)). The combined risk curves ([Figure D-9](#)) show that (1) the probabilities of fishing mortality during 2017-2019 (F_{cur}) being higher than the target and limit reference levels are 50% and 5%, respectively; (2) the probabilities of spawning biomass at the beginning of 2020 (S_{cur}) being lower than the target and limit reference levels are 53% and 6%, respectively. Although the combined distribution suggests that the probability of F_{cur} being higher than the limit reference level is much lower than 10%, the combined probability distribution is bimodal ([Figure D-10](#)). This bimodal pattern for bigeye is due to the substantial differences in estimates between two groups of models, one more pessimistic and one more optimistic ([Figures D-5 and D-11](#); [Table D-2](#)). It should be noted that the combined risk curve based only on pessimistic models shows that the probability of F_{cur} being higher than the limit reference level reaches 10% ([Figure D-11](#) and [Table D-3](#)), the level beyond which additional management measures shall be established (Resolution [C-16-02](#)). The bimodality complicates the evaluation of the status of the bigeye stock and of the potential outcomes of management actions. This issue needs to be addressed in the future to improve management advice.

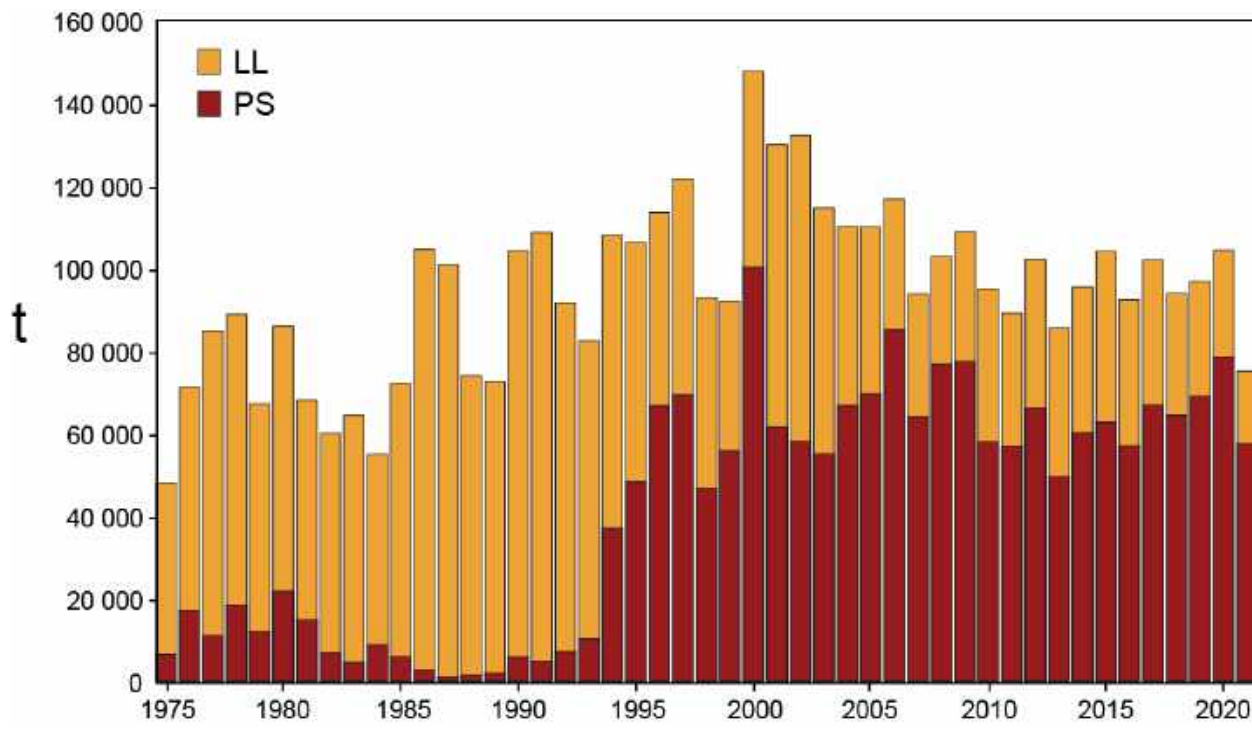


FIGURE D-1. Total catches (retained catches plus discards) by the purse-seine (PS) fisheries, and retained catches by the longline (LL) fisheries, of bigeye tuna in the eastern Pacific Ocean, 1975–2021. The purse-seine catches are adjusted to the species composition estimate obtained from sampling the catches. 2020 and 2021 data are preliminary.

FIGURA D-1. Capturas totales (capturas retenidas más descartes) de las pesquerías de cerco (PS), y capturas retenidas de las pesquerías de palangre (LL), de atún patudo en el Océano Pacífico oriental, 1975–2021. Se ajustan las capturas de cerco a la estimación de la composición por especie obtenida del muestreo de las capturas. Los datos de 2020 y 2021 son preliminares.

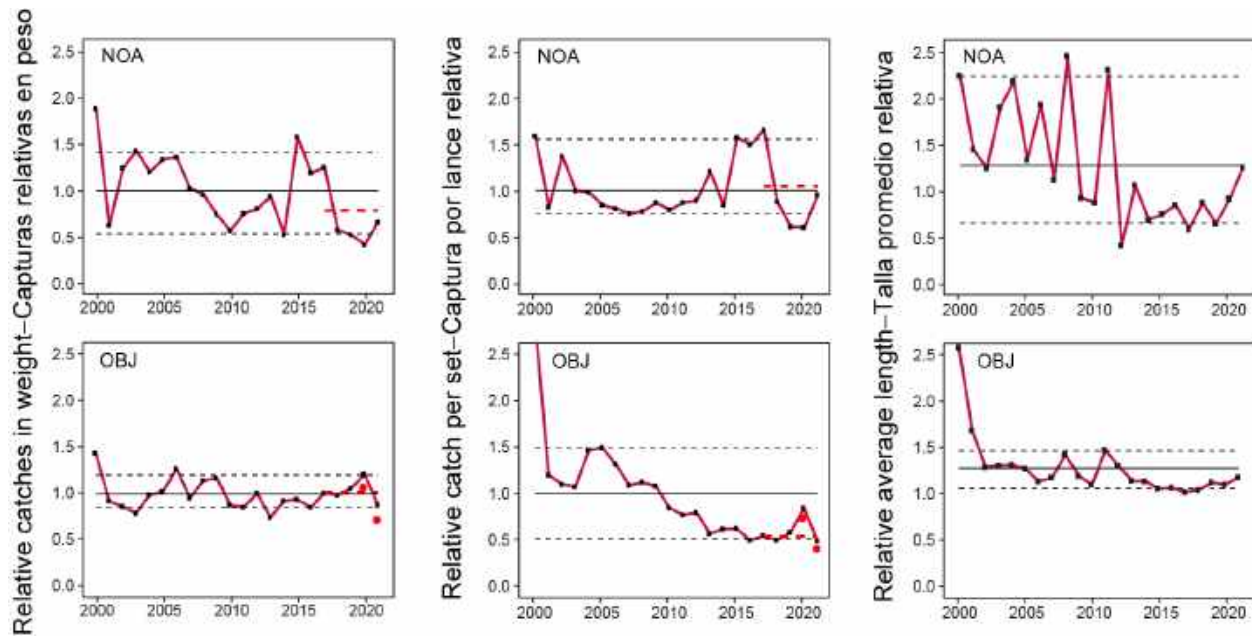


FIGURE D-2. Indicators of catch, catch per set, and average length for bigeye tuna in the EPO based on purse-seine data for 2000-2021. The dashed horizontal lines are the 10th and 90th percentiles, and the solid horizontal line is the median. The red dots are the bias-adjusted estimates for floating-object catches in the two COVID-19 years (see [SAC-13-05](#)). The red dashed lines mark the *status quo* reference levels (average conditions in 2017-2019).

FIGURA D-2. Indicadores de captura, captura por lance, y talla promedio para el atún patudo en el OPO basados en datos de cerco para 2000-2021. Las líneas horizontales discontinuas son los percentiles de 10% y 90%, y la línea horizontal sólida es la mediana. Los puntos rojos son las estimaciones ajustadas al sesgo de las capturas de objetos flotantes en los dos años de COVID-19 (ver [SAC-13-05](#)). Las líneas rojas discontinuas marcan los niveles de referencia de *statu quo* (condiciones promedio en 2017-2019).

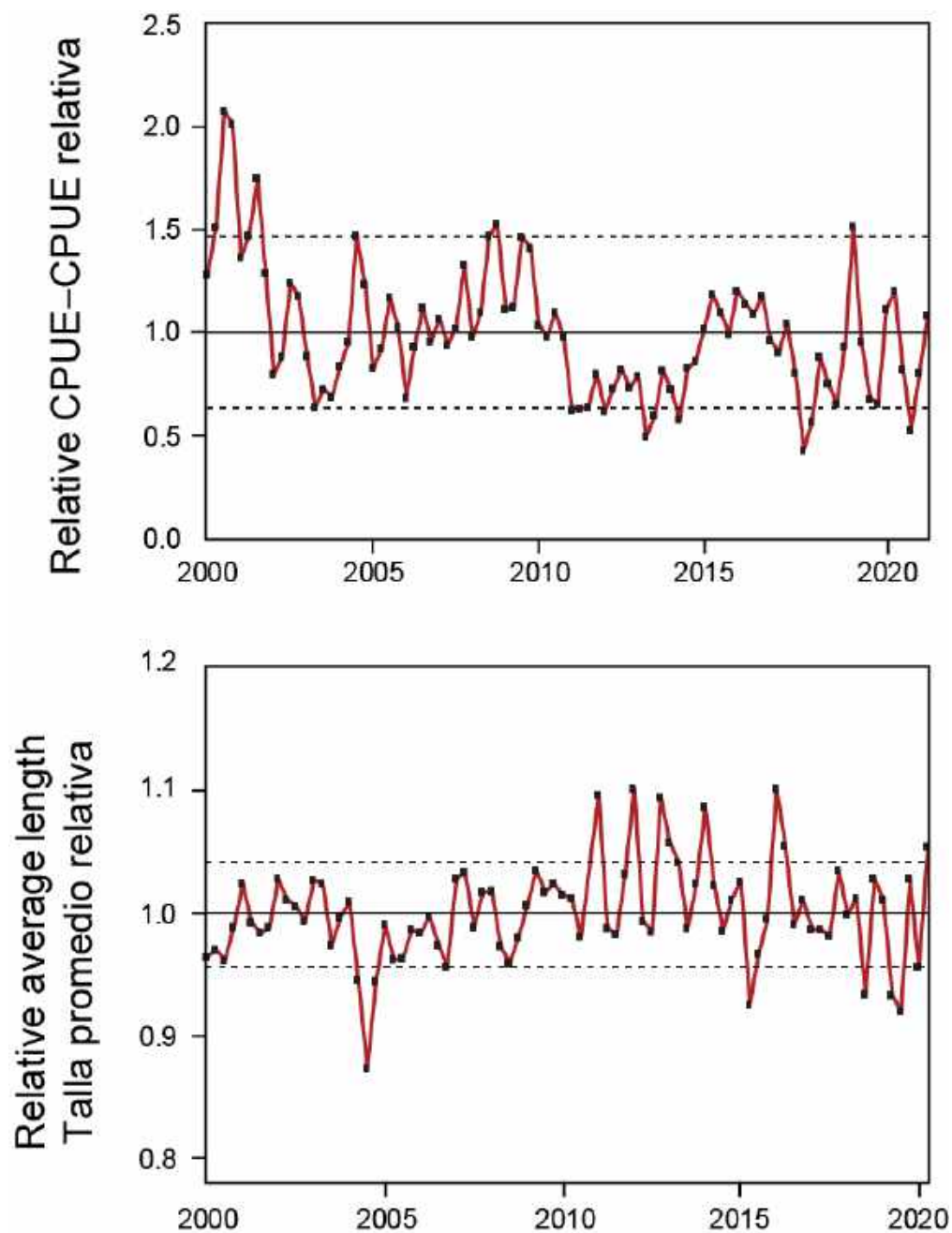


FIGURE D-3. Index of abundance and average length of bigeye in the EPO, based on Japanese longline data for 1975-2021. The dashed horizontal lines are the 10th and 90th percentiles, and the solid horizontal line is the median.

FIGURA D-3. Índice de abundancia y talla promedio del patudo en el OPO, basados en datos de palangre japoneses para 1975-2020. Las líneas horizontales de trazo representan los percentiles de 10 y 90%, y la línea horizontal sólida la mediana.

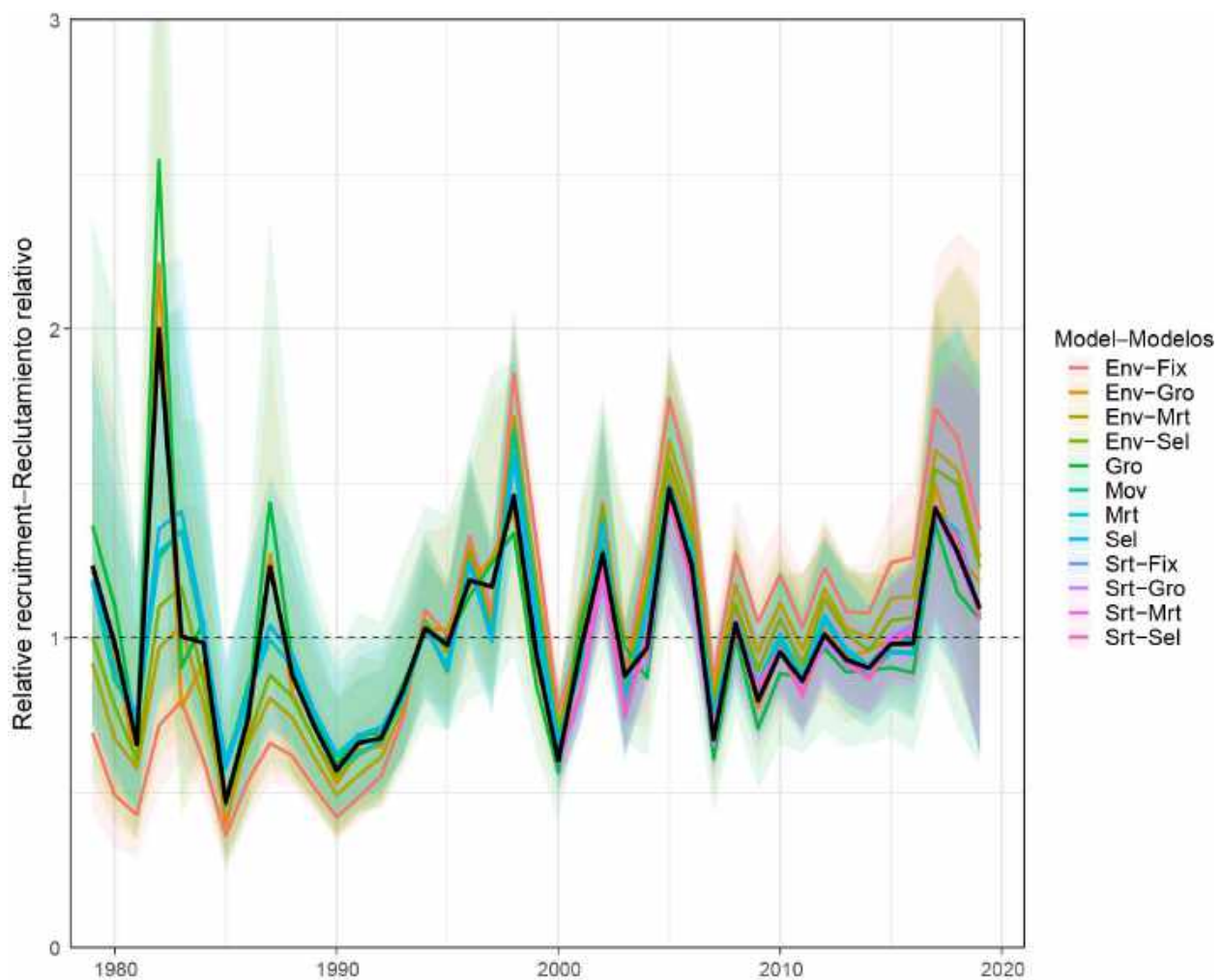


FIGURE D-4. Comparison of annual relative recruitment estimates for bigeye tuna in the eastern Pacific Ocean from the twelve reference models (only the estimates that correspond to steepness = 1.0 are shown). The shaded areas represent the 95% confidence intervals and the black line represents the combined estimates across the twelve models.

FIGURA D-4. Comparación de las estimaciones de reclutamiento relativo anual de atún patudo en el Océano Pacífico oriental de los doce modelos de referencia (se muestran solamente las estimaciones que corresponden a la inclinación = 1.0). Las áreas sombreadas representan los intervalos de confianza de 95% y la línea negra representa las estimaciones combinadas de los doce modelos.

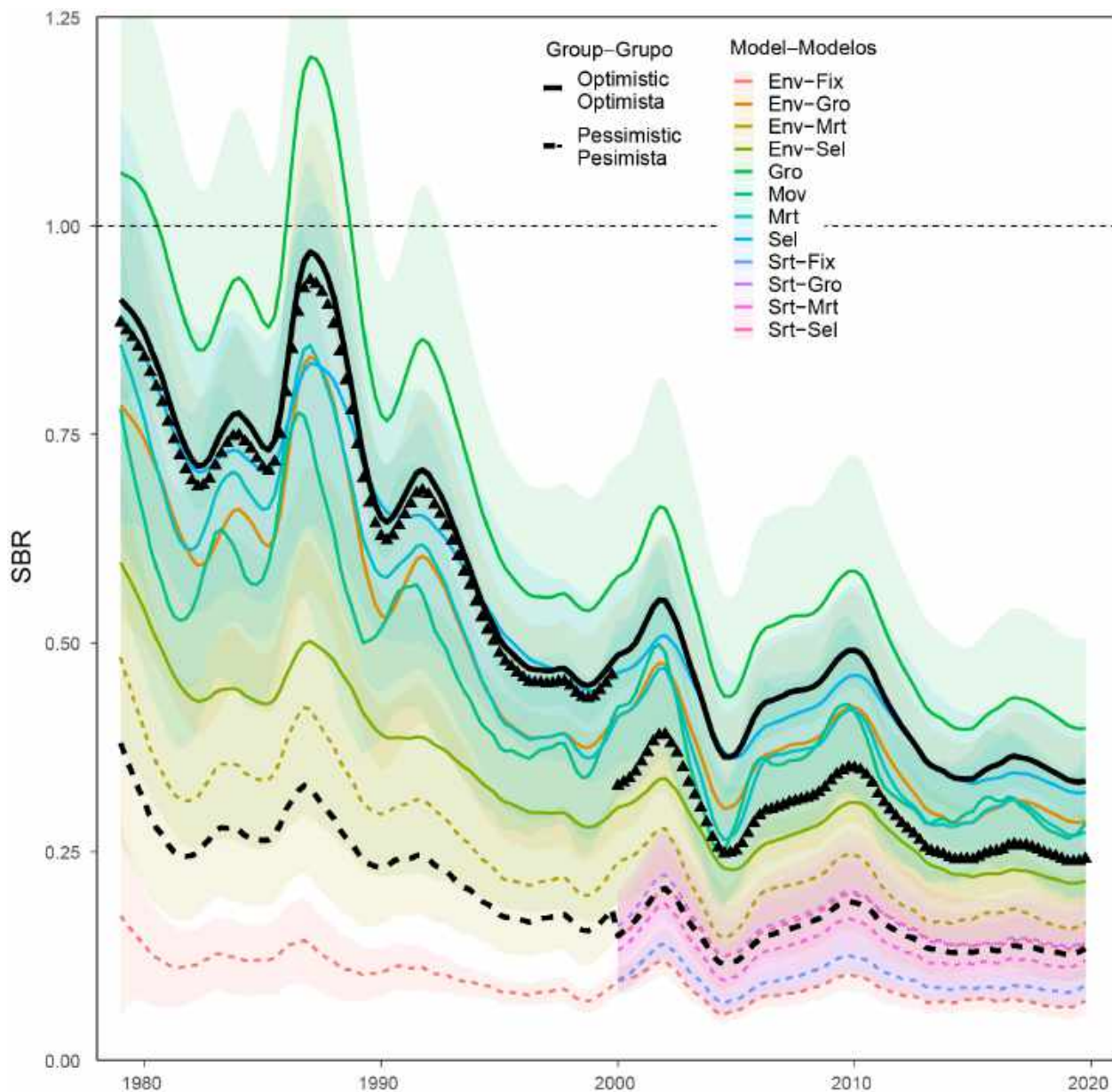


FIGURE D-5. Comparison of spawning biomass estimates for bigeye tuna in the eastern Pacific Ocean from the twelve reference models (only the estimates that correspond to steepness = 1.0 are shown). The shaded areas represent the 95% confidence intervals and the two black lines represent the combined estimates across the two groups of reference models. Black triangles mark the combined estimates across all reference models.

FIGURA D-5. Comparación de las estimaciones de biomasa reproductora del atún patudo en el Océano Pacífico oriental de los doce modelos de referencia (se muestran solamente las estimaciones que corresponden a la inclinación = 1.0). Las áreas sombreadas representan los intervalos de confianza de 95% y las dos líneas negras representan las estimaciones combinadas de los dos grupos de modelos de referencia. Los triángulos negros marcan las estimaciones combinadas de todos los modelos de referencia.

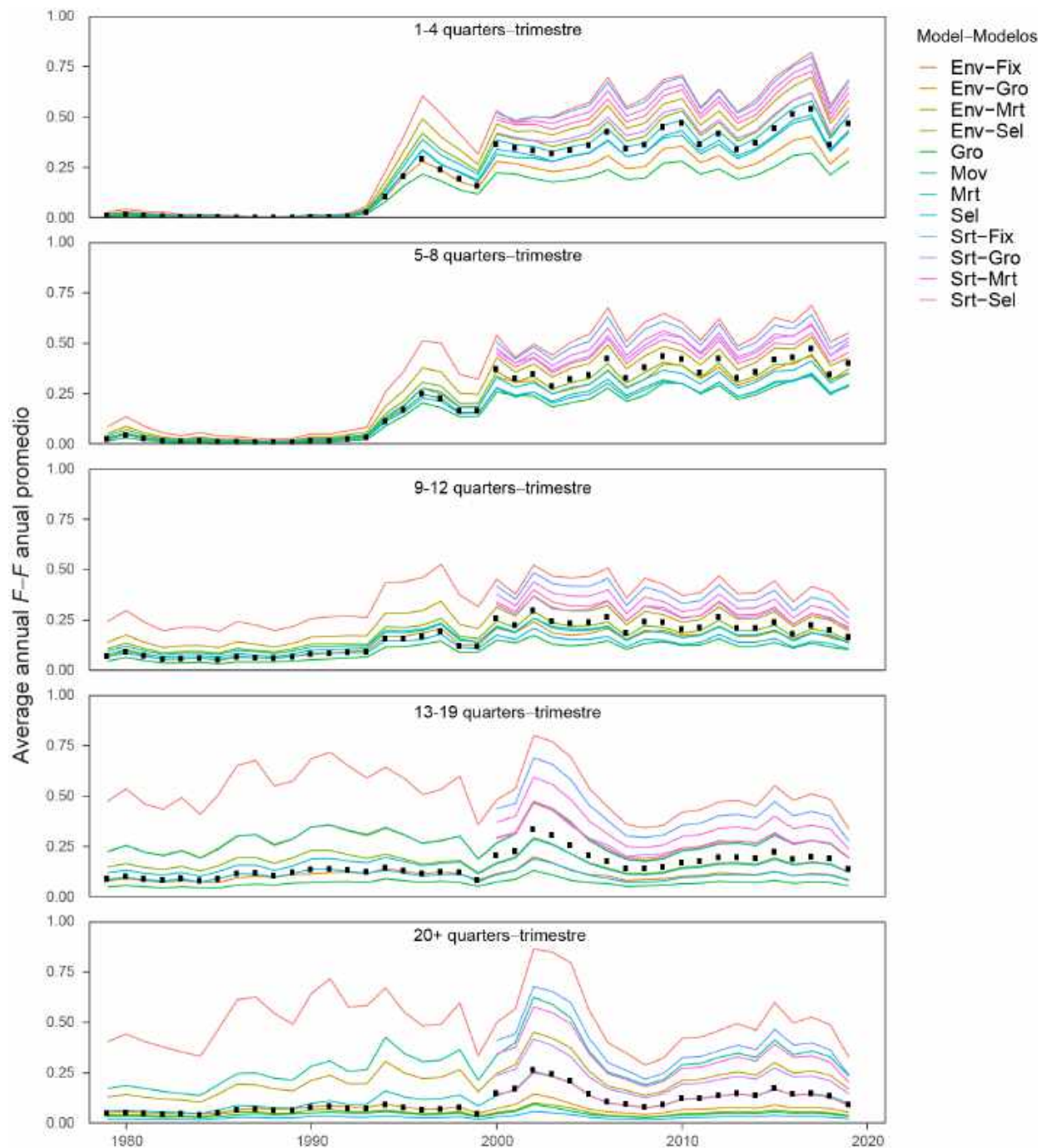


FIGURE D-6. Comparison of average annual fishing mortality, by age groups, of bigeye tuna in the eastern Pacific Ocean (only the estimates that correspond to steepness = 1.0 are shown). The black dots show the combined values across all models with a steepness of 1.0.

FIGURA D-6. Comparación de la mortalidad por pesca anual promedio, por grupos de edad, del atún patudo en el Océano Pacífico oriental (se muestran solamente las estimaciones que corresponden a la inclinación = 1.0). Los puntos negros muestran los valores combinados de todos los modelos con una inclinación de 1.0.

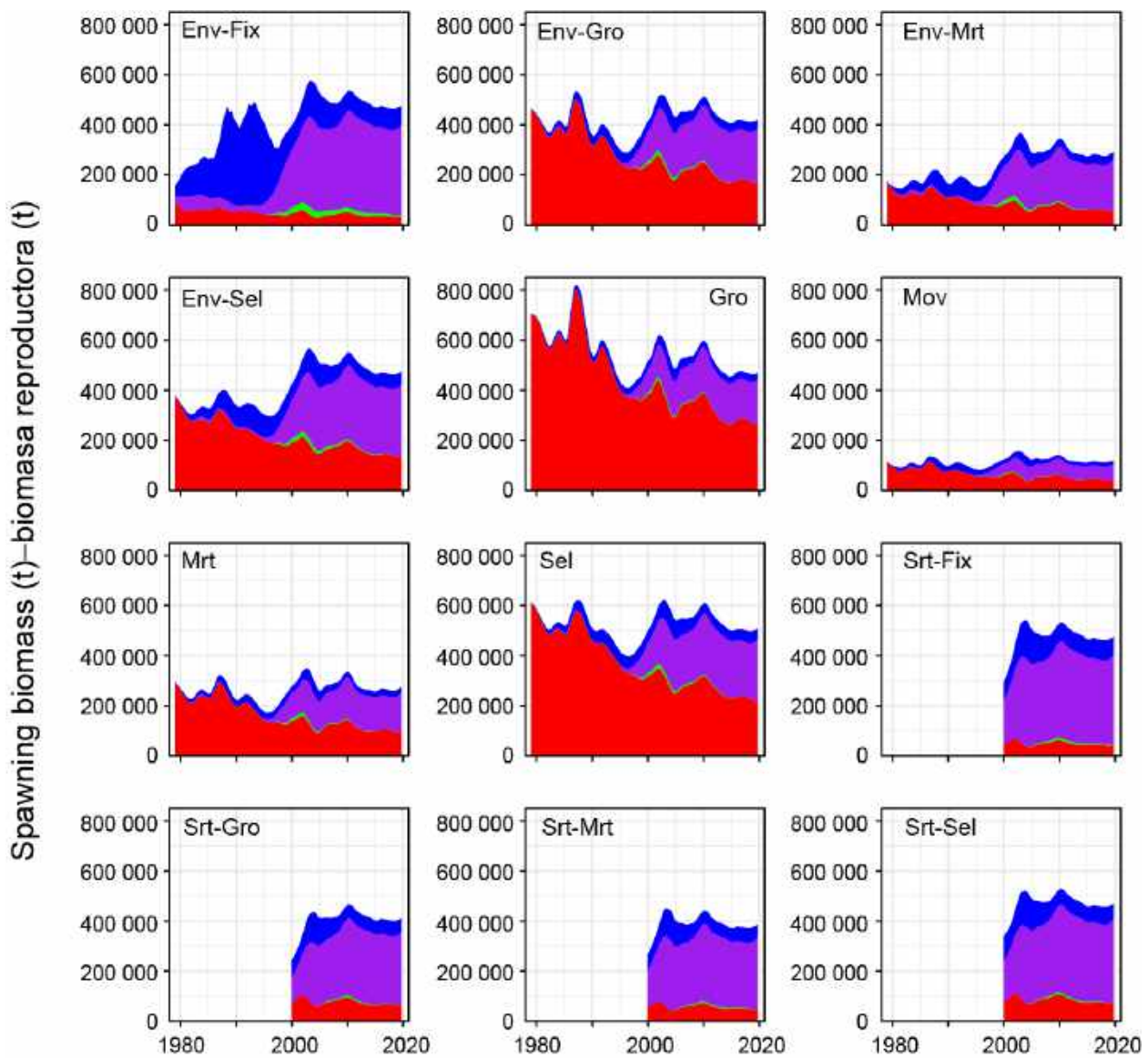


FIGURE D-7. Comparison of spawning biomass trajectory of a simulated population of bigeye tuna in the eastern Pacific Ocean that was never exploited (top line) and that predicted by the stock assessment model (bottom line). The shaded green, purple, and blue areas between the two lines show the portions of the impact attributed to the discard fishery, purse-seine fisheries, and longline fisheries, respectively. Only the simulation trajectories that correspond to steepness = 1.0 are shown.

FIGURA D-7. Comparación de la trayectoria de la biomasa reproductora de una población simulada de atún patudo en el Océano Pacífico oriental que nunca fue explotada (línea superior) y la trayectoria predicha por el modelo de evaluación (línea inferior). Las áreas sombreadas en verde, morado y azul entre las dos líneas muestran las porciones del impacto atribuido a la pesquería de descarte, las pesquerías cerqueras, y las pesquerías palangreras, respectivamente. Se muestran solamente las trayectorias de simulación que corresponden a la inclinación = 1.0.

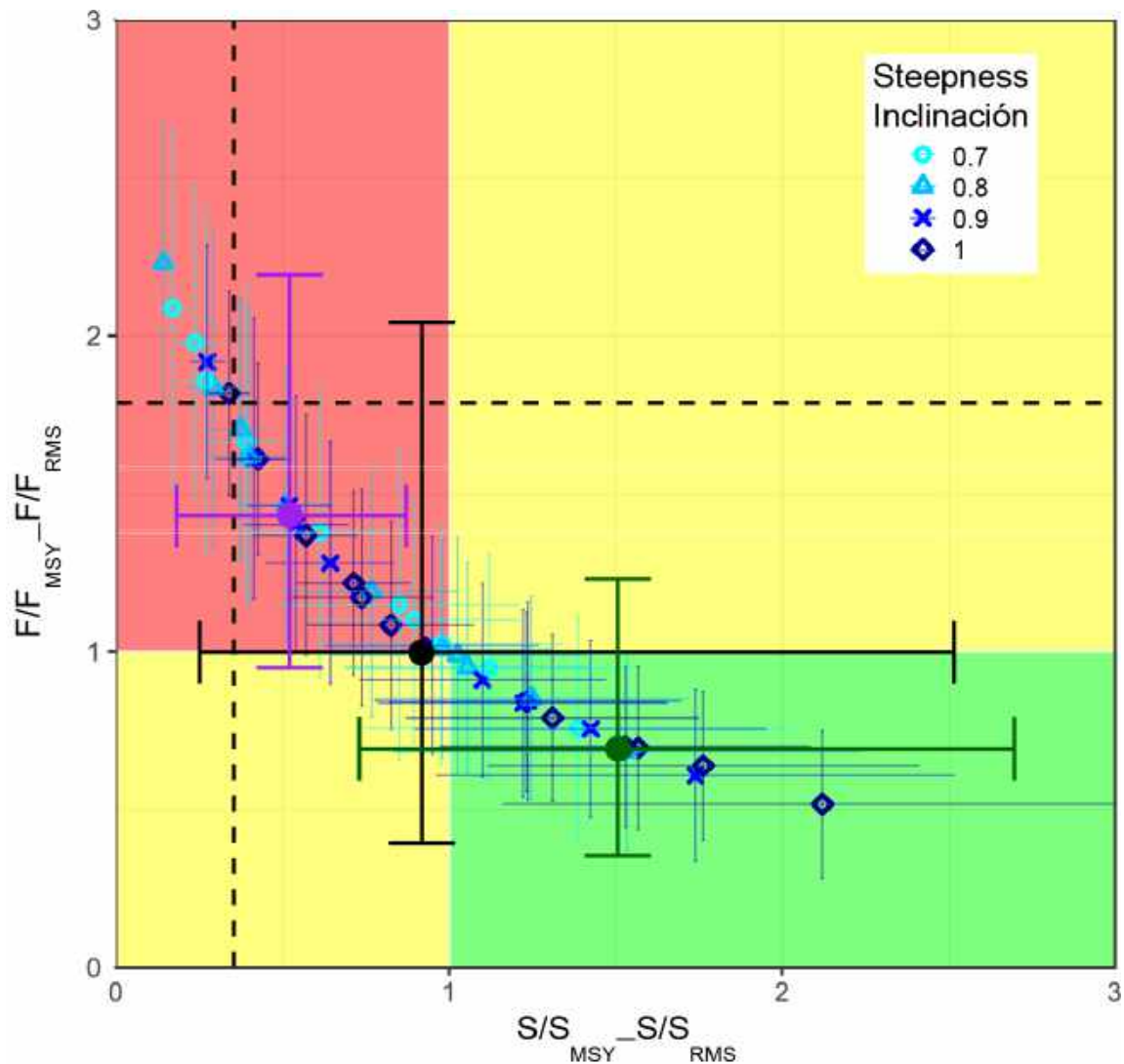


FIGURE D-8. Kobe plot of the most recent estimates of spawning biomass (S) and fishing mortality (F) relative to their MSY reference points (S_{MSY_d} and F_{MSY}) estimated by the 44 converged reference model runs (see Table 4).

Each dot is based on the average F over the most recent three years. The dashed lines represent the limit reference points averaged for the 44 converged reference model runs. The error bars represent the 95% confidence interval of the estimates. The black, purple, and green dots are the combined estimates across all models, all pessimistic models, and all optimistic models, respectively.

FIGURA D-8. Gráfica de Kobe de las estimaciones más recientes de biomasa reproductora (S) y mortalidad por pesca (F) con respecto a sus puntos de referencia de RMS (S_{RMS_d} y F_{RMS}) estimados por las 44 ejecuciones convergentes de los modelos de referencia (ver Tabla 4). Cada punto se basa en la F promedio de los últimos tres años. Las barras de error representan el intervalo de confianza de 95% de las estimaciones. Los puntos negros, morados y verdes son las estimaciones combinadas de todos los modelos, todos los modelos pesimistas, y todos los modelos optimistas, respectivamente.

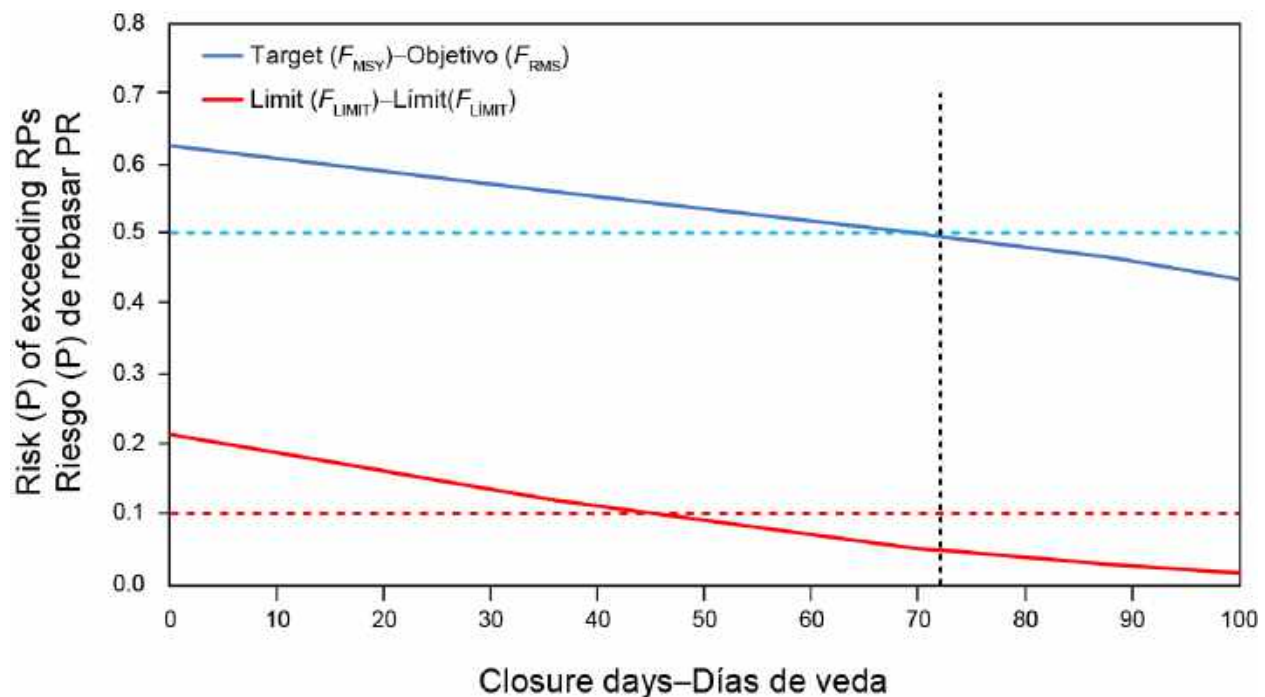


FIGURE D-9. Risk curves showing the probability of exceeding the target (blue) and limit (red) reference points for different durations of the temporal closure.

FIGURA D-9. Curvas de riesgo que señalan la probabilidad de rebasar los puntos de referencia objetivo (azul) y límite (rojo) para diferentes duraciones de la veda temporal.

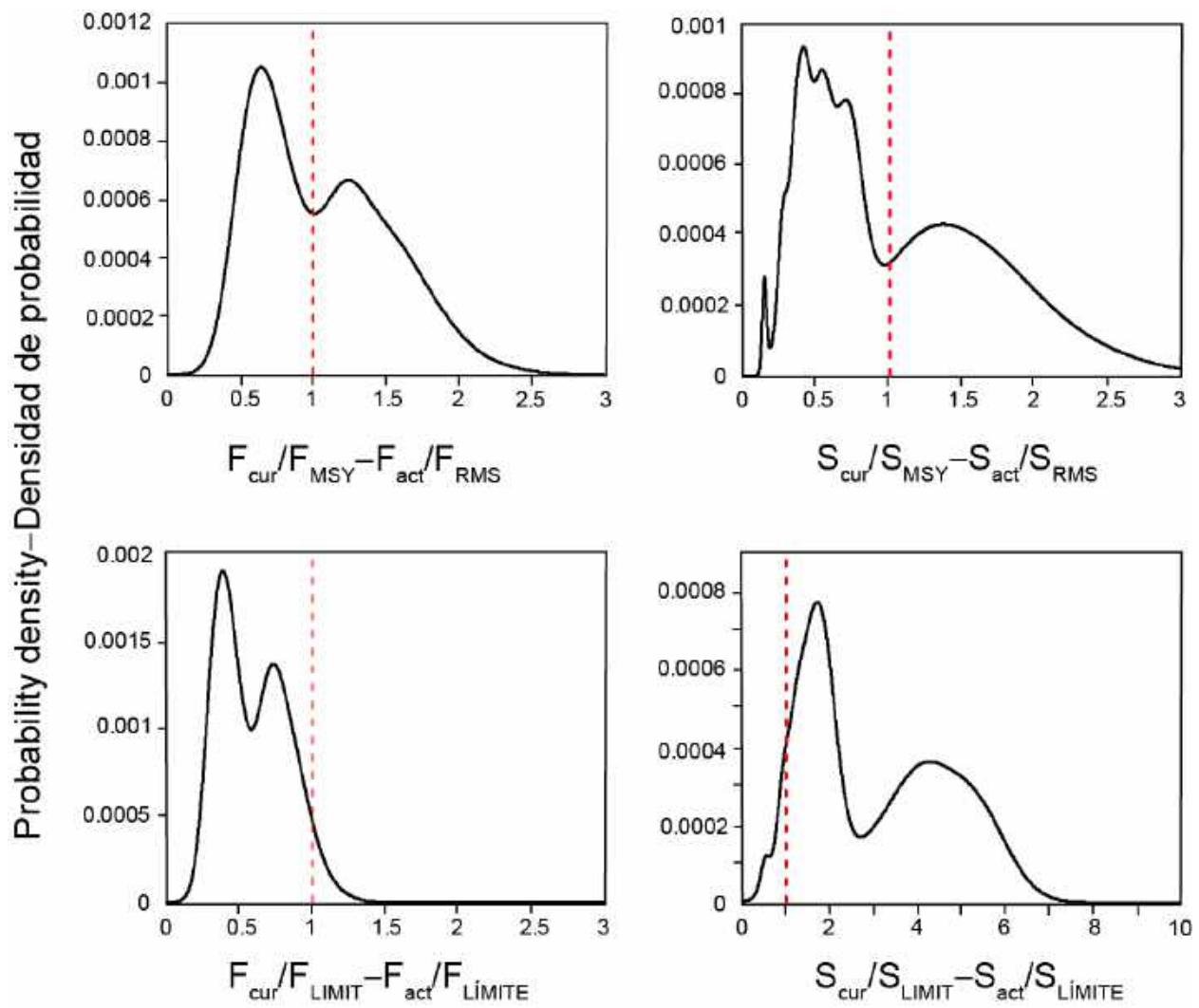


FIGURE D-10. Combined bigeye probability density function for $F_{\text{cur}}/F_{\text{MSY}}$, $F_{\text{cur}}/F_{\text{LIMIT}}$, $S_{\text{cur}}/S_{\text{MSY}}$, and $S_{\text{cur}}/S_{\text{LIMIT}}$.
FIGURA D-10. Función de densidad de probabilidad combinada para $F_{\text{act}}/F_{\text{RMS}}$, $F_{\text{act}}/F_{\text{LÍMITE}}$, $S_{\text{act}}/S_{\text{RMS}}$, y $S_{\text{act}}/S_{\text{LÍMITE}}$ de patudo.

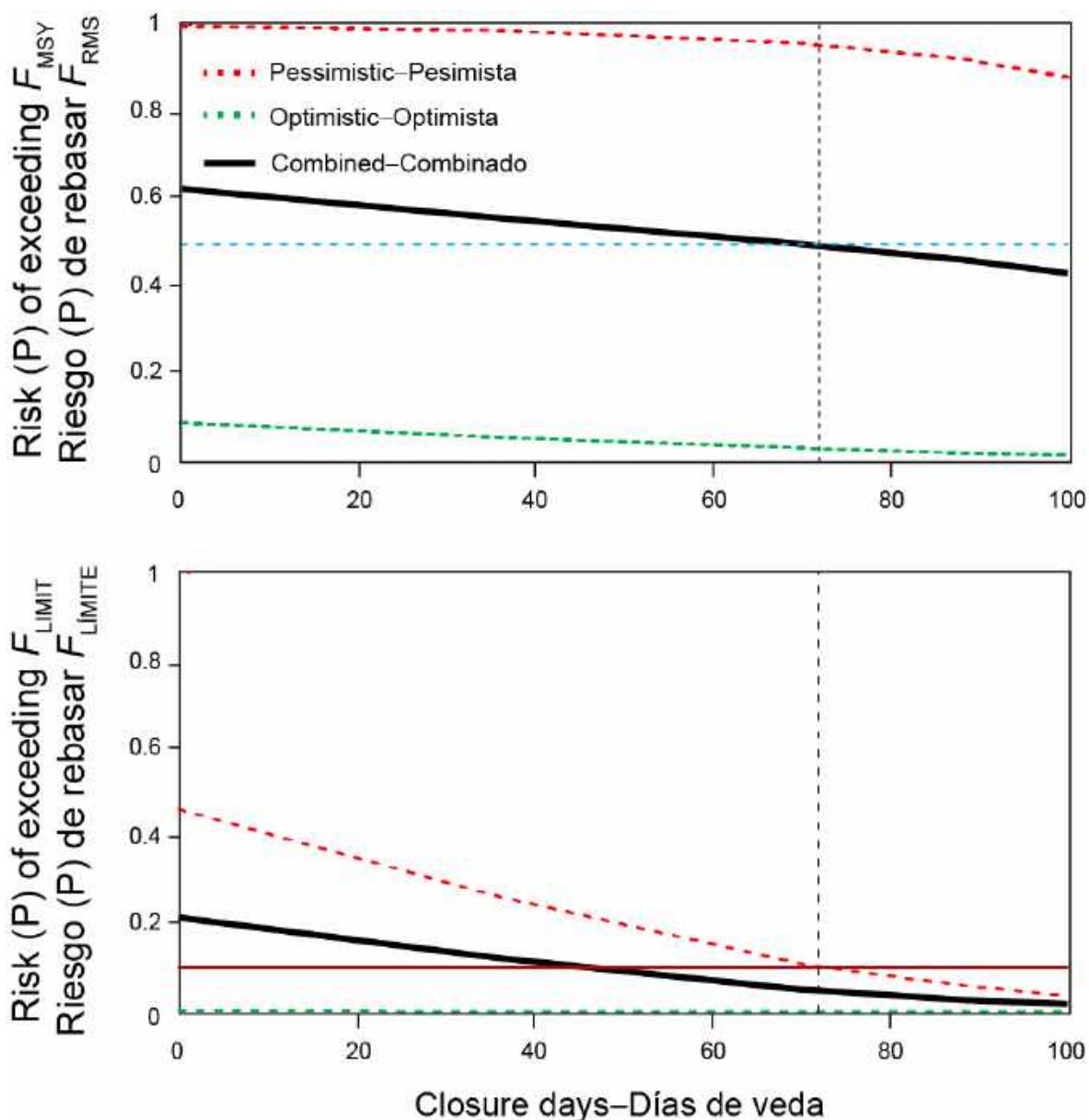


FIGURE D-11. Risk curves showing the probability of exceeding the target (top) and limit (bottom) reference points for bigeye with different durations of the temporal closure, combined by pessimistic and optimistic models resulting from the bimodal combined distribution.

FIGURA D-11. Curvas de riesgo que señalan la probabilidad de rebasar los puntos de referencia objetivo (arriba) y límite (abajo) con diferentes duraciones de la veda temporal, combinados por modelos pesimistas y optimistas que resultan de la distribución combinada bimodal.

TABLE D-1. Model configurations (hypotheses) used for bigeye tuna in the EPO.

Model	Description
1. Environment	
Env	R shift is real, caused by a change in the environment. Asymptotic selectivity for one longline fishery (F2). Similar to ‘base case’ model used in previous assessments, except (1) uses Francis method to weight composition data and (2) estimates a parameter representing change in recruitment.
Env-Fix	Environment, fixed (growth, M not estimated; asymptotic selectivity)
Env-Gro	Environment, growth estimated
Env-Sel	Environment, dome-shape selectivity
Env-Mrt	Environment, adult M estimated
2. Short-term	
Srt	Evaluated using 2000-2019 data only (1975-2019 for other models). R shift due to some unknown model misspecification prior to 2000 that cannot be identified/resolved with available data; thus, is not addressed by the other models.
Srt-Fix	Short-term, fixed (growth, M not estimated; asymptotic selectivity)
Srt-Gro	Short-term, growth estimated
Srt-Sel	Short-term, dome-shape selectivity
Srt-Mrt	Short-term, adult M estimated
3. Pre-adult movement	
Mov	Approximates movement of fish to and from the CPO, by applying M starting between ages selected by the PS-OBJ fishery and the longline fishery. Higher/lower M represents fish leaving/entering EPO, respectively. This modified mortality schedule also could capture actual differences in age-specific M driven by a variety of processes.
4. Estimate growth	
Gro	Estimating growth: (1) allows a larger biomass, thus reducing R shift (length-composition data for the fishery with asymptotic selectivity contain few fish around the asymptotic length, so model estimates high F , and corresponding low S , to reduce the number of large fish and fit those data); (2) produces low asymptotic length (reducing predicted number of large fish, and fits the length-composition data without increasing F , allowing a larger S). All four parameters of the Richards growth curve and the two parameters representing the variation of length at age are estimated. The model is fitted to the otolith age data conditioned on length. Can also address the misfit to the length-composition data.
5. Dome-shaped selectivity	
Sel	Dome-shape selectivity for longline fishery F2: (1) allows a larger biomass, thus reducing R shift (length-composition data for the fishery with asymptotic selectivity contain few fish around the asymptotic length, so model estimates high F , and corresponding low S , to reduce the number of large fish and fit those data); (2) reduces the predicted number of large fish caught, allowing the model to fit the observed length-composition data, but also produces a ‘cryptic biomass’, increasing the biomass estimate. A double normal selectivity curve is used. This model can also address the misfit to the length composition data.
6. Adult mortality	
Mrt	Estimating adult M allows a larger biomass, thus reducing R shift. An increased value of M reduces the F required to fit the length-composition data, thus increasing the biomass for a given level of catch. Can also address the misfit to the length-composition data.

TABLE D-2. Management quantities for bigeye tuna in the EPO. See explanation of codes in Table D-1. E(x) is the expected value. P=0.5: median of the distributions of $P(S_{\text{cur}}/S_{\text{MSY}})$ and $P(F_{\text{cur}}/F_{\text{MSY}})$.													
	Env-Fix	Env-Gro	Env-Sel	Env-Mrt	Srt-Fix	Srt-Gro	Srt-Sel	Srt-Mrt	Mov	Gro	Sel	Mrt	Combined
P(Model)	0.01	0.13	0.05	0.02	0.04	0.22	0.11	0.07	0.01	0.24	0.09	0.02	E(x) P=0.5
Fishing mortality (F)													
$F_{\text{cur}}/F_{\text{MSY}}$	1.82	0.82	0.99	1.25	1.84	1.42	1.36	1.57	0.81	0.59	0.73	0.89	1.07 1.00
$P(F_{\text{cur}}>F_{\text{MSY}})$	1.00	0.18	0.44	0.84	1.00	0.97	0.92	0.99	0.15	0.01	0.07	0.25	0.50
$F_{\text{cur}}/F_{\text{LIMIT}}$	0.96	0.47	0.58	0.69	0.97	0.78	0.77	0.84	0.47	0.34	0.43	0.50	0.60
$P(F_{\text{cur}}>F_{\text{LIMIT}})$	0.33	0.00	0.00	0.01	0.38	0.07	0.06	0.14	0.00	0.00	0.00	0.00	0.05
Spawning biomass (S)													
$S_{\text{cur}}/S_{\text{MSY_d}}$	0.34	1.32	1.02	0.69	0.32	0.56	0.59	0.45	1.31	1.85	1.53	1.16	1.09 0.92
$P(S_{\text{cur}}<S_{\text{MSY}})$	1.00	0.19	0.49	0.96	1.00	1.00	1.00	1.00	0.16	0.03	0.07	0.27	0.53
$S_{\text{cur}}/S_{\text{LIMIT}}$	0.97	3.61	2.67	2.04	0.97	1.65	1.65	1.38	3.84	5.24	4.21	3.63	3.07
$P(S_{\text{cur}}<S_{\text{LIMIT}})$	0.59	0.00	0.00	0.02	0.50	0.06	0.09	0.19	0.00	0.00	0.00	0.00	0.06

TABLE D-3. Decision table for bigeye tuna in the EPO. See explanation of codes in Table D-1.													
Closure days	Env-Fix	Env-Gro	Env-Sel	Env-Mrt	Srt-Fix	Srt-Gro	Srt-Sel	Srt-Mrt	Mov	Gro	Sel	Mrt	Comb
P(model)	0.01	0.13	0.05	0.02	0.04	0.22	0.11	0.07	0.01	0.24	0.09	0.02	
$P(F>F_{\text{MSY}})$													
0	1.00	0.48	0.78	0.98	1.00	1.00	0.99	1.00	0.47	0.09	0.31	0.65	0.62
36	1.00	0.32	0.63	0.93	1.00	0.99	0.97	1.00	0.30	0.03	0.17	0.45	0.56
70	1.00	0.19	0.44	0.84	1.00	0.97	0.92	0.99	0.15	0.01	0.07	0.25	0.50
72	1.00	0.18	0.43	0.83	1.00	0.96	0.91	0.98	0.14	0.01	0.06	0.24	0.49
88	1.00	0.13	0.35	0.75	1.00	0.93	0.87	0.97	0.09	0.00	0.04	0.17	0.46
100	1.00	0.09	0.28	0.67	1.00	0.88	0.81	0.95	0.06	0.00	0.02	0.11	0.43
0	0.97	0.00	0.04	0.17	0.89	0.39	0.37	0.57	0.00	0.00	0.00	0.00	0.21
36	0.79	0.00	0.01	0.06	0.67	0.19	0.18	0.33	0.00	0.00	0.00	0.00	0.12
70	0.33	0.00	0.00	0.01	0.38	0.07	0.06	0.14	0.00	0.00	0.00	0.00	0.05
72	0.30	0.00	0.00	0.01	0.36	0.06	0.06	0.13	0.00	0.00	0.00	0.00	0.05
88	0.11	0.00	0.00	0.00	0.25	0.03	0.03	0.08	0.00	0.00	0.00	0.00	0.03
100	0.04	0.00	0.00	0.00	0.17	0.02	0.02	0.04	0.00	0.00	0.00	0.00	0.02

D. ATÚN PATUDO

Para la versión completa de este análisis, consulte los documentos [SAC-11-05](#), [SAC-11-06](#), [SAC-11-INF-F](#) y [SAC-11-08](#).

El patudo se distribuye en aguas tropicales y templadas a lo largo del Océano Pacífico. En el Océano Pacífico oriental (OPO), la mayor parte de la captura antes de 1993 fue tomada por pesquerías palangreras que dirigían su esfuerzo a patudo grande ([Figura D-1](#)). Debido a la expansión de las pesquerías cerqueras asociadas a objetos flotantes, las pesquerías cerqueras dirigidas a patudo pequeño han reemplazado a las pesquerías palangreras como principal tipo de pesquería de patudo del OPO desde 1996.

En 2022, se desarrollaron indicadores de condición de población (SSI, de *stock status indicators*) para el patudo usando los datos recolectados en el OPO entero ([SAC-13-06](#)). En el caso de la pesquería sobre objetos flotantes, la principal pesquería de patudo desde 1993, el esfuerzo de pesca ha aumentado continuamente ([Figura B-2](#)). Este aumento en el esfuerzo de pesca corresponde a un aumento de la captura, una disminución de la captura por lance y una disminución de la talla promedio de la pesquería sobre objetos flotantes durante el mismo periodo ([Figura D-2](#)). En 2020 y 2021, el COVID-19 se convirtió en una pandemia mundial y tuvo impactos pronunciados en la pesquería sobre objetos flotantes en el OPO. Específicamente, el esfuerzo pesquero disminuyó drásticamente ([Figura B-2](#)) mientras que la captura y la captura por lance de patudo aumentaron notablemente en 2020 ([Figura D-2](#)). El personal descubrió recientemente que la estimación de las capturas de patudo en la pesquería sobre objetos flotantes está sobreestimada para 2020 y 2021 en 12% y 18%, respectivamente ([SAC-13-05](#)). Esta sobreestimación fue causada por el impacto que tuvo la pandemia de COVID-19 en las operaciones del programa de muestreo en puerto para las composiciones por especie y talla. En 2020 y 2021, las capturas de patudo ajustadas al sesgo en la pesquería sobre objetos flotantes están ligeramente por encima y por debajo del nivel de *status quo*, respectivamente. Cabe señalar que las estimaciones de capturas y de sesgo de 2021 se consideran preliminares y es necesario seguir investigando su fiabilidad. En comparación, el esfuerzo de pesca asociado a la pesquería de palangre no muestra una tendencia notable a largo plazo y se ha mantenido alrededor del nivel de la mediana desde 2013 ([Figura B-2](#)). El índice de abundancia de palangre representa la tendencia de la población adulta y es uno de los insumos clave del modelo de evaluación para el patudo. Sugiere una tendencia descendente a largo plazo en la abundancia de la población adulta desde 2000 ([Figura D-3](#)). No obstante, la talla promedio de la pesquería de palangre se ha mantenido relativamente estable desde 2000 ([Figura D-3](#)).

Se ejecutó un plan de trabajo para mejorar las evaluaciones de atunes tropicales y se completó una [revisión externa del patudo](#). Aunque el panel no identificó ningún sustituto particular para el modelo de caso base actual, sugirió una gama de alternativas para la consideración del personal. A fin de abarcar tantos escenarios como fuera posible, el personal desarrolló un marco pragmático de evaluación de riesgos para aplicar a ambas especies, que incluyó el desarrollo de hipótesis, la implementación y ponderación de los modelos, y la construcción de tablas de riesgo basadas en el resultado combinado de todos los modelos de referencia ([SAC-11-08](#), [SAC-11-INF-F](#), [SAC-11-INF-J](#)).

Los modelos de referencia para la evaluación de referencia del patudo se construyeron con base en tres hipótesis dominantes ([SAC-11-INF-J](#)). La primera hipótesis dominante es sobre la causa del cambio aparente de reclutamiento que coincide con la expansión de la pesquería sobre objetos flotantes, suponiendo que ese cambio es real o un artefacto de una especificación errónea del modelo. La segunda hipótesis dominante consiste de dos niveles. El primer nivel representa la causa del cambio aparente de reclutamiento al ser un artefacto de la especificación errónea del modelo. Se supone que el proceso especificado erróneamente es conocido (movimiento, mortalidad, selectividad o crecimiento) o desconocido (aparte de esos cuatro procesos). El segundo nivel representa la causa de la falta de ajuste a los datos de composición por talla de la pesquería palangrera con selectividad asintótica supuesta. Se

supone que la falta de ajuste se debe a un error de observación aleatorio o a un artefacto de una especificación errónea del modelo (en el crecimiento, la selectividad o la mortalidad natural). La tercera hipótesis dominante es sobre la inclinación de la relación población-reclutamiento de Beverton-Holt, que se supuso en los modelos de referencia que era de 0.7, 0.8, 0.9, o 1.0. En total, se mantuvieron 44 modelos de referencia en la evaluación de referencia del patudo ([SAC-11-06](#)). Estos modelos de referencia en los que se basa el asesoramiento de ordenación fueron combinados usando pesos relativos determinados por varios criterios, incluyendo el desempeño en los diagnósticos de los modelos ([SAC-11-INF-J](#)).

Los resultados de los 44 modelos de referencia para el patudo muestran que (1) el cambio de reclutamiento es aparente en algunos modelos, pero no en todos ([Figura D-4](#)); (2) todos los modelos muestran una tendencia decreciente en la biomasa reproductora, mientras que la escala de la biomasa reproductora varía dramáticamente entre los modelos ([Figura D-5](#)); (3) desde 2000, la mortalidad por pesca del patudo juvenil (edad 1-8 trimestres) ha aumentado, mientras que la del patudo adulto (edad 13-39 trimestres) ha disminuido ([Figura D-6](#)). La gráfica de impacto de la pesca muestra claramente que la pesquería sobre objetos flotantes tiene el impacto dominante sobre la biomasa reproductora actual del patudo, independientemente del modelo ([Figura D-7](#)).

En cuanto a las cantidades de ordenación ([Figura D-8](#)), los 44 modelos de referencia estiman que: 1) a principios de 2020, la biomasa reproductora del patudo oscilaba entre el 14% y el 212% del nivel de RMS dinámico; 26 modelos sugieren que estaba por debajo de ese nivel; 2) a principios de 2020, la biomasa reproductora del patudo oscilaba entre el 51% y el 532% del nivel de referencia límite; cinco modelos sugieren que estaba por debajo de ese límite; (3) durante 2017-2019, la mortalidad por pesca del patudo osciló entre el 51% y el 223% del nivel de RMS; 26 ejecuciones sugieren que estaba por encima de ese nivel; (4) durante 2017-2019, la mortalidad por pesca del patudo osciló entre el 32% y el 114% del nivel de referencia límite; tres modelos sugieren que estaba por encima de ese límite.

Los resultados de los 44 modelos de referencia se combinan en un análisis de riesgos para proporcionar asesoramiento de ordenación ([SAC-11-08](#)). Las curvas de riesgo combinado ([Figura D-9](#)) muestran que: (1) las probabilidades de que la mortalidad por pesca durante 2017-2019 (F_{act}) sea superior a los niveles de referencia objetivo y límite son del 50% y el 5%, respectivamente; (2) las probabilidades de que la biomasa reproductora a principios de 2020 (S_{act}) sea inferior a los niveles de referencia objetivo y límite son del 53% y el 6%, respectivamente. Aunque la distribución combinada sugiere que la probabilidad de que F_{act} sea superior al nivel de referencia límite es mucho más baja que el 10%, la distribución de probabilidades combinada es bimodal ([Figura D-10](#)). Este patrón bimodal se debe a las diferencias considerables en las estimaciones entre dos grupos de modelos, uno más pesimista y otro más optimista ([Figuras D-5 y D-11](#); [Tabla D-2](#)). Cabe señalar que la curva de riesgo combinado basada únicamente en los modelos pesimistas muestra que la probabilidad de que F_{act} sea más alta que el nivel de referencia límite alcanza el 10% ([Figura D-11](#) y [Tabla D-3](#)), nivel a partir del cual se establecerán medidas de ordenación adicionales (Resolución [C-16-02](#)). La bimodalidad complica la evaluación de la condición de la población de patudo y de los resultados potenciales de las medidas de ordenación. Es necesario abordar esta cuestión en el futuro para mejorar el asesoramiento de ordenación.

TABLA D-1. Configuraciones de modelo (hipótesis) usadas para el atún patudo en el OPO.

Modelo	Descripción
BASE	No usado en el análisis de riesgos, pero forma la base de todos los otros modelos. Similar al modelo de caso base usado en evaluaciones previas excepto que usa el método de Francis para ponderar los datos de composición. Selectividad asintótica de una pesquería palangrera (F2). Crecimiento y mortalidad natural (M) fijos.
7. Medio ambiente	
Env	$R shift$ es real, causado por un cambio en el medio ambiente. Selectividad asintótica de una pesquería palangrera (F2). Similar al modelo de caso base usado en evaluaciones previas excepto que (1) la ponderación de los datos de composición usa el método de Francis y (2) estima un parámetro que representa el cambio en el reclutamiento.
Env-Fix	Medio ambiente, fijo (crecimiento y M no estimados, selectividad asintótica)
Env-Gro	Medio ambiente, crecimiento estimado
Env-Sel	Medio ambiente, selectividad en forma de domo
Env-Mrt	Medio ambiente, M adulta estimada
8. Corto plazo	
Srt	Evaluada con datos de 2000-2019 solamente (1975-2019 en otros modelos). $R shift$ se debe a un error desconocido en el modelo antes de 2000 imposible de identificar/resolver con datos disponibles; por tanto, no considerado por los otros modelos.
Srt-Fix	Corto plazo, fijo (crecimiento y M no estimados, selectividad asintótica)
Srt-Gro	Corto plazo, crecimiento estimado
Srt-Sel	Corto plazo, selectividad en forma de domo
Srt-Mrt	Corto plazo, M adulta estimada
9. Movimiento preadulto	
Mov	Aproxima movimientos de peces a y desde el Pacífico central, asignando una M que comienza entre las edades seleccionadas por la pesquería cerquera sobre objetos flotantes y la pesquería palangrera. M más alta/más baja indica peces saliendo del/entrando al OPO, respectivamente. Este cambio del cronograma de mortalidad podría capturar diferencias reales en M por edad impulsadas por una variedad de procesos.
10. Crecimiento estimado	
Gro	Estimar el crecimiento: (1) permite una biomasa mayor y reduce por lo tanto $R shift$ (los datos de composición por talla de la pesquería con selectividad asintótica contienen pocos pescados alrededor de la talla asintótica, por lo que el modelo estima una F alta, y S baja correspondiente, para reducir el número de peces grandes y así ajustarse a esos datos); (2) produce una talla asintótica baja (reduce el número predicho de peces grandes, y se ajusta a los datos de composición por tallas sin incrementar F , permitiendo una S mayor). Todos los cuatro parámetros de la curva de crecimiento de Richards y los dos parámetros que representan la variación de la talla por edad son estimados. El modelo es ajustado a los datos de otolitos de edad condicionada en talla. Puede también tratar el malajuste a los datos de composición por talla.
11. Selectividad en forma de domo	
Sel	Una selectividad en forma de domo para la pesquería palangrera F2: (1) permite una biomasa mayor y reduce por lo tanto $R shift$ (los datos de composición por talla de la pesquería con selectividad asintótica contienen pocos ejemplares alrededor de la talla asintótica, por lo que el modelo estima una F alta, y S baja correspondiente, para reducir el número de peces grandes y así ajustarse a esos datos); (2) reduce el número de pescados grandes capturados, permitiendo al modelo ajustarse a los datos de composición por talla observados, pero

TABLA D-1. Configuraciones de modelo (hipótesis) usadas para el atún patudo en el OPO.

Modelo	Descripción
	produce también una ‘biomasa críptica’ que aumenta la estimación de la biomasa. Se usa una curva de selectividad normal doble. Puede también tratar el malajuste a los datos de composición por talla.
12. Mortalidad adulta	
Mrt	Estimar la mortalidad natural (M) adulta permite una mayor biomasa y reduce por lo tanto R_{shift} . Un valor incrementado de M reduce la F necesaria para el ajuste a los datos de composición por talla y aumenta por lo tanto la biomasa para un nivel dado de captura. Puede también tratar el malajuste a los datos de composición por talla.

TABLA D-2. Cantidad de ordenación para el atún patudo en el OPO. Ver descripción de códigos en Tabla D-1. $E(x)$ es el valor esperado. $P=0.5$: mediana de las distribuciones de $P(S_{act}/S_{RMS})$ y $P(F_{act}/F_{RMS})$.

	Env-Fix	Env-Gro	Env-Sel	Env-Mrt	Srt-Fix	Srt-Gro	Srt-Sel	Srt-Mrt	Mov	Gro	Sel	Mrt	Combinad o
$P(\text{Modelo})$	0.01	0.13	0.05	0.02	0.04	0.22	0.11	0.07	0.01	0.24	0.09	0.02	$E(x)$ $P=0.5$
Mortalidad por pesca (F)													
F_{act}/F_{RMS}	1.82	0.82	0.99	1.25	1.84	1.42	1.36	1.57	0.81	0.59	0.73	0.89	1.07 1.00
$P(F_{act}>F_{RMS})$	1.00	0.18	0.44	0.84	1.00	0.97	0.92	0.99	0.15	0.01	0.07	0.25	0.50
$F_{act}/F_{LÍMITE}$	0.96	0.47	0.58	0.69	0.97	0.78	0.77	0.84	0.47	0.34	0.43	0.50	0.60
$P(F_{act}>F_{LÍMITE})$	0.33	0.00	0.00	0.01	0.38	0.07	0.06	0.14	0.00	0.00	0.00	0.00	0.05
Biomasa reproductora (S)													
S_{act}/S_{RMS_d}	0.34	1.32	1.02	0.69	0.32	0.56	0.59	0.45	1.31	1.85	1.53	1.16	1.09 0.92
$P(S_{act}<S_{RMS})$	1.00	0.19	0.49	0.96	1.00	1.00	1.00	1.00	0.16	0.03	0.07	0.27	0.53
$S_{act}/S_{LÍMITE}$	0.97	3.61	2.67	2.04	0.97	1.65	1.65	1.38	3.84	5.24	4.21	3.63	3.07
$P(S_{act}<S_{LÍMITE})$	0.59	0.00	0.00	0.02	0.50	0.06	0.09	0.19	0.00	0.00	0.00	0.00	0.06

TABLA D-3. Tabla de decisión para el atún patudo en el OPO. Ver explicación de códigos en Tabla D-1.

Días de veda	Env-Fix	Env-Gro	Env-Sel	Env-Mrt	Srt-Fix	Srt-Gro	Srt-Sel	Srt-Mrt	Mov	Gro	Sel	Mrt	Comb
$P(F>F_{RMS})$													Probabilidad
													$\leq 50\%$ $>50\%$
0	1.00	0.48	0.78	0.98	1.00	1.00	0.99	1.00	0.47	0.09	0.31	0.65	0.62
36	1.00	0.32	0.63	0.93	1.00	0.99	0.97	1.00	0.30	0.03	0.17	0.45	0.56
70	1.00	0.19	0.44	0.84	1.00	0.97	0.92	0.99	0.15	0.01	0.07	0.25	0.50
72	1.00	0.18	0.43	0.83	1.00	0.96	0.91	0.98	0.14	0.01	0.06	0.24	0.49
88	1.00	0.13	0.35	0.75	1.00	0.93	0.87	0.97	0.09	0.00	0.04	0.17	0.46
100	1.00	0.09	0.28	0.67	1.00	0.88	0.81	0.95	0.06	0.00	0.02	0.11	0.43
													Probabilidad
													$\leq 10\%$ $>10\%$
0	0.97	0.00	0.04	0.17	0.89	0.39	0.37	0.57	0.00	0.00	0.00	0.00	0.21
36	0.79	0.00	0.01	0.06	0.67	0.19	0.18	0.33	0.00	0.00	0.00	0.00	0.12
70	0.33	0.00	0.00	0.01	0.38	0.07	0.06	0.14	0.00	0.00	0.00	0.00	0.05
72	0.30	0.00	0.00	0.01	0.36	0.06	0.06	0.13	0.00	0.00	0.00	0.00	0.05
88	0.11	0.00	0.00	0.00	0.25	0.03	0.03	0.08	0.00	0.00	0.00	0.00	0.03
100	0.04	0.00	0.00	0.00	0.17	0.02	0.02	0.04	0.00	0.00	0.00	0.00	0.02

E. PACIFIC BLUEFIN TUNA

Tagging studies have shown that there is exchange of Pacific bluefin between the eastern and western Pacific Ocean. Larval, post larval, and early juvenile bluefin have been caught in the western Pacific Ocean (WPO), but not in the eastern Pacific Ocean (EPO), so it is likely that there is a single stock of bluefin in the Pacific Ocean (or possibly two stocks in the Pacific Ocean, one spawning in the vicinity of Taiwan and the Philippines and the other spawning in the Sea of Japan).

Most of the commercial catches of bluefin in the EPO are taken by purse seiners. Nearly all of the purse-seine catches have been made west of Baja California and California, within about 100 nautical miles of the coast, between about 23°N and 35°N. Ninety percent of the catch is estimated to have been between about 60 and 100 cm in length, representing mostly fish 1 to 3 years of age. Aquaculture facilities for bluefin were established in Mexico in 1999, and some Mexican purse seiners began to direct their effort toward bluefin during that year. During recent years, most of the catches have been transported to holding pens, where the fish are held for fattening and later sale to sashimi markets. Lesser amounts of bluefin are caught by recreational, gillnet, and longline gear. Bluefin have been caught in the EPO during every month of the year, but most of the fish are taken from May through October.

Bluefin are exploited by various gears in the WPO from Taiwan to Hokkaido, Japan. Age-0 fish, about 15 to 30 cm in length, are caught by the Japanese troll fishery during July-October south of Shikoku Island and south of Shizuoka Prefecture. During November-April, age-0 fish about 35 to 60 cm in length are taken in troll fisheries south and west of Kyushu Island. Age-1 and older fish are caught by purse seining, mostly during May-September, between about 30°-42°N and 140°-152°E. Bluefin of various sizes are also caught by traps, gillnets, and other gear, especially in the Sea of Japan. Additionally, small amounts of bluefin are caught near the southeastern coast of Japan by longlining. The Chinese Taipei small-scale longline fishery, which has expanded since 1996, takes bluefin tuna more than 180 cm in length from late April to June, when they are aggregated for spawning in the waters east of the northern Philippines and Taiwan.

The high-seas longline fisheries are directed mainly at tropical tunas, albacore, and billfishes, but small amounts of Pacific bluefin are caught by these fisheries. Small amounts of bluefin are also caught by Japanese pole-and-line vessels on the high seas.

Tagging studies, conducted with conventional and archival tags, have revealed a great deal of information about the life history of bluefin. Some fish apparently remain their entire lives in the WPO, while others migrate to the EPO. These migrations begin mostly during the first and second years of life. The first- and second-year migrants are exposed to various fisheries before beginning their journey to the EPO. Then, after crossing the ocean, they are exposed to commercial and recreational fisheries off California and Baja California. Eventually, the survivors return to the WPO.

Bluefin more than about 50 cm in length are most often found in waters where the sea-surface temperatures (SSTs) are between 17° and 23°C. Fish 15 to 31 cm in length are found in the WPO in waters where the SSTs are between 24° and 29°C. The survival of larval and early juvenile bluefin is undoubtedly strongly influenced by the environment. Conditions in the WPO probably influence recruitment, and thus the portions of the juvenile fish there that migrate to the EPO, as well as the timing of these migrations. Likewise, conditions in the EPO probably influence the timing of the return of the juvenile fish to the WPO.

The total catches of bluefin have fluctuated considerably during the last 50 years ([Figure E-1](#)). The consecutive years of above-average catches (mid-1950s to mid-1960s) and below-average catches (early 1980s to early 1990s) could be due to consecutive years of above-average and below-average recruitments. The estimated impact of the fisheries on the bluefin population for the entire time period modeled (1952-2018) is substantial ([Figure E-2](#)). The WPO fisheries have had a greater impact than the EPO fisheries, and their impact increased starting in 1980s only leveling off in 2000s.

A benchmark stock assessment was carried out by the Pacific Bluefin Working Group of the International

Scientific Committee for Tuna and Tuna-like Species in the North Pacific Ocean (ISC) in 2022. The assessment was conducted with Stock Synthesis 3, an integrated statistical age-structured stock assessment model. The base-case model results show that: (1) spawning stock biomass (SSB) fluctuated throughout the assessment period (fishing years 1952–2020); (2) the SSB steadily declined from 1996 to 2010; (3) the SSB has increased since 2011 resulting in the 2020 SSB being back to the 1996 level; (4) total biomass after 2011 continued to increase with an increase in young fish, creating the 2nd highest biomass peak in the assessed history in 2020; (5) fishing mortality ($F\%$ SPR), which declined to a level producing about 1% of SPR in 2004–2009, returned to a level producing 30.7% of SPR in 2018–2020; and (6) SSB in 2020 was 10.2% of $SSB_{F=0}$, an increase from the 5.6% of $SSB_{F=0}$ estimated for 2018 in the 2020 assessment (2018 was the last year of the 2020 assessment). Based on the model diagnostics, the estimated biomass trend for the last 40 years is considered robust although SSB prior to the 1980s is uncertain due to data limitations. The SSB in 2020 was estimated to be around 65,464 t, which is a 30,000 t increase from 2018 according to the base-case model. An increase of young fish (0–2 years old) biomass was observed in 2016–2020, likely resulting from low fishing mortality on those fish and is expected to accelerate the recovery of SSB in the future even further. Historical recruitment estimates have fluctuated since 1952 without an apparent trend. A substantial decrease in estimated F is observed in ages 0–2 in 2018–2020 relative to the previous years (note that stricter management measures in WCPFC and IATTC have been in place since 2015).

The point estimate of the 2020 SSB was 10.2% of the SSB in the absence of fishing (10.2% $SSB_{F=0}$), and the recent (2018–2020) fishing mortality (F) corresponds to F30.7%SPR. Because the harvest strategy includes catch limits, fishing mortality is expected to decline, *i.e.*, $Fx\%$ SPR will increase as biomass increases. No biomass-based limit or target reference points have been adopted to evaluate whether Pacific bluefin is overfished. However, the stock is overfished relative to common target reference points, but does not exceed the IATTC limit reference point used for tropical tunas. Also, no fishing intensity-based limit or target reference points have been adopted to evaluate whether overfishing of Pacific bluefin is occurring.

Resolution [C-18-02](#) states that the Commission recognizes that the management objective of the IATTC is to maintain or restore fish stocks at levels capable of producing MSY, and shall implement a provisional rebuilding plan by adopting an 1) initial (first) rebuilding target of $SSB_{med, 1952-2014}$ (the median point estimate for 1952–2014) to be achieved by 2024 with at least 60% probability and 2) a second rebuilding target of 20% $SSB_{F=0}$ to be achieved within 10 years of reaching the initial rebuilding target or by 2034, whichever is earlier, with at least 60% probability. The IATTC has adopted resolutions to restrict the catch of bluefin tuna in the EPO (e.g. [C-16-08](#), [C-18-01](#), [C-20-02](#), [C-21-05](#)). Resolution [C-21-05](#) states that during 2021–2022, in the IATTC Convention Area, combined total commercial catches of Pacific bluefin tuna by all CPCs shall not exceed the catch limit of 7,295 metric tons. During 2023–2024, in the IATTC Convention Area, combined total commercial catches of Pacific bluefin tuna by all CPCs shall not exceed the catch limit of 7,990 metric tons. Resolution [C-18-02](#) also requires that no later than the IATTC meeting in 2020, taking into account the outcomes of the Joint IATTC–WCPFC NC Working Group, the Commission shall consider and develop candidate reference points and harvest control rules. These candidate reference points and harvest control rules will be forwarded to the Joint IATTC–WCPFC NC Working Group and ISC for consideration and potential inclusion in a management strategy evaluation to be completed by the ISC. This task has still not been accomplished.

The 2020 SSB was above the initial rebuilding target but remains below the second rebuilding target adopted by the WCPFC and IATTC. However, stock recovery is occurring at a faster rate than anticipated by managers when the Harvest Strategy to foster rebuilding were implemented in 2014. Projections based on the base-case model under several harvest scenarios and time schedules as requested by the RFMOs, including the harvest strategy proposed at the Joint WCPFC NC–IATTC WG meeting. Under all examined scenarios the second rebuilding target is reached, and the risk of SSB falling below the historical lowest SSB at least once in 10 years is negligible. Some scenarios had the future impact ratios between WPO and EPO specified by the RFMOs and were tuned to achieve the second rebuilding target with 60% probability, and result in larger catch increases.

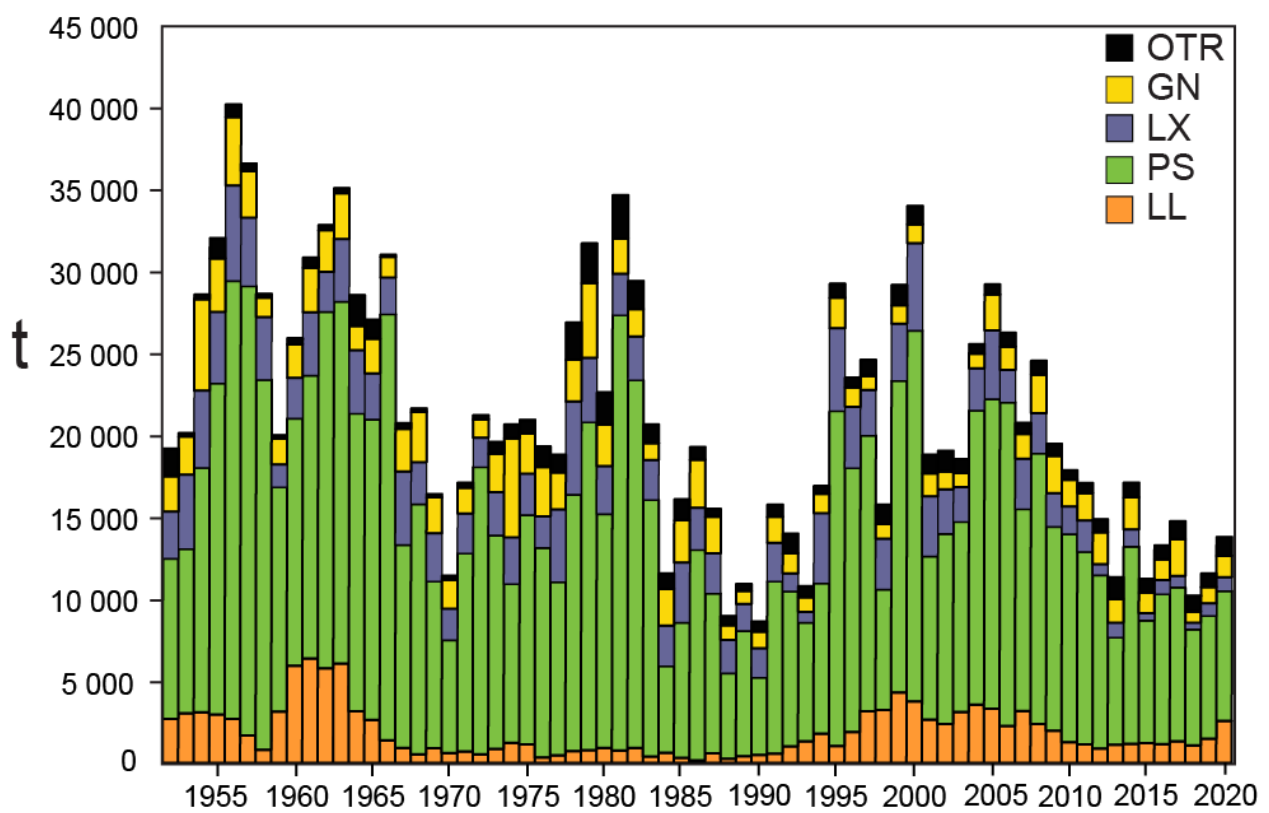


FIGURE E-1. Retained catches of Pacific bluefin tuna, by gear, 1952-2020. GN: gillnet; LL: longline; LX: hook and line; OTR: other; PS: purse seine.

FIGURA E-1. Capturas retenidas de atún aleta azul del Pacífico, por arte, 1952-2020. GN: red agallera; LL: palangre; LX: sedal y anzuelo; OTR: otras; PS: red de cerco.

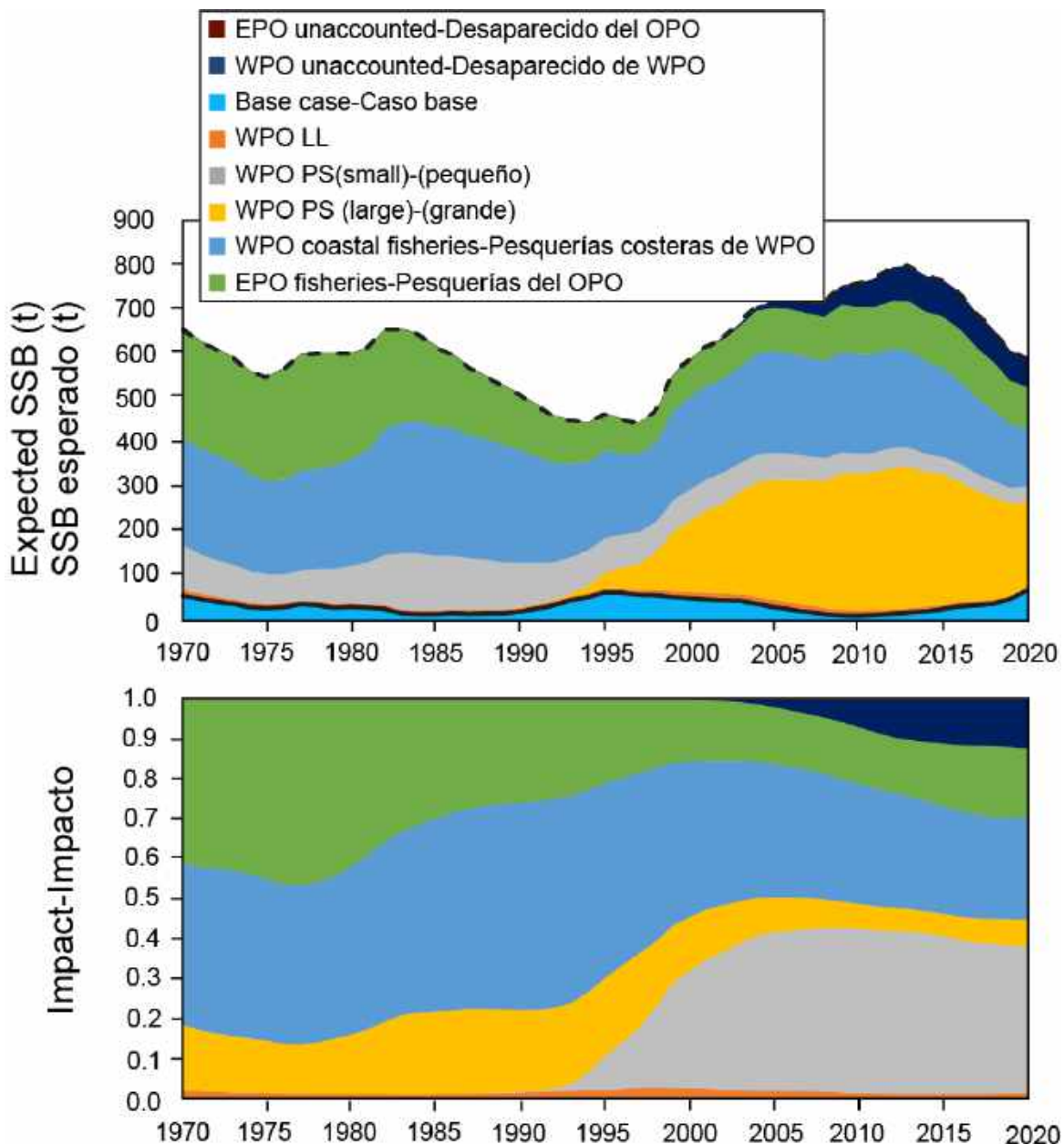


FIGURE E-2. Estimates of the impact on the Pacific bluefin tuna population of fisheries in the EPO and in the WPO (upper panel). The dashed line represents the estimated hypothetical unfished spawning biomass, and the solid line the estimated actual spawning biomass. The shaded areas indicate the impact attributed to each fishery. The lower panel presents the proportion of impact attributed to the EPO and WPO. (Figure from the draft Executive Summary of ISC 2022 stock assessment; subject to change and approval by the ISC Plenary.)

FIGURA E-2. Estimaciones del impacto sobre la población de atún aleta azul del Pacífico de las pesquerías en el OPO y en el WPO (panel superior). La línea de trazos representa la biomasa reproductora no pescada hipotética estimada, y la línea sólida la biomasa reproductora real estimada. Las áreas sombreadas indican el impacto atribuido a cada pesquería. El panel inferior ilustra la proporción del impacto atribuida al OPO y al WPO. (Figura del borrador de resumen ejecutivo de la evaluación de 2022 del ISC; sujeta a cambio y aprobación por la plenaria del ISC.)

E. ATÚN ALETA AZUL DEL PACÍFICO

Los estudios de marcado han demostrado que ocurre intercambio de aleta azul del Pacífico entre el Océano Pacífico oriental (OPO) y occidental. Se han capturado aletas azules larvales, poslarvales, y juveniles tempranos en el Pacífico occidental, pero no en el OPO, por lo que es probable que exista una sola población de aleta azul en el Océano Pacífico (o posiblemente dos poblaciones, una que desova cerca de Taiwán y Filipinas y otra que desova en el Mar de Japón).

La mayor parte de las capturas comerciales de aleta azul en el OPO es realizada por buques cerqueros. Casi todas las capturas cerqueras son realizadas al oeste de Baja California y California, a menos de unas 100 millas náuticas de la costa, entre aproximadamente 23°N y 35°N. Se estima que el 90% de la captura mide entre 60 y 100 cm de talla, lo cual representa principalmente peces de entre 1 y 3 años de edad. En 1999 se establecieron instalaciones de acuicultura del aleta azul en México, y algunos cerqueros mexicanos comenzaron a dirigir sus esfuerzos hacia el aleta azul durante ese año. En años recientes, la mayoría de la captura ha sido transportada a jaulas, donde se mantienen los peces para engordarlos y luego venderlos al mercado de sashimi. Se capturan cantidades menores de aleta azul con artes recreacionales, redes agalleras, y palangre. Se han capturado aletas azules en el OPO durante todos los meses del año, pero la mayor parte de la captura es lograda entre mayo y octubre.

El aleta azul es explotado con varias artes en el Pacífico occidental desde Taiwán hasta Hokkaido, Japón. La pesquería curricanera japonesa captura peces de edad 0, de unos 15 a 30 cm de talla, durante julio-octubre al sur de la isla Shikoku y al sur de la Prefectura de Shizuoka. Durante noviembre-abril, se capturan peces de edad 0, de entre unos 35 y 60 cm de talla, en pesquerías curricaneras al sur y oeste de la isla Kyushu. Peces de edad 1 y mayores son capturados con red de cerco, principalmente durante mayo-septiembre, entre aproximadamente 30°-42°N y 140°-152°E. Aletas azules de varios tamaños son también capturados con almadrabas, redes de trasmalle, y otras artes, especialmente en el Mar de Japón. Adicionalmente, son capturadas pequeñas cantidades de aleta azul cerca de la costa sudeste de Japón con palangre. La pesquería palangrera a pequeña escala de Taipéi Chino, que se ha expandido desde 1996, captura aleta azul de más de 180 cm de talla desde fines de abril hasta junio, cuando se concentran para desovar en aguas al este del norte de Filipinas y Taiwán.

Las pesquerías palangreras de alta mar están dirigidas principalmente hacia los atunes tropicales, albacora, y peces picudos, pero capturan pequeñas cantidades de aleta azul del Pacífico. Son capturadas también pequeñas cantidades de aleta azul por buques cañeros japoneses en alta mar.

Los estudios de marcado, usando marcas convencionales y archivadoras, han descubierto una gran cantidad de información acerca del ciclo vital del aleta azul. Algunos peces aparentemente permanecen su vida entera en el Pacífico occidental, mientras que otros migran al OPO. Las migraciones comienzan principalmente durante el primer y segundo año de vida. Los migrantes de primer o segundo año están expuestos a varias pesquerías antes de comenzar su viaje al OPO. Luego, después de cruzar el océano, están expuestos a las pesquerías comerciales y recreacionales frente a California y Baja California. A la larga, los supervivientes regresan al Pacífico occidental.

Se encuentran aletas azules de más de unos 50 cm de talla con mayor frecuencia en aguas con una temperatura superficial del mar (TSM) de entre 17° y 23°C. En el Pacífico occidental se encuentran peces de entre 15 y 31 cm de talla en aguas con TSM entre 24 y 29 °C. La supervivencia de los aletas azules larvales y juveniles tempranos es sin duda fuertemente afectada por el medio ambiente. Las condiciones en el Pacífico occidental probablemente afectan el reclutamiento, y por lo tanto las porciones de los peces juveniles en esa zona que migran al OPO, así como cuándo ocurren estas migraciones. Similarmente, las condiciones en el OPO afectan probablemente cuándo los peces juveniles regresan al Pacífico occidental.

Las capturas totales de aleta azul han fluctuado considerablemente durante los últimos 50 años ([Figura E-1](#)). Los años consecutivos de capturas superiores al promedio (mediados de los años 1950 a mediados de los 1960) e inferiores al promedio (principios de los 1980 a principios de los 1990) podrían ser debidos a años

consecutivos de reclutamientos superiores al promedio e inferiores al promedio. El impacto estimado de la pesca sobre la población de aleta azul durante el periodo entero del modelo (1952-2018) es sustancial ([Figura E-2](#)). Las pesquerías del Pacífico occidental han tenido un impacto mayor que las pesquerías del OPO, y su impacto creció a partir de los años 1980, estabilizándose solamente en los años 2000.

El Grupo de Trabajo sobre el aleta azul del Pacífico del Comité Científico Internacional para los Atunes y Especies Afines en el Océano Pacífico Norte (ISC) realizó una evaluación de referencia de la población en 2022. La evaluación fue realizada con *Stock Synthesis 3*, un modelo estadístico integrado de evaluación de poblaciones estructurado por edad. Los resultados del modelo de caso base indican que: (1) la biomasa de la población reproductora (*spawning stock biomass*; SSB) fluctuó durante todo el periodo de evaluación (años de pesca 1952-2020); (2) la SSB disminuyó constantemente desde 1996 hasta 2010; (3) la SSB ha aumentado desde 2011, lo que implica que la SSB de 2020 vuelva al nivel de 1996; (4) la biomasa total después de 2011 siguió aumentando con un incremento de peces jóvenes, creando el segundo pico de biomasa más alto de la historia evaluada en 2020; (5) la mortalidad por pesca ($F\%SPR$), que disminuyó a un nivel que producía alrededor del 1% de SPR en 2004-2009, volvió a un nivel que producía el 30.7% de SPR en 2018-2020; y (6) la SSB en 2020 fue de 10.2% de $SSB_{F=0}$, un aumento con respecto al 5.6% de $SSB_{F=0}$ estimado para 2018 en la evaluación de 2020 (2018 fue el último año de la evaluación de 2020). A partir de los diagnósticos del modelo, la tendencia de la biomasa estimada para los últimos 40 años se considera robusta, aunque la SSB antes de la década de 1980 es incierta debido a las limitaciones de los datos. La SSB en 2020 se estimó en unas 65,464 t, lo que supone un aumento de 30,000 t con respecto a 2018 según el modelo de caso base. Se observó un aumento de la biomasa de peces jóvenes (0-2 años) en 2016-2020, probablemente como resultado de la baja mortalidad por pesca de esos peces, y se espera que acelere aún más la recuperación de la SSB en el futuro. Las estimaciones del reclutamiento histórico han fluctuado desde 1952, sin una tendencia aparente. Se observa una disminución sustancial de la F estimada en los peces de edades 0-2 en 2018-2020 con respecto a los años anteriores. Cabe señalar que han estado en vigor medidas de ordenación más estrictas en la WCPFC y la CIAT desde 2015.

La estimación puntual de la SSB en 2020 fue 10.2% de la SSB en ausencia de pesca (10.2% $SSB_{F=0}$), y la mortalidad por pesca (F) reciente (2018-2020) corresponde a $F30.7\%SPR$. Ya que la estrategia de extracción incluye límites de captura, se espera que la mortalidad por pesca disminuya; es decir, $Fx\%SPR$ aumentará a medida que aumenta la biomasa. No se han adoptado puntos de referencia límite u objetivo basados en biomasa para evaluar si el aleta azul del Pacífico está sobre pescado. No obstante, la población está sobre pescada con respecto a los puntos de referencia objetivo comunes, pero no rebasa el punto de referencia límite de la CIAT usado para los atunes tropicales. Además, no se han adoptado puntos de referencia límite u objetivo basados en intensidad de pesca para evaluar si está ocurriendo sobre pesca del atún aleta azul del Pacífico.

La resolución [C-18-02](#) establece que la Comisión reconoce que el objetivo de ordenación de la CIAT es mantener o restablecer las poblaciones de peces en niveles capaces de producir RMS, e implementará un plan provisional de recuperación mediante la adopción de 1) una (primera) meta inicial de recuperación de $SSB_{med,1952-2014}$ (la estimación puntual de la mediana de 1952-2014) por lograr antes de 2024 con una probabilidad de al menos 60% y 2) una segunda meta de recuperación de 20% $SSB_{F=0}$ por lograr en los 10 años siguientes al logro del objetivo de recuperación inicial o en 2034, lo que ocurra antes, con una probabilidad de al menos el 60%. La CIAT ha adoptado resoluciones para limitar la captura de atún aleta azul en el OPO (por ejemplo, [C-16-08](#), [C-18-01](#), [C-20-02](#) y [C-21-05](#)). La resolución [C-21-05](#) establece que, durante 2021-2022, en el Área de la Convención de la CIAT, las capturas comerciales totales combinadas de atún aleta azul del Pacífico por todos los CPC no superarán el límite de captura de 7,295 toneladas. Durante 2023-2024, en el Área de la Convención de la CIAT, las capturas comerciales totales combinadas de atún aleta azul del Pacífico por todos los CPC no superarán el límite de captura de 7,990 toneladas. La resolución C-18-02 también requiere que, a más tardar en la reunión de la CIAT en 2020, tomando en cuenta los resultados del grupo de trabajo conjunto CN WCPFC-CIAT, la Comisión considerará y desarrollará candidatos de puntos de referencia y reglas de control de extracción. Estos candidatos de

puntos de referencia y reglas de control de extracción se remitirán al del grupo de trabajo conjunto CN WCPFC-CIAT y al ISC para su consideración y posible inclusión en una evaluación de la estrategia de ordenación que completará el ISC. Esta tarea aún no se ha completado.

La SSB de 2020 estuvo por encima del objetivo inicial de restablecimiento, pero sigue estando por debajo del segundo objetivo de restablecimiento adoptado por la WCPFC y la CIAT. Sin embargo, la recuperación de la población se está produciendo a un ritmo más rápido de lo previsto por los gestores cuando se implementó la estrategia de extracción para fomentar la recuperación en 2014. Proyecciones basadas en el modelo de caso base bajo varios escenarios de captura y calendarios según lo solicitado por las OROP, incluyendo la estrategia de extracción propuesta en reunión del grupo de trabajo conjunto CN WCPFC-CIAT. En todos los escenarios examinados se alcanza el segundo objetivo de restablecimiento y el riesgo de que la SSB caiga por debajo de la SSB histórica más baja al menos una vez en 10 años es insignificante. Algunos escenarios tenían los coeficientes de impacto futuro entre el WPO y el OPO especificados por las OROP y se ajustaron para alcanzar el segundo objetivo de restablecimiento con una probabilidad de 60%, y dan lugar a mayores incrementos de las capturas.

F. ALBACORE TUNA

There are two stocks of albacore in the Pacific Ocean, one in the northern hemisphere and the other in the southern hemisphere. Albacore are caught by longline gear in most of the North and South Pacific, but not often between about 10°N and 5°S, by trolling gear in the eastern and central North and South Pacific, and by pole-and-line gear in the western North Pacific. In the North Pacific, about 40% of the catch is taken by pole-and-line and troll fisheries that catch smaller, younger albacore, and about 50% was taken by longline. In the South Pacific, almost all the albacore is taken by longline. The total annual catches of South Pacific albacore ranged from about 25,000 to 50,000 t during the 1980s and 1990s but increased after that and peaked at about 94,500 t in 2017, declining slightly after that. During 2018-2020, the albacore catches in the south Pacific averaged about 80,500 t ([Figure F-1a](#)), of which about 25% was taken in the eastern Pacific Ocean (EPO), a decline of about 6,500 t from the average for 2017-2019. The total annual catches of North Pacific albacore peaked in 1976 at about 125,000 t, declined to about 38,000 t in 1991, and then increased to about 126,000 t in 1999 ([Figure F-1b](#)). They declined again in the early 2000s, then recovered. Since 2012 catches have declined on average 5% a year from about 92,000 to about 52,000t in 2020. The catches averaged about 54,500 t in 2018-2020, of which 23% was taken in the EPO. Those declines in catches coincide with decline in effort in the north EPO ([Figure F-2](#))

Juvenile and adult albacore are caught mostly in the Kuroshio Current, the North Pacific Transition Zone, and the California Current in the North Pacific and in the Subtropical Convergence Zone in the South Pacific, but spawning occurs in tropical and subtropical waters, centering around 20°N and 20°S latitudes. North Pacific albacore are believed to spawn between March and July in the western and central Pacific.

The movements of North Pacific albacore are strongly influenced by oceanic conditions, and migrating albacore tend to concentrate along oceanic fronts in the North Pacific Transition Zone. Most of the catches are made in water temperatures between about 15° and 19.5°C. Details of the migration remain unclear, but juvenile fish (2- to 5-year-olds) are believed to move into the eastern Pacific Ocean (EPO) in the spring and early summer, and return to the western and central Pacific, perhaps annually, in the late fall and winter, where they tend to remain as they mature. This pattern may be complicated by sex-related movements of large adult fish (fork length (FL) >125 cm), which are predominately male, to areas south of 20°N. The significance of such movements for the demographic dynamics of this stock are uncertain at present.

Less is known about the movements of albacore in the South Pacific Ocean. The juveniles move southward from the tropics when they are about 35 cm long, and then eastward along the Subtropical Convergence Zone to about 130°W. When the fish approach maturity they return to tropical waters, where they spawn. Recoveries of tagged fish released in areas east of 155°W were usually made at locations to the east and north of the release site, whereas those of fish released west of 155°W were usually made at locations to the west and north of the release site.

The most recent published stock assessments for the South and North Pacific stocks of albacore are from 2021 and 2020, respectively. The assessments indicate that it is not likely that either stock is overfished or that overfishing is taking place.

South Pacific albacore

In collaboration with the IATTC, the Pacific Community (SPC) conducted a [benchmark stock assessment](#) for South Pacific albacore tuna in 2021. It is based on a spatially-explicit stock assessment model in which the South EPO is considered as a single area due to the lack of tagging data. Several axes of the structural uncertainties were explored in this benchmark assessment, including steepness, movement, size data weighting, recruitment distribution, and the combination of growth and natural mortality. The final structural uncertainty grid for this assessment consisted of 72 models. Results suggest that the movement scenario (tagging vs. SEAPODYM informed movement rates) is the major source of uncertainty among those uncertainty axes. Based on the weighted grid of the 72 models, the estimated reference points for albacore tuna in the South Pacific are:

- The median value of relative recent (2016-2019) spawning biomass depletion ($SB_{2016-2019}/SB_{F=0}$) was 0.52 with a 10th to 90th percentile interval of 0.41 to 0.57.
- There was a 0% probability (0 out of 72 models) that the recent (2016-2019) spawning biomass had breached the limit reference point (0.2) adopted by the WCPFC.
- The median of relative recent fishing mortality as a ratio of that corresponding the MSY ($F_{2015-2018}/F_{MSY}$) was 0.24 with a 10th to 90th percentile interval of 0.15 to 0.37.
- There was a 0% probability (0 out of 72 models) that the recent (2015-2018) fishing mortality was above F_{MSY} .

In summary, the benchmark assessment suggests that the South Pacific albacore stock is healthy and the recent fishing mortality is much lower than the fishing mortality at MSY. Nevertheless, it should be noted that the spawning biomass of South Pacific albacore was estimated to have decreased sharply since 2017 due likely to the continuing increase in the amount of longline catch in recent years (see [SAC-13-03](#)). For albacore in the south EPO, the spawning biomass ratio (spawning biomass divided by spawning biomass in an unfished condition) is estimated to have decreased from above 0.9 in 1960 to less than 0.5 in 2019. The staff will continue collaborating with the Pacific Community (SPC) to monitor the stock status of South Pacific albacore tuna by using stock status indicators and conducting another benchmark assessment with the SPC in 3-4 years.

North Pacific albacore

The last stock assessment for North Pacific albacore completed in 2020 by the Albacore Working Group (ALBWG) of the International Scientific Committee for Tuna and Tuna-like Species in the North Pacific Ocean (ISC) ([ISC/20/Annex/12](#), [SAC-11-INF-I](#)). A new assessment is planned for 2023. The north Pacific albacore tuna stock has been exploited for a long time, the catches were the highest in 1976 (about 127,000 t) and the lowest in 1991 (about 37,000 t). During the assessment period (1994-2018), the highest catches were in 1999 (about 119,000 t) and the lowest in 2018 (about 57,600 t). About 2/3 of the catches come from surface fisheries (troll and pole-and-line) that harvest mainly juveniles, and the rest from longline fisheries.

The assessment was done using the “best model” approach. The working group concluded that the stock was not experiencing overfishing and was probably not overfished ([Figure F-2](#), [Table F-1](#)). The current depletion is 0.46 (SSB_{2018}/SSB_d , where SSB_d is the dynamic spawning stock biomass without fishing for 2018). The ratio of $SSB_{2018}/S_{MSY} = 3.01$. The relative current fishing mortality is $F_{2015-2017}/F_{50\%} = 1$, $F_{2015-2017}/F_{20\%} = 0.62$, $F_{2015-2017}/F_{MSY} = 0.60$ (Table 1). Ten years projections with either constant catch (average of 2013-2017, 69,000 t) or constant fishing mortality (at the $F_{2015-2017}$ level) predicted an increase in the female spawning biomass.

The current IATTC conservation and management measures for north Pacific albacore (Resolutions [C-05-02](#), [C-13-03](#) and [C-18-03](#)) are based on maintaining the fishing effort below the 2002-2004 levels. The effort levels in eastern Pacific Ocean for 2018-2020 were 63% and 65% of those in 2002-2004, for vessel-days and number of vessels respectively, and are showing a declining trend in the last 10 years ([Figure F-2](#)).

The Working Group finished a Management Strategy Evaluation (MSE) for the North Pacific albacore stock and presented the results to the stakeholders in regional workshops. The first round of the MSE was concluded and reported during the 4th ISC ALB MSE workshop in March 2019 ([ISC/19/ANNEX/06](#)). Several operating models were developed, and equal weights were assumed for all alternative operating models when evaluating the harvest control rules, HCRs. Additional work was conducted in a second round of the MSE, when mixed control rules were tested (under mixed control, longline fleets are subject to a total allowable catch, TAC, whereas surface fleets are managed with a total allowable effort, TAE) and the effect of a “ghost fleet” (a fleet with undeclared catch) was evaluated. The results of the MSE were included in a recorded presentation for the SAC-12 meeting ([SAC-12 INF-C](#), [SAC-12-INF-C presentation](#)) and were presented at the 2021 ISC plenary ([ISC](#)).

The following management objectives for the North Pacific albacore tuna were developed in the context of the MSE process and were adopted by the IATTC in 2020 (IATTC-95).

Overarching objective: maintain the viability and sustainability of the current NPALB stock and fisheries.

1. Maintain spawning biomass above the limit reference point
2. Maintain total biomass, with reasonable variability, around the historical average depletion of total biomass
3. Maintain harvest ratios by fishery (fraction of fishing impact with respect to SSB) at historical average
4. Maintain catches by fishery above average historical catch
5. If a change in total allowable effort and/or total allowable catch occurs, the rate of change should be relatively gradual
6. Maintain F at the target value with reasonable variability

The MSE process included input from managers and stakeholders and extensive simulation work. Candidate harvest control rules (HCRs) were suggested by managers and stakeholders. All HRCs are based on inputs from the assessment model and included target, limit, and threshold reference points, all based on dynamic quantities that take into consideration temporal variation in selectivity and recruitment. Based on the estimated status of the stock, the HRC specifies whether a management action to control fishing is needed. The management actions tested were mixed control or Total Allowable Catch (TAC). Under mixed control, surface fisheries (EPO troll and pole-and-line, and Japanese pole-and-line) are managed via effort control, while longline fisheries are managed via a TAC.

Sixteen HCRs were tested under several scenarios ranging from low to high productivity of the stock, of which four (which were deemed a good representation of the plausible mechanisms operating in the population) were retained to present the results. The performance of the HCRs under those scenarios was measured through indicators consisting of quantitative representations of the overall management objectives adopted for the fishery.

The main results of the MSE were ([ISC/21/ANNEX/11](#)):

- All HCRs were able to maintain the stock above the level considered undesirable (*i.e.*, above WCPFC's limit reference point (20% SSB₀), the IATTC limit reference point used for tropical tunas (7.7% SSB₀)), with more than 92% probability (for mixed controls) or 86% probability (for TAC control), even in the event of undeclared catches from an unknown fleet.
- For all HCRs, mixed control maintained higher and less variable stock biomass than TAC control as the catches of surface fleets under effort control responded quickly to changes in biomass and their catch levels were not impacted by assessment errors in biomass estimates. Mixed control performs better under all indicators in the scenario of low productivity than TAC controls.
- HCRs with the LRP and SSB_{threshold} reference points closer to the SSB associated with TRP resulted in a higher frequency of management interventions (that is, HCRs with 30% SSB₀ as threshold and $F_{50\%SSB}$ as target, and HCRs 20% SSB₀ as threshold and $F_{40\%SSB}$ as target).
- HCRs that used $F_{40\%SSB}$ as TRP produced more variable catches (but higher median catches) than HCRs that used $F_{50\%SSB}$ under TAC control.

In addition, the results of adding a ghost fleet showed that all HCRs succeeded in maintaining the stock at healthy levels, but the catches of the other fleets decreased to compensate for the increase in fishing mortality.

The next step in the MSE process is the adoption of a HCR by the Commission in coordination with the Western and Central Pacific Fisheries Commission taking into account the performance of the tested HCRs to fulfill the management objectives.

The staff will work with the ALBWG to complete the 2023 stock assessment of North Pacific albacore tuna.

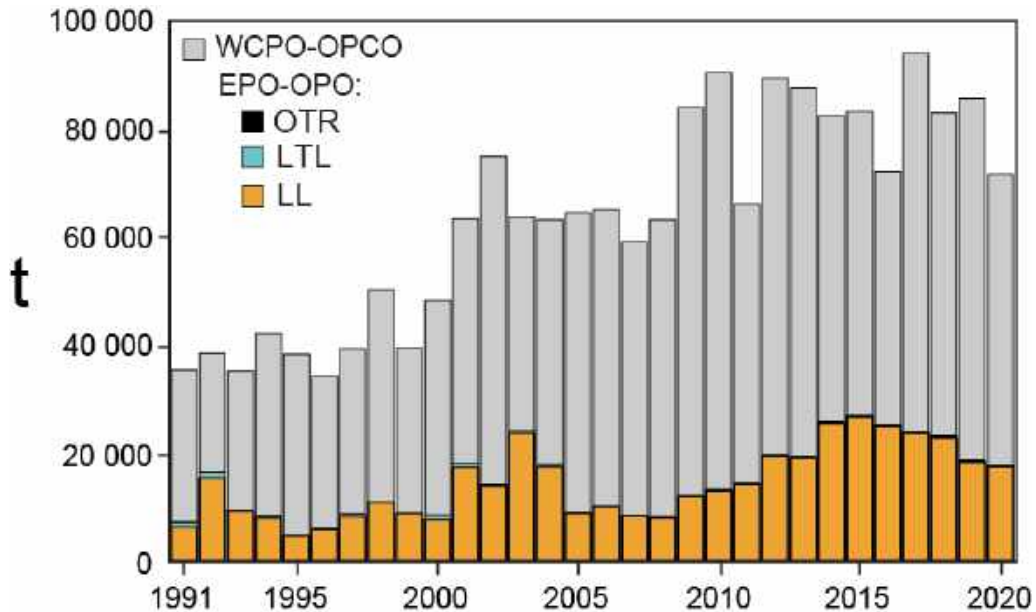


FIGURE F-1a. Retained catches of South Pacific albacore, by region. EPO catches broken down by gear: LL: longline; LTL: troll; OTR: other

FIGURA F-1a. Capturas retenidas de albacora del Pacífico sur, por región. Capturas del OPO desglosadas por arte: LL: palangre; LTL: curricán; OTR: otro.

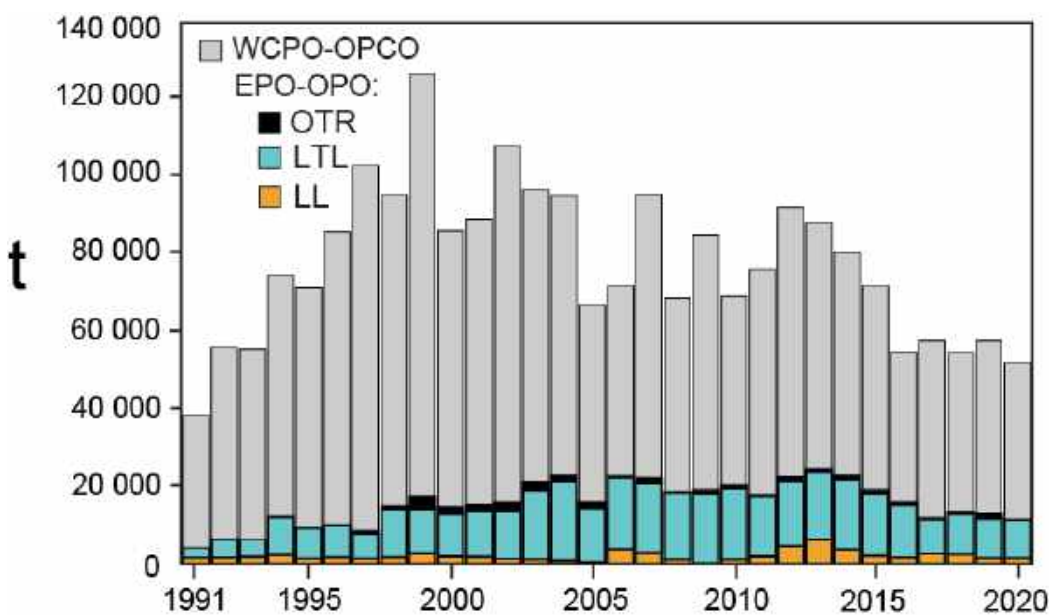


FIGURE F-1b. Retained catches of North Pacific albacore, by region. EPO catches broken down by gear: LL: longline; LTL: troll; OTR: other.

FIGURA F-1b. Capturas retenidas de albacora del Pacífico norte, por región. Capturas del OPO desglosadas por arte: LL: palangre; LTL: curricán; OTR: otro.

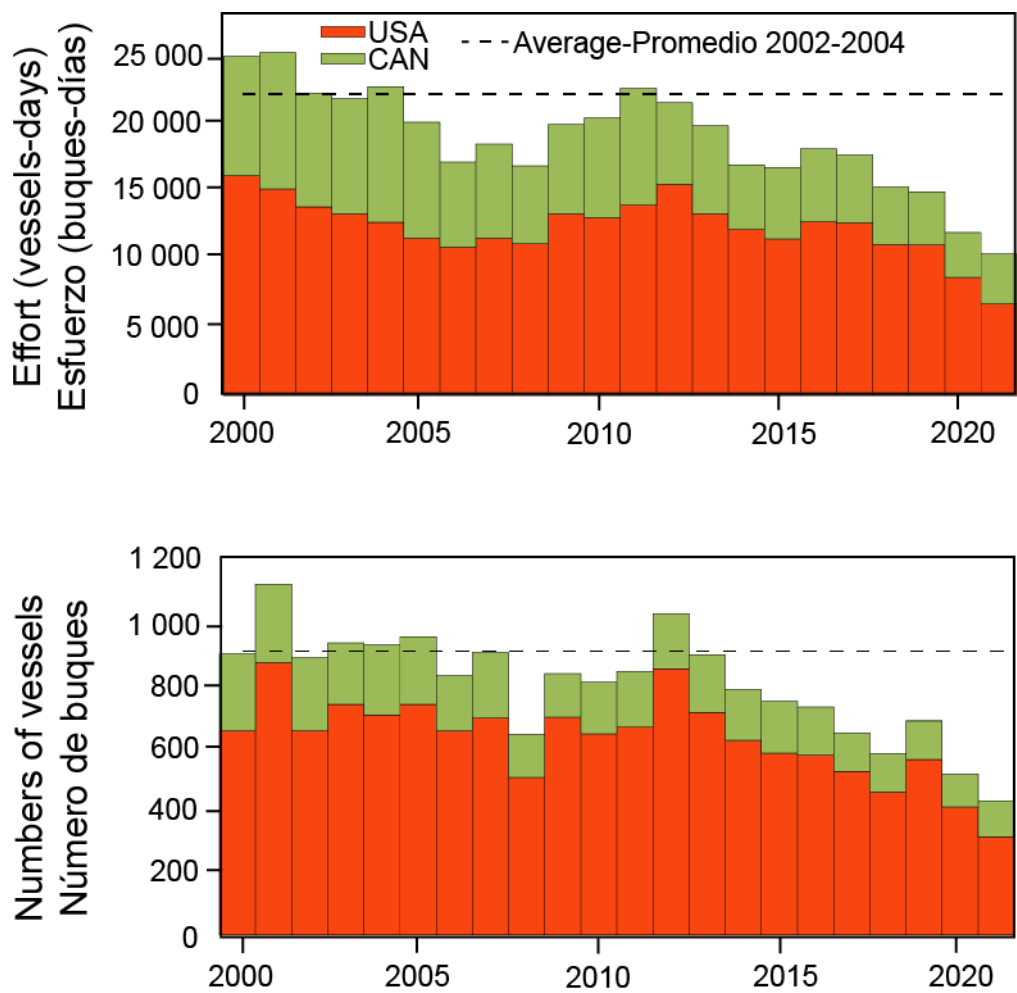


FIGURE F-2. Effort in vessel-days and number of vessels for the North Pacific albacore tuna in the eastern Pacific Ocean.

FIGURA F-2. Esfuerzo en días de buque y número de buques para el atún albacora del Pacífico norte en el Océano Pacífico oriental.

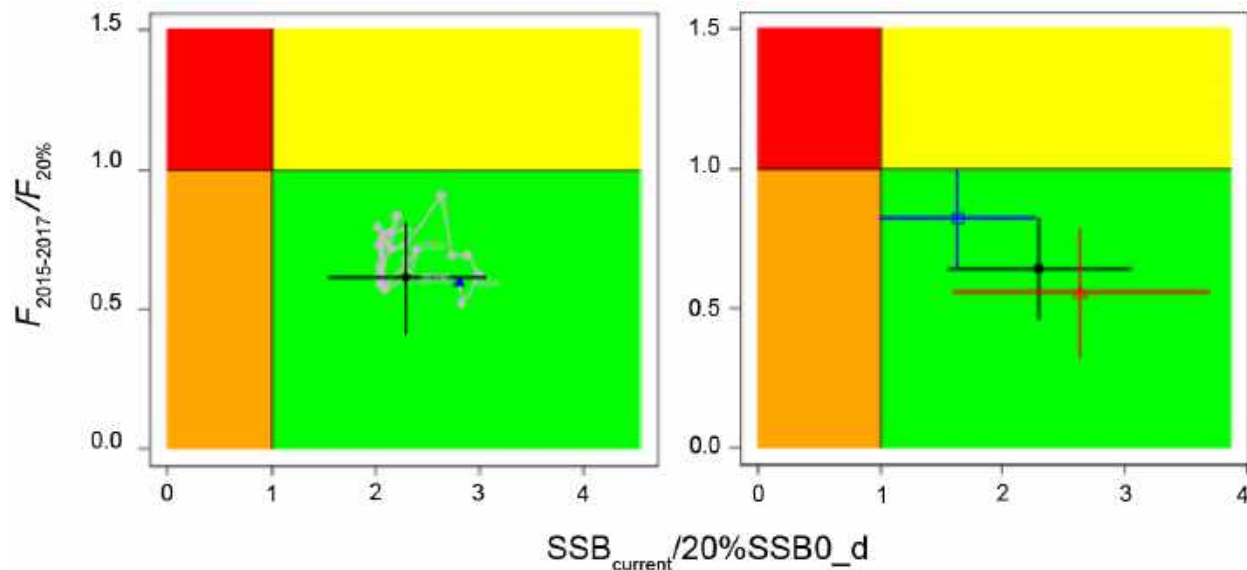


FIGURE F-3. Kobe plot showing the status of the north Pacific albacore (*Thunnus alalunga*) stock relative to the 20% of the dynamic spawning biomass with no fishing and corresponding fishing intensity (F20%), with 95% confidence intervals: (A) Base-case trajectory (start year, 1994, is a triangle and terminal year, 2018, is a circle). (B) Final year for base-case model (black), sensitivity model with different growth assumptions (blue), update of the 2017 model to 2020 data (red) ([SAC-11-INF-I](#)).

FIGURA F-3. Gráfica de Kobe que muestra la condición de la población de atún albacora del Pacífico norte (*Thunnus alalunga*) con respecto al 20% de la biomasa reproductora dinámica sin pesca y la intensidad de pesca correspondiente (F20%), con intervalos de confianza de 95%: (A) Trayectoria del caso base (el año de inicio, 1994, es un triángulo y el año terminal, 2018, es un círculo). (B) Año final para el modelo de caso base (negro), modelo de sensibilidad con diferentes supuestos de crecimiento (azul), actualización del modelo de 2017 a los datos de 2020 (rojo) ([SAC-11-INF-I](#)).

TABLE F-1. Estimates of maximum sustainable yield (MSY), female spawning biomass (SSB), and fishing intensity (F) based reference point ratios for north Pacific albacore tuna for: 1) the base case model; 2) sensitivity model with different growth assumptions; and 3) update of the 2017 model to 2020 data. 20%SSB₀_d is 20% of the dynamic female spawning biomass with no fishing.

TABLA F-1. Estimaciones del rendimiento máximo sostenible (RMS), la biomasa reproductora de las hembras (SSB) y la intensidad de pesca (F) basadas en los cocientes de puntos de referencia para el atún albacora del Pacífico norte para: 1) el modelo de caso base; 2) el modelo de sensibilidad con diferentes supuestos de crecimiento; y 3) la actualización del modelo de 2017 a los datos de 2020. 20%SSB₀_d es el 20% de la biomasa reproductora dinámica sin pesca.

MSY (t) ^A	102,236	84,385	113,522
SSB _{MSY} (t) ^B	19,535	16,404	21,431
SSB ₀ (t) ^B	136,833	113,331	152,301
SSB ₂₀₁₈ (t) ^B	58,858	34,872	77,077
SSB ₂₀₁₈ /20%SSB ₀ _d ^B	2.30	1.63	2.63
F ₂₀₁₅₋₂₀₁₇	0.50	0.64	0.43
F ₂₀₁₅₋₂₀₁₇ /F _{MSY}	0.60	0.77	0.52
F ₂₀₁₅₋₂₀₁₇ /F _{0.1}	0.57	0.75	0.49
F ₂₀₁₅₋₂₀₁₇ /F _{10%}	0.55	0.71	0.48
F ₂₀₁₅₋₂₀₁₇ /F _{20%}	0.62	0.80	0.54
F ₂₀₁₅₋₂₀₁₇ /F _{30%}	0.71	0.91	0.62
F ₂₀₁₅₋₂₀₁₇ /F _{40%}	0.83	1.06	0.72
F ₂₀₁₅₋₂₀₁₇ /F _{50%}	1.00	1.27	0.86

A – MSY includes male and female juvenile and adult fish

B – Spawning stock biomass (SSB) refers to mature female biomass only.

Source: [SAC-11-INF-1](#)

F. ATÚN ALBACORA

Hay dos poblaciones de atún albacora en el Océano Pacífico, una en el hemisferio norte y la otra en el hemisferio sur. La especie es capturada con palangre en la mayor parte del Pacífico Norte y Sur, pero rara vez entre aproximadamente 10°N y 5°S, con curricán en el Pacífico Norte y Sur oriental y central, y con caña en el Pacífico Norte occidental. En el Pacífico Norte, un 40% del pescado es capturado en las pesquerías de caña y curricán que capturan albacora más joven y pequeño, y un 50% con palangre. En el Pacífico Sur, casi toda la captura de albacora es tomada con palangre. Las capturas anuales totales de albacora del Pacífico sur oscilaron entre unas 25,000 y 50,000 t durante los años 1980 y 1990, pero aumentaron posteriormente, y alcanzaron un máximo de unas 94,500 t en 2017, disminuyendo ligeramente después. Durante 2018-2020, las capturas de albacora en el Pacífico sur fueron en promedio unas 80,500 t ([Figura F-1a](#)), el 25% del cual provino del Océano Pacífico oriental (OPO), una disminución de unas 6,500 t respecto al promedio de 2017-2019. Las capturas totales anuales de albacora del Pacífico Norte alcanzaron su nivel máximo de más de 125,000 t anuales en 1976, disminuyeron a unas 38,000 t en 1991, y luego aumentaron a unas 126,000 t en 1999 ([Figura F-1b](#)). Disminuyeron de nuevo a principios de los años 2000 y luego se recuperaron. Desde 2012 las capturas han disminuido en promedio 5% por año de unas 92,000 a unas 52,000 t en 2020. Las capturas tuvieron un promedio de aproximadamente 54,500 t durante 2018-2020, 23% de lo cual fue capturado en el OPO. Estas disminuciones de las capturas coinciden con la disminución del esfuerzo en el OPO norte ([Figura F-2](#)).

El atún albacora juvenil y adulto es capturado principalmente en la Corriente de Kuroshio, la Zona de Transición del Pacífico Norte, y la Corriente de California en el Pacífico norte y en la Zona de Convergencia Subtropical en el Pacífico sur, pero el desove ocurre en aguas tropicales y subtropicales, y se centra en los paralelos de 20°N y 20°S. Se cree que el albacora del Pacífico Norte desova entre marzo y julio en el Pacífico occidental y central.

Los desplazamientos del albacora del Pacífico Norte son fuertemente afectados por las condiciones oceánicas, y los migrantes suelen estar concentrados en frentes oceánicos en la Zona de Transición del Pacífico Norte. La mayoría de las capturas tienen lugar en aguas de entre aproximadamente 15° y 19.5°C. No quedan claros los detalles de la migración, pero se cree que peces juveniles (de entre 2 y 5 años de edad) se trasladan al Océano Pacífico oriental (OPO) en la primavera y a principios del verano, y vuelven al Pacífico occidental y central, tal vez anualmente, a fines de otoño y en el invierno, donde suelen permanecer cuando maduran. Este patrón podría ser complicado por desplazamientos por sexo de peces adultos grandes (talla furcal (TF) >125 cm), que son predominantemente machos, a zonas al sur de 20°N. La importancia de estos desplazamientos para la dinámica demográfica de esta población es incierta.

Se sabe menos acerca de los desplazamientos de albacora en el Pacífico sur. Los juveniles se desplazan de los trópicos hacia el sur cuando miden unos 35 cm, y luego hacia el este por la Zona de Convergencia Subtropical hasta aproximadamente 130°O. Poco antes de alcanzar la madurez vuelven a aguas tropicales, donde desovan. Marcas fijadas en peces liberados al este de 155°O fueron recuperadas generalmente en lugares al este y norte del punto de liberación, mientras que aquéllas fijadas al oeste de 155°O fueron recuperadas generalmente en lugares al oeste y norte del punto de liberación.

Las evaluaciones más recientes de las poblaciones de albacora del Pacífico sur y norte datan de 2021 y 2020, respectivamente. Las evaluaciones indican que no es probable que ninguna de las dos poblaciones esté sobre pescada o que esté ocurriendo sobre pesca.

Albacora del Pacífico sur

En colaboración con la CIAT, la Comunidad del Pacífico (SPC) realizó [una evaluación de referencia](#) del atún albacora del Pacífico sur en 2021. Dicha evaluación se basa en un modelo de evaluación espacialmente explícito en el que se considera el OPO sur como una sola área debido a la falta de datos de marcado. Se exploraron varios ejes de las incertidumbres estructurales en esta evaluación de referencia, incluyendo la inclinación, el desplazamiento, la ponderación de los datos de talla, la distribución del reclutamiento, y la

combinación de crecimiento y mortalidad natural. La grilla de incertidumbre estructural final para esta evaluación consistió en 72 modelos. Los resultados sugieren que el escenario de desplazamiento (marcado vs. tasas de desplazamiento informadas por SEAPODYM) es la principal fuente de incertidumbre entre esos ejes de incertidumbre. Sobre la base de la grilla ponderada de los 72 modelos, los puntos de referencia estimados para el atún albacora en el Pacífico sur son:

- El valor mediano de la reducción relativa de la biomasa reproductora reciente (2016-2019) ($SB_{2016-2019}/SB_{F=0}$) fue de 0.52 con un intervalo de percentil 10º a 90º de 0.41 a 0.57.
- Hubo una probabilidad de 0% (0 de 72 modelos) de que la biomasa reproductora reciente (2016-2019) hubiera traspasado el punto de referencia límite (0.2) adoptado por la WCPFC.
- La mediana de la mortalidad por pesca relativa reciente como razón de la correspondiente al RMS ($F_{2015-2018}/F_{RMS}$) fue de 0.24 con un intervalo de percentil 10º a 90º de 0.15 a 0.37.
- Hubo una probabilidad de 0% (0 de 72 modelos) de que la mortalidad por pesca reciente (2015-2018) fuera superior a F_{RMS} .

En resumen, la evaluación de referencia sugiere que la población de atún albacora del Pacífico sur está saludable y que la mortalidad por pesca reciente es mucho más baja que la mortalidad por pesca en RMS. Sin embargo, cabe señalar que se estimó que la biomasa reproductora del atún albacora del Pacífico sur ha disminuido considerablemente desde 2017 debido probablemente al continuo aumento de la cantidad de capturas palangreras en los últimos años (ver [SAC-13-03](#)). Para el atún albacora en el OPO sur, se estima que el cociente de biomasa reproductora (la biomasa reproductora dividida por la biomasa reproductora sin pesca) ha disminuido de más de 0.9 en 1960 a menos de 0.5 en 2019.

El personal continuará colaborando con la Comunidad del Pacífico (SPC) para monitorear la condición de la población de atún albacora del Pacífico sur utilizando indicadores de condición de población y realizando otra evaluación de referencia en 3-4 años.

Albacora del Pacífico norte

El Grupo de Trabajo sobre albacora (ALBWG) del Comité Científico Internacional sobre los Atunes y Especies Afines en el Océano Pacífico Norte (ISC) completó la última evaluación de la población de atún albacora del Pacífico norte en 2020 ([ISC/20/Annex/12, SAC-11-INF-I](#)). Está previsto realizar una nueva evaluación en 2023. La población de atún albacora del Pacífico norte ha sido explotada durante mucho tiempo, las capturas fueron máximas en 1976 (unas 127,000 toneladas) y mínimas en 1991 (unas 37,000 toneladas). Durante el periodo de evaluación (1994-2018), las capturas más elevadas fueron las de 1999 (unas 119,000 t) y las más bajas las de 2018 (unas 57,600 t). Alrededor de 2/3 de las capturas proceden de pesquerías de superficie (curricán y caña) que capturan principalmente juveniles, y el resto de pesquerías palangreras.

La evaluación se realizó utilizando el enfoque de "mejor modelo". El grupo de trabajo llegó a la conclusión de que la población no estaba experimentando sobrepesca y probablemente no estaba sobreexplicada ([Figura F-2, Tabla F-1](#)). La reducción actual es de 0.46 (SSB_{2018}/SSB_d , donde SSB_d es la biomasa dinámica de la población reproductora sin pesca para 2018. La razón de $SSB_{2018}/S_{RMS} = 3.01$). La mortalidad por pesca relativa actual es $F_{2015-2017}/F_{50\%} = 1$, $F_{2015-2017}/F_{20\%} = 0.62$, $F_{2015-2017}/F_{RMS} = 0.60$ ([Tabla 1](#)). Las proyecciones a diez años con una captura constante (promedio de 2013-2017, 69,000 t) o una mortalidad por pesca constante (al nivel de F2015-2017) predijeron un aumento de la biomasa reproductora de las hembras.

Las actuales medidas de conservación y ordenación de la CIAT para el atún albacora del Pacífico norte (resoluciones [C-05-02](#), [C-13-03](#) y [C-18-03](#)) se basan en mantener el esfuerzo de pesca por debajo de los niveles de 2002-2004. Los niveles de esfuerzo en el Océano Pacífico oriental para 2018-2020 fueron el

63% y el 65% de los de 2002-2004, para días de buque y número de buques, respectivamente, y muestran una tendencia decreciente en los últimos 10 años ([Figura F-2](#)).

El Grupo de Trabajo concluyó una evaluación de estrategias de ordenación (EEO) para la población de albacora del Pacífico norte y presentó los resultados a las partes interesadas en talleres regionales. La primera ronda de EEO concluyó y se informó al respecto durante el 4º taller del ISC sobre EEO del albacora en marzo de 2019 ([ISC/19/ANNEX/06](#)). Se desarrollaron varios modelos operativos y se supusieron los mismos pesos para todos los modelos operativos alternativos al evaluar las Reglas de Control de Extracción (RCE). Se llevó a cabo trabajo adicional en una segunda ronda de EEO en la que se probaron reglas de control mixto (bajo control mixto, las flotas de palangre están sujetas a una captura total permisible, CTP, mientras que las flotas de superficie se gestionan con un esfuerzo total permisible, ETP) y se evaluó el efecto de una "flota fantasma" (una flota con capturas no declaradas). Los resultados de la EEO se incluyeron en una presentación grabada para la reunión del SAC-12 ([SAC-12 INF-C, presentación SAC-12-INF-C](#)) y fueron presentados en la sesión plenaria del ISC de 2021 ([ISC](#)).

Los siguientes objetivos de ordenación para el atún albacora del Pacífico norte fueron desarrollados en el contexto del proceso de EEO y fueron adoptadas por la CIAT en 2020 (IATTC-95):

Objetivo general: mantener la viabilidad y sostenibilidad de la población y las pesquerías actuales del atún albacora del Pacífico norte.

1. Mantener la biomasa reproductora por encima del punto de referencia límite
2. Mantener la biomasa total, con una variabilidad razonable, alrededor del promedio histórico de reducción de la biomasa total
3. Mantener las tasas de extracción por pesquería (fracción del impacto de la pesca con respecto a la SSB) en el promedio histórico
4. Mantener las capturas por pesquería por encima de la captura promedio histórica
5. Si se produce un cambio en el esfuerzo total permisible y/o en la captura total permisible, la velocidad del cambio debería ser relativamente gradual
6. Mantener F en el valor objetivo con una variabilidad razonable

El proceso de EEO incluyó aportaciones de gestores y partes interesadas y un amplio trabajo de simulación. Los gestores y las partes interesadas propusieron reglas de control de extracción (RCE) candidatas. Todas las RCE se basan en insumos del modelo de evaluación e incluían puntos de referencia objetivo, límite y umbral, todos ellos basados en cantidades dinámicas que toman en cuenta la variación temporal en la selectividad y el reclutamiento. En función de la condición estimada de la población, la RCE especifica si es necesaria una acción de ordenación para controlar la intensidad de pesca. Las medidas de ordenación probadas fueron control mixto o Captura Total Permisible (CTP). Bajo control mixto, las pesquerías de superficie (de curricán y caña del OPO, y de caña de Japón) se gestionan mediante el control del esfuerzo, mientras que las pesquerías de palangre se gestionan mediante una CTP.

Se probaron 16 RCE bajo varios escenarios que iban de una productividad baja a una productividad alta de la población, de los cuales se retuvieron cuatro (que se consideraron una buena representación de los mecanismos plausibles que operan en la población) para presentar los resultados. El desempeño de las RCE bajo esos escenarios se midió a través de indicadores que consistían en representaciones cuantitativas de los objetivos generales de ordenación adoptados para la pesquería.

Los resultados principales de la EEO fueron los siguientes ([ISC/21/ANNEX/11](#)):

- Todas las RCE pudieron mantener la población por encima del nivel considerado indeseable (es decir, por encima del punto de referencia límite de la WCPFC (20% SSB0), el punto de referencia

límite de la CIAT utilizado para los atunes tropicales (7.7% SSBO)), con más de un 92% de probabilidad (para controles mixtos) o un 86% de probabilidad (para el control de CTP), incluso en caso de capturas no declaradas de flotas desconocidas.

- Para todas las RCE, el control mixto mantuvo una biomasa de la población más alta y menos variable que el control de CTP, ya que las capturas de las flotas de superficie bajo el control del esfuerzo respondieron rápidamente a los cambios en la biomasa y sus niveles de captura no se vieron afectados por los errores de evaluación en las estimaciones de biomasa. El control mixto tiene un mejor desempeño bajo todos los indicadores en el escenario de baja productividad que el control de CTP.
- Las RCE con los puntos de referencia PRL y SSB_{umbral} más cercanos a la SSBO asociada al PRO dieron lugar a una mayor frecuencia de intervenciones de ordenación (es decir, RCE con 30% de SSBO como umbral y $F_{50\%SSB}$ como objetivo, y RCE de 20% de SSBO como umbral y $F_{40\%SSB}$ como objetivo).
- Las RCE que usaron $F_{40\%SSB}$ como PRO produjeron capturas más variables (pero capturas medianas más altas) que las RCE que usaron $F_{50\%SSB}$ con control de CTP.

Además, los resultados de la adición de una flota fantasma mostraron que todas las RCE lograron mantener la población en niveles saludables, pero las capturas de las otras flotas disminuyeron para compensar el aumento de la mortalidad por pesca.

El siguiente paso en el proceso de EEO es la adopción de una RCE por parte de la Comisión, en coordinación con la Comisión de Pesca del Pacífico Occidental y Central (WCPFC), teniendo en cuenta el desempeño de las RCE probadas para cumplir los objetivos de ordenación.

El personal trabajará con el ALBWG para completar la evaluación del atún albacora del Pacífico norte en 2023.

G. SWORDFISH

Swordfish (*Xiphias gladius*) occur throughout the Pacific Ocean (PO) between about 50°N and 50°S. In the Eastern Pacific Ocean (EPO), they are caught mostly by the longline fishery—about 80% of the catch in weight on average in recent years —by distant water fleets of Far East and Western Hemisphere nations. Lesser amounts are taken by drifting gillnets (~20%), mainly in South America, and minimal amounts by other gillnets and harpoon. They are seldom caught in the recreational fishery in the EPO.

Swordfish grow in length very rapidly, with both males and the faster-growing females reaching lower-jaw-fork lengths of more than a meter during their first year. Swordfish begin reaching maturity at about two years of age, when they are about 150 to 170 cm in length, and by age four all are mature. They probably spawn more than once per season. For fish greater than 170 cm in length, the proportion of females increases with increasing length.

Swordfish tend to inhabit waters further below the surface during the day than at night, and they tend to inhabit current frontal zones. Several of these fronts occur in the eastern Pacific Ocean (EPO), including areas off California and Baja California, off Ecuador, Peru, and Chile, and in the equatorial Pacific. Swordfish tolerate temperatures of about 5° to 27°C, but their preferred range is about 18° to 22°C, while larvae have been found only at temperatures exceeding 24°C.

There is strong evidence that swordfish in the Pacific comprise multiple stocks. Several specific spawning regions are known, and analyses of fisheries, tagging and genetic data suggest that there is only limited exchange of swordfish between geographical areas, including between the eastern and western, and the northern and southern, Pacific Ocean. As many as six stocks may exist in the Pacific Ocean, but the exact boundaries of these stocks, as well as their exchange rates—for the purposes of stock assessment—is currently uncertain. In the early 2000's, the IATTC produced [indicators for swordfish](#) in five areas of the EPO: two areas north of 10°N, separated at 125°W, a central area between 10°N and 5°S, and two areas south of 5°S, separated at 90°W.

In 2020, the IATTC staff hosted the [1st Technical Workshop on Swordfish in the South EPO \(SWO-01\)](#)—in a virtual format—in preparation for the 2021 IATTC stock assessment. The latest information on stock structure was reviewed, and a plan for exploring the stock structure uncertainty was established. The area north of 5°S and south of 10°N will be explored in the South EPO assessment, which includes the area south of 5°S that defined the stock boundary in the previous assessment ([SAC-02-09](#)). The IATTC staff proposed to the ISC Billfish working group that the area north of 10°N be included in the next North Pacific swordfish assessment ([ISC/21/BILLWG-01](#)), in light of recent tagging information presented during [SWO-01](#) on the movement of swordfish across the current assumed stock boundary for the North Pacific swordfish stock—a diagonal line from the tropics in the Central Pacific to the Northern coast of Mexico, stock area 1 in Figure S1 of [ISC/18/ANNEX/16](#)). The ISC Billfish working group accepted the proposal and plans to assess the North Pacific stock in 2022. The IATTC staff plans to host additional workshops during 2021 to conclude the South EPO assessment in collaboration with the main CPCs.

A [sex-specific age-structured stock assessment](#) of swordfish in the Pacific Ocean north of the equator (from 2007) indicated that, at the level of fishing effort in 2002, there was negligible risk of the spawning biomass decreasing to less than 40% of its unfished level. In a partially overlapping region, the results of a North Pacific swordfish stock assessment completed in 2019 using data through 2016 ([ISC/18/ANNEX/16](#)) indicated that stock biomass was 87% above SSB_{MSY} and fishing mortality was 45% below F_{MSY}, indicating that the stock is not overfished and overfishing is not occurring at current levels of fishing effort.

For the South PO, three assessments are noteworthy, with partially overlapping boundaries. In 2017, the Secretariat of the Pacific Community (SPC) undertook an assessment of the southern hemisphere swordfish stock. The assumed stock included the entire western and central Pacific Ocean and, in the EPO, extended

southward from 4°S and eastward to 130°W ([SC13-SA-WP-13](#)), which is the overlapping area between the IATTC and the WCPFC jurisdictions. Considerable catch of swordfish east of 130°W, was not part of that assessment. In 2010, an exploratory stock assessment of swordfish for the Chilean EEZ was undertaken which integrated partial information from distant water fleets ([IFOP 2010](#)). In 2011, the IATTC performed a south EPO assessment of the area south of 5°S ([SAC-02-09](#)), which is the most recent assessment done by the IATTC in the south EPO. The key results from that assessment—conducted using Stock Synthesis—were that (1) the swordfish stock in the South EPO was not experiencing overfishing and was not overfished; and (2) the spawning biomass ratio was about 1.45, indicating that the spawning biomass was about 50% above the virgin spawning biomass, and substantially above the level expected to produce catch at the MSY level. There was no indication of a significant impact of fishing on this stock. The results of the assessment did suggest an expansion of the fishery to components of the stock that were previously not, or only lightly, exploited.

The total annual longline fishing effort for the main longline fleets in the north EPO increased from about 25 million hooks in 2007 to about 50 million hooks in 2013 and is about 43 million hooks in 2016–2020 ([Figure G-1](#)). The last five-year average remains significantly below the 2001–2003 average of 63 million hooks. Based on the latest stock assessment for part of the north EPO, and the long period of relatively stable catches that have average 3,553 mt over the past 10 years ([Figure G-2](#)), swordfish are probably not overfished, and overfishing is most likely not occurring in the North EPO.

The total annual longline fishing effort for the main longline fleets in the south EPO in the last 30 years was 210 million hooks in 1991 and declined steadily to about half that in 1999, increasing again to an average of 184 million hooks in 2001–2004, decreasing to about 89 million hooks in 2008. In the past 5 years, the total effort has been relatively stable, averaging 155 million hooks (2016–2020) ([Figure G-3](#)). In the South EPO, catches have been steadily increasing since about 2006, reaching a peak catch of 29,869 mt in 2016, after which catches declined slightly to 23,710 mt in 2020. Nonetheless, the average annual catch over the past 5 years (during 2015–2019) was 25,718 mt, which is in the vicinity of the estimated MSY (~25,000 t) for the area south of 5°S ([Figure G-4](#)).

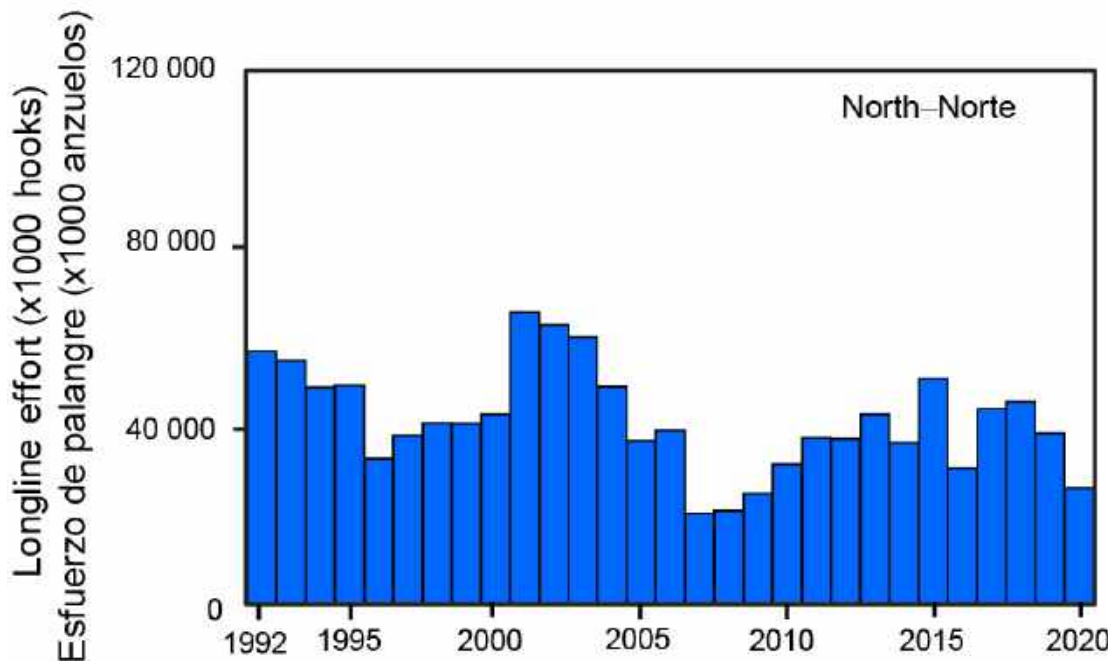


FIGURE G-1. Longline fishing effort (in millions of hooks) in the North EPO for the main longline fleets for 1992–2020 ([Table A-9](#)).

FIGURA G-1. Esfuerzo de pesca de palangre (en millones de anzuelos) en el OPO Norte para las principales flotas palangreras para 1992–2020 ([Tabla A-9](#)).

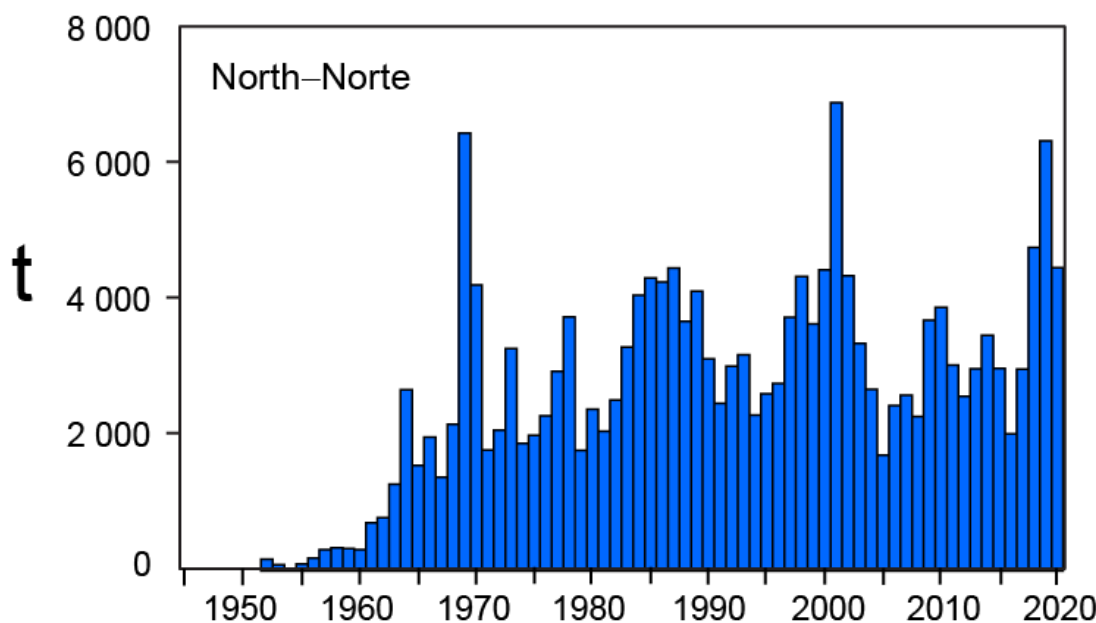


FIGURE G-2. Retained catches of swordfish in the North EPO for 1945–2020.

FIGURA G-2. Capturas retenidas de pez espada en el OPO Norte para 1945–2020.

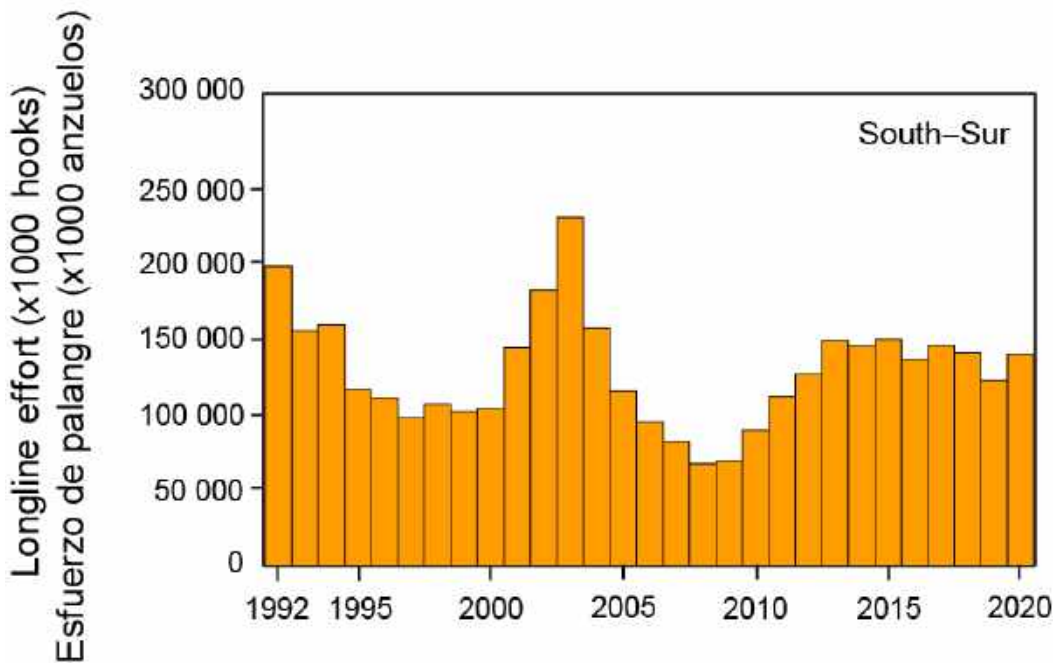


FIGURE G-3. Longline fishing effort (in millions of hooks) in the South EPO for the main longline fleets for 1992–2020 ([Table A-9](#)).

FIGURA G-3. Esfuerzo de pesca de palangre (en millones de anzuelos) en el OPO Sur para las principales flotas palangreras para 1992–2020 ([Tabla A-9](#)).

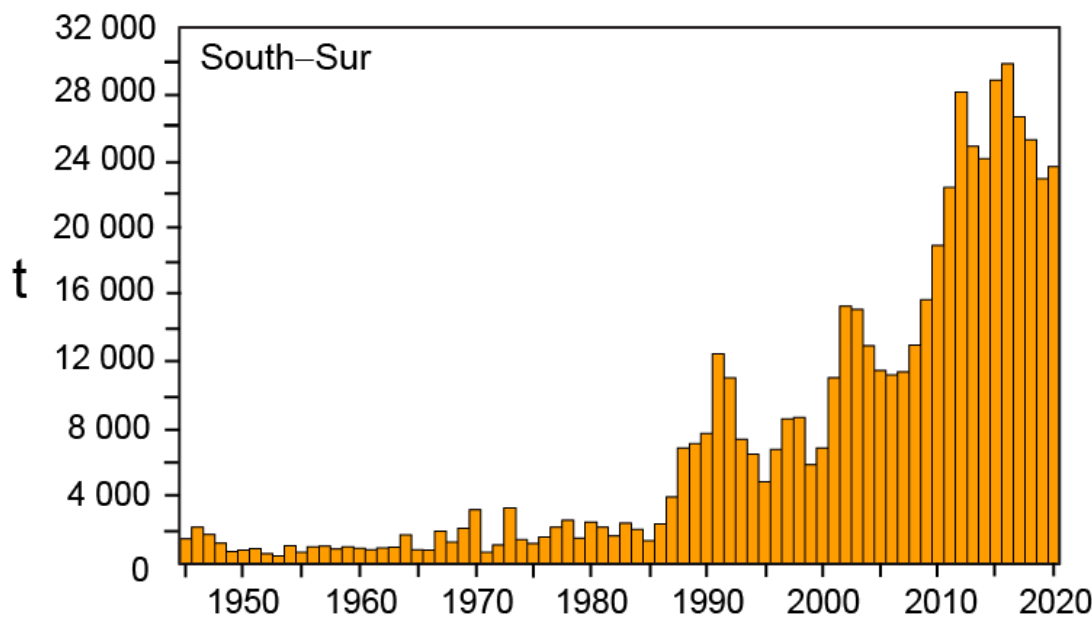


FIGURE G-4. Retained catches of swordfish in the South EPO for 1945–2020.

FIGURA G-4. Capturas retenidas de pez espada en el OPO Sur para 1945–2020.

G. PEZ ESPADA

El pez espada (*Xiphias gladius*) habita todo el Océano Pacífico (OP) entre aproximadamente 50°N y 50°S. En el Océano Pacífico oriental (OPO), es capturado principalmente por la pesquería palangrera (alrededor de 80% de la captura en peso en promedio en los últimos años) por flotas de aguas lejanas de países del Lejano Oriente y del hemisferio occidental. Las redes agalleras a la deriva capturan cantidades menores (~20%), principalmente en Sudamérica, y cantidades mínimas por otras redes agalleras y arpones. Es rara vez capturado en la pesca recreacional en el OPO.

El pez espada crece en talla muy rápidamente, y tanto los machos como las hembras, que crecen más rápidamente, alcanzan tallas de mandíbula inferior a furca caudal de más de un metro durante su primer año. Comienza a alcanzar la madurez alrededor de los dos años de edad, cuando mide unos 150 a 170 cm de talla, y se considera que a los cuatro años de edad todos son maduros. Es probable que desove más de una vez por temporada. En el caso de peces de más de 170 cm, la proporción de hembras aumenta con el aumento en la talla.

El pez espada suele permanecer a mayor profundidad de día que de noche, y vivir en zonas frontales, de las que hay varias en el Océano Pacífico oriental (OPO), entre ellas zonas frente a California y Baja California, frente a Ecuador, Perú, y Chile, y en el Pacífico ecuatorial. Tolera temperaturas de entre unos 5° y 27°C, pero su gama preferida es de 18° a 22°C, mientras que se han encontrado larvas únicamente a temperaturas de más de 24°C.

Existen pruebas sólidas de que el pez espada en el Pacífico comprende múltiples poblaciones. Se sabe de varias regiones específicas de desove, y los análisis de los datos de pesca, de marcado y genéticos sugieren que ocurre un intercambio de peces espada tan sólo limitado entre zonas geográficas, inclusive entre el Océano Pacífico oriental y occidental, y norte y sur. Es posible que existan hasta seis poblaciones en el Océano Pacífico, pero los límites exactos de esas poblaciones, así como sus tasas de cambio (para los fines de la evaluación), son actualmente inciertos. A principios de la década de 2000, la CIAT produjo [indicadores para el pez espada](#), en cinco áreas del OPO: dos áreas al norte de 10°N, separadas en 125°O, un área central entre 10°N y 5°S, y dos áreas al sur de 5°S, separadas en 90°O.

En 2020, el personal de la CIAT organizó el [1^{er} Taller Técnico sobre el Pez Espada en el OPO Sur \(SWO-01\)](#), en formato virtual, en preparación para la evaluación de la CIAT en 2021. Se revisó la información más reciente sobre la estructura de la población, y se estableció un plan para explorar su incertidumbre. El área al norte de 5°S y al sur de 10°N será explorada en la evaluación del OPO sur, que incluye el área al sur de 5°S que definió el límite de la población en la evaluación anterior ([SAC-02-09](#)). El personal de la CIAT propuso al Grupo de Trabajo sobre Peces Picudos del ISC que se incluyera el área al norte de 10°N en la próxima evaluación del pez espada del Pacífico norte ([ISC/21/BILLWG-01](#)), a la luz de la información de marcado reciente presentada durante [SWO-01](#) sobre el desplazamiento de peces espada a través del límite supuesto actualmente para la población de pez espada del Pacífico norte: una línea diagonal desde los trópicos en el Pacífico central hasta la costa norte de México, área 1 en la Figura S1 de [ISC/18/ANNEX/16](#)). El Grupo de Trabajo sobre Peces Picudos del ISC aceptó la propuesta y planea evaluar la población del Pacífico norte en 2022. El personal de la CIAT planea organizar talleres adicionales durante 2021 para concluir la evaluación del OPO sur en colaboración con los CPC principales.

Una [evaluación por sexo y por edad](#) del pez espada en el Océano Pacífico al norte de la línea ecuatorial, realizada en 2007, indicó que, al nivel de esfuerzo de pesca en 2002, existía un riesgo insignificante de que la biomasa reproductora disminuyera a menos del 40% de su nivel sin pesca. En una región parcialmente traslapada, los resultados de una evaluación del pez espada del Pacífico norte completada en 2019 utilizando datos de hasta 2016 ([ISC/18/ANNEX/16](#)) indicaron que la biomasa de la población estaba 87% por encima de SSB_{RMS} y la mortalidad por pesca estaba 45% por debajo de la F_{RMS} , lo que indica que la población no está sobreexplotada y que no hay sobrepesca con los niveles actuales de esfuerzo de pesca.

En el caso del OP sur, destacan tres evaluaciones, con límites parcialmente traslapados. En 2017, la Secretaría de la Comunidad del Pacífico (SPC) realizó una evaluación de la población de pez espada del hemisferio sur. La población supuesta incluía todo el Océano Pacífico occidental y central y, en el OPO, se extendía hacia el sur desde 4°S y hacia el este hasta 130°O ([SC13-SA-WP-13](#)), que es el área de traslape entre las jurisdicciones de la CIAT y la WCPFC. La captura considerable de pez espada al este de 130°O no formó parte de esa evaluación. En 2010 se realizó una evaluación exploratoria del pez espada en la ZEE de Chile, que integró información parcial de las flotas de aguas lejanas ([IFOP 2010](#)). En 2011, la CIAT realizó una evaluación del OPO al sur de 5°S ([SAC-02-09](#)), que es la evaluación más reciente realizada por la CIAT en el OPO sur. Los resultados clave de esa evaluación realizada con *Stock Synthesis* fueron que (1) la población del pez espada en el OPO Sur no estaba padeciendo sobre pesca y no se encontraba sobre pescada; y (2) el cociente de biomasa reproductora era aproximadamente 1.45, lo cual indica que la biomasa reproductora estaba un 50% por encima de la biomasa reproductora virgen, y sustancialmente por encima del nivel que se espera produciría una captura al nivel de RMS. No existe ninguna indicación de un impacto significativo de la pesca sobre esta población. Los resultados de la evaluación no sugirieron una expansión de la pesquería a componentes de la población que previamente no se explotaban, o se explotaban tan sólo ligeramente.

En el OPO norte, el esfuerzo de pesca de palangre anual total para las principales flotas palangreras aumentó de unos 25 millones de anzuelos en 2007 a unos 50 millones de anzuelos en 2013 y es de alrededor de 43 millones de anzuelos en 2016-2020 ([Figura G-1](#)). El promedio de los últimos cinco años continúa siendo significativamente inferior al promedio de 2001-2003 de 63 millones de anzuelos. Con base en la evaluación más reciente para parte del OPO norte, y el largo periodo de capturas relativamente estables que han promediado 3,553 t en los últimos 10 años ([Figura G-2](#)), es probable que el pez espada no esté sobre pescado y es muy probable que no esté ocurriendo sobre pesca en el OPO norte.

El esfuerzo de pesca de palangre anual total para las principales flotas palangreras en el OPO sur en los últimos 30 años 210 millones de anzuelos en 1991 y disminuyó constantemente hasta aproximadamente la mitad en 1999, y volvió a aumentar hasta un promedio de 184 millones de anzuelos en 2001-2004, disminuyendo a unos 89 millones de anzuelos en 2008. En los últimos cinco años, el esfuerzo total se ha mantenido relativamente estable, con un promedio de 155 millones de anzuelos (2016-2020) ([Figura G-3](#)). En el OPO sur, las capturas han ido aumentando constantemente desde aproximadamente 2006, hasta alcanzar un pico de 29,869 t en 2016, tras lo cual las capturas disminuyeron a 23,710 t en 2020. No obstante, la captura promedio anual en los últimos cinco años (durante 2015-2019) fue de 25,718 t, que se encuentra cerca del RMS estimado (~25,000 t) para el área al sur de 5°S ([Figura G-4](#)).

H. BLUE MARLIN

The best information currently available indicates that blue marlin constitutes a single world-wide species (*Makaira nigricans*) and a single stock in the Pacific Ocean. For this reason, statistics on catches (Figure H-1) are compiled, and analyses of stock status are made, for the entire Pacific Ocean.

Blue marlin are taken mostly in longline fisheries for tunas and billfishes between about 30°N and 30°S. Lesser amounts are taken by recreational fisheries and by various other commercial fisheries, such as purse-seine.

Small numbers of blue marlin have been tagged with conventional dart tags, by researchers. In contrast, over 50,000 blue marlin have been tagged by recreational fishers among the world's five largest volunteer gamefish tagging programs, with over 600 fish being recaptured. While a small number of tagged fish have been recaptured long distances from their release locations (4,000–15,000 km), the majority of tagged fish have been recaptured less than 1000 km from their release location, despite being at liberty for over 3 years. Blue marlin have been tagged in studies of post-release survival and movement, mostly in the Gulf of Mexico and the Atlantic Ocean, using electronic pop-up satellite tags (PSATs) that collected data over periods of about 30–180 days. A number of similar studies are currently being undertaken in the Pacific Ocean as part of the International Gamefish Association's "Great Marlin Race" tagging program.

Blue marlin usually inhabit regions where the sea-surface temperatures (SSTs) are greater than 24°C, and spend about 90% of their time at depths with temperatures within 1° to 2° of the SSTs.

The most recent full assessment of the status and trends of the species was conducted in 2021, which included data through 2019. It indicated that blue marlin in the Pacific Ocean currently has a stock biomass that is 17% above SSB_{MSY}, while fishing mortality is 50% of F_{MSY}, and is therefore neither overfished nor subject to overfishing. Over the past seven years (2014–2020), however, annual catches increased in the EPO, averaging 3,994 t, indicating that catches may currently be in the vicinity of MSY.

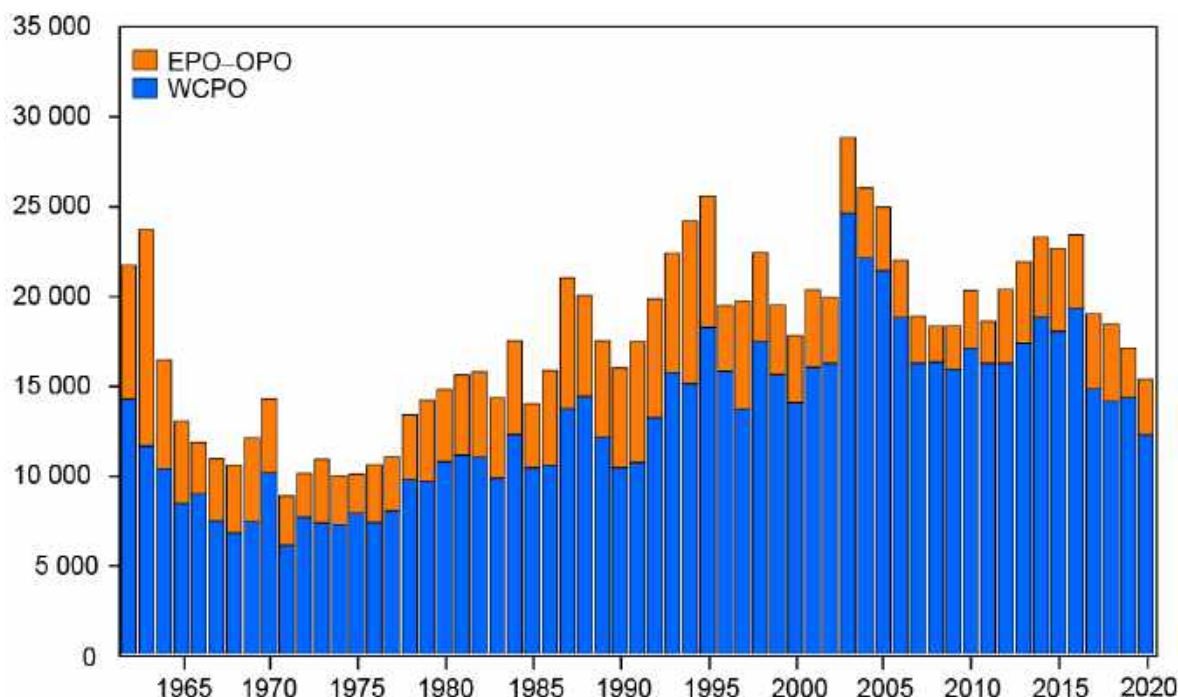


FIGURE H-1. Retained catches of blue marlin in the Pacific Ocean, by region.

FIGURA H-1. Capturas retenidas de marlín azul en el Océano Pacífico, por región.

H. MARLÍN AZUL

La mejor información actualmente disponible indica que el marlín azul constituye una sola especie a nivel mundial (*Makaira nigricans*) y una sola población en el Océano Pacífico. Por este motivo, se compilan estadísticas de capturas ([Figura H-1](#)), y se realizan análisis de la condición de la población, para el Océano Pacífico entero.

El marlín azul es capturado principalmente por las pesquerías de palangre de atunes y peces picudos entre aproximadamente 30°N y 30°S. Las pesquerías recreacionales y varias otras pesquerías comerciales, como la cerquera, capturan cantidades menores.

Pequeñas cantidades de marlines azules han sido marcados con marcas de dardo convencionales por investigadores. En contraste, más de 50,000 marlines azules han sido marcados por pescadores recreacionales en los cinco programas voluntarios de marcado de peces de pesca deportiva más grandes del mundo, con más de 600 peces que han sido recapturados. Aunque un pequeño número de peces marcados han sido recapturados a grandes distancias de sus puntos de liberación (4,000-15,000 km), la mayoría de los peces marcados han sido recapturados a menos de 1,000 km de su lugar de liberación, a pesar de haber estado en libertad durante más de 3 años. Marlines azules han sido marcados con marcas electrónicas satelitales autodesprendibles que toman datos durante períodos de unos 30 a 180 días, principalmente en el Golfo de México y el Océano Atlántico, en estudios de la supervivencia y desplazamientos después de la liberación. Actualmente se están realizando varios estudios similares en el Océano Pacífico como parte del programa de marcado “*Great Marlin Race*” del International Gamefish Association.

El marlín azul vive generalmente en regiones con temperaturas superficiales del mar (TSM) de más de 24°C, y pasa un 90% del tiempo a profundidades donde la temperatura es de 1° a 2° menos que la TSM.

La evaluación completa más reciente de la condición y las tendencias de la especie fue realizada en 2021, que incluyó datos hasta 2019. Indicó que la población de marlín azul en el Océano Pacífico tiene actualmente una biomasa que está 17% por encima de SSB_{RMS}, mientras que la mortalidad por pesca es del 50% de la F_{RMS}, y por lo tanto no está ni sobre pescada ni sujeta a sobre pesca. Sin embargo, en los últimos siete años (2014-2020), las capturas anuales han aumentado en el OPO, con un promedio de 3,994 t, lo cual indica que las capturas podrían estar actualmente cerca del RMS.

I. STRIPED MARLIN

Striped marlin (*Kajikia audax*) occur throughout the Pacific Ocean between about 45°N and 45°S. The assessment on which this report is based is for the stock of striped marlin in the eastern Pacific Ocean (EPO) north of 10°S, east of about 145°W north of the equator, and east of about 165°W south of the equator. Although not included in the assessment model, there may be limited exchange of fish between this stock and stocks in adjacent regions.

Significant effort has been devoted to understanding the stock structure of striped marlin in the Pacific Ocean, which is moderately well known. It is clear that there are a number of stocks. Information on movement from research studies deploying conventional dart tags is limited, although over 40,000 striped marlin have been tagged by various volunteer recreational fisher tagging programs. Although reported recapture rates are below 1%, recapture data show that striped marlin are capable of moving long distances (5,000–6,000 km), however, most recaptures have occurred reasonably close to the release location. In the EPO specifically, fish tagged off the tip of Baja California were generally recaptured near where they were tagged, but some were recaptured around the Revillagigedo Islands, a few around Hawaii, and one near Norfolk Island, off Australia. Tagging studies in the Pacific, using pop-off satellite tags, indicated that there is essentially no mixing among tagging areas, and that striped marlin maintain site fidelity. Analyses of fisheries and genetic data indicate that the northern EPO supports a single stock, though there may be a seasonal low-level presence of juveniles from a more westerly Hawaii/Japan stock.

Historically, the majority of the catch in the EPO was taken by longline fisheries, which began expanding into the EPO in the mid-1950s and extended throughout the region by the late 1960s. Except for a few years in the late 1960s to early 1970s in the northern EPO, these fisheries did not target billfish. More recently, catches by recreational fisheries have become important, although most fish caught are released ([Figure I-1](#)). However, the survival rate of released fish is little understood.

Fishing by artisanal longline vessels targeting tuna and other species off Central America, for which data availability is limited, appears to have increased, over the past decade at least. The shifting patterns of areas fished and targeting practices increase the difficulties encountered when using fisheries data in analyses of stock status and trends. These difficulties are exacerbated when analyzing species which are not principal targets of the fishery, and further complicated when the total catch of the species by all fisheries is not known.

The last full assessment of striped marlin was conducted in 2008, using Stock Synthesis, and later updated with data through October 2010. Key results were that (1) the stock was not overfished; (2) overfishing was not occurring; and (3) the spawning stock biomass was above the level that would support MSY. More recently, average annual catches during 2016–2020 (1,735 t) were at about half the estimated MSY level in 2010. If fishing effort and catches continue at the 2010 level (2,129 t), it is expected that the biomass of the stock will continue to increase over the near term.

The fishing effort by large longline vessels in the North EPO has increased by about 20% since 2010, but the catch of striped marlin has remained largely unchanged. In 2022, the ISC completed a full assessment of the North Pacific stock of striped marlin for the period 1977–2020. This assessment showed a decline in the estimated female spawning stock biomass from 7,849 mt in 1977 to 2,546 mt in 1999 and has averaged around 3,400 mt thereafter. There was a marked reduction in fishing mortality from a peak of 0.76 yr⁻¹ in 1998 to 0.34 yr⁻¹ in 2020. The stock was deemed neither to be overfished nor subject to overfishing relative to $F_{20\%SSB}$ and $SSB_{20\%}$ reference points.

The recreational fishery has increased its contribution to the total annual reported catches of striped marlin in the EPO, particularly in the North EPO, from around 10% in 1990 to 64% and 84% in 2007 and 2008, respectively. However, a paucity of reported data since 2009 probably means that the catches of striped marlin in the EPO have been significantly underestimated since this time. Also, it appears that catches of billfishes, including striped marlin, by the artisanal longline fishery operating off Central America are not

reported, at least not to the IATTC, or are incomplete. Therefore, the total catch of striped marlin in the EPO, and thus the total impact of fishing on the stock since about 2009, are not known.

Efforts continue to obtain reliable catch data from all fisheries. Until the data are available and updated, and a review of the status of striped marlin in the EPO is completed, it is recommended that, as a precautionary measure, fishing effort by fisheries that take the majority of the striped marlin catch in the EPO not be increased.

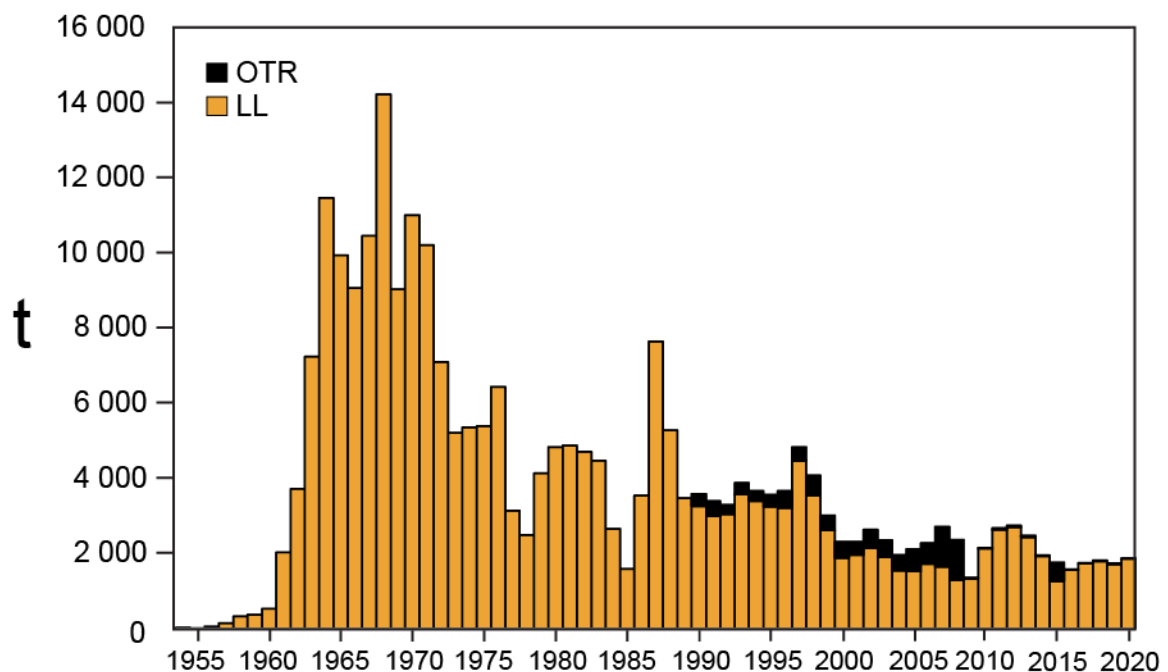


FIGURE I-1. Total reported catches of striped marlin in the North EPO by longline (LL) and other (OTR) fisheries (primarily recreational, 1954–2020. Due to unreported catches by recreational fisheries, estimates for 2009–2020 are minimums.

FIGURA I-1. Capturas totales reportadas de marlín rayado en el OPO Norte por las pesquerías palangreras (LL) y otras (OTR, principalmente recreativas), 1954–2020. Debido a capturas no reportadas por pesquerías recreativas, las estimaciones de 2009–2020 son mínimas.

I. MARLÍN RAYADO

El marlín rayado (*Kajikia audax*) está distribuido por todo el Océano Pacífico entre aproximadamente 45°N y 45°S. El presente informe se basa en una evaluación de la población de marlín rayado en el Océano Pacífico oriental (OPO) al norte de 10°S, al este de aproximadamente 145°O al norte de la línea ecuatorial y al este de aproximadamente 165°O en el hemisferio sur. Aunque no se incluye en el modelo de evaluación, es posible que ocurra un intercambio limitado de peces entre esta población y las poblaciones en regiones adyacentes.

Se ha dedicado un esfuerzo importante a entender la estructura de la población de marlín rayado en el Océano Pacífico, que ahora es moderadamente bien conocida. Queda claro que existen varias poblaciones. La información sobre los desplazamiento procedente de estudios de investigación que utilizan marcas de dardo convencionales es limitada, aunque se han marcado más de 40,000 marlines rayados por varios programas voluntarios de marcado de pescadores deportivos. Aunque las tasas de recaptura notificadas son inferiores al 1%, los datos de recaptura muestran que el marlín rayado es capaz de desplazarse a grandes distancias (5,000-6,000 km); sin embargo, la mayoría de las recapturas han ocurrido razonablemente cerca del lugar de liberación. En el OPO específicamente, los peces marcados frente a la punta de Baja California fueron generalmente recapturados cerca de donde fueron marcados, pero algunos fueron recapturados cerca de las islas Revillagigedo, unos pocos cerca de Hawái, y uno cerca de la isla Norfolk (Australia). Estudios de marcado en el Pacífico con marcas satelitales desprendibles indicaron que esencialmente no ocurre mezcla entre zonas de marcado, y que el marlín rayado mantiene fidelidad a su sitio. Análisis de datos de pesca y genéticos indican que el OPO norte alberga una sola población, aunque es posible que haya una presencia estacional a bajo nivel de juveniles de una población más al oeste de Hawái/Japón.

Históricamente, la mayor parte de la captura en el OPO fue tomada por las pesquerías de palangre, que comenzaron a expandirse hacia el OPO a mediados de los años 1950, y para fines de los años 1960 se extendían por toda la región. Con la excepción de unos años a fines de los 1960 y principios de los 1970 en el OPO norte, estas pesquerías no se dirigieron a los peces picudos. Más recientemente, las capturas de la pesca recreacional se han vuelto más importantes, aunque la mayoría de los peces capturados son liberados ([Figura I-1](#)). Sin embargo, la tasa de supervivencia de los peces liberados es poco conocida.

La pesca por buques palangreros artesanales dirigida a los atunes y otras especies en aguas frente a Centroamérica, de la que se dispone de datos limitados, parece haber aumentado, al menos durante la última década. Los patrones variables de zonas de pesca y objetivos de la pesca incrementan las dificultades encontradas al usar datos de pesca en los análisis de la condición y tendencias de la población. Estas dificultades son exacerbadas al analizar especies que no son el blanco principal de la pesquería, y se complican aún más si se ignora la captura total de todas las pesquerías.

Se realizó la última evaluación completa del marlín rayado en 2008, usando *Stock Synthesis*, y luego fue actualizada con datos de hasta octubre de 2010. Los resultados clave son que (1) la población no se encontraba sobreexpuesta; (2) no estaba ocurriendo sobrepesca; y (3) la biomasa de la población reproductora se encontraba por encima del nivel que produciría el RMS. Más recientemente, la captura anual media durante 2016-2020 (1,735 t) estuvo alrededor de la mitad del nivel estimado de RMS en 2010. Si el esfuerzo de pesca y las capturas continúan en el nivel de 2010 (2,129 t), se espera que la biomasa de la población siga aumentando en el futuro cercano.

El esfuerzo de pesca de los buques palangreros grandes en el OPO Norte ha aumentado un 20% desde 2010, pero la captura de marlín rayado apenas ha cambiado. En 2022, el ISC completó una evaluación completa de la población del Pacífico norte de la especie para el periodo de 1977-2020. Esta evaluación mostró una disminución de la biomasa de la población reproductora estimada, que pasó de 7,849 t en 1977 a 2,546 t en 1999, y ha alcanzado un promedio de aproximadamente 3,400 toneladas desde entonces. Hubo una notable reducción de la mortalidad por pesca, pasando de un máximo de 0.76 años⁻¹ en 1998 a 0.34 años⁻¹ en 2020. Se

consideró que la población no está ni sobre pescada ni sujeta a sobre pesca con respecto a los puntos de referencia $F_{20\%SSB}$ y $SSB_{20\%}$.

La pesquería recreacional ha aumentado su contribución a las capturas anuales de marlín rayado en el OPO, particularmente en el OPO norte, pasando de alrededor del 10% en 1990 al 64% y el 84% en 2007 y 2008, respectivamente. Sin embargo, la escasez de datos reportados desde 2009 significa probablemente que las capturas de marlín rayado en el OPO han sido subestimadas de forma importante desde entonces. Además, parece que las capturas de peces picudos, incluido el marlín rayado, por la pesquería palangrera artesanal que opera frente a Centroamérica no son reportadas, al menos no a la CIAT, o son incompletas. Por lo tanto, se ignora la captura total de marlín rayado en el OPO, y por ende el impacto total de la pesca sobre la población desde aproximadamente 2009.

Continúan los esfuerzos para obtener datos de capturas fiables de todas las pesquerías. Hasta que los datos estén disponibles y actualizados, y se lleve a cabo una revisión de la condición del marlín rayado en el OPO, se recomienda, como medida precautoria, que no se permita incrementar el esfuerzo de pesca de las pesquerías que capturan la mayoría de la captura de marlín rayado en el OPO.

J. SAILFISH

The stock structure of sailfish (*Istiophorus platypterus*) in the Pacific Ocean is well known. The species is most abundant in waters relatively near the continents and the Indo-Pacific land masses bordering the Pacific, and less frequently encountered in the high seas separating them. The populations in the EPO and in the western Pacific are genetically distinct.

The centers of sailfish distribution along the coast of the Americas shift in response to seasonal changes in surface and mixed-layer water temperature. Sailfish are found most often in waters warmer than about 28°C, and are present in tropical waters nearer the equator in all months of the year. Sailfish have among the largest number of conventional tag deployment of all billfishes, mainly attributed to their high importance to recreational fisheries worldwide. At least 126,000 sailfish have been tagged among the world's five largest volunteer gamefish tagging programs, although less than 2,000 fish (1.5%) have been recaptured. The data complement genetic information in that there appears to be high population substructure with fish often moving less than 500 km from their release locations. However, there are several instances where sailfish have moved reasonably long distances (2,000–3,500 km) over periods of less than a year, however, these distances can be considered small in comparison to movements of other billfish species in the EPO.

Spawning takes place off the coast of Mexico during the summer and fall, and off Costa Rica during winter, and perhaps year-round in areas with suitable conditions. The sex ratio is highly skewed towards males during spawning. The known shifts in sex ratios among spawning areas, and the spatial-temporal distributions of gonad indices and size-frequency distributions, which show smaller fish offshore, suggest that there may be maturity-dependent patterns in the distribution of the species in the EPO. Sailfish can reach an age of about 11 years in the EPO.

The principal fisheries that capture sailfish in the EPO include the large-scale tuna longline fishery primarily consisting of China, Chinese Taipei, Japan, and Korea; the smaller-vessel longline fisheries targeting tuna and other species, particularly those operating off Central America; and the artisanal and recreational fisheries of Central and South America. Sailfish are also taken occasionally in the purse-seine fisheries targeting tropical tunas, particularly in more coastal regions.

The first assessment of sailfish in the EPO was conducted in 2013. Initial analyses indicated that either this stock had uncharacteristically low productivity and high standing biomass, or—more probably—that a large amount of catch was missing in the data compiled for the assessment. We were unable to identify a means to satisfactorily estimate this catch in order to obtain reliable estimates of stock status and trends using Stock Synthesis—the preferred model for assessments. As a result, the assessment was conducted using a surplus production model, which provided results consistent with those obtained with Stock Synthesis and simplified the illustration of the issues in the assessment.

Key results:

1. It is not possible to determine the status of the sailfish stock in the EPO with respect to specific management parameters, such as maximum sustained yield (MSY), because the parameter estimates used in making these determinations in this case cannot be derived from the model results.
2. Average annual reported catches during 2015–2020 were 736 t ([Figure J-1](#)), significantly less than the 1993–2007 average of 2,057 t.
3. Sailfish abundance trended downward during 1994–2009, since then it has been relatively constant or slightly increasing ([Figure J-2](#)).
4. Model results suggest that there are significant levels of unreported catch, and the actual catch in earlier years was probably higher than those reported for 1993–2007. Assuming that this level of

harvest has existed for many years, it is expected that the stock condition will not deteriorate if catch is not increased above current levels.

5. A precautionary approach that does not increase fishing effort directed at sailfish, and that closely monitors catch until sufficient data are available to conduct another assessment, is recommended.
6. A reliable assessment of the sailfish resources in the EPO cannot be obtained without reliable estimates of catch. It is therefore recommended that:
 - a. historical data on catches of sailfish be obtained wherever possible
 - b. fisheries currently reporting sailfish catches commingled with other species be required to report catches by species.
 - c. existing data from small-scale fisheries, such as local longline fleets, artisanal and recreational fisheries, be compiled and that, where necessary, catch monitoring programs to identify catches by species be implemented.

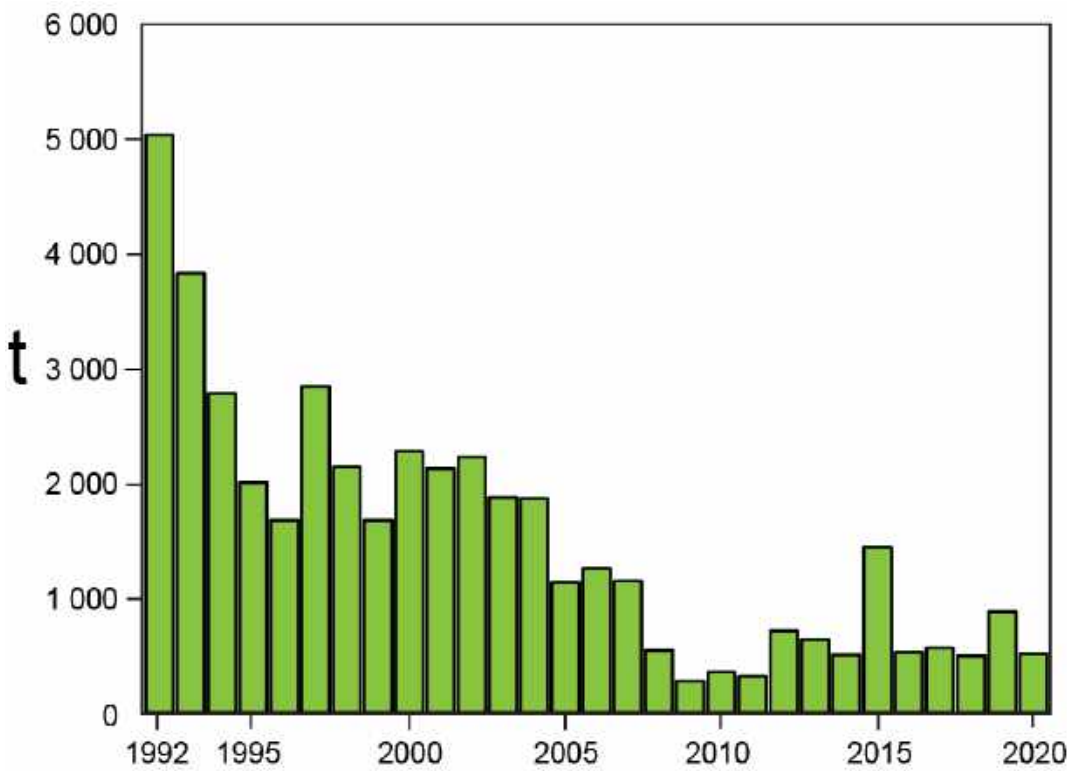


FIGURE J-1. Total reported catches of sailfish in the EPO, 1990–2020. (The actual catches were probably greater.)

FIGURA J-1. Capturas totales reportadas de pez vela en el OPO, 1990–2020. (Las capturas reales fueron probablemente mayores).

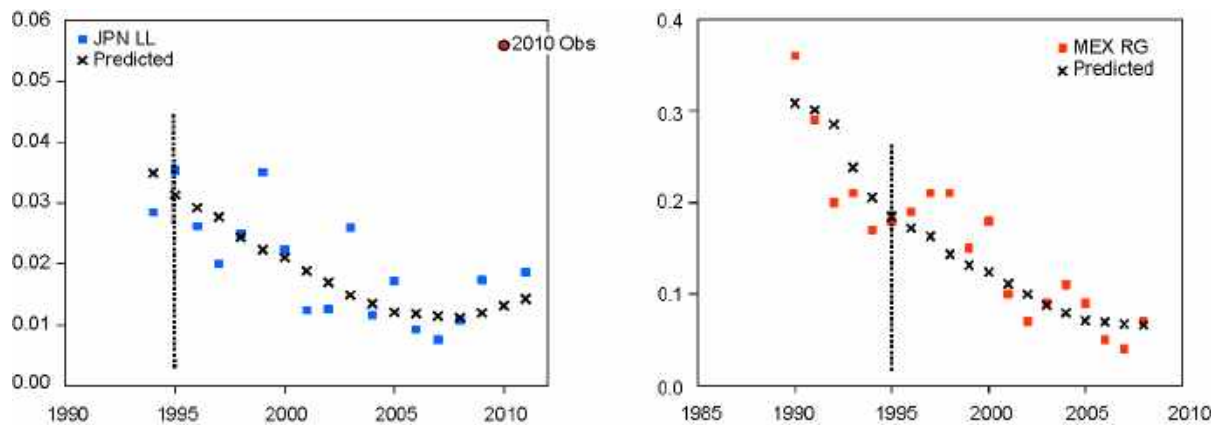


FIGURE J-2. Observed and predicted indices of relative abundance of sailfish in the EPO from Japanese longline (JPN LL) and Mexican recreational (MEX RG) fisheries. The 2010 observation in the JPN LL series was not included in the analyses.

FIGURA J-2. Indices observados y predichos de abundancia relativa del pez vela en el OPO, basados en las pesquerías palangrera japonesa (JPN LL) y recreacional mexicana (MEX RG). No se incluyó en los análisis la observación de 2010 en la serie JPN LL.

J. PEZ VELA

La estructura de la población del pez vela (*Istiophorus platypterus*) en el Océano Pacífico es bien conocida. La abundancia de la especie es máxima en aguas relativamente cercanas a los continentes y las masas terrestres indopacíficas que lindan con el Océano Pacífico, y menos frecuente en las aguas de alta mar que los separan. Las poblaciones en el OPO y en el Pacífico occidental son genéticamente distintas.

Los centros de la distribución del pez vela a lo largo del litoral del continente americano cambian en reacción a cambios estacionales de la temperatura del agua en la superficie y en la capa de mezcla. Se encuentra la especie con mayor frecuencia en aguas de más de unos 28°C, y están presentes en aguas tropicales más cercanas a la línea ecuatorial en todos los meses del año. El pez vela es uno de los peces picudos con mayor número de marcas convencionales, lo que se atribuye principalmente a su gran importancia para la pesca deportiva en todo el mundo. Al menos 126,000 peces vela han sido marcados en los cinco programas voluntarios de marcado de peces de pesca deportiva más grandes del mundo, aunque se han recapturado menos de 2,000 peces (1.5%). Los datos complementan la información genética de que parece haber una subestructura de población elevada con peces que a menudo se desplazan a menos de 500 kilómetros de sus lugares de liberación. No obstante, hay varios casos en que los peces vela se han desplazado distancias razonablemente grandes (2,000-3,500 km) en menos de un año, pero estas distancias pueden considerarse pequeñas en comparación con los desplazamientos de otras especies de peces picudos en el OPO.

El desove tiene lugar frente al litoral mexicano durante el verano y otoño, y frente a Costa Rica durante el invierno, y tal vez durante todo el año en áreas con condiciones adecuadas. La proporción de sexos es altamente asimétrica hacia los machos durante el desove. Los cambios conocidos en la proporción de sexos entre las áreas de desove, y las distribuciones espaciotemporales de los índices de gónadas y las distribuciones de frecuencia de talla, que señalan peces más pequeños en alta mar, sugieren que podrían existir patrones dependientes de la madurez en la distribución de la especie en el OPO. El pez vela puede alcanzar una edad de unos 11 años en el OPO.

Las pesquerías principales que capturan pez vela en el OPO incluyen las pesquerías palangreras atuneras a gran escala de China, Corea, Japón, y Taipéi Chino; las pesquerías palangreras de buques más pequeños dirigidas hacia los atunes y otras especies, particularmente aquellas que operan frente o Centroamérica, y las pesquerías artesanales y recreacionales de América Central y del Sur. Son también a veces capturados en las pesquerías de cerco dirigidas a los atunes tropicales, particularmente en regiones más costeras.

La primera evaluación del pez vela en el OPO fue realizada en 2013. Los análisis iniciales indicaron que esta población cuenta con la productividad anormalmente baja y una alta biomasa constante, o –más probable– que faltaba una gran cantidad de la captura en los datos compilados para la evaluación. No fue posible identificar una forma de estimar satisfactoriamente esta captura y así obtener una estimación confiable de la condición y tendencias de la población usando *Stock Synthesis*, el modelo preferido para las evaluaciones. Por consiguiente, se realizó una evaluación con un modelo de producción excesiva, el cual produjo resultados consistentes con aquellos obtenidos con *Stock Synthesis* y simplificó la ilustración de los problemas en la evaluación.

Resultados clave:

1. No es posible determinar la condición de la población del pez vela en el OPO con respecto a parámetros de ordenación específicos, tal como el rendimiento máximo sostenible (RMS), porque las estimaciones de los parámetros usados para hacer estas determinaciones no pueden ser derivadas de los resultados del modelo.
2. La captura media anual reportada durante 2015-2020 fue 736 t ([Figura J-1](#)), significativamente menos que el promedio de 1993-2007 de 2,057 t.

3. La abundancia del pez vela mostró una tendencia descendente durante 1994-2009; desde entonces ha sido relativamente constante o ligeramente ascendente ([Figura J-2](#)).
4. Los resultados del modelo sugieren que existen cantidades importantes de captura no reportada, y la captura en los años tempranos fue probablemente mayor que aquellas reportadas para 1993-2007. Suponiendo que este nivel de capturas existe desde hace muchos años, no es probable que la condición de la población deteriore si no se incrementa la captura más allá del nivel actual.
5. Se recomienda un enfoque precautorio que no aumente el esfuerzo de pesca dirigido al pez vela, y que dé un seguimiento estrecho a las capturas hasta que se disponga de suficientes datos para realizar una nueva evaluación.
6. No es posible obtener una evaluación fiable del recurso de pez vela en el OPO sin estimaciones fiables de la captura. Se recomienda por lo tanto que:
 - a. se obtengan en todo caso posible datos históricos de captura de pez vela.
 - b. en el caso de las pesquerías que actualmente reportan sus capturas de pez vela mezcladas con otras especies, notifiquen sus capturas por especie.
 - c. se compilen datos existentes de pesquerías a pequeña escala, tales como flotas palangreras locales y pesquerías artesanales y recreativas, y que, en caso necesario, se implementen programas de seguimiento de capturas para identificar las capturas por especie.

K. SHARKS

Over 300 species of sharks inhabit the Pacific Ocean, of which at least 49 species have been documented to be caught, either as a target or incidental bycatch, in the industrial and small-scale coastal (*i.e.*, ‘artisanal’) pelagic fisheries of the eastern Pacific Ocean (EPO). In general, sharks are long-lived (20+ years), slow growing, mature late in life and produce a small number of offspring (<10 pups), often every few years, resulting in conservation concerns for many species impacted by fishing. In recognition of the potential negative impacts of fishing on sharks globally, many species interacting with pelagic fisheries in EPO are listed by the International Union for Conservation of Nature (IUCN) Red List of Threatened Species and/or by the Convention on International Trade in Endangered Species of Wild Fauna and Flora (CITES). Furthermore, the IATTC has implemented a range of conservation and management measures (CMMs) for sharks since at least 2005 to limit or prohibit their capture, or to promote handling practices to maximize their post-release survival. For example, retention prohibition measures have been in place for oceanic whitetip shark in all EPO industrial tuna fisheries since 2011 (Resolution [C-11-10](#)) and for silky shark in all purse-seine fisheries since 2016 (Resolution [C-16-06](#)).

Sharks are often incidentally caught as bycatch in EPO fisheries targeting tunas and billfish, and therefore insufficient or unreliable catch and biological data available for the majority of shark species has hindered the development of stock assessments, except for a small number of economically important species such as blue and shortfin mako sharks that are assessed by the ISC as contiguous north Pacific stocks. Given data deficiencies, but at the same time acknowledging the need to demonstrate ecological sustainability mandates under the Antigua Convention, the IATTC has developed a strategic research plan to use ecological risk assessment to identify vulnerable species for monitoring, research and management, and where possible, undertake detailed assessments of stock indicators or stock status.

Vulnerability assessment of sharks caught in eastern Pacific Ocean pelagic fisheries

In 2018, the IATTC staff developed of a flexible spatially-explicit quantitative ecological risk assessment approach—Ecological Assessment of Sustainable Impacts of Fisheries (EASI-Fish)—specifically designed to quantify the cumulative impacts of multiple fisheries for data-limited bycatch species to identify vulnerable species and prioritize them for data collection, research and management. In 2022, the IATTC undertook the first comprehensive vulnerability assessment for sharks in the EPO using EASI-Fish (SAC-13-11), which characterized vulnerability status for 2019, the most recent complete fishing year to be representative of contemporary fishing effort regimes in the EPO before fishing effort, data collection and provision were significantly impacted by the COVID-19 pandemic.

Of the 49 shark species recorded to interact with industrial (purse-seine and longline) and artisanal (longline and gillnet) pelagic fisheries in the EPO, 32 species were formally assessed using EASI-Fish. In 2019, estimates of a proxy for fishing mortality (\tilde{F}_{2019}) and the spawning stock biomass per recruit (SBR₂₀₁₉) exceeded biological reference points ($F_{40\%}$ and SBR_{40%}) for 20 species, classifying them as “most vulnerable” ([Figure K-1](#); SAC-13-11). These included hammerhead sharks (5 species; *Sphyraena corona*, *S. media*, *S. mokarran*, *S. lewini*, and *S. zygaena*), requiem sharks (10 species; *Carcharhinus altimus*, *C. brachyurus*, *C. falciformis*, *C. leucas*, *C. limbatus*, *C. longimanus*, *C. plumbeus*, *C. porosus*, *Nasolamia velox*, and *Rhizoprionodon longurio*), threshers (2 species; *Alopias superciliosus* and *A. pelagicus*), mesopelagic sharks (3 species; *Dalatias licha*, *Pseudocarcharias kamoharai*, and *Zameus squamulosus*) and the commercially important blue shark (*Prionace glauca*) and shortfin mako (*Isurus oxyrinchus*). The remaining 12 species were classified as “least vulnerable” (9 species) or “increasingly vulnerable” (3 species). Key knowledge gaps identified were the location of fishing effort and the shark catch in artisanal fisheries and basic biological information for several species. Overall, the most vulnerable species were *S. zygaena*, *C. falciformis* and *S. lewini*, which coincidentally, have already been identified by the IATTC as a priority for stock assessments to be completed by 2023 (Resolution [C-](#)

[16-05](#)), while stock indicators for silky shark have been produced annually since 2014 (see below). However, given the lack of species specific catch data for these species, particularly in artisanal fisheries where catches are believed to be highest, EASI-Fish is planned to be used as an exploratory tool in the interim period until catch and post-release survival data are improved to simulate changes to existing, or additional, management measures, either in isolation or in concert, to determine their efficacy for reducing species-specific vulnerability.

Updated stock status indicators for silky sharks in the eastern Pacific Ocean (1994-2021)

The indices for large silky sharks (> 150 cm total length (TL)), based on data from the purse-seine fishery on floating objects, have been updated through 2021 for the north and south EPO ([Figure K-2](#); [BYC-11 INF-B](#)). Previous analyses ([SAC-08-08a\(i\)](#)) identified a correlation between north EPO indices, particularly those for small (< 90 cm TL) and medium silky sharks (90 – 150 cm TL), and interannual variability in oceanographic conditions, and thus the indices for those size categories, and for all silky sharks, were not updated because of concerns about bias. Because of recent increases in the live release of silky sharks, two sets of indices for large silky sharks were computed, one including live release data and the other not. Taken together, the two sets of indices likely bracket the trend that would have resulted in both the north and south EPO if “finning”¹¹, shark handling, and data recording practices had continued unchanged since 1994. The real trend is considered to be closer to the index based on dead + live releases because sharks recorded as released alive in recent years would probably have been recorded as dead previously, and thus the dead + live release is likely a more consistent indicator. In both north and south EPO, the indices for large (>150 cm) silky sharks for 2021 were close to, or slightly above, the 2020 values. The indices that were based on dead + live releases showed a somewhat less pessimistic long-term trend. Given these results, no changes to management measures are recommended. However, the stock status is uncertain, and an assessment has not been possible due to the paucity of data, especially for the longline fleets of coastal nations, which are believed to have the greatest impact on the stock ([SAC-05-11a](#)). Thus, the IATTC staff reiterates its previous recommendation ([SAC-07-06b\(i\)](#), [SAC-07-06b\(iii\)](#), [SAC-08-11](#)) that improving shark fishery data collection in the EPO is critical. This will facilitate the development of other stock status indicators and/or conventional stock assessments to better inform the management of the silky shark and other co-occurring shark species.

¹¹ Cutting the fins off sharks and discarding the carcass.

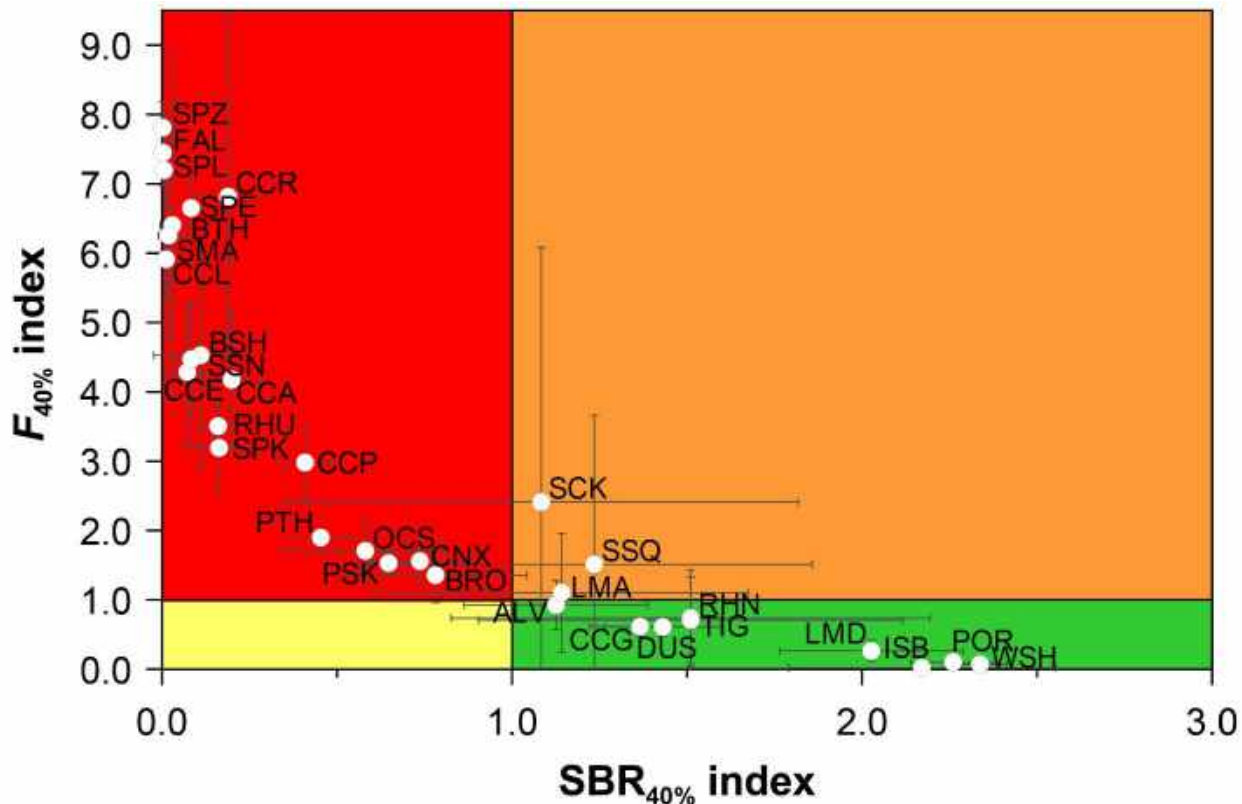


FIGURE K-1. Vulnerability phase plot showing the vulnerability status of 32 shark species caught in eastern Pacific Ocean pelagic fisheries assessed by EASI-Fish represented by mean (\pm standard deviation) estimates the biological reference points $F_{2019}/F_{40\%}$ and $SBR_{2019}/SBR_{40\%}$. Labels adjacent to symbols denote species codes shown Table 6. Vulnerability status values for each species are provided in Table 6.

FIGURA K-1. Gráfica de fase de vulnerabilidad que muestra el estado de vulnerabilidad de 32 especies de tiburones capturadas en las pesquerías pelágicas del Océano Pacífico oriental evaluadas por EASI-Fish, representadas por estimaciones promedio (\pm desviación estándar) de los puntos de referencia biológicos $F_{2019}/F_{40\%}$ y $SBR_{2019}/SBR_{40\%}$. Las etiquetas adyacentes a los símbolos indican los códigos de especie mostrados en la Tabla 6. Los valores del estado de vulnerabilidad de cada especie se presentan en la Tabla 6.

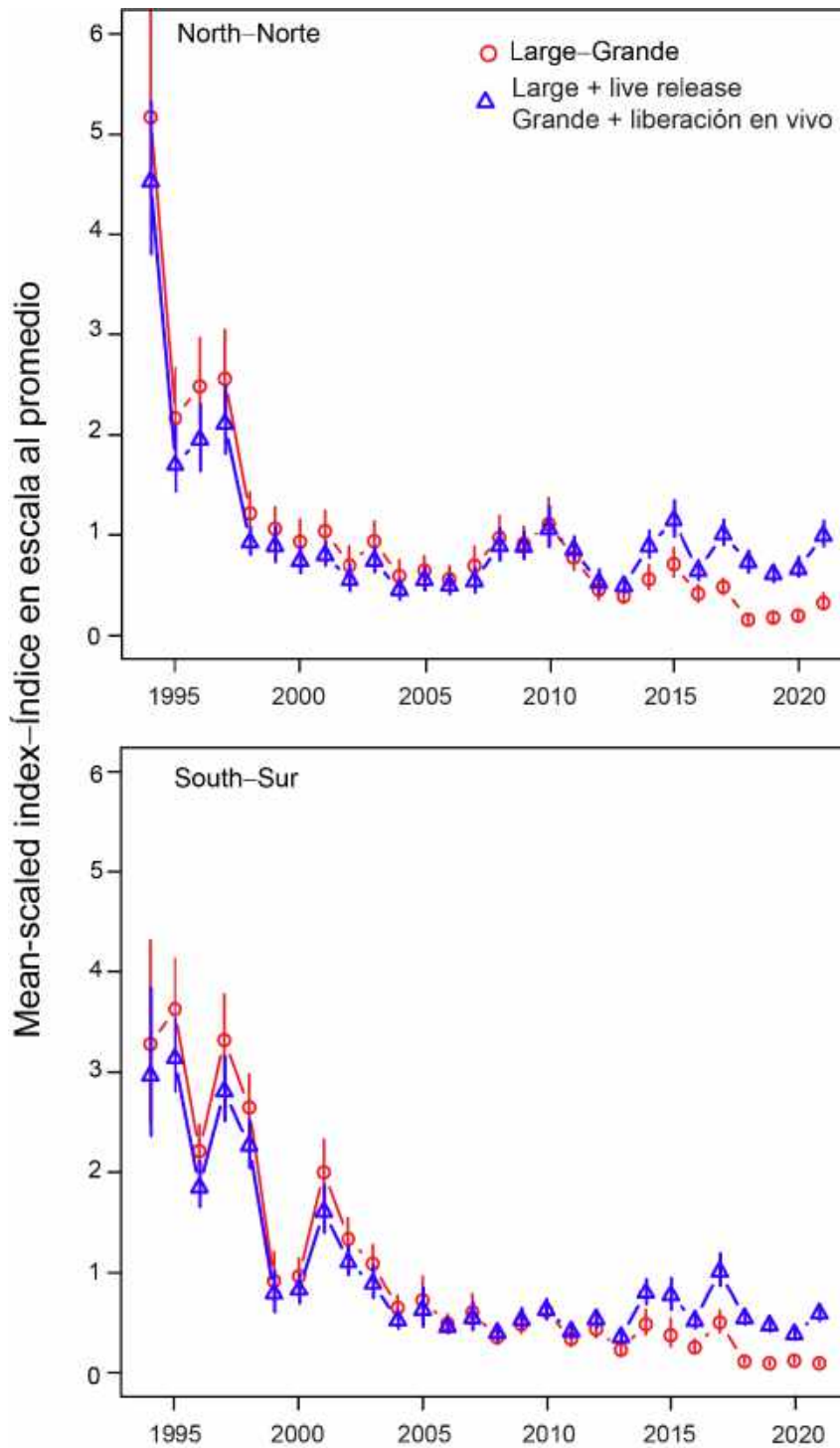


FIGURE K-2. Mean-scaled standardized bycatch-per-set (in numbers of sharks per set) of large silky sharks in sets on floating objects, with and without live release, in the north (top) and south (bottom) EPO. Vertical bars indicate pointwise approximate 95% confidence intervals.

FIGURA K-2. Captura incidental por lance (en número de tiburones por lance) estandarizada de tiburones sedosos grandes en lances sobre objetos flotantes, con y sin liberación en vivo, en el OPO norte (arriba) y sur (abajo). Las barras verticales indican los intervalos de confianza de 95% puntuales aproximados.

K. TIBURONES

Más de 300 especies de tiburones habitan en el Océano Pacífico, de las cuales se ha documentado la captura de al menos 49 especies, ya sea como objetivo o como captura incidental, en las pesquerías pelágicas industriales y costeras de pequeña escala (es decir, "artesanales") del Océano Pacífico oriental (OPO). En general, los tiburones son longevos (viven más de 20 años), de crecimiento lento, maduran tarde en la vida y producen un pequeño número de crías (<10 crías), a menudo cada pocos años, lo que da lugar a preocupaciones de conservación para muchas especies impactadas por la pesca. En reconocimiento de los potenciales impactos negativos de la pesca sobre los tiburones a nivel mundial, muchas especies que interactúan con las pesquerías pelágicas en el OPO están incluidas en la Lista Roja de Especies Amenazadas de la Unión Internacional para la Conservación de la Naturaleza (UICN) y/o en la Convención sobre el Comercio Internacional de Especies Amenazadas de Fauna y Flora Silvestres (CITES). Además, la CIAT ha implementado una serie de medidas de conservación y ordenación (MCO) para los tiburones desde al menos 2005 con el fin de limitar o prohibir su captura, o promover prácticas de manipulación para maximizar su supervivencia posliberación. Por ejemplo, se han aplicado medidas de prohibición de retención para el tiburón punta blanca oceánico en todas las pesquerías atuneras industriales del OPO desde 2011 (resolución [C-11-10](#)) y para el tiburón sedoso en todas las pesquerías de cerco desde 2016 (resolución [C-16-06](#)).

Los tiburones son a menudo capturados incidentalmente en las pesquerías del OPO que pescan atunes y peces picudos y, por lo tanto, la insuficiencia o la falta de fiabilidad de los datos biológicos y de captura disponibles para la mayoría de las especies de tiburones ha obstaculizado el desarrollo de evaluaciones de poblaciones, excepto para un pequeño número de especies económicamente importantes como el tiburón azul y el mako de aleta corta que son evaluados por el ISC como poblaciones contiguas del Pacífico norte. Dadas las deficiencias de datos, pero reconociendo al mismo tiempo la necesidad de demostrar los mandatos de sostenibilidad ecológica en virtud de la Convención de Antigua, la CIAT ha desarrollado un plan de investigación estratégico para utilizar la evaluación de riesgos ecológicos con el fin de identificar las especies vulnerables para su monitoreo, investigación y ordenación, y, cuando sea posible, realizar evaluaciones detalladas de los indicadores o la condición de las poblaciones.

Evaluación de la vulnerabilidad de los tiburones capturados en las pesquerías pelágicas del Pacífico oriental

En 2018, el personal de la CIAT desarrolló un enfoque flexible espacialmente explícito de evaluación de riesgos ecológicos —Evaluación Ecológica del Impacto Sostenible de las Pesquerías (EASI-Fish)— diseñado específicamente para cuantificar los impactos acumulativos de múltiples pesquerías para especies de captura incidental con datos limitados para identificar especies vulnerables y priorizarlas para la recolección de datos, investigación y ordenación. En 2022, la CIAT emprendió la primera evaluación exhaustiva de vulnerabilidad para los tiburones en el OPO usando EASI-Fish (SAC-13-11), que caracterizó el estado de vulnerabilidad para 2019, el año de pesca completo más reciente representativo de los regímenes de esfuerzo de pesca contemporáneos en el OPO antes de que el esfuerzo de pesca y la recolección y provisión de datos fueran impactados significativamente por la pandemia de COVID-19.

Se han registrado un total de 49 especies de tiburones que interactúan con las pesquerías pelágicas industriales (de cerco y de palangre) y artesanales (de palangre y de red agallera) en el OPO, de las cuales 32 fueron evaluadas formalmente usando EASI-Fish. Las estimaciones de un sustituto de la mortalidad por pesca (\tilde{F}_{2019}) y la biomasa de la población reproductora por recluta (SBR₂₀₁₉) en 2019 rebasaron los puntos de referencia biológicos ($F_{40\%}$ y SBR_{40%}) para 20 especies, clasificándolas como "más vulnerables" ([Figura K-1](#); SAC-13-11), incluyendo las cornudas (también conocidas como tiburones martillo, 5 especies: *Sphyraena corona*, *S. media*, *S. mokarran*, *S. lewini*, y *S. zygaena*), cazones picudos, tintoreras, nep (10 especies: *Carcharhinus altimus*, *C. brachyurus*, *C. falciformis*, *C. leucas*, *C. limbatus*, *C. longimanus*, *C.*

plumbeus, *C. porosus*, *Nasolamia velox*, y *Rhizoprionodon longurio*), zorros (2 especies: *Alopias superciliosus* y *A. pelagicus*), mesopelágicos (3 especies: *Dalatias licha*, *Pseudocarcharias kamoharai*, y *Zameus squamulosus*) y el tiburón azul (*Prionace glauca*) y el mako de aleta corta (*Isurus oxyrinchus*), ambos de importancia comercial. Las 12 especies restantes fueron clasificadas como “menos vulnerables” (9 especies) o “cada vez más vulnerables” (3 especies). Las principales lagunas de conocimiento identificadas fueron la ubicación del esfuerzo de pesca y la captura de tiburones en la pesquería artesanal e información biológica básica de varias especies. En general, las especies más vulnerables fueron *S. zygaena*, *C. falciformis* y *S. lewini*, que casualmente ya han sido identificadas por la CIAT como una prioridad para las evaluaciones de poblaciones que deben completarse para 2023 (resolución C-16-05), mientras que los indicadores de población para el tiburón sedoso se han producido anualmente desde 2014 (ver más adelante). Sin embargo, dada la falta de datos de captura específicos para estas especies, en particular en las pesquerías artesanales, donde se cree que las capturas son más elevadas, está previsto utilizar EASI-Fish como herramienta exploratoria de forma provisional hasta que se mejoren los datos de captura y supervivencia posliberación para simular cambios en las medidas de ordenación existentes, o adicionales, ya sea de forma aislada o en conjunto, para determinar su eficacia para reducir la vulnerabilidad por especie.

Indicadores actualizados de la condición de la población del tiburón sedoso en el Océano Pacífico oriental, 1994-2021

Los índices para los tiburones sedosos grandes (> 150 cm longitud total (LT)), basados en datos de la pesquería cerquera sobre objetos flotantes, han sido actualizados hasta 2021 para el OPO norte y sur ([Figura K-2; BYC-11 INF-B](#)). Análisis previos ([SAC-08-08a\(i\)](#)) identificaron una correlación entre los índices del OPO norte, particularmente para los tiburones sedosos pequeños (< 90 cm LT) y medianos (90-150 cm LT), y la variabilidad interanual en las condiciones oceanográficas, y por lo tanto los índices de aquellas categorías de tamaño, y para todos los tiburones sedosos, no fueron actualizados debido a preocupaciones sobre sesgos. Debido a aumentos recientes de las liberaciones de tiburones sedosos vivos, se calcularon dos conjuntos de índices para los tiburones sedosos grandes, uno que incluye los datos de liberación viva y el otro no. Tomados juntos, los dos conjuntos de índices probablemente rodean la tendencia que hubiera resultado en el OPO norte y sur si hubieran continuado las prácticas de “aleteo”¹², manipulación de tiburones, y registro de datos sin cambios desde 1994. Se considera que la tendencia real está más cercana al índice basado en liberaciones muertos + vivos porque los tiburones registrados como liberados vivos en los últimos años probablemente hubieran sido registrados como muertos previamente, y por lo tanto la liberación muertos + vivos es probablemente un indicador más consistente. Tanto en el OPO sur como en el norte, los índices de tiburones sedosos grandes (>150 cm) para 2021 estuvieron cerca, o ligeramente por encima, de los valores de 2020. Los índices que se basaron en las liberaciones de tiburones muertos + vivos mostraron una tendencia a largo plazo algo menos pesimista. En vista de estos resultados, no se recomiendan cambios en las medidas de ordenación. Sin embargo, la condición de la población es incierta, y no ha sido posible realizar una evaluación debido a la escasez de datos, especialmente para las flotas palangreras de las naciones costeras, que se cree que tienen el mayor impacto sobre la población ([SAC-05-11a](#)). Por lo tanto, el personal de la CIAT reitera su recomendación previa ([SAC-07-06b\(i\)](#), [SAC-07-06b\(iii\)](#), [SAC-08-11](#)) que es crítico mejorar la recolección de datos de pesca de tiburones en el OPO. Esto facilitará el desarrollo de otros indicadores de condición de población y/o evaluaciones convencionales de poblaciones para informar mejor la ordenación del tiburón sedoso y otras especies de tiburones co-ocurrentes.

¹² Cortar las aletas del tiburón y descartar el resto del animal

L. ECOSYSTEM CONSIDERATIONS	
1. Introduction	149
2. Data sources.....	150
2.1. Purse-seine	150
2.2. Longline	151
3. Fishery interactions with species groups	152
3.1. Tunas and billfishes	152
3.2. Marine mammals	153
3.3. Sea turtles	153
3.4. Seabirds.....	155
3.5. Sharks	156
3.6. Rays.....	159
3.7. Other large fishes	160
3.8. Forage species.....	161
4. Physical environment	162
4.1. Environmental indicators	162
4.2. Spatio-temporal exploration of environmental conditions	164
4.3. Environmental conditions and distribution of catches	164
5. Identification of species at risk	165
6. Ecosystem dynamics	166
6.1. Ecological indicators.....	166
7. Future developments.....	167
Acknowledgments.....	169
Literature cited.....	169

1. INTRODUCTION

Over the past two decades, the scope of management of many fisheries worldwide has broadened to take into account the impacts of fishing on non-target species in particular, and the ecosystem generally. This ecosystem approach to fisheries management (EAFM) is important for maintaining the integrity and productivity of ecosystems while maximizing the utilization of commercially-important fisheries resources, but also ecosystem services that provide social, cultural and economic benefits to human society.

EAFM was first formalized in the 1995 FAO *Code of Conduct for Responsible Fisheries*, which stipulates that “*States and users of living aquatic resources should conserve aquatic ecosystems*” and that “*management measures should not only ensure the conservation of target species, but also of species belonging to the same ecosystem or associated with or dependent upon the target species*”. In 2001, the Reykjavik Declaration on Responsible Fisheries in the Marine Ecosystem elaborated these principles with a commitment to incorporate an ecosystem approach into fisheries management.

The IATTC’s Antigua Convention, which entered into force in 2010, is consistent with these instruments and principles. Article VII (f) establishes that one of the functions of the IATTC is to “*adopt, as necessary, conservation and management measures and recommendations for species belonging to the same ecosystem and that are affected by fishing for, or dependent on or associated with, the fish stocks covered by this Convention, with a view to maintaining or restoring populations of such species above levels at which their reproduction may become seriously threatened*”. Prior to that, the 1999 Agreement on the International Dolphin Conservation Program (AIDCP) introduced ecosystem considerations into the management of the tuna fisheries in the EPO. Consequently, for over twenty years the IATTC has been aware of ecosystem issues, and has moved towards EAFM in many of its management decisions (e.g., [SAC-](#)

[10 INF-B; Juan-Jorda et al. 2018](#)). Within the framework of the Strategic Science Plan (SSP), the IATTC staff is conducting novel and innovative ecological research aimed at obtaining the data and developing the tools required to implement EAFM in the tuna fisheries of the EPO. Current and planned ecosystem-related activities by the staff is summarized in the SSP ([IATTC-93-06a](#)) and the Staff Activities and Research report ([SAC-13-01](#)).

Determining the ecological sustainability of EPO tuna fisheries is a significant challenge, given the wide range of species with differing life histories with which those fisheries interact. While relatively good information is available for catches of tunas and billfishes across the entire fishery, this is not the case for most non-target (*i.e.*, “bycatch”) species, especially those that are discarded at sea or have low economic value (see section 2 and [IATTC Special Report 25](#)). Furthermore, environmental processes that operate on a variety of time and spatial scales (*e.g.*, El Niño-Southern Oscillation, Pacific Decadal Oscillation, ocean warming, anoxia and acidification) can influence the abundance and horizontal and vertical distribution of species to different degrees, which in turn affects their potential to interact with tuna fisheries.

Biological reference points, based on estimates of fishing mortality, spawning stock biomass, recruitment, and other biological parameters, have been used for traditional single-species management of target species, but the reliable catch and/or biological data required for determining such reference points, or alternative performance measures, are unavailable for most bycatch species. Similarly, given the complexity of marine ecosystems, there is no single indicator that can holistically represent their structure and internal dynamics and thus be used to monitor and detect the impacts of fishing and the environment.

The staff has presented an *Ecosystem Considerations* report since 2003, but in recent years this report has continued to evolve in content, structure, and purpose. Its primary purpose is to complement the annual report on the fishery ([SAC-13-03](#)) with information on non-target species and on the effect of the fishery on the ecosystem, and to describe how ecosystem research can contribute to management advice and the decision-making process. It also describes some important recent advances in research related to assessing ecological impacts of fishing and the environment on the EPO ecosystem and its associated species.

2. DATA SOURCES

In this report, estimated total catches of bycatch species were obtained from observer data for the large-vessel purse-seine fishery¹³, nominal catches reported by the limited observer coverage onboard the small-vessel purse-seine fishery¹⁴, and gross annual removals by the longline fishery were obtained from data reported by CPCs to the IATTC. Minimum catches in 2020 reported by observers on longline vessels are also included as an interim measure until observer coverage increases to at least 20% that may allow total annual catches for some bycatch species to be reliably estimated. Currently, observer coverage for most CPCs is less than the mandated 5% and are not considered by staff to be representative of the activities of their longline fleets (see section 2.2. below and [BYC-10 INF-D](#)). Longline data were available through 2020 as the deadline for data reporting for the previous year occurs after the annual SAC meeting. Purse-seine data were available through 2021, with data from the last 2 years considered preliminary as of March 2022. Each data source is described in detail below.

2.1. Purse-seine

Data from the purse-seine fishery is compiled from 3 data sources: 1) IATTC and National Program observer data, 2) vessel logbook data extracted by staff at the Commission’s field offices in Latin American tuna ports, and 3) cannery data. The observer data from the large-vessel (Class 6) fishery are the most comprehensive in terms of bycatch species. An historical perspective of bycatch data collection from the

¹³ Size class 6 purse-seine vessels with a carrying capacity > 363 t

¹⁴ Vessels with a carrying capacity <363 t

observer programs was recently published and is described in [IATTC Special Report 25](#). Observers of the IATTC and the various National Programs provide detailed bycatch data by species, catch, disposition and effort for the exact fishing position (*i.e.*, the latitude and longitude of the purse-seine set). Both the fisher-completed logbook and cannery datasets contain very limited data on bycatch species as reporting is primarily focused on commercially important tuna species. The logbook data, like the purse seine, includes the exact fishing position, but limited effort data are recorded with only one entry per day, regardless of the number of sets made. The cannery (or “unloading”) data do not have an exact fishing position but rather a broad geographic region where fish were caught (*e.g.*, the eastern Pacific or western Pacific Ocean). These data contain bycatch species only if they were retained in a purse-seine well during the fishing operation.

Smaller (Class 1-5) purse-seine vessels are not systematically required to carry observers, except under specific circumstances (*e.g.*, certification purposes, fishing during closure periods). The primary sources of unobserved data are logbook records, cannery unloading records, and port sampling by IATTC field office staff, all of which focus on tuna species. The FAD form, a logbook designed in late 2018 to be used by skippers of small vessels fishing on FADs, is also a source of unobserved data for tunas and sensitive species groups, but bycatch data is currently of little use for the purposes of this report as data are aggregated into broad taxonomic groups and data quality is uncertain. As such, there is limited information recorded on interactions with bycatch species by smaller vessels. In recent years there has been an increase in the number of smaller vessels that have carried observers. This is due to AIDCP requirements for fishing during closure periods for Class 6 purse-seine vessels, a desire for dolphin-safe fishery certification, an IATTC pilot project trialing the efficacy of electronic monitoring methodologies ([SAC-11-10](#)), and a voluntary observer program for smaller vessels established by the Tuna Conservation Group (TUNACONS)—a consortium of Ecuadorian tuna fishing companies—that began in 2018. The minimum observer-derived catch reported by observers for bycatch species by small vessel trips are included in this report ([Table L-8](#)) to provide the basic information currently available for this fishery, with a view to expanding reporting on this fishery as data provision is hoped to improve in future. In 2021, most trips (73%) made by smaller vessels were unobserved, 19% were from the voluntary TUNACONS observer program, 6% from the Ecuadorian National Observer program and 2% from the IATTC observer program.

Therefore, in this report we primarily focus on the comprehensive observer dataset from large purse-seine vessels to provide catch estimates for bycatch species. Under the AIDCP program, an observer is placed on a large purse-seine vessel prior to each trip. The bycatch data provided by the observers is used to estimate total catches, by set type (*i.e.*, floating objects (OBJ), unassociated tunas (NOA), and dolphins (DEL))³. The numbers of sets of each type made in the EPO during 2006–2021 are shown in Table A-7 of Document [SAC-13-03](#).

Despite the observer requirement, some sets are known to have taken place, based on logbooks and other sources, but were not observed. For example, at the start of bycatch data collection in 1993, about 46% of sets were observed, increasing to 70% in 1994. From 1994 to 2008, the average percent of sets observed was around 80%. From 2009 onwards, nearly 100% of sets were observed. Catch-per-day data for both target and non-target bycatch species are extrapolated¹⁵ to account for such instances.

2.2. Longline

The considerable variability in reporting formats of longline data has hindered the staff’s ability to

¹⁵ The observed data is aggregated by species, year, flag and set type. The number of known unobserved sets is taken from logbooks and other sources. Additionally, there are known EPO trips for which the staff do not know the number and type of sets made. Therefore, known bycatch-per-day from observer data is calculated by species, year, flag and set type, and applied to the number of days-at-sea for each trip to estimate the bycatch.

In some instances, there may be unobserved sets or days-at-sea data by a flag that have no equivalent observer data for that year to facilitate a reliable estimation of catch. For these trips, yearly data from a proxy flag is used. The proxy flag is determined by subsequent 5 trips made by the vessel where an observer was onboard, and adopting the predominant flag used for those trips as the proxy flag. Then the bycatch-per-set or day of the known proxy flag for the year in question is applied to the data for the unrepresented flag.

estimate EPO-wide catches for bycatch species ([SAC-08-07b](#), [SAC-08-07d](#), [SAC-08-07e](#), [BYC-10 INF-D](#)). Bycatch data for longline fisheries reported here were obtained using data of gross annual removals estimated by each CPC and reported to the IATTC in summarized form. Because there is uncertainty in whether the IATTC is receiving all bycatch data from the longline fishery of each CPC, these data are considered incomplete, or ‘sample data’, and are therefore regarded as minimum annual reported catch estimates for 1993–2020. A staff-wide collaboration is underway to update the data provision Resolution [C-03-05](#) to improve the quality of data collection, reporting, and analysis to align with IATTC’s responsibilities set forth in the Antigua Convention and the SSP ([SAC-12-09](#)). A preliminary objective of this work is to initiate a series of collaborative workshops between the staff and CPCs to assess the feasibility of collecting desirable data types and develop data collection templates for each gear type, with clear standards and procedures for data submission that will explicitly include interactions with bycatch species.

During this process, the staff were able to determine that the longline catches of sharks, reported by CPCs were several times higher than previously reported catches for the longline fishery. A review of the data revealed that a high proportion of shark catches were assigned to “other gears” in the annual [Fishery Status Reports](#) since 2006 but were in fact taken by longline by coastal CPCs. Therefore, the resulting transfer of catch data from “other gears” to “longline” significantly increased the longline catches of sharks from 2006 onwards (see Table A2c in [SAC-11-03](#)).

Longline observer data reporting for longline vessels >20 m has been improving since Resolution [C-19-08](#) entered into force. The staff has received detailed set-by-set operational level observer data for several CPCs, although the level of observer coverage has often been less than the current mandated coverage of 5% of the total number of hooks or “effective days fishing”. Furthermore, for most CPCs, the coverage is significantly lower than the 20% coverage recommended by the staff, the Working Group on Bycatch, and the Scientific Advisory Committee. The effectiveness of the mandated 5% observer coverage for assessing whether the observer coverage is representative of the activities of the total fleet is presented in [BYC-10 INF-D](#). Although CPCs made a tremendous effort in improving their reporting of longline observer data, results from the analysis showed that 5% observer coverage is insufficient for estimating the total catch of the relatively data-rich yellowfin and bigeye tunas, and so catch estimates for bycatch species are likely to be less reliable given that less data are available for these species. IATTC staff will seek to provide estimates of longline catches in the EPO based on observer data in the future, but the results of the aforementioned analyses highlight a clear need for data reporting of bycatch species to improve (see [SAC-12-09](#)).

3. FISHERY INTERACTIONS WITH SPECIES GROUPS

3.1. Tunas and billfishes

Data on catches of the principal species of tunas and bonitos of the genera *Thunnus*, *Katsuwonis*, *Euthynnus*, and *Sarda*, and of billfishes in the Istiophoridae and Xiphiidae families, are reported in Document [SAC-13-03](#). An investigation on the effects of the COVID-19 pandemic on the catches of tropical tunas is provided in [SAC-13-05](#). The staff has developed [stock assessments](#) and/or stock status indicators (SSIs) for tropical tunas ([SAC-13-06](#)), an interim skipjack assessment ([SAC-13-07](#)), a spatio-temporal tagging model for skipjack ([SAC-13-08](#)), and a fisheries independent abundance index for skipjack using echo-sounder buoy data for the OBJ fishery ([FAD-06-03](#)). The staff has also collaborated in the assessments of [Pacific bluefin](#) and [albacore](#) tunas led by the International Scientific Committee for Tuna and Tuna-like Species in the North Pacific Ocean (ISC), the assessment of [south Pacific albacore tuna](#) led by the Western and Central Pacific Fisheries Commission (WCPFC), and collaborated on the ISC assessments for north Pacific [swordfish](#) (2018), [blue marlin](#) (2019) and [striped marlin](#) (2019 and 2022). A southern EPO swordfish benchmark assessment is provided in [SAC-13-09](#).

3.2. Marine mammals

Marine mammals, especially spotted dolphins (*Stenella attenuata*), spinner dolphins (*S. longirostris*), and common dolphins (*Delphinus delphis*), are frequently associated with yellowfin tuna in the EPO. Purse-seine fishers commonly set their nets around herds of dolphins and the associated yellowfin tuna, and then release the dolphins while retaining the tunas. The incidental mortality of dolphins was high during the early years of the fishery, but declined dramatically in the early 1990s, and has remained at low levels thereafter ([AIDCP-43-02](#); [Figure L-1](#)).

Estimates of incidental mortality of dolphins in the purse-seine fishery of large vessels during 1993–2021 are shown in [Table L-1a](#). In 2021, the stock of dolphins with the highest incidental mortality was the eastern spinner ($n=197$), followed by the western-southern spotted ($n=178$), whitebelly spinner ($n=175$), and northeastern spotted dolphins ($n=167$). Common dolphins were least impacted by the fishery, with mortalities of 3 northern, 6 central, and 5 southern common dolphins. The staff plans to analyze available reported and observed marine mammal interaction data for the purse-seine fisheries in the near future.

In recent years significant improvements have been made to the minimum data standards of longline observer data submitted to the IATTC, which now require submission of operational level data under Resolution [C-19-08](#). However, as discussed in section 2.2 the low level of observer coverage (at least 5%) currently mandated for these vessels is not representative of the different fleet components and hinders the extrapolation of observed data to generate fleet totals (see [BYC-10 INF-D](#)). For the time being, only the minimum number of observed interactions and mortalities reported for marine mammals is presented for 2020 ([Table L-1b](#)). Interactions and mortalities were defined by subjective classification of fate (injured, released, or not reported) and release condition (alive and healthy or not reported) as recorded by observers. Dispositions not reported were precautionarily assumed to represent mortalities. Under these assumptions, all marine mammals reported by observers were considered to be mortalities with the exception of a small unidentified whale that was released “alive and healthy”. The staff reiterates that the level of observer coverage should be increased to at least the recommended 20% to help facilitate expansion of the number of interactions and mortalities to the total fleet activities for marine mammals and other vulnerable bycatch species.

TABLE L-1b. Minimum number of marine mammal interactions and mortalities in 2020 reported by observers onboard longline vessels under the current mandate of at least 5% coverage ([C-19-08](#)) of each CPC fleet operating in the eastern Pacific Ocean. All reported marine mammal interactions resulted in mortalities (*i.e.*, disposition was either not reported and precautionarily assumed as dead, or reported as “Injured”, except for 1 unidentified small whale that was reported as “Released alive and healthy”.

Marine mammal taxa	Interactions	Mortalities
Guadalupe fur seal, <i>Arctocephalus townsendi</i>	7	7
Seals and sea lions nei, Otariidae, Phocidae	2	2
Roughtoothed dolphin, <i>Steno bredanensis</i>	1	1
Dolphin, nei, Delphinidae, <i>Pseudorca crassidens</i>	2	2
False killer whale, <i>Pseudorca crassidens</i>	2	2
Mesoplodon, nei, <i>Mesoplodon</i> spp.	1	1
Unidentified small whale, Odontoceti	1	0
Unidentified cetacean, nei, Cetacea	1	1
Total numbers	17	16

3.3. Sea turtles

Sea turtles are occasionally caught in the purse-seine fishery in the EPO, usually when associated with floating objects that are encircled, although they are sometimes also caught by happenstance in sets on unassociated tunas or tunas associated with dolphins. They can also become entangled in the webbing of fish-aggregating devices (FADs) and drown or be injured or killed by fishing gear.

[Figure L-2](#) shows the number of estimated sea turtle mortalities and interactions recorded by observers on large purse-seine vessels, by set type, during 1993–2021. Interactions were defined from observer information recorded as fate on the dedicated turtle form as: entangled, released unharmed, light injuries, escaped from net, observed but not involved in the set and other/unknown. The olive Ridley turtle (*Lepidochelys olivacea*) is, by far, the species of sea turtle most frequently caught, with a total of 21,680 interactions and 951 mortalities (~4%) during 1993–2021, but only 245 interactions (2 mortalities) in 2021 ([Table L-2a](#)). In 2021, there were 52 interactions recorded with eastern Pacific green, 29 loggerhead, 5 hawksbill, 1 leatherback, and 153 unidentified turtles and no mortalities.

In the longline fishery, sea turtles are caught when they swallow a baited hook, are accidentally hooked, or drown after becoming entangled in the mainline, floatlines or branchlines and cannot reach the surface to breathe. They are also caught in coastal pelagic and bottom-set gillnet fisheries, where they become enmeshed in the net or entangled in the floatlines or headrope. Although very few data are available on incidental mortality of turtles by longline and gillnet fishing, the mortality rates in the EPO industrial longline fishery are likely to be lowest in “deep” sets (around 200–300 m) targeting bigeye tuna and albacore, and highest in “shallow” sets (<150 m) targeting swordfish. There is also a sizeable fleet of artisanal longline and gillnet fleets from coastal nations that are known to catch sea turtles, but limited data are available (see [BYC-11-02](#)).

Data on sea turtle interactions and mortalities in the longline fishery have not been available ([SAC-08-07b](#)), although they are beginning to improve with the submission of operational-level observer data since 2019 pursuant to Resolution [C-19-08](#). Recalling the observer coverage for most longline vessels is 5% or less (see [BYC-10 INF-D](#)), compared to 100% of observed trips in the large-vessel purse-seine fishery, the observer data provided by CPCs for 2020 are considered minimum numbers of interactions and mortalities ([Table L-2b](#)). Here interactions and mortalities were defined by fate (discarded, injured, grave injuries, released, released with hook, or not reported) and/or release condition (alive and healthy, alive and injured, dead, unknown, or not reported) as recorded by observers. The reported interactions in 2020 were highest for leatherback turtles (43%) but of the 10 interactions, 7 were released alive. The staff hopes to use the new operational observer data submissions required under [C-19-08](#) to report the first total longline fleet catch estimate for sea turtle species in the future, although [BYC-10 INF-D](#) cautions that the current 5% observer coverage is insufficient for producing reliable estimates of total catch.

TABLE L-2b. Minimum number of sea turtle interactions and mortalities in 2020 reported by observers onboard longline vessels under the current mandate of at least 5% coverage ([C-19-08](#)) of each CPC fleet operating in the eastern Pacific Ocean. Dispositions considered to indicate a survival event are those reported by observers as “Alive and Healthy”, “Light injuries” and “Released with a hook”, while those considered to indicate a mortality event are dispositions reported as “Dead”, “Discarded”, “Grave Injuries”, “Injured”, “Alive and injured”, or precautionarily where disposition was not reported.

Sea turtle taxa	Interactions	Mortalities
Leatherback turtle, <i>Dermochelys coriacea</i>	10	3
Black/Green turtle, <i>Chelonia mydas</i>	5	2
Olive Ridley turtle, <i>Lepidochelys olivacea</i>	4	3
Loggerhead turtle, <i>Caretta caretta</i>	2	2
Hawksbill turtle, <i>Eretmochelys imbricata</i>	1	1
Marine turtles, nei, <i>Testudinata</i>	1	0
Total numbers	23	11

Various IATTC resolutions, most recently [C-19-04](#), have been intended to mitigate fishing impacts on sea turtles and establish safe handling and release procedures for sea turtles caught by purse-seine and longline gears. Additionally, a “circle hook” workshop was held prior to the 13th SAC meeting to discuss a) the effects of different sizes of circle hooks on mitigating bycatch of sea turtles and other vulnerable species in the longline fishery and b) the minimum hook size to satisfy the requirements outlined in Resolution [C-19-04](#). The workshop participants discussed the use of different circle hooks in longline fisheries to satisfy C-19-04, with minimum width of the hook defined on a fishery specific basis and dependent upon the target species. However, no definitive conclusions or recommendation have been made ([WSHKS-01](#)), although discussions were resumed during the 11th Bycatch Working Group meeting, in May 2022.

A preliminary vulnerability assessment was conducted in collaboration with the Inter-American Convention for the Protection and Conservation of Sea Turtles (IAC) for the eastern Pacific stock of leatherback turtles for 2018, using the Ecological Assessment of Sustainable Impacts of Fisheries (EASI-Fish) approach (see section 5) ([BYC-10 INF-B](#)). The vulnerability status of the stock was determined to be “most vulnerable” in 2018. The staff has continued to collaborate with IAC in 2020–2022 to improve the species distribution model ([BYC-11-01](#)) and vulnerability assessment using updated fisheries data from coastal CPCs ([BYC-11-02](#)). The finalized assessment showed that the vulnerability status of the stock remained as “most vulnerable” in 2019. Modelling of 70 management scenarios showed that the implementation of improved handling and release practices by industrial and artisanal fleets, or use of circle hooks, or use of fish bait by longline fleets could reduce at-vessel and/or post-release mortality to an extent where the population might recover to a status of “least vulnerable”, assuming fishing effort levels of all EPO fisheries do not increase. The use of these three measures in concert was predicted to even further reduce vulnerability. Detailed results from this work were presented in 2022 at the Bycatch Working Group meeting ([BYC-11-01](#), [BYC-11-02](#)).

3.4. Seabirds

There are approximately 100 species of seabirds in the tropical EPO. Some of them associate with epipelagic predators, such as fishes (especially tunas) and marine mammals, near the ocean surface; for some, feeding opportunities are dependent on the presence of tuna schools feeding near the surface. Some seabirds, especially albatrosses and petrels, are caught on baited hooks in pelagic longline fisheries.

The IATTC has adopted one resolution on seabirds ([C-11-02](#)); also, the Agreement on the Conservation of Albatrosses and Petrels (ACAP) and BirdLife International have updated their maps of seabird

distribution in the EPO, and have recommended guidelines for seabird identification, reporting, handling, and mitigation measures ([SAC-05 INF-E](#), [SAC-07-INF-C\(b\)](#), [SAC-08-INF-D\(a\)](#), [SAC-08-INF-D\(b\)](#), [BYC-08 INF J\(b\)](#)). Additionally, ACAP has reported on the conservation status of albatrosses and large petrels ([SAC-08-INF-D\(c\)](#); [BYC-08 INF J\(a\)](#)). Participants in the circle hook workshop, held in March 2022, discussed the influence of circle hooks on seabird capture and mortality ([WSHKS-01](#)). The available data seem to be inconclusive to comment on any conservation value of circle hooks over other hook shapes or sizes to seabirds given a lack of empirical studies.

As with sea turtles, data on seabird interactions and mortalities in the longline fishery have been unavailable ([SAC-08-07b](#)), but with the submission of operational-level observer data for longline vessels >20 m beginning in 2019 some minimum estimates for 2020 are available for reporting ([Table L-3](#)).

The observer data submitted by CPCs for 2020 contained 126 interactions with seabirds—all recorded as “discarded”, “injured” or precautionarily presumed dead due to incomplete disposition data. With these limited data, Laysan albatross, *Phoebastria immutabilis*, was reported to have interacted the most with the gear (29% of all interactions). The staff hopes to report the first total longline fleet catch estimate for seabird species in the future using the operational observer data as improvements in data collection continue—but see [BYC-10 INF-D](#) for a discussion on the current inadequacy of longline observer data for expanding data to the activities of the longline fleet to provide estimates of total catch.

TABLE L-3. Minimum number of seabird interactions in 2020 reported by observers onboard longline vessels under the current mandate of at least 5% coverage ([C-19-08](#)) of each CPC fleet operating in the eastern Pacific Ocean. All reported seabird interactions resulted in mortalities (i.e., disposition was reported as “Discarded”, “Injured”, or not reported).

Seabird taxa	Interactions	Mortalities
Laysan albatross, <i>Phoebastria immutabilis</i>	37	37
Black-footed albatross, <i>Phoebastria nigripes</i>	32	32
White-chinned petrel, <i>Procellaria aequinoctialis</i>	17	17
Boobies and gannets nei, Sulidae	16	16
Wandering albatross, <i>Diomedea exulans</i>	16	16
Cape petrel, <i>Daption capense</i>	5	5
Albatross nei, <i>Diomedea</i> spp.	2	2
Buller's albatross, <i>Thalassarche bulleri</i>	1	1
Total numbers	126	126

3.5. Sharks

Sharks are caught as bycatch in EPO tuna purse-seine fisheries and as either bycatch or a target in longline and multi-species and multi-gear fisheries of the coastal nations.

Stock assessments or stock status indicators (SSIs) are available for only four shark species in the EPO: silky (*Carcharhinus falciformis*) (Lennert-Cody *et al.* 2018; [BYC-10 INF-A](#), [BYC-11 INF-B](#)), blue (*Prionace glauca*) ([ISC Shark Working Group](#)), shortfin mako (*Isurus oxyrinchus*) ([ISC Shark Working Group](#)), and common thresher (*Alopias vulpinus*) ([NMFS](#)). As part of the [FAO Common Oceans Tuna Project](#), Pacific-wide assessments of the porbeagle shark (*Lamna nasus*) in the southern hemisphere (Clarke 2017) and the bigeye thresher shark (*Alopias superciliosus*) (Fu *et al.* 2018) were completed in 2017, and for the silky shark (Clarke 2018a) in 2018, as well as a risk assessment for the Indo-Pacific whale shark population (Clarke 2018b) also in 2018. Whale shark interactions with the tuna purse-seine fishery in the EPO are summarized in document [BYC-08 INF-A](#). The impacts of tuna fisheries on the stocks of other shark species,

not previously mentioned, in the EPO are unknown. The first quantitative vulnerability assessment of shark bycatch for EPO industrial and artisanal fisheries—using the EASI-Fish methodology (section 5)—was completed in 2022 and was presented at SAC-13 ([SAC-13-11](#)). Briefly, a total of 49 shark species were recorded to interact with EPO tuna fisheries, of which 32 species were formally assessed using EASI-Fish for 2019. Overall, 20 species were classified as “most vulnerable”, including hammerhead sharks (4 species), requiem sharks (10 species), threshers (*Alopias superciliosus* and *A. pelagicus*), mesopelagic sharks (3 species) and the commercially important blue shark (*Prionace glauca*) and shortfin mako (*Isurus oxyrinchus*). The remaining 12 species were classified as “least vulnerable” (9 species) or “increasingly vulnerable” (3 species). The report recommended further analysis to explore a range of potential hypothetical conservation and management measures (CMMs) that may be implemented—in isolation or in combination—with the EPO to reduce fishery impacts on particularly vulnerable shark species identified, including silky, thresher and hammerhead sharks.

Catches (t) of sharks in the large-vessel purse-seine fishery (1993–2021) and minimum reported catch estimates¹⁶ by longline fisheries (1993–2020) are provided in [Table L-4a](#), while catches of the most frequently caught species, discussed below, are shown in [Figure L-3](#). Reporting of many shark species by longline gear began in 2006. The silky shark (family Carcharhinidae) is the species of shark most commonly caught in the purse-seine fishery with annual catches averaging 554 t—primarily from sets on floating objects ([Figure L-3](#))—and being 571 t in 2021. In contrast, minimum reported annual catch in the longline sample data for 2006–2020 averaged 11,395 t and was 14,752 t in 2020. Annual catch for the oceanic whitetip shark (Carcharhinidae) in the purse-seine fishery averaged 58 t (also primarily from sets on floating objects) and was 12 t in 2021. The minimum reported annual catch in the longline fishery from 2006–2020 averaged 143 t and none were reported in 2020. Catches of oceanic whitetip have declined in the purse-seine fishery since the early 2000s, while catches have been variable in the longline fishery ([Figure L-3](#)). Minimum annual reported catch of blue shark in the longline fishery from 1993–2020 averaged 6,134 t and was 15,080 t in 2020. By contrast, the annual catch in the purse-seine fishery averaged only 2 t, with 1 t caught in 2021.

Other important species of sharks caught in the purse-seine and longline fisheries include the smooth hammerhead (*Sphyrna zygaena*), the pelagic thresher (*Alopias pelagicus*), and mako sharks (*Isurus* spp.) ([Table L-4a](#), [Figure L-3](#)). Catch estimates for the smooth hammerhead shark in the purse-seine fishery averaged 26 t (primarily caught in floating-object sets) and was 13 t in 2021, while in the longline fishery minimum annual reported catch averaged 958 t (2006–2020) and was 941 t in 2020. In contrast, the pelagic thresher was caught primarily in unassociated tuna school sets in the purse-seine fishery with the estimated annual catch averaging 5 t and was 1 t in 2021. Minimum annual reported catch of the pelagic thresher in the longline fishery averaged 2,066 t (2007–2020) and was 342 in 2020. Catch estimates for the mako sharks in the purse-seine fishery were lower than the aforementioned shark species averaging 3 t and was 2 t in 2021. However, in the longline fishery the minimum annual reported catch averaged 1,419 t (1993–2020) and was 3,694 t in 2020.

The limited observer data from small purse-seine vessels showed 17 t of silky shark and 4 t of scalloped hammerhead were caught in floating-object sets in 2021, while those of other shark species or species groups were minimal (≤ 3 t) ([Table L-8](#)).

The minimum catches—derived only from observer data—for sharks caught by longline in 2020 are presented in [Table L-4b](#) (see section 2.2 and [BYC-10 INF-D](#) for uncertainties in data reporting by longline gear). Blue shark was by far the most frequently caught shark species in this dataset with over 70,000

¹⁶ Sharks caught by longline vessels are recorded using different weight metrics (e.g., round, trunk or whole weight) and thus, total annual reported catch estimates may contain a mix of these weight metrics. The staff is working on harmonizing shark data collection to improve the reliability of total catch estimates (e.g., [SAC-11-13](#)).

animals reported to have interacted with the gear in 2020, followed by the silky shark with over 10,000 animals. Under the disposition criteria described in [Table L-4b](#), nearly all interactions resulted in mortalities for most of the shark species and species groups reported by observers.

TABLE L-4b. Minimum number of shark interactions and mortalities in 2020 reported by observers onboard longline vessels under the current mandate of at least 5% coverage ([C-19-08](#)) of each CPC fleet operating in the eastern Pacific Ocean. Dispositions considered to indicate a survival event are those reported by observers as “Alive and Healthy”, “Alive with light injuries” and “Alive”, while those considered to indicate a mortality event are dispositions reported as “Dead”, “Alive mortal”, “Alive injured”, “Discarded”, “Unknown”, or where disposition was not reported.

Shark taxa	Interactions	Mortalities
Blue shark, <i>Prionace glauca</i>	76,387	76,092
Silky shark, <i>Carcharhinus falciformis</i>	10,084	10,057
Pelagic thresher shark, <i>Alopias pelagicus</i>	6,887	6,871
Short fin mako shark, <i>Isurus oxyrinchus</i>	3,122	3,121
Smooth hammerhead shark, <i>Sphyrna zygaena</i>	1,659	1,657
Crocodile shark, <i>Pseudocarcharias kamoharai</i>	1,343	1,100
Bigeye thresher shark, <i>Alopias superciliosus</i>	904	754
Velvet dogfish, <i>Scymnodon squamulosus</i>	309	172
Various sharks nei, Euselachii	218	213
Oceanic whitetip shark, <i>Carcharhinus longimanus</i>	118	107
Longfin mako shark, <i>Isurus paucus</i>	101	99
Scalloped hammerhead shark, <i>Sphyrna lewini</i>	90	90
Thresher shark, <i>Alopias vulpinus</i>	69	69
Kitefin shark, <i>Dalatias licha</i>	45	45
Sharks, rays, skates, etc. nei, Elasmobranchii	40	40
Thresher shark, nei, <i>Alopias</i> spp.	23	20
Requiem sharks, nei, Carcharhinidae	20	20
Tiger shark, <i>Galeocerdo cuvier</i>	10	10
Other sharks*	12	8
Total numbers	101,441	100,545

*"Other sharks" include those with ≤2 interactions from 6 taxa in 2020

The artisanal longline fisheries of the coastal CPCs target sharks, tunas, billfishes and dorado (*Coryphaena hippurus*), and some of these vessels are similar to industrial longline fisheries in that they operate in areas beyond national jurisdictions (Martínez-Ortiz *et al.* 2015). However, essential shark data from these longline fisheries are often lacking, and therefore conventional stock assessments and/or stock status indicators cannot be produced (see data challenges outlined in [SAC-07-06b\(iii\)](#)). A project was undertaken to improve data collection on sharks, particularly for Central America, for the longline fleet through funding from the Food and Agriculture Organization of the United Nations (FAO) and the Global Environmental Facility (GEF) under the framework of the ABNJ Common Oceans program ([SAC-07-06b\(ii\)](#), [SAC-07-06b\(iii\)](#)). A one-year pilot study was conducted in 2019, collecting shark-fishery data and developing and testing sampling designs for a long-term sampling program for the shark fisheries throughout Central America (Phase 2 of the project). A progress report on the FAO-GEF ABNJ project was presented at SAC-11 ([SAC-11-13](#)). Although this pilot study in Central America has now been completed, the sampling methodology will be applied in a second phase of the FAO-GEF ABNJ project in other IATTC Members will begin in 2022 ([SAC-13-12](#)). Data obtained from these projects may be included in future iterations of this report to provide improved catch estimates, albeit minimum estimates, for sharks by the

various longline, gillnet and mixed gear fleets.

3.6. RAYS

Estimated annual catches of manta rays (Mobulidae) and stingrays (Dasyatidae) by the large-vessel purse-seine (1993–2021) and minimum reported annual catches by longline (1993–2020) fisheries are provided in [Table L-5a](#), while catches of key species are shown in [Figure L-4](#). These rays are primarily caught by the purse-seine fishery, while limited catches were reported for the longline fishery only for the Munk’s devil ray (2009: 6 t, 2010: 118 t) and Dasyatidae spp. (15 t over a 5-year period), with half the catches made in 2009 ([Table L-5a](#)). The giant manta had the largest average catches in the purse-seine fishery (19 t), followed by the spinetail (14 t), and smoothtail (8 t) mobulid rays. Catches of these species in 2021 were 15, 7, and <1 t, respectively. Catches of the pelagic stingray were low, averaging only 2 t and being 2 t in 2021 ([Table L-5a](#)). Although catches of these rays can be variable by set type, they have been highest in unassociated sets, followed by dolphin sets, and lowest in floating-object sets ([Figure L-4](#)).

For the small purse-seine vessel fishery, the limited available observer data for 2021 was minimal (≤ 1 t) for all other ray species or species groups ([Table L-8](#)).

The minimal data available from the longline observer dataset (see section 2.2. and [BYC-10 INF-D](#)) showed that the most interactions were with the pelagic stingray (*Pteroplatytrygon violacea*) and 91% of these interactions (4,332 individuals) resulted in mortalities (3,960) ([Table L-5b](#)).

TABLE L-5b. Minimum number of ray interactions and mortalities in 2020 reported by observers onboard longline vessels under the current mandate of at least 5% coverage ([C-19-08](#)) of each CPC fleet operating in the eastern Pacific Ocean. Dispositions considered to indicate a survival event are those reported by observers as “Alive and Healthy”, “Alive with light injuries” and “Alive”, while those considered to indicate a mortality event are dispositions reported as “Dead”, “Alive mortal”, “Alive injured”, “Discarded”, “Unknown”, or where disposition was not reported.

Ray taxa	Total interactions	Mortalities
Pelagic stingray, <i>Pteroplatytrygon violacea</i>	4,332	3,960
Spinetail devil ray, <i>Mobula mobular</i>	21	20
Rays, skates, nei, Rajiformes	18	3
Manta rays, nei, <i>Mobula</i> spp.	5	3
Other rays*	4	2
Total numbers	4,380	3,988

*“Other rays” include those with ≤ 2 interactions from 2 taxa in 2020.

The vulnerability status and efficacy of potential conservation and management measures (CMMs) for the spine-tail devil ray (*Mobula mobular*) impacted by industrial purse-seine and longline fisheries in the EPO was determined using the EASI-Fish methodology (section 5) (Griffiths and Lezama-Ochoa 2021). In the assessment year of 2018, the estimated fishing mortality exceeded the F/F_{40%} and SBR/SBR_{40%} biological reference point, leading to a vulnerability status classification of “most vulnerable”. A retrospective analysis of vulnerability from 1979–2018 showed the species to be classified as “least vulnerable” between 1979 and 1993, but became “most vulnerable” from 1994, which coincided with the rapid spatial expansion of the industrial purse-seine fishery. Vulnerability increased significantly from 2011 following the rapid increase in the number of purse-seine sets made on floating objects to 2018. Simulating the CMMs in place in 2018 for EPO tuna fisheries (*i.e.*, an EPO-wide closure) and for mobulids specifically (*i.e.*, use of best handling and release practices under [C-15-04](#)) resulted in 31 of the 45 scenarios changing the classification of the species from “most vulnerable” to “least vulnerable”, which primarily involved a reduction of post-capture mortality by as little as 20%. Implementing appropriate best handling and release practices can be a reasonably simple, rapid and cost-effective conservation measure, but a recommendation from the work was to extend the EASI-Fish analysis to all species

of mobulids impacted by EPO tuna fisheries, improve estimates of post-release mortality for these species through dedicated tagging studies, and improve species-specific catch reporting, especially in artisanal fisheries, to improve the reliability of outputs from EASI-Fish assessments.

3.7. Other large fishes

Large pelagic fishes caught by the large-vessel purse-seine, primarily on floating-object sets, (1993–2021) and longline (1993–2020) fisheries are shown in [Table L-6a](#), with time series of catches of key species presented in [Figure L-5](#). The most commonly-caught pelagic fishes in both fisheries is dorado (*Coryphaenidae*) with the estimated average annual catch for the purse-seine fishery being 1,323 t (2,217 t in 2021) and the minimum reported annual catch for the longline fishery averaging 5,928 t (2,506 t in 2020). Dorado is also one of the most important species caught in the artisanal fisheries of the coastal nations of the EPO ([SAC-07-06a\(i\)](#)). Recommendations for potential reference points and harvest control rules for dorado in the EPO were presented at SAC-10 ([SAC-10-11](#)).

Other key species caught by the purse-seine fishery include wahoo (*Scombridae*) and rainbow runner (*Carangidae*). Wahoo had an estimated average annual catch of 369 t for the purse-seine fishery, although catches have declined from a peak of 1,025 t in 2001 to 133 t in 2021 ([Figure L-5](#)). Minimum reported annual catch of wahoo by the longline fishery have averaged 168 t and was 311 t in 2020. No catches of rainbow runner have been reported by the longline fishery. However, in the purse-seine fishery, estimated average annual catches of rainbow runner were 47 t, with the peak catch in 2007 at 158 t and declining thereafter to 29 t in 2021 ([Figure L-5](#)).

Pelagic fishes commonly reported by the longline fishery include opah (*Lampridae*), snake mackerels (*Gempylidae*) and pomfrets (*Bramidae*). Minimum reported annual catches for these species averaged 358 t (1993–2020), 367 t (2006–2020), and 49 t (1993–2020), respectively. Catches of all these taxa have increased after the mid-2000s ([Figure L-5](#)). For the most recent year (2020), there were 597 t, 288 t, and 70 t of opah, snake mackerels, and pomfrets reported, respectively ([Table L-5a](#)).

The limited observer data available for 2021 for the small purse-seine fishery included 158 t of dorado and 13 t of wahoo caught in floating-object sets, while the remaining species or species groups of large fishes had ≤1 t reported ([Table L-8](#)).

For 2020, the minimal available data from longline observers (see section 2.2. and [BYC-10 INF-D](#)) is provided in [Table L-6b](#) and shows the most frequently caught species in this dataset was the long snouted lancetfish (*Alepisaurus ferox*) with about 14,000 interactions. Most interactions with large fishes resulted in mortalities.

TABLE L-6b. Minimum number of interactions and mortalities of large fishes in 2020 reported by observers onboard longline vessels under the current mandate of at least 5% coverage ([C-19-08](#)) of each CPC fleet operating in the eastern Pacific Ocean. Dispositions considered to indicate a survival event are those reported by observers as “Alive and Healthy”, “Alive with light injuries” and “Alive”, while those considered to indicate a mortality event are dispositions reported as “Dead”, “Alive mortal”, “Alive injured”, “Discarded”, “Unknown”, or where disposition was not reported.

Large fish taxa	Interactions	Mortalities
Long snouted lancetfish, <i>Alepisaurus ferox</i>	14,092	14,089
Escolar, <i>Lepidocybium flavobrunneum</i>	5,908	5,815
Opah, <i>Lampris guttatus</i>	3,006	2,992
Wahoo, <i>Acanthocybium solandri</i>	2,645	2,644
Snake mackerel, <i>Gempylus serpens</i>	2,156	2,110
Common dolphinfish, <i>Coryphaena hippurus</i>	1,806	1,806
Dorado, mahi mahi, dolphin fish, nei, <i>Coryphaenidae</i>	1,288	1,288
Sickle pomfret, <i>Taractichthys steindachneri</i>	1,040	972
Pomfrets, ocean breams nei, <i>Bramidae</i>	920	904
Lancetfishes, nei, <i>Alepisaurus</i> spp.	490	490
Oilfish, <i>Ruvettus pretiosus</i>	476	465
Mackerels, nei, <i>Scombridae</i>	147	147
Pompano dolphinfish, <i>Coryphaena equiselis</i>	66	66
Great barracuda, <i>Sphyraena barracuda</i>	50	49
Ocean sunfish, <i>Mola</i> , <i>Mola mola</i>	41	39
Barracudas, nei, <i>Sphyraena</i> spp.	18	17
Rough pomfret, <i>Taractes asper</i>	18	18
Roudi escolar, <i>Promethichthys prometheus</i>	12	12
Black gemfish, <i>Nesiarchus nasutus</i>	11	11
Butterfly kingfish, <i>Gasterochisma melampus</i>	10	10
Other large fishes*	71	70
Total numbers	34,271	34,014

*“Other large fishes” includes those with <10 interactions from 16 taxa in 2020.

3.8. Forage species

A large number of taxa occupying the middle trophic levels in the EPO ecosystem—generically referred to as “forage” species—play a key role in providing a trophic link between primary producers at the base of the food web and the upper-trophic-level predators, such as tunas and billfishes. Some small forage fishes are incidentally caught in the EPO by purse-seine vessels on the high seas, mostly in sets on floating objects, and by coastal artisanal fisheries, but are generally discarded at sea. Catches of these species are presented in [Table L-7](#) with key species as identified by catch data presented in [Figure L-6](#) for the large-vessel purse-seine fishery, with the majority of catches coming from floating object sets.

Bullet and frigate tunas (*Scombridae*) are by far the most commonly reported forage species with estimated annual catches averaging 1,032 t from 1993–2021. However, their catches have declined from 1,922 in 2005 to 442 t in 2021 ([Figure L-6](#)). Triggerfishes (*Balistidae*) and filefishes (*Monacanthidae*) are the second most commonly reported forage group with annual estimated catches averaging 253 t and totaling 50 t in 2021. Catches for this group peaked in 2004 at 922 t but have otherwise been variable. Annual catches of sea chubs (*Kyphosidae*) have averaged 16 t, which began to increase after 2002 but have remained low since 2015 with 6 t in 2021. Lastly, annual catches of the various species in the category

‘epipelagic forage fishes’ averaged 5 t with 14 t estimated to be caught in 2021. A total of 104 t of bullet and frigate tunas and 4 t of triggerfishes and filefishes were reported by observers on the limited number of trips on small purse-seine vessels that carried an observer in 2021. Catches of all other species or species groups of small fishes were minimal (<1 t) ([Table L-7](#)).

4. PHYSICAL ENVIRONMENT

Environmental conditions affect marine ecosystems, the dynamics and catchability of target and bycatch species, and the activities of fishers, and biophysical factors can have important effects on the distribution and abundance of marine species¹⁷ (e.g., [SAC-10 INF-D](#)). The following summary of the biophysical environment covers: 1) short- and long-term environmental indicators, and 2) environmental conditions and their potential effect on the fishery during the previous year, in this case, 2021.

4.1. Environmental indicators

The ocean environment changes on a variety of time scales, from seasonal to inter-annual, decadal, and longer. Longer-term climate-induced changes, typically decadal (at intervals of 10–30 years) and characterized by relatively stable average conditions and patterns in physical and biological variables, are called “regimes”. However, the dominant source of variability in the upper layers of the EPO is the El Niño-Southern Oscillation (ENSO), an irregular fluctuation involving the entire tropical Pacific Ocean and the world’s atmosphere (Fiedler 2002). El Niño events occur at two- to seven-year intervals, and are characterized by weaker trade winds, deeper thermoclines, and higher sea-surface temperatures (SSTs) in the equatorial EPO. El Niño’s opposite phase, commonly called La Niña, is characterized by stronger trade winds, shallower thermoclines, and lower SSTs. The changes in the biogeochemical environment caused by ENSO have an impact on the biological productivity, feeding, and reproduction of fishes, seabirds, and marine mammals (Fiedler 2002).

ENSO is thought to cause considerable variability in the availability for capture of commercially-important tunas and billfishes in the EPO (Bayliff 1989). For example, the shallow thermocline during a La Niña event can increase purse-seine catch rates for tunas by compressing the preferred thermal habitat of small tunas near the sea surface, while the deeper thermocline during an El Niño event likely could make tunas less vulnerable to capture, and thus reduce catch rates. Furthermore, warmer- or cooler-than-average SSTs can also cause the fish to move to more favorable habitats, which may also affect catch rates as fishers expend more effort on locating the fish.

Recruitment of tropical tunas in the EPO may also be affected by ENSO events. For example, strong La Niña events in 2007–2008 may have been partly responsible for the subsequent lower recruitment of bigeye tuna, while the largest recruitments corresponded to the extreme El Niño events in 1982–1983 and 1998 ([SAC-09-05](#)). Yellowfin recruitment was also low in 2007, but high during 2015–2016, after the

¹⁷ See [SAC-04-08](#), *Physical Environment*, and [SAC-06 INF-C](#) for a comprehensive description of the effects of physical and biological oceanography on tunas, prey communities, and fisheries in the EPO.

extreme El Niño event in 2014–2016 ([SAC-09-06](#)).

The [Climate Diagnostics Bulletin](#) of the US National Weather Service reported that in 2021 anomalies—defined in the Bulletin as a departure from the monthly mean—in oceanic and atmospheric characteristics (e.g., surface and sub-surface temperatures, thermocline depth, wind, and convection) were indicative of La Niña conditions during January–March, ENSO-neutral conditions during April–August and La Niña conditions during September–December.

Indices of variability in such conditions are commonly used to monitor the direction and magnitude of ENSO events in the Pacific Ocean. In this report, the Oceanic Niño Index (ONI), used by the US National Oceanic and Atmospheric Administration (NOAA) as the primary indicator of warm El Niño and cool La Niña conditions within the Niño 3.4 region in the east-central tropical Pacific Ocean (Dahlman 2016) ([Figure L-7](#)), is used to characterize inter-annual variability in SST anomalies. The ONI is a measure of El Niño defined by [NOAA](#) as “a phenomenon in the equatorial Pacific Ocean characterized by a five consecutive 3-month running mean of SST anomalies in the Niño 3.4 region that is above (below) the threshold of +0.5°C (-0.5°C).” The ONI categorizes ENSO events from “extreme” to “weak” ([Figure L-7](#)). For example, the “extreme” El Niño event in 1997–1998 was followed by a “very strong” La Niña event in 1998–2000. “Strong” La Niña events were also observed in 2007–2008 and 2010–2011. The highest ONI values (>2.5) were recorded during the 2015–2016 El Niño event. ENSO-neutral conditions occurred during much of 2020, with moderate-strong La Niña conditions from August through December.

The Pacific Decadal Oscillation (PDO; [Figure L-8](#)) index is used to describe longer-term fluctuations in the Pacific Ocean, and has also been used to explain, for example, the influence of environmental drivers on the vulnerability of silky sharks to fisheries in the EPO (Lennert-Cody *et al.* 2018). The PDO—a long-lived El Niño-like pattern of Pacific climate variability, with events persisting 20–30 years—tracks large-scale interdecadal patterns of environmental and biotic changes, primarily in the North Pacific Ocean (Mantua 1997), with secondary patterns observed in the tropical Pacific, the opposite of ENSO (Hare and Mantua 2000). As with ENSO, PDO phases are classified as “warm” or “cool”. PDO values peaked at 2.79 in August 1997 and at 2.62 in April 2016, both of which coincided with the extreme El Niño events indicated by the ONI. The PDO has been in a “cool” phase since early 2020. During 2021, cool conditions intensified towards the end of the year, with a peak PDO value of -2.70 in October. September 2012 was the last time a monthly PDO index occurred at a similar strength (-2.31) (see [ERSST V5 PDO Time series data](#)).

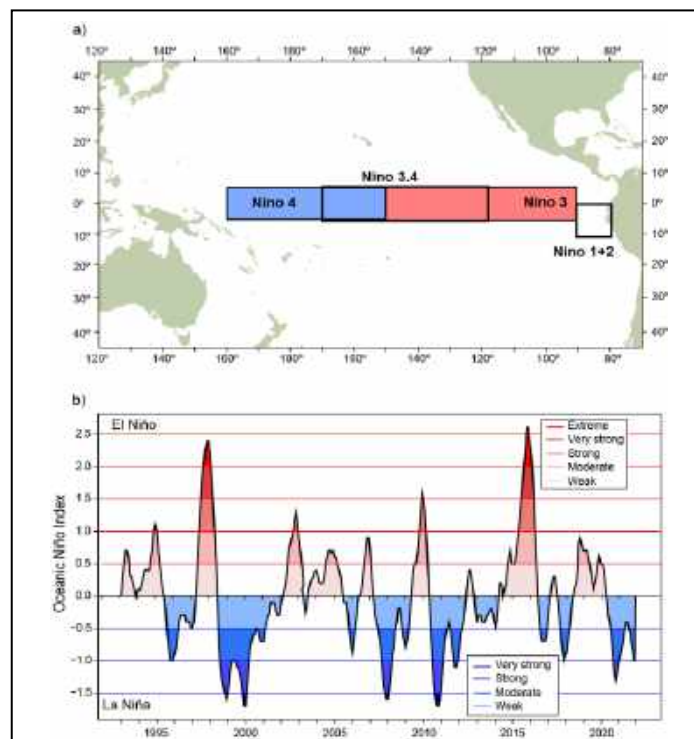


FIGURE L-7. El Niño regions used as indicators of El Niño Southern Oscillation (ENSO) events in the Pacific Ocean (top panel), and the Oceanic Niño Index (ONI) used to monitor ENSO conditions in Niño region 3.4 from 5°N to 5°S and 120°W to 170°W (bottom panel). Time series shows the running 3-month mean ONI values from the start of the IATTC observer program through December 2021. ONI data obtained from: http://origin.cpc.ncep.noaa.gov/products/analysis_monitoring/ensostuff/ONI_v5.php

4.2. Spatio-temporal exploration of environmental conditions

A time series of SST and chlorophyll-a concentration (CHL-a; an indicator of primary productivity biomass) ([Figure L-9](#)) in the eastern tropical Pacific (ETP) from 5°N to 5°S—the same latitudinal band used in the ONI—was explored to show the variability in these variables across space and time using time-

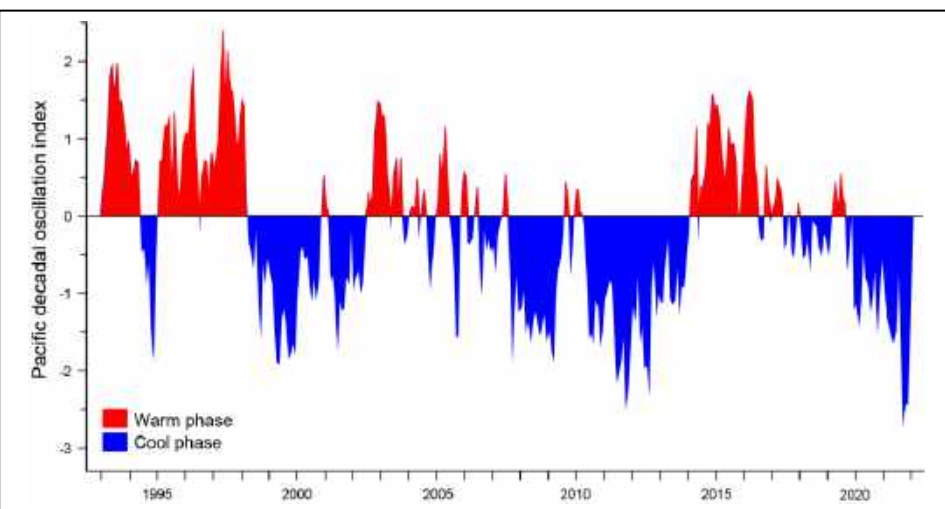


FIGURE L-8. Monthly values of the Pacific Decadal Oscillation (PDO) Index, January 1993–December 2021. ERSST V5 PDO Time Series data obtained from: <https://psl.noaa.gov/pdo/>

longitude Hovmöller diagrams. The SST time series show mean monthly values from 1993–2021, while that for CHL-a concentrations covers data for 2003–2021 due to data availability. The SST plot ([Figure L-9, top panel](#)) clearly shows the extension of warmer waters during the extreme El Niño events of 1997–1998 and 2015–2016 and cooler waters during the strong La Niña events in 1999–2000, 2007–2008 and 2010–2011 across the ETP. The CHL-a plot ([Figure L-9, bottom panel](#)), although the pattern is less clear than the SST plot, shows an increase in CHL-a concentrations following the strong La Niña events in 2007–2008 and 2010–2011, likely due to increases in nutrient availability.

4.3. Environmental conditions and distribution of catches

The availability of fish, and thus catches, are strongly related to environmental conditions and processes, particularly in pelagic waters (Fiedler and Lavín 2017; Chassot *et al.* 2011). ENSO conditions are influenced by many oceanic and atmospheric factors, but both SST and CHL-a levels are known to be good explanatory variables to describe and predict the habitat and distributions of oceanic animals (Hobday and Hartog 2014).

[Figures L-10 and L-11](#) show quarterly mean SSTs and CHL-a concentrations, respectively, to: 1) provide a general indication of seasonal environmental variability, and 2) overlay the distribution of tropical tuna catches, as a first step, to illustrate the potential influence of environmental conditions on catches across the EPO during 2021. In future, the staff plans to incorporate the catch distribution of key bycatch species and develop species distribution models (SDMs) to better describe potential relationships between environment and species. In 2021–2022, SDMs have been developed for the leatherback sea turtle ([BYC-11-01](#)) and 32 species of sharks ([SAC-13-11](#)) and several high-resolution SDMs are underway for other sensitive bycatch species.

Figure L-10 shows cooler waters occurred off northern Mexico and the southwestern United States north of 20°N and extended westwards during quarters 1 (January–March) and 2 (April–June), and off South America, south of the equator and east of 100°W, in quarters 3 (July–September) and 4 (October–December). Warmer waters developed off Central America and extended westwards during quarters 2 and 3 but retracted in quarter 4. A secondary warm pool was observed in the southwestern EPO (10–20°S, 140°–150°W) during quarters 1 and 2.

[Figure L-11](#) shows CHL-a concentrations were highest along the equator and the coast of the Americas

year-round. The oligotrophic¹⁸ South Pacific Gyre—located between around 20°–40°S and extending from 150°–90°W—was present in quarter 1, slightly retracted in quarters 2 and 3, and returned in quarter 4.

During quarters 1 and 2, skipjack predominated in the catches in the cooler waters (~25°C) off the coast of South America (Fig. L-10), where CHL-a concentration was high (Fig. L-11). Yellowfin tuna was the predominant tuna species in the catch primarily north of the equator and east of 120°W during these same quarters; warmer water occurred in quarter 2. During quarters 3 and 4, the tuna catches along the coast of South America decreased as cooler waters expanded throughout the region. Bigeye tuna catches mostly occurred south of 10°N with larger catches taken west of ~110°W, particularly in quarter 2. No tuna catches occurred in the oligotrophic gyre located approximately south of 20°S and the western boundary of the EPO (150°W) to about 100°W.

5. IDENTIFICATION OF SPECIES AT RISK

The primary goal of EAFM is to ensure the long-term sustainability of all species impacted—directly or indirectly—by fishing. However, this is a significant challenge for fisheries that interact with many non-target species with diverse life histories, for which reliable catch and biological data for single-species assessments are lacking. An alternative for such data-limited situations, reflected in Goal L of the SSP, are Ecological Risk Assessments (ERAs), vulnerability assessments that are designed to identify and prioritize at-risk species for data collection, research and management.

‘Vulnerability’ is defined as the potential for the productivity of a stock to be diminished by the direct and indirect impacts of fishing activities. The IATTC staff has applied qualitative assessments, using Productivity-Susceptibility Analysis (PSA) to estimate the relative vulnerability of data-limited, non-target species caught in the EPO by large purse-seine vessels (Duffy *et al.* 2019) and by the longline fishery (SAC-08-07d).

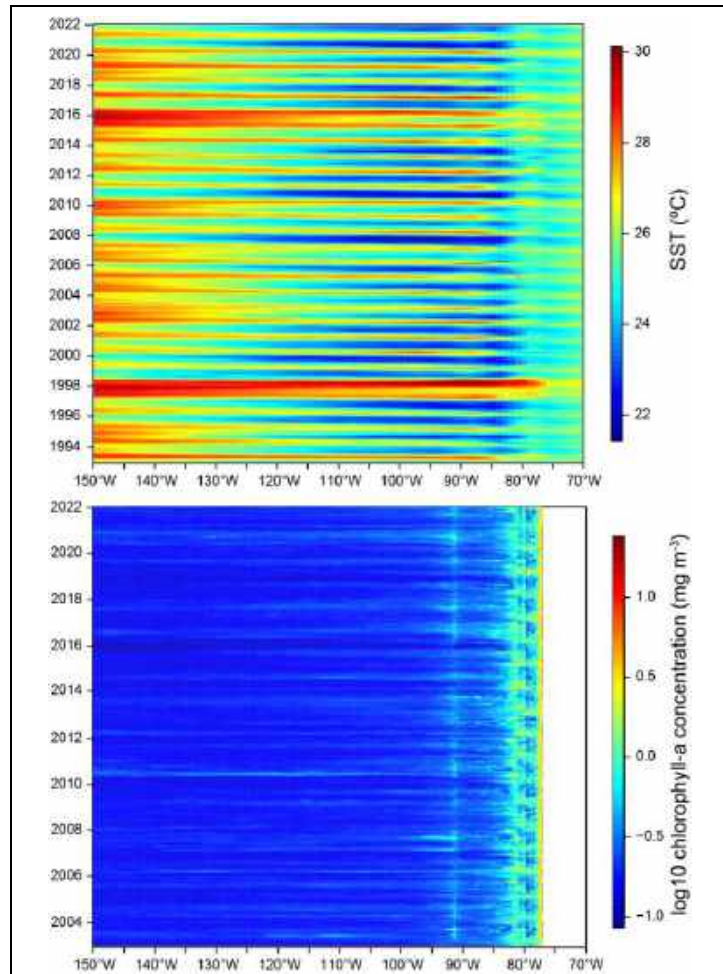


FIGURE L-9. Time-longitude Hovmöller diagram with data averaged across the tropical eastern Pacific Ocean from 5°N to 5°S for mean monthly SST for January 1993–December 2021 (top panel) (<https://www.esrl.noaa.gov/psd/>) and mean monthly chlorophyll-a concentration for January 2003–December 2021 (bottom panel) (https://coastwatch.pfeg.noaa.gov/erddap/info/erdMH_1chlalday/index.html)

¹⁸ An area of low productivity, nutrients, and surface chlorophyll, often referred to as an “oceanic desert”.

Because PSA is unable to quantitatively estimate the cumulative effects of multiple fisheries on data-poor bycatch species, a new approach—Ecological Assessment of Sustainable Impacts of Fisheries (EASI-Fish)—was developed by the IATTC staff in 2018 ([SAC-09-12](#)) to overcome this issue. This flexible, spatially-explicit method uses a smaller set of parameters than PSA to first produce a proxy for the fishing mortality rate (F) of each species, based on the ‘volumetric overlap’ of each fishery on the geographic distribution of these species. The estimate of F is then used in length-structured yield and spawning biomass per-recruit models to assess the vulnerability of each species using conventional biological reference points (e.g., F_{MSY} , SPR_{40%}).

EASI-Fish was successfully applied to 24 species representing a range of life histories, including tunas, billfishes, tuna-like species, elasmobranchs, sea turtles and cetaceans caught in EPO tuna fisheries as a ‘proof of concept’ in 2018 ([SAC-09-12](#)). It was subsequently used to assess the vulnerability status of the spinetail devil ray (*Mobula mobular*), caught by all industrial tuna fisheries in the EPO ([BYC-09-01](#)), and the EPO stock of the critically-endangered leatherback turtle (*Dermochelys coriacea*) ([BYC-10 INF-B, BYC-11-02](#)). Therefore, it was decided in the SSP that EASI-Fish will be used in future to assess the vulnerability of all species groups (e.g., elasmobranchs, sea turtles, teleosts) impacted by EPO tuna fisheries. In 2022, EASI-Fish was used to assess the vulnerability of the eastern Pacific leatherback turtle and shark bycatch species in EPO tuna fisheries and the results were presented at BYC-11 ([BYC-11-02](#)) and SAC-13, respectively ([SAC-13-11](#)).

6. ECOSYSTEM DYNAMICS

Although vulnerability assessments (e.g., EASI-Fish) are useful for assessing the ecological impacts of fishing by assessing the populations of individual species, ecosystem models are required to detect changes in the structure and internal dynamics of an ecosystem. These models are generally data- and labor-intensive to construct, and consequently, few fisheries worldwide have access to a reliable ecosystem model to guide conservation and management measures. These models require a good understanding of ecosystem components and the direction and magnitude of the trophic flows between them, which require detailed ecological studies involving stomach contents and/or stable isotope studies. Purposefully, IATTC staff have had a long history of undertaking such trophic studies, including the experimental determination of consumption estimates of yellowfin tuna at the NMFS Kewalo Basin facility on Oahu, HI in the 1980s, to more recent analyses of stomach content and stable isotope analysis of a range of top-level predators.

In 2003, the IATTC staff compiled the trophic data to complete the development of a model of the pelagic ecosystem in the tropical EPO (IATTC Bulletin, [Vol. 22, No. 3](#))—named “ETP7”—to explore how fishing and climate variation might affect target species (e.g., tunas), byproduct species (e.g., wahoo, dorado), elasmobranchs (e.g., sharks), forage groups (e.g., flyingfishes, squids) and species of conservation importance (e.g., sea turtles, cetaceans). A simplified food-web diagram, with approximate trophic levels (TLs), from the model is shown in [Figure L-12](#).

The model was calibrated to time series of biomass and catch data for a number of target species for 1961–1998. There have been significant improvements in data collection programs in the EPO since 1998, that has allowed the model to be updated with these new data up to 2018 (“ETP8”). Ecological indicators were derived from this updated model and are described below.

6.1. Ecological indicators

Since 2017, ETP8 has been used in the *Ecosystem Considerations* report to provide annual values for seven ecological indicators that, together, can identify changes in the structure and internal dynamics of the ETP ecosystem. These indicators are: mean trophic level of the catch (TL_c), the Marine Trophic Index (MTI), the Fishing in Balance (FIB) index, Shannon’s index, and the mean trophic level of the modelled community for trophic levels 2.0–3.25 (TL_{2.0}), ≥3.25–4.0 (TL_{3.5}), and >4.0 (TL_{4.0}). A full description of these indicators is

provided in [SAC-10-14](#). Additionally, simulations using the version of ETP8 updated and rebalanced in 2021 (“ETP-21”) were conducted to assess potential impacts of the FAD fishery on the structure of the ecosystem ([SAC-12-13](#)).

The update in 2021 was required due to a significant change in how the IATTC staff have reclassified the catch data submitted by the CPCs for “other gears” into longline and other gear types following an internal review of the data. This resulted in a dramatic increase in reported longline catches of high trophic level predators (sharks), which can have a strong influence on ecosystem dynamics. Annual catch estimates by species for 1993–2018 were assigned to the relevant functional groups in the ETP-21 model, which was then rebalanced and recalibrated to time series data to provide an updated ecosystem status for 2021 ([SAC-12-13](#)).

Ecological indicators showed that values for TL_c and MTI decreased from their peak of 4.77 and 4.83 in 1991 to 4.64 and 4.65 in 2018, respectively, as the purse-seine fishing effort on FADs significantly increased ([Figure L-13](#)), where there was increasing catches of high trophic level bycatch species that tend to aggregate around floating objects (e.g., sharks, billfish, wahoo and dorado). Since its peak in 1991, TL_c declined by 0.05 of a trophic level in the subsequent 28 years, or 0.04 trophic levels per decade. The expansion of the FAD fishery is also seen in the FIB index that exceeds zero after 1990, as well as the continual change in the evenness of biomass of the community indicated by Shannon’s index.

The above indicators generally describe the change in the exploited components of the ecosystem, whereas community biomass indicators describe changes in the structure of the ecosystem once biomass has been removed due to fishing. The biomass of the $TL_{MC4.0}$ community was at one of its highest values (4.493) in 1986 but has continued to decline to 4.470 in 2018 ([Figure L-13](#)). As a result of changes in predation pressure on lower trophic levels, between 1993 and 2018 the biomass of the $TL_{MC3.25}$ community increased from 3.801 to 3.829, while interestingly, the biomass of the $TL_{MC2.0}$ community also increased from 3.092 to 3.107.

Together, these indicators show that the ecosystem structure has likely changed over the 40-year analysis period. The consistent patterns of change in each ecological indicator, particularly in the mean trophic level of the communities since 1993, certainly warrant the continuation, and ideally an expansion, of monitoring programs for fisheries in the EPO.

7. FUTURE DEVELOPMENTS

It is unlikely, in the near future at least, that there will be stock assessments for most of the bycatch species. Therefore, the IATTC must continue to undertake ecological research that can provide managers with reliable information to guide the development of science-based conservation and management measures, where required, to ensure the IATTC continues to fulfil its responsibilities under the Antigua Convention and the objectives of the [SSP](#). The priority research areas that have been identified by the scientific staff that require further development are detailed below:

- Following the development of the EASI-Fish approach, analysis of the full suite of over 100 impacted bycatch species will be conducted in stages, by taxonomic group (e.g., sharks, rays, teleosts, turtles and cetaceans), beginning with sharks and the critically endangered leatherback turtle in 2022.
- Given the high number of highly vulnerable species identified in the 2022 shark EASI-Fish assessment, a high priority is to develop a strategy for future conservation and management of these vulnerable species. As a first step EASI-Fish will be used to explore the potential efficacy of hypothetical conservation and management measures for silky, hammerhead and thresher sharks.
- Significant knowledge gaps identified for sharks in the EASI-Fish assessment pertained to the

fundamental population dynamics of several species in the EPO, even those that have been commonly recorded as bycatch for decades. Therefore, significant efforts are required by the IATTC and its Members to establish a strategy for undertaking cost-effective studies to collect data to develop morphometric relationships for length-weight and length-length conversions, growth curves, and maturity ogives. In addition to the GEF-FAO ABNJ shark fishery data collection work recently completed in Central America and about to expand to other IATTC Members in 2022, which could be seen as an opportunity to achieve such strategy ([SAC-13-12](#)), the IATTC staff has prepared a new project F.3.a for a feasibility study on biological sampling from purse-seiners and longliners ([SAC-13-01](#)).

- A shortcoming of the ETP-21 ecosystem model, from which the ecological indicators are derived, is that its structure is based on stomach content data from fish collected in 1992–1994. Given the significant environmental changes that have been observed in the EPO over the past decade, there is a critical need to collect updated trophic information. There have been proposals made by the staff in 2018–2021 to establish an ecological monitoring program to collect stomach content data to update the ecosystem model. Given the emerging requirements for biological data on sharks, such a monitoring program could incorporate all biological and ecological requirements of the IATTC. Again, the GEF-FAO ABNJ project which continues to expand among IATTC Members offers some opportunities for integrating such a sampling program, especially if the ABNJ pilot project continues in perpetuity as recommended by the staff.
- A second limitation of the ETP-21 model is that it describes only the tropical component of the EPO ecosystem, and results cannot be reliably extrapolated to other regions of the EPO. Therefore, after updated diet information is collected, future work will aim to develop a spatially-explicit model that covers the entire EPO and calibrate the model with available time series of catches, ideally for species representing different trophic levels, and effort data for key fisheries in the EPO.
- Environmental variables can have a profound influence on the catches of target and bycatch species, as has been shown previously by IATTC staff and now undertaken annually in this report. However, the staff’s research to investigate the impact of environmental conditions on the fishery could be greatly improved with the availability of high-resolution operational level data for the longline fishery. Although IATTC Members and CPCs are now required to submit operational level observer data to the IATTC that covers at least 5% of their fleets, the staff concluded that these data are not representative of the fleet ([BYC-10 INF-D](#)) and therefore brings into question the validity of using submitted longline data for future environmental analyses until the observer coverage reaches at least 20%.
- The task of disentangling the spatial and temporal overlap of multiple target and non-target species requires an in-depth exploration of risk and trade-offs across management scenarios and species groups. Although the scientific community argued for the importance of exploring dynamic spatial management over 20 years ago, there are still few examples of dynamic or adaptive spatial management to reduce bycatch to date. In fact, no spatial management measures have been implemented to date to specifically reduce the catch of non-target species in tuna RFMOs. The identification of areas of potential interest for spatial management in the open ocean is directly dependent on the changing species-environment relationship, which can be modeled to estimate and predict species’ distributions and relative abundance across space and time and inform the design of adaptive management measures. Although the IATTC staff has started to investigate this matter in the EPO for both target and non-target species (e.g., [SAC-10 INF-D](#), Pons et al 2022, [BYC-11-04](#), Druon et al 2022), the environment-species relationship, as well as the potential implementation and operationalization of adaptive management options should be

considered and developed in detail in the coming years.

- The quality of ecological analyses and the annual reporting of EPO-wide catch estimates for bycatch species is currently hampered by IATTC's existing resolution on data provision ([C-03-05](#)), which no longer aligns with IATTC's evolving responsibilities under the Antigua Convention (see [SAC-12-09](#)). Such responsibilities include ensuring the sustainable impacts of EPO fisheries on associated and dependent species, which is the primary reason for the creation, and annual updates of, this *Ecosystem Considerations* report. Presently, the only reliable source of bycatch data is from observers onboard large, size Class-6, purse-seine vessels. Limited to no data on bycatch exists for other pelagic fisheries in the EPO. Proposed capacity building opportunities and a series of workshops involving IATTC staff and CPCs to develop clear data reporting standards are expected to facilitate improved data submission, catch estimates and reporting, which in turn will improve ecological analyses to allow the IATTC to meet its obligations under the Antigua Convention.

ACKNOWLEDGMENTS

We would like to thank Nick Vogel, Joydelee Marrow, and Joanne Boster for their assistance with data preparation, Alexandre Aires-da-Silva and Paulina Llano for their reviews of this document, and Christine Patnode for improving the figures. We gratefully acknowledge the early ecosystem research by Robert Olson that contributed to this report. His initiation of the *Ecosystem Considerations* report in 2003 was first presented at the 8th Meeting of the Working Group to Review Stock Assessments in 2007 ([SAR-8-17 J](#)) and has been updated annually.

LITERATURE CITED

- Bayliff, W.H. 1989. Inter-American Tropical Tuna Commission, Annual Report for 1988. IATTC, La Jolla, CA USA. 270 pp.
- Chassot, E., S. Bonhommeau, G. Reygondeau, K. Nieto, J.J. Polovina, M. Huret, N.K. Dulvy, and H. Demarcq. 2011. Satellite remote sensing for an ecosystem approach to fisheries management. ICES Journal of Marine Science 68(4): 651-666.
- Clarke, S. 2017. Southern Hemisphere porbeagle shark (*Lamna nasus*) stock status assessment. WCPFC-SC13-2017/SA-WP-12 (rev. 2). Pages 75. *Western and Central Pacific Fisheries Commission. Scientific Committee Thirteenth Regular Session*, Rarotonga, Cook Islands.
- Clarke, S. 2018a. Pacific-wide silky shark (*Carcharhinus falciformis*) Stock Status Assessment. WCPFC-SC14-2018/SA-WP-08. Pages 137. *Western and Central Pacific Fisheries Commission*, Busan, Korea.
- Clarke, S. 2018b. Risk to the Indo-Pacific Ocean whale shark population from interactions with Pacific Ocean purse-seine fisheries. WCPFC-SC14-2018/SA-WP-12 (rev. 2). Pages 55. *Western and Central Pacific Fisheries Commission, Scientific Committee Fourteenth Regular Session*, Busan, Korea.
- Dahlman, L. 2016. Climate Variability: Oceanic Niño Index. <https://www.climate.gov/news-features/understanding-climate/climate-variability-oceanic-ni%C3%B1o-index>. National Oceanic and Atmospheric Administration.
- Druon, J.-N., S. Campana, F. Vandeperre, F. Hazin, H. Bowlby, R. Coelho, N. Queiroz, F. Serena, F. Abascal, D. Damalas, M. Musyl, J. Lopez, B. Block, P. Afonso, H. Dewar, P.S. Sabarros, B. Finucci, A. Zanzi, P. Bach, I. Senina, F. Garibaldi, D. Sims, J. Navarro, P. Cermeño, A. Leone, G. Diez, M. Teresa, M. Deflorio, E. Romanov, A. Jung, M. Lapinski, M. Francis, H. Hazin, and P. Travassos. 2022. Global-scale environmental niche and habitat of blue shark (*Prionace glauca*) by size and sex: a pivotal step to improving stock management. *Frontiers in Marine Science* 9

- Duffy, L.M., and S.P. Griffiths. 2019. Assessing attribute redundancy in the application of productivity-susceptibility analysis to data-limited fisheries. *Aquatic Living Resources* 32(20): 1-11.
- Duffy, L.M., C.E. Lennert-Cody, R. Olson, C.V. Minte-Vera, and S.P. Griffiths. 2019. Assessing vulnerability of bycatch species in the tuna purse-seine fisheries of the eastern Pacific Ocean. *Fisheries Research* 219: 105316
- Fiedler, P., and M. Lavín. 2017. Oceanographic Conditions of the Eastern Tropical Pacific. In P. W. Glynn, D. P. Manzello, and I. C. Enochs (eds.), *Coral Reefs of the Eastern Tropical Pacific: Persistence and Loss in a Dynamic Environment*, p. 59-83. Springer, Netherlands.
- Fiedler, P.C. 2002. Environmental change in the eastern tropical Pacific Ocean: review of ENSO and decadal variability. *Administrative Report LJ-02-16*. Southwest Fisheries Science Center. Pages 38. National Marine Fisheries Service, NOAA, La Jolla, CA.
- Fu, D., M.-J. Roux, S. Clarke, M. Francis, A. Dunn, S. Hoyle, and C. Edwards. 2018. Pacific-wide sustainability risk assessment of bigeye thresher shark (*Alopias superciliosus*). *WCPFC-SC13-2017/SA-WP-11*. Rev 3 (11 April 2018). *Western and Central Pacific Fisheries Commission. Scientific Committee Thirteenth Regular Session*, Rarotonga, Cook Islands.
- Griffiths, S.P., and N. Lezama-Ochoa. 2021. A 40-year chronology of the vulnerability of spinetail devil ray (*Mobula mobular*) to eastern Pacific tuna fisheries and options for future conservation and management. *Aquatic Conservation: Marine and Freshwater Ecosystems* 31(10): 2910-2925.
- Hare, S.R., and N.J. Mantua. 2000. Empirical evidence for North Pacific regime shifts in 1977 and 1989. *Progress in Oceanography* 47: 103-145.
- Hobday, A.J., and J.R. Hartog. 2014. Derived Ocean Features for Dynamic Ocean Management. *Oceanography* 27(4): 134-145.
- Lennert-Cody, C.E., S.C. Clarke, A. Aires-da-Silva, M.N. Maunder, P.J.S. Franks, M.H. Román, A.J. Miller, and M. Minami. 2018. The importance of environment and life stage on interpretation of silky shark relative abundance indices for the equatorial Pacific Ocean. *Fisheries Oceanography*: 1-11
- Mantua, N.J., S.R. Hare, Y. Zhang, J.M. Wallace, and R.C. Francis. 1997. A Pacific interdecadal climate oscillation with impacts on salmon production. *Bulletin of the American Meteorological Society* 78: 1069-1079.
- Martínez-Ortiz, J., A. Aires-da-Silva, C.E. Lennert-Cody, and M.N. Maunder. 2015. The Ecuadorian artisanal fishery for large pelagics: species composition and spatio-temporal dynamics. *PLoS ONE* 10(8): e0135136.
- Pons, M., J.T. Watson, D. Ovando, S. Andraka, S. Brodie, A. Domingo, M. Fitchett, R. Forselledo, M. Hall, E.L. Hazen, J.E. Jannot, M. Herrera, S. Jiménez, D.M. Kaplan, S. Kerwath, J. Lopez, J. McVeigh, L. Pacheco, L. Rendon, K. Richerson, R. Sant'Ana, R. Sharma, J.A. Smith, K. Somers, and R. Hilborn. 2022. Trade-offs between bycatch and target catches in static versus dynamic fishery closures. *Proceedings of the National Academy of Sciences* 119(4): e2114508119.

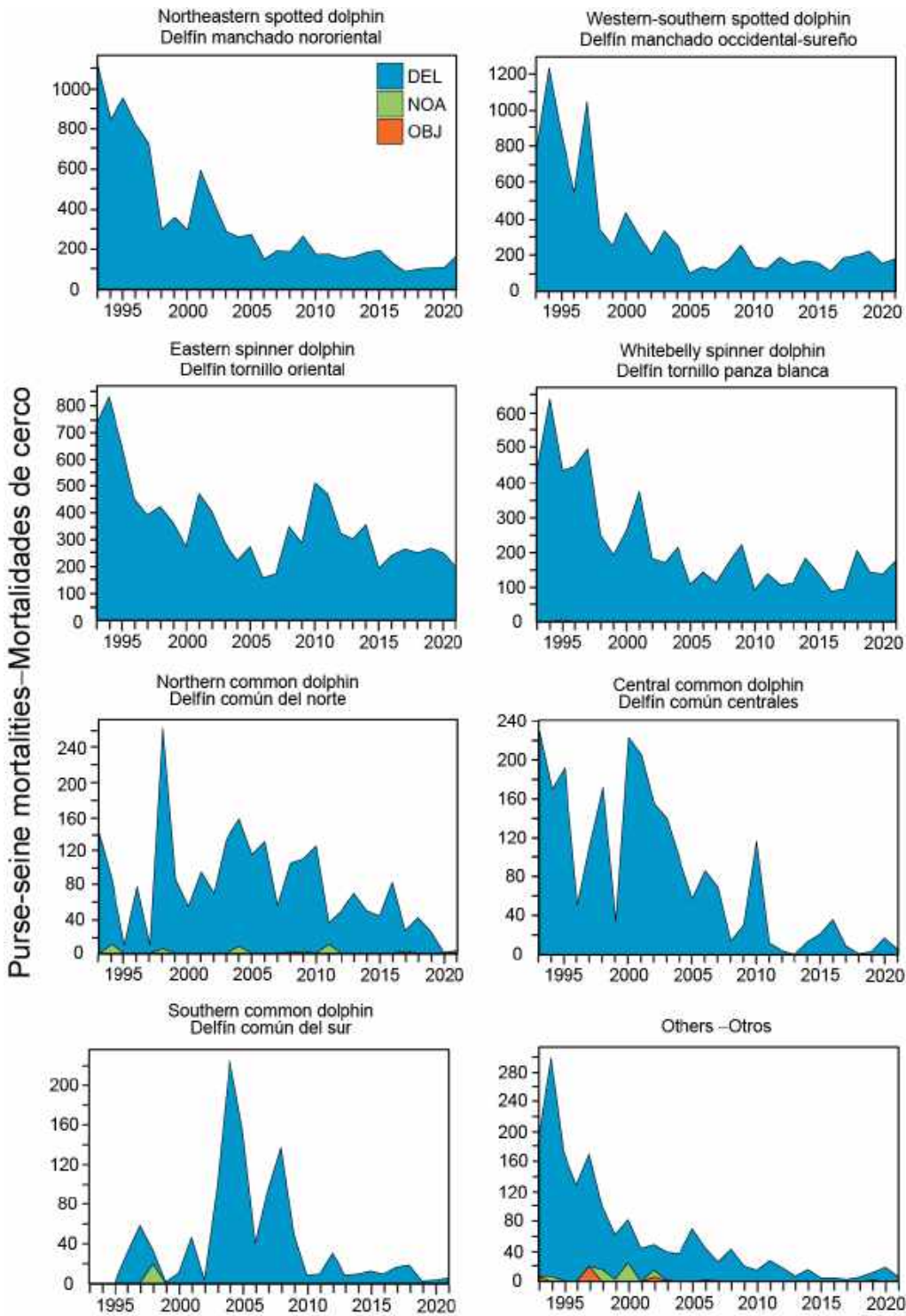
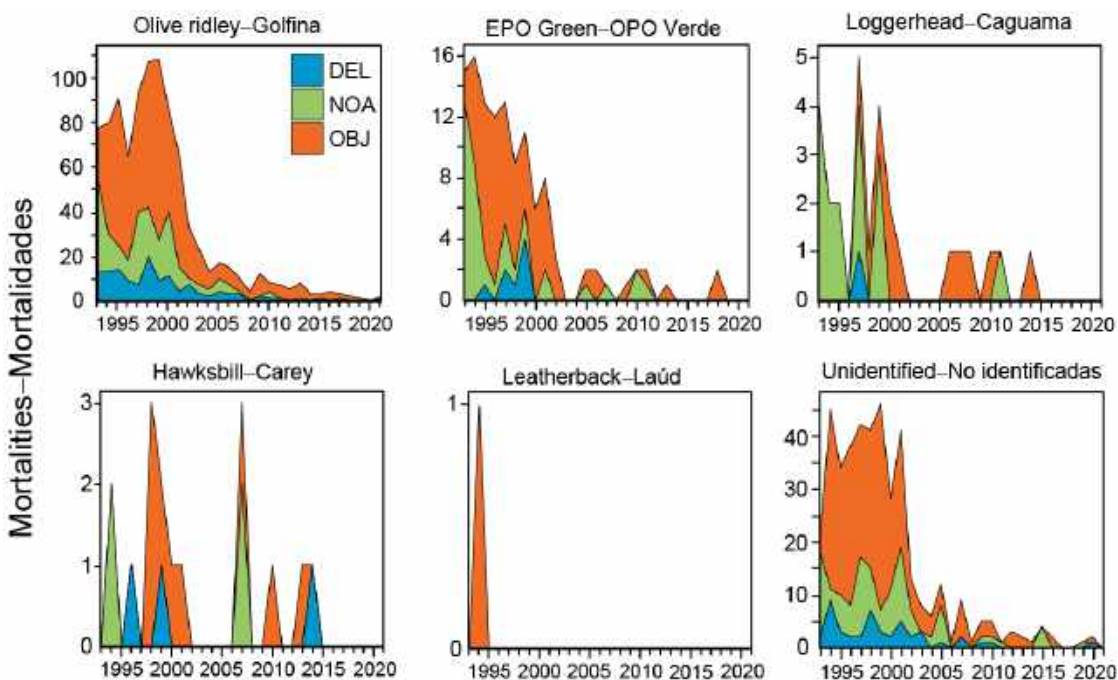


FIGURE L-1. Estimated number of incidental dolphin mortalities by observers onboard purse-seine vessels, 1993–2021.

FIGURA L-1. Número estimado de mortalidades incidentales de delfines por observadores a bordo de buques cerqueros grandes, 1993–2021.

a.



b.

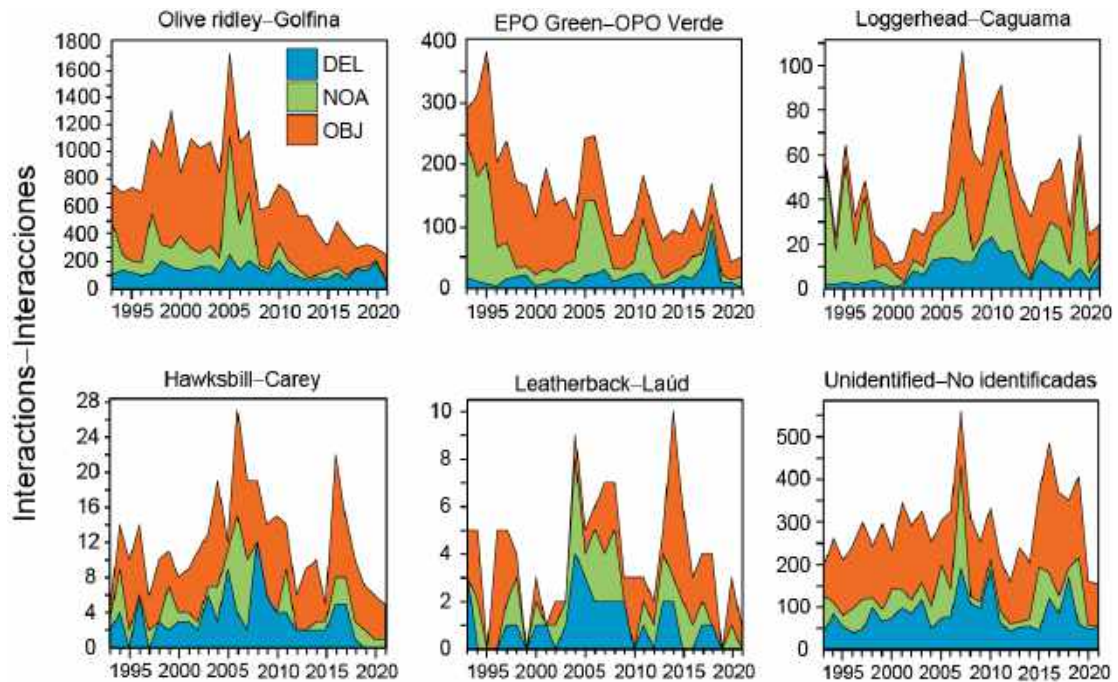


FIGURE L-2. Estimated number of sea turtle a) mortalities and b) interactions by observers onboard large purse-seine vessels, 1993–2021, by set type (dolphin (DEL), unassociated (NOA), floating object (OBJ)).

FIGURA L-2. Número estimado de a) mortalidades y b) interacciones de tortugas marinas por observadores a bordo de buques cerqueros grandes, 1993-2021, por tipo de lance (delfín (DEL), no asociado (NOA), objeto flotante (OBJ)).

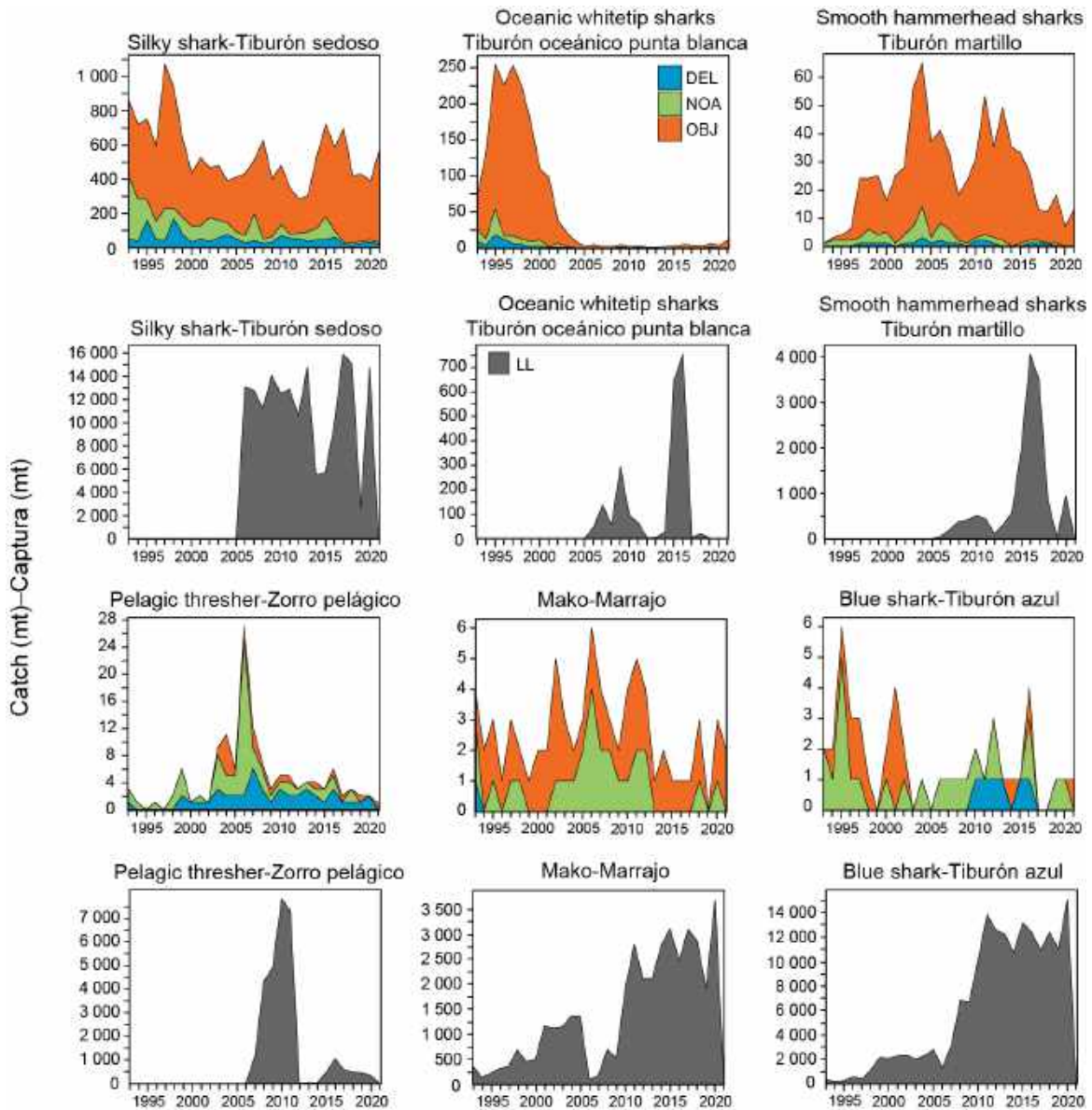


FIGURE L-3. Estimated catches in metric tons (t) of key shark species in the eastern Pacific Ocean recorded by observers onboard large purse-seine vessels and minimum longline (LL) estimates of gross annual removals reported by CPCs (see section 2.2. for uncertainty in reporting of bycatch species caught by longline). Purse-seine catches are provided for size-class 6 vessels with a carrying capacity >363 t (1993–2021) by set type: floating object (OBJ), unassociated tuna schools (NOA) and dolphins (DEL). Longline catches (1993–2020) are minimum reported gross-annual removals that may have been estimated using a mixture of different weight metrics (see footnote in section 3.5).

FIGURA L-3. Capturas estimadas en toneladas (t) de especies clave de tiburones en el Océano Pacífico oriental registradas por observadores a bordo de buques cerqueros grandes y estimaciones mínimas de palangre (LL) de extracciones anuales brutas reportadas por los CPC (ver Sección 2.2. para consultar información sobre la incertidumbre en la notificación de especies capturadas incidentalmente con palangre). Se presentan las capturas cerqueras para buques de clase 6 con una capacidad de acarreo >363 t (1993-2021) por tipo de lance: objeto flotante (OBJ), atunes no asociados (NOA) y delfines (DEL). Las capturas palangreras (1993–2020) son extracciones anuales brutas mínimas reportadas que pueden haber sido estimadas usando una mezcla de diferentes métricas de peso (ver nota al pie de página en la sección 3.5).

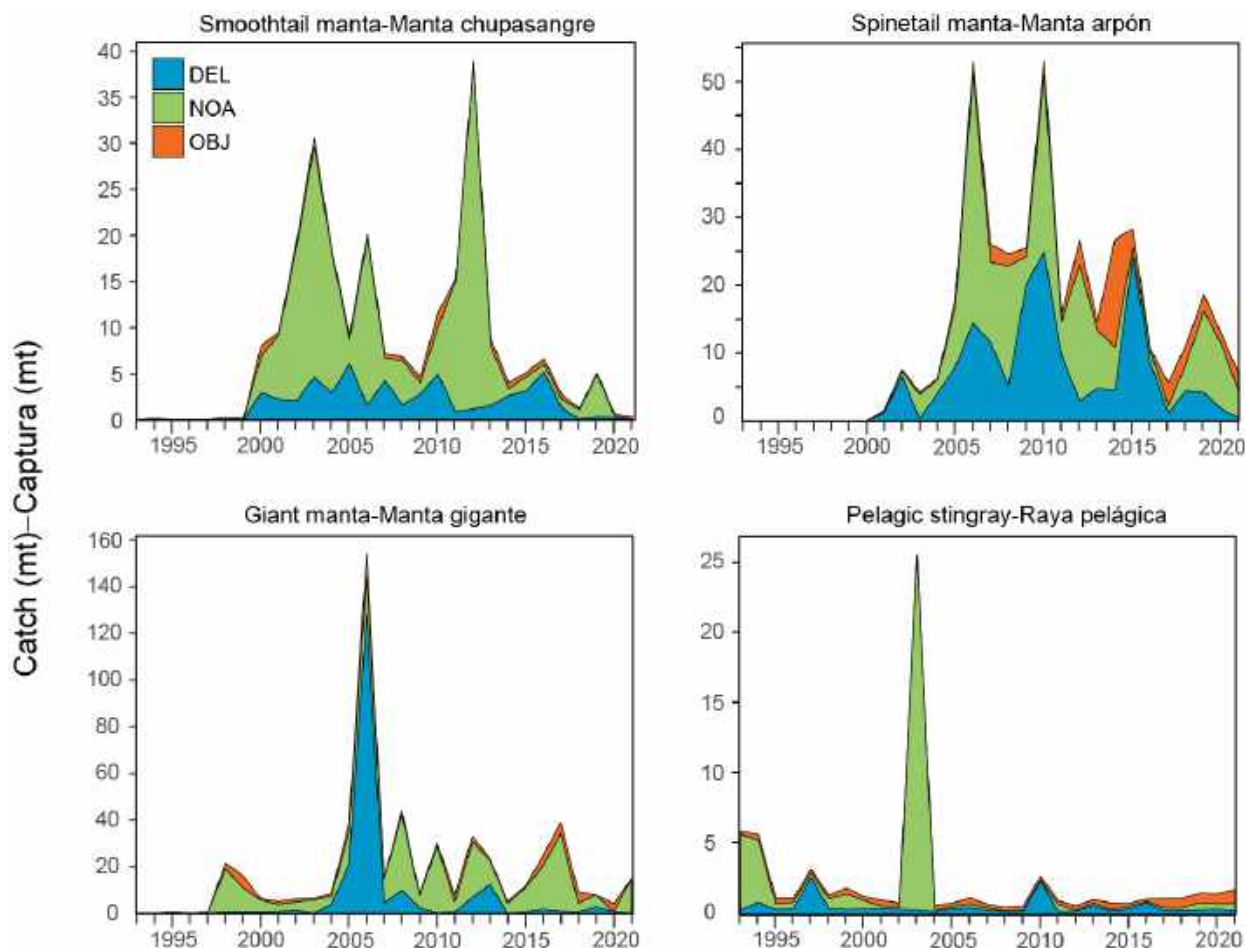


FIGURE L-4. Estimated purse-seine catches in metric tons (t) of key species of rays in the eastern Pacific Ocean. Purse seine catches are provided for size-class 6 vessels with a carrying capacity >363 t (1993–2021) by set type: floating object (OBJ), unassociated tuna schools (NOA) and dolphins (DEL).

FIGURA L-4. Capturas cerqueras estimadas en toneladas (t) de especies clave de rayas en el Océano Pacífico oriental. Se presentan las capturas cerqueras para buques de clase 6 con una capacidad de acarreo >363 t (1993-2021) por tipo de lance: objeto flotante (OBJ), atunes no asociados (NOA) y delfines (DEL).

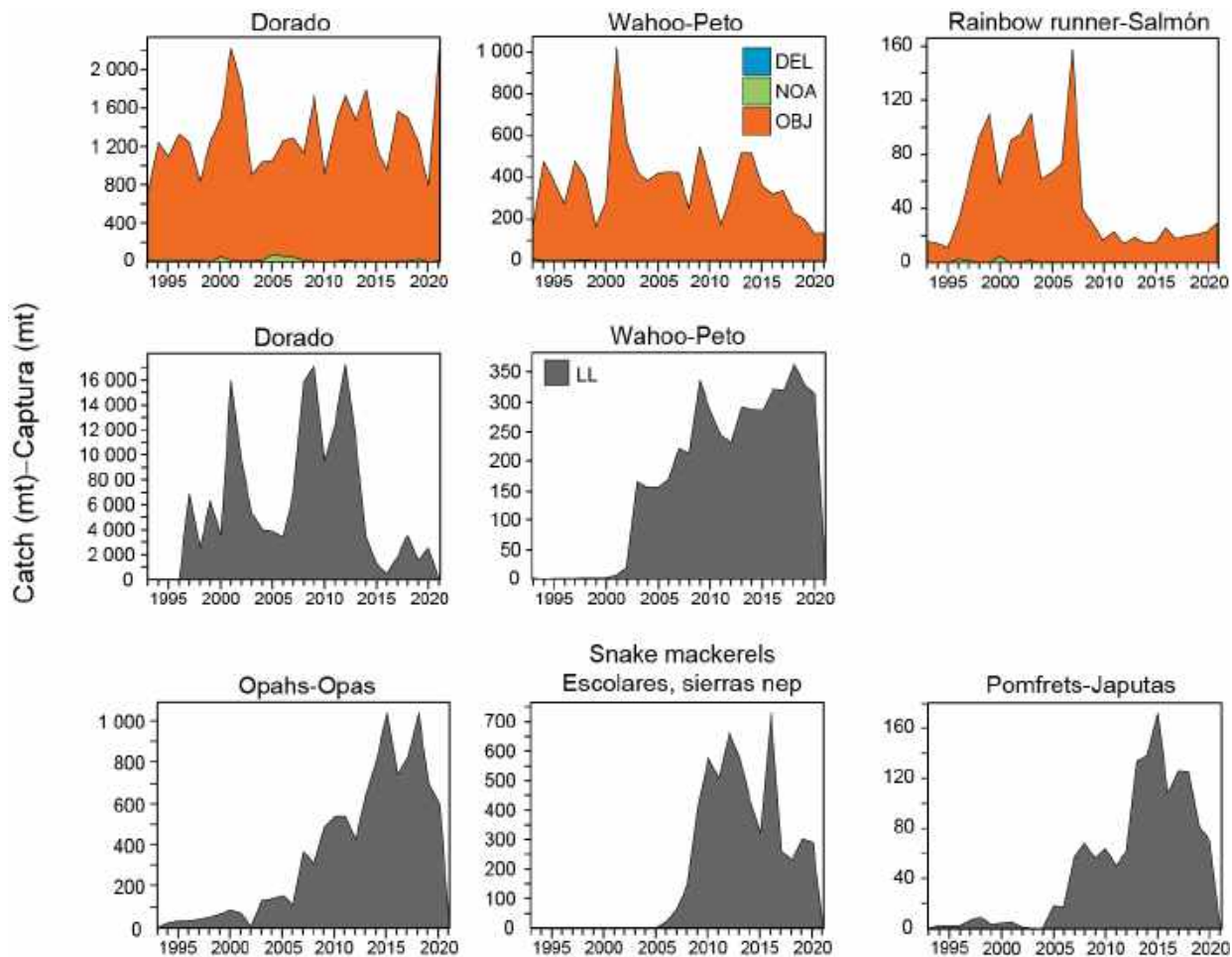


FIGURE L-5. Estimated purse-seine and longline catches in metric tons (t) of key species of large fishes in the eastern Pacific Ocean. Purse-seine catches are provided for size-class 6 vessels with a carrying capacity >363 t (1993–2021) by set type: floating object (OBJ), unassociated tuna schools (NOA) and dolphins (DEL). Longline (LL) catches (1993–2020) are minimum reported gross-annual removals.

FIGURA L-5. Capturas cerqueras y palangreras estimadas en toneladas (t) de especies clave de peces grandes en el Océano Pacífico oriental. Se presentan las capturas cerqueras para buques de clase 6 con una capacidad de acarreo >363 t (1993-2021) por tipo de lance: objeto flotante (OBJ), atunes no asociados (NOA) y delfines (DEL). Las capturas palangreras (LL) (1993–2020) son extracciones anuales brutas mínimas reportadas.

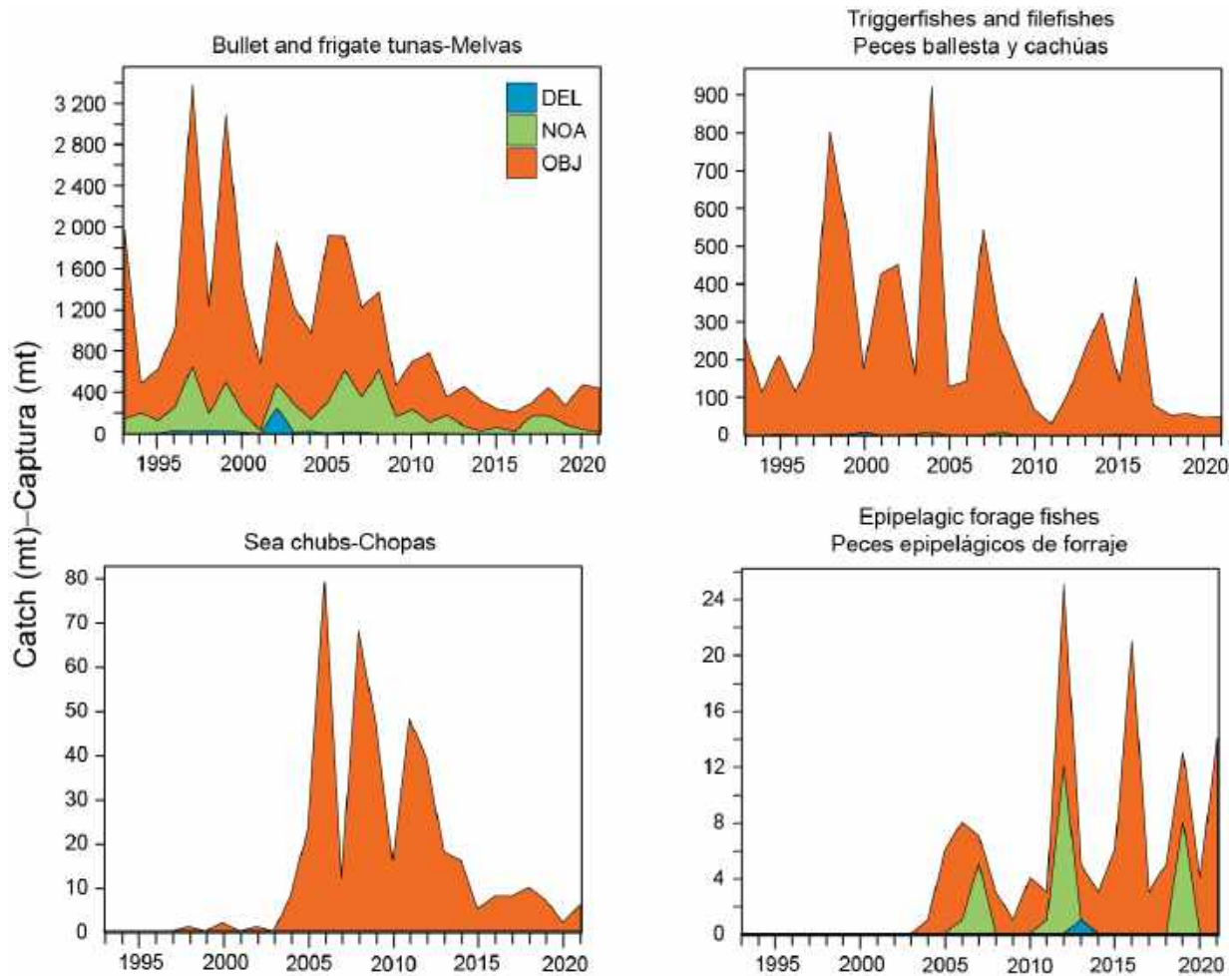


FIGURE L-6. Estimated purse-seine catches in metric tons (t) of key species of small fishes in the eastern Pacific Ocean. Purse seine catches are provided for size-class 6 vessels with a carrying capacity >363 t (1993–2021) by set type: floating object (OBJ), unassociated tuna schools (NOA) and dolphins (DEL).

FIGURA L-6. Capturas cerqueras estimadas en toneladas (t) de especies clave de peces pequeños en el Océano Pacífico oriental. Se presentan las capturas cerqueras para buques de clase 6 con una capacidad de acarreo >363 t (1993-2021) por tipo de lance: objeto flotante (OBJ), atunes no asociados (NOA) y delfines (DEL).

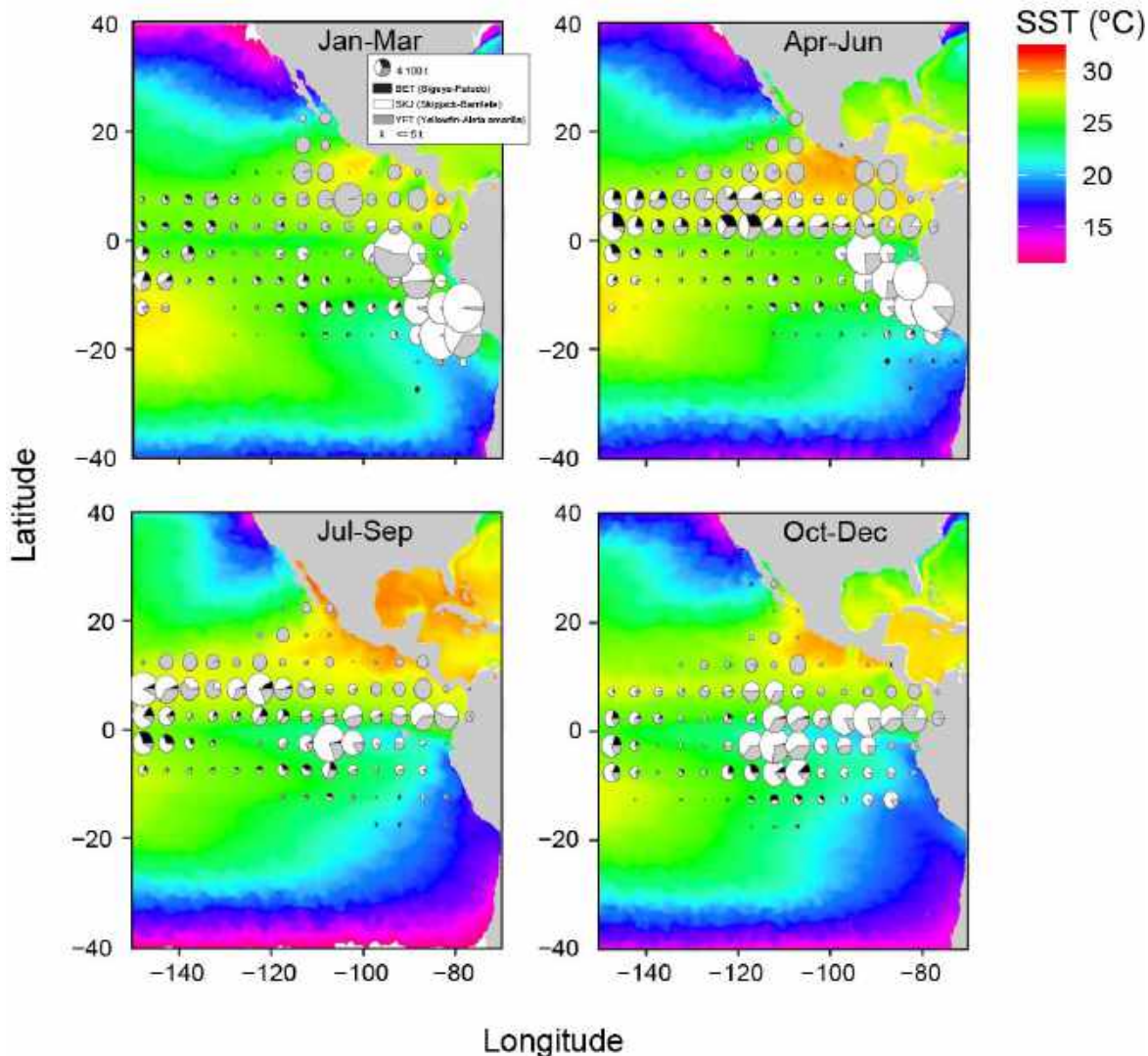


FIGURE L-10. Mean sea surface temperature (SST) for each quarter during 2021 with catches of tropical tunas overlaid. SST data obtained from NOAA NMFS SWFSC ERD on January 12, 2022, “Multi-scale Ultra-high Resolution (MUR) SST Analysis fv04.1, Global, 0.01°, 2002–present, Monthly”, <https://coastwatch.pfeg.noaa.gov/erddap/info/jplMURSST41mday/index.html>.

FIGURA L-10 Temperatura superficial del mar (TSM) promedio para cada trimestre de 2021 con las capturas de atunes tropicales superpuestas. Datos de TSM obtenidos de NOAA NMFS SWFSC ERD el 12 de enero de 2022, “Multi-scale Ultra-high Resolution (MUR) SST Analysis fv04.1, Global, 0.01°, 2002–present, Monthly”, <https://coastwatch.pfeg.noaa.gov/erddap/info/jplMURSST41mday/index.html>.

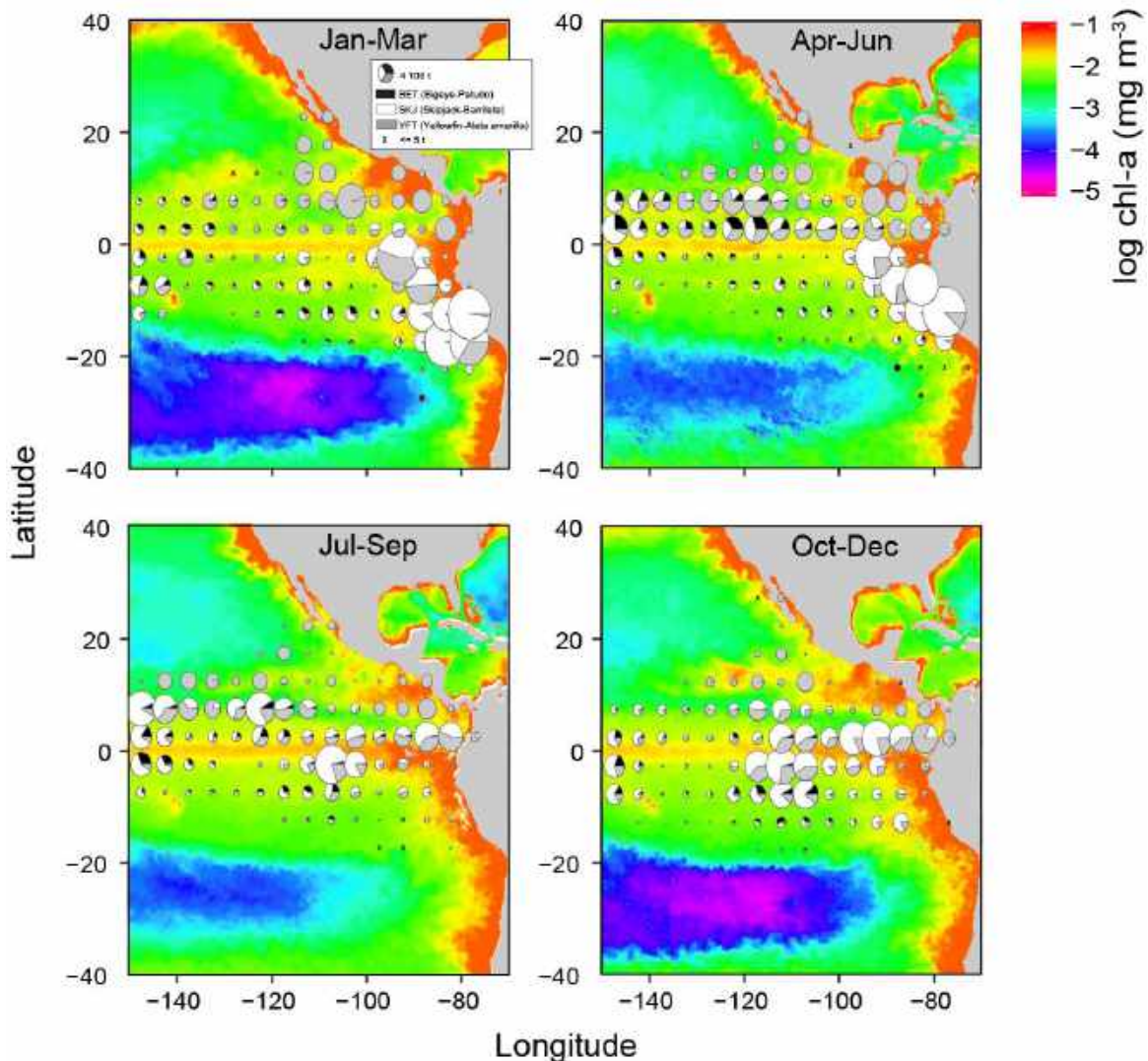


FIGURE L-11. Mean log chlorophyll-a concentration (in mg m^{-3}) for each quarter during 2021 with catches of tropical tunas overlaid. Chlorophyll data obtained from NOAA CoastWatch on January 20, 2022, “Chlorophyll, NOAA, VIIRS, Science Quality, Global, Level 3, 2012-present, Monthly”, NOAA NMFS SWFSC ERD, <https://coastwatch.pfeg.noaa.gov/erddap/info/nesdisVHNSQchlamonthly/index.html>.

FIGURA L-11. Concentración promedio de clorofila-a (en mg m^{-3}) para cada trimestre de 2021 con las capturas de atunes tropicales superpuestas. Datos de clorofila obtenidos de NOAA CoastWatch el 20 de enero de 2022, “Chlorophyll, NOAA, VIIRS, Science Quality, Global, Level 3, 2012-present, Monthly”, NOAA NMFS SWFSC ERD, <https://coastwatch.pfeg.noaa.gov/erddap/info/nesdisVHNSQchlamonthly/index.html>.

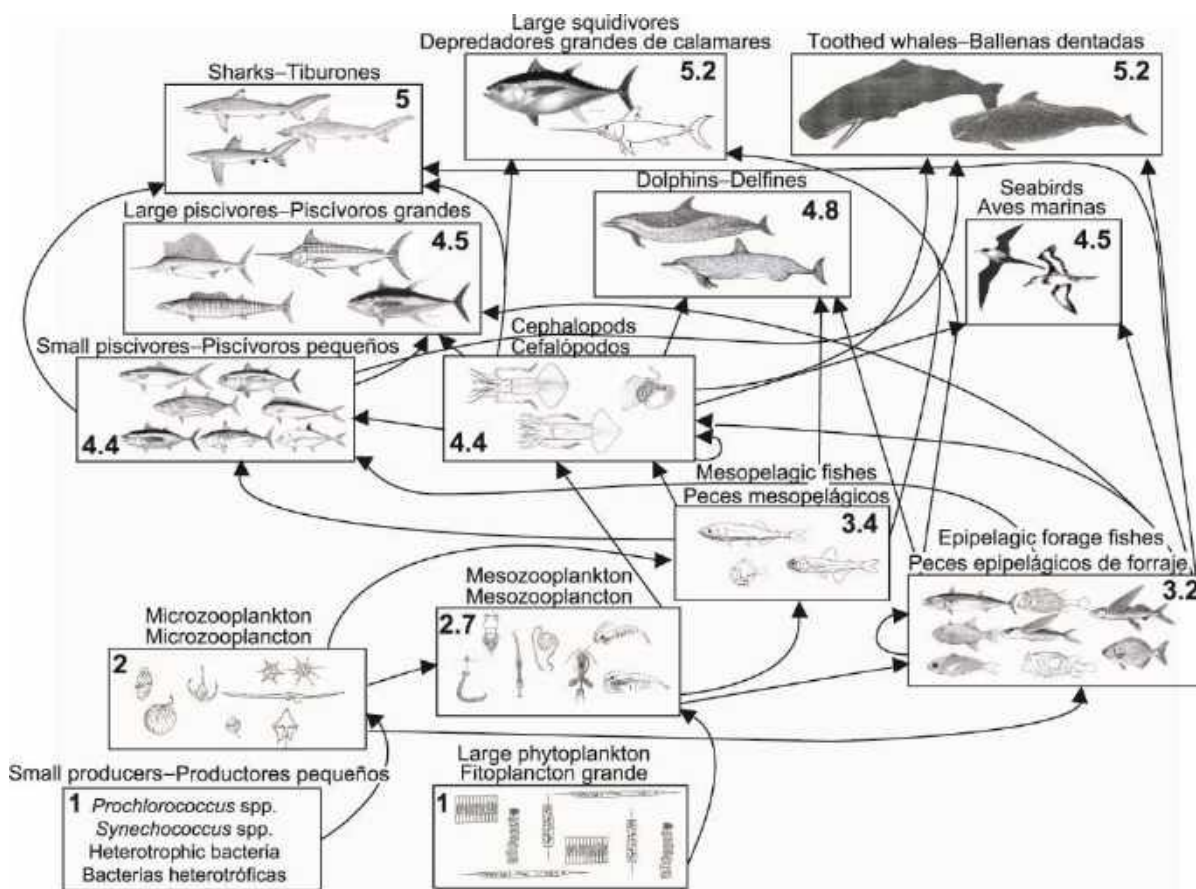


FIGURE L-12. Simplified food-web diagram of the pelagic ecosystem in the tropical EPO. The numbers inside the boxes indicate the approximate trophic level of each group.

FIGURA L-12. Diagrama simplificado de la red trófica del ecosistema pelágico en el OPO tropical. Los números en los recuadros indican el nivel trófico aproximado de cada grupo.

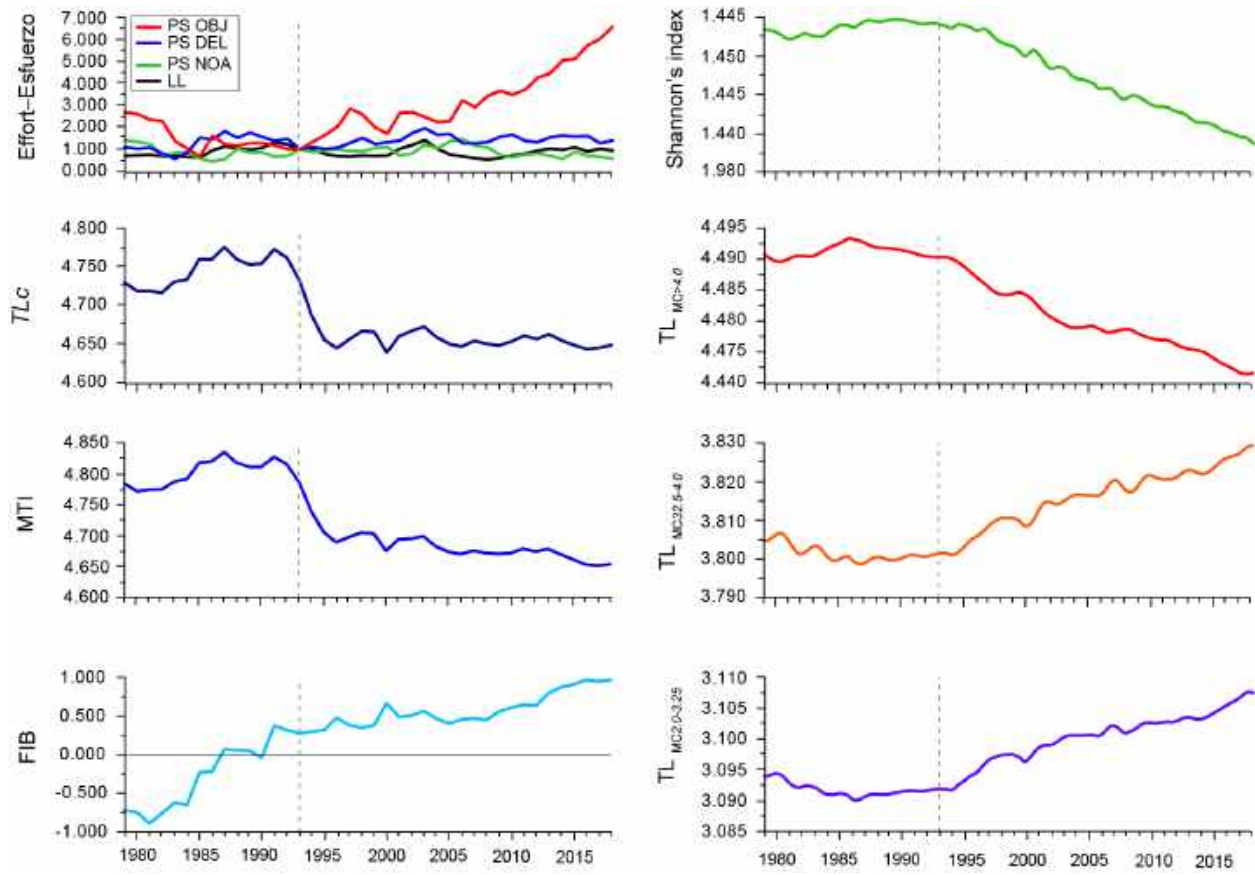


FIGURE L-13. Annual values for seven ecological indicators of changes in different components of the tropical EPO ecosystem, 1979–2018 (see Section 6 of text for details), and an index of longline (LL) and purse-seine (PS) fishing effort, by set type (dolphin (DEL), unassociated (NOA), floating object (OBJ)), relative to the model start year of 1993 (vertical dashed line), when the expansion of the purse-seine fishery on FADs began.

FIGURA L-13 Valores anuales de siete indicadores ecológicos de cambios en diferentes componentes del ecosistema del OPO tropical, 1979–2018 (ver detalles en la sección 6 del texto), y un índice de esfuerzo palangrero (LL) y cerquero (PS), por tipo de lance (delfín (DEL), no asociado (NOA), objeto flotante (OBJ)) relativo al año de inicio del modelo de 1993 (línea de trazos vertical), cuando comenzó la expansión de la pesquería cerquera sobre plantados.

TABLE L-1a. Estimated number of individuals of incidental dolphin mortalities by set type and stock in the eastern Pacific Ocean by the purse-seine fishery from 1993-2021.

TABLA L-1a. Número estimado de individuos de mortalidades incidentales de delfines por la pesquería de cerco durante 1993-2021, por tipo de lance y población en el Océano Pacífico oriental.

Year	Northeastern spotted			Western-southern spotted			Eastern spinner			Whitebelly spinner		
	Purse seine			Purse seine			Purse seine			Purse seine		
	DEL	NOA	OBJ	DEL	NOA	OBJ	DEL	NOA	OBJ	DEL	NOA	OBJ
1993	1,112	0	0	773	0	0	725	0	0	437	0	0
1994	847	0	0	1,228	0	0	828	0	0	640	0	0
1995	952	0	0	855	0	0	654	0	0	431	5	0
1996	818	0	0	476	0	0	450	0	0	438	0	0
1997	718	3	0	1,021	0	0	391	0	0	498	0	0
1998	298	0	0	341	0	0	422	0	0	249	0	0
1999	358	0	0	253	0	0	363	0	0	192	0	0
2000	295	0	0	435	0	0	275	0	0	262	0	0
2001	592	0	0	315	0	0	470	0	0	374	0	0
2002	435	0	0	203	0	0	403	0	0	182	0	0
2003	288	0	0	335	0	0	290	0	0	170	0	0
2004	261	0	0	256	0	0	223	0	0	214	0	0
2005	273	0	0	100	0	0	275	0	0	108	0	0
2006	147	0	0	135	0	0	160	0	0	144	0	0
2007	189	0	0	116	0	0	175	0	0	113	0	0
2008	184	0	0	167	0	0	349	0	0	171	0	0
2009	266	0	0	254	0	0	288	0	0	222	0	0
2010	170	0	0	135	0	0	510	0	0	92	0	0
2011	172	0	0	124	0	0	467	0	0	139	0	0
2012	151	0	0	187	0	0	324	0	0	107	0	0
2013	158	0	0	145	0	0	303	0	0	111	0	0
2014	181	0	0	168	0	0	356	0	0	183	0	0
2015	191	0	0	158	0	0	196	0	0	139	0	0
2016	127	0	0	111	0	0	243	0	0	89	0	0
2017	85	0	0	183	0	0	266	0	0	95	0	0
2018	99	0	0	197	0	0	252	0	0	205	0	0
2019	104	0	0	220	0	0	269	0	0	143	0	0
2020	105	0	0	154	0	0	251	0	0	136	0	0
2021	167	0	0	178	0	0	197	0	0	175	0	0
Total	9,743	3	0	9,223	0	0	10,375	0	0	6,459	5	0

TABLE L-1a continued

Year	Northern common			Central common			Southern common			Other dolphins		
	Purse seine			Purse seine			Purse seine			Purse seine		
	DEL	NOA	OBJ	DEL	NOA	OBJ	DEL	NOA	OBJ	DEL	NOA	OBJ
1993	139	0	0	230	0	0	0	0	0	178	0	7
1994	75	10	0	170	0	0	0	0	0	291	7	0
1995	9	0	0	192	0	0	0	0	0	171	1	0
1996	77	0	0	51	0	0	0	0	0	129	0	0
1997	9	0	0	114	0	0	58	0	0	150	0	20
1998	256	5	0	172	0	0	14	19	0	84	16	0
1999	85	0	0	34	0	0	1	0	0	59	3	0
2000	54	0	0	223	0	0	10	0	0	57	24	1
2001	94	0	0	205	0	0	46	0	0	44	0	0
2002	69	0	0	155	0	0	3	0	0	34	9	6
2003	133	0	0	140	0	0	97	0	0	37	0	2
2004	148	8	0	97	0	0	225	0	0	37	0	0
2005	114	0	0	57	0	0	154	0	0	70	0	0
2006	129	0	0	86	0	0	40	0	0	43	2	0
2007	55	0	0	69	0	0	95	0	0	25	1	0
2008	103	1	0	14	0	0	137	0	0	43	0	0
2009	107	2	0	30	0	0	49	0	0	21	0	0
2010	124	0	0	116	0	0	8	0	0	14	0	1
2011	25	10	0	12	0	0	9	0	0	28	0	0
2012	49	0	0	4	0	0	30	0	0	18	0	0
2013	69	0	0	0	0	0	8	0	0	6	1	0
2014	49	0	0	13	0	0	9	0	0	15	0	1
2015	43	0	0	21	0	0	12	0	0	5	0	0
2016	82	0	0	36	0	0	9	0	0	4	0	1
2017	24	2	0	9	0	0	16	0	0	3	0	0
2018	41	0	0	1	0	0	18	0	0	6	0	0
2019	25	0	0	3	0	0	2	0	0	10	0	2
2020	1	0	0	17	0	0	3	0	0	20	0	0
2021	3	0	0	6	0	0	5	0	0	9	0	0
Total	2,191	38	0	2,277	0	0	1,058	19	0	1,611	64	41

TABLE L-2a. Estimated number of turtle interactions and mortalities by observers onboard purse-seine size-class 6 vessels with a carrying capacity >363 t (1993–2021). Purse-seine set types: floating object (OBJ), unassociated tuna schools (NOA) and dolphins (DEL). Data for 2021 are considered preliminary.

TABLA L-2a. Número estimado de mortalidades e interacciones de tortugas por observadores a bordo de buques cerqueros de clase 6 con una capacidad de acarreo >363 t (1993–2021). Tipos de lances cerqueros: objeto flotante (OBJ), atunes no asociados (NOA) y delfines (DEL). Los datos de 2021 se consideran preliminares.

Year	<i>Lepidochelys olivacea</i> , olive Ridley						<i>Chelonia agassizii</i> , <i>Chelonia mydas</i> , eastern Pacific green						<i>Caretta caretta</i> , loggerhead					
	Purse seine			Purse seine			Purse seine			Purse seine			Purse seine			Purse seine		
	Interactions		Mortality		Interactions		Mortality		Interactions		Mortality		Interactions		Mortality			
Year	OBJ	NOA	DEL	OBJ	NOA	DEL	OBJ	NOA	DEL	OBJ	NOA	DEL	OBJ	NOA	DEL	OBJ	NOA	DEL
1993	285	376	102	24	41	13	54	220	18	2	13	0	3	51	2	0	4	0
1994	455	114	137	50	17	13	132	170	12	7	9	0	6	15	2	0	2	0
1995	537	89	117	66	11	14	181	196	8	10	2	1	9	52	3	0	2	0
1996	520	97	96	47	9	9	138	63	4	11	1	0	12	18	2	0	0	0
1997	544	439	112	54	33	7	164	59	16	8	3	2	7	38	3	1	3	1
1998	649	116	209	66	22	20	141	13	20	7	1	1	15	5	4	1	0	0
1999	1,005	140	160	82	18	9	130	16	21	5	2	4	9	9	2	1	3	0
2000	463	248	139	46	29	11	93	17	5	6	0	0	4	6	1	2	0	0
2001	802	162	136	51	11	4	164	24	8	6	2	0	10	1	2	1	0	0
2002	767	97	165	23	3	7	110	11	15	3	0	0	14	5	8	0	0	0
2003	762	147	168	16	4	3	107	25	15	0	0	0	14	4	6	0	0	0
2004	624	110	120	8	3	2	65	38	8	0	0	0	10	11	13	0	0	0
2005	606	872	249	7	6	4	101	122	21	1	1	0	5	15	14	0	0	0
2006	595	337	140	8	4	3	106	119	23	2	0	0	39	19	14	1	0	0
2007	450	494	210	6	1	3	83	56	31	0	1	0	56	38	12	1	0	0
2008	408	27	147	4	0	0	54	20	12	0	0	0	45	5	12	1	0	0
2009	464	30	110	10	0	2	56	12	19	1	0	0	30	5	20	0	0	0
2010	424	128	212	4	3	1	71	20	23	0	2	0	34	24	23	1	0	0
2011	502	96	115	6	0	1	70	89	25	1	1	0	29	46	16	0	1	0
2012	388	53	91	5	0	0	77	42	5	0	0	0	19	19	17	0	0	0
2013	454	20	66	7	1	0	61	10	7	1	0	0	24	9	8	0	0	0
2014	304	19	83	3	0	0	69	16	10	0	0	0	27	1	4	1	0	0
2015	195	49	78	2	0	1	54	12	21	0	0	0	28	6	13	0	0	0
2016	333	49	113	4	0	0	78	35	17	0	0	0	19	21	9	0	0	0
2017	285	24	72	2	0	1	39	21	34	0	0	0	31	20	7	0	0	0
2018	150	5	147	2	0	0	50	24	96	2	0	0	17	7	4	0	0	0
2019	170	28	129	1	0	0	72	13	10	0	0	0	14	46	9	0	0	0
2020	91	14	197	0	0	0	29	4	11	0	0	0	17	3	4	0	0	0
2021	189	2	54	1	0	1	32	17	3	0	0	0	13	5	11	0	0	0
Total	13,422	4,383	3,875	606	215	130	2,579	1,485	518	73	38	8	560	504	245	11	14	1

TABLE L-2a continued

Year	<i>Eretmochelys imbricata</i> , hawksbill						<i>Dermochelys coriacea</i> , leatherback						Unidentified turtles								
	Purse seine			Purse seine			Purse seine			Purse seine			Purse seine			Purse seine					
	Interactions		Mortality		Interactions		Mortality		Interactions		Mortality		Interactions		Mortality		Interactions		Mortality		
Year	OBJ	NOA	DEL	OBJ	NOA	DEL	OBJ	NOA	DEL	OBJ	NOA	DEL	OBJ	NOA	DEL	OBJ	NOA	DEL	OBJ	NOA	DEL
1993	1	1	2	0	0	0	2	0	3	0	0	0	66	89	38	3	16	2			
1994	5	5	4	0	2	0	3	2	0	1	0	0	151	27	83	34	2	9			
1995	8	2	0	0	0	0	0	0	0	0	0	0	130	27	52	24	7	3			
1996	8	0	6	0	0	1	5	0	0	0	0	0	151	58	37	30	6	2			
1997	4	2	0	0	0	0	3	1	1	0	0	0	180	72	46	25	15	2			
1998	7	0	3	3	0	0	1	2	1	0	0	0	121	24	97	26	8	7			
1999	4	5	2	1	0	1	0	0	0	0	0	0	202	28	65	39	4	3			
2000	4	1	3	1	0	0	1	1	1	0	0	0	92	68	74	17	9	2			
2001	5	1	3	1	0	0	0	0	1	0	0	0	206	43	96	22	14	5			
2002	8	1	2	0	0	0	1	1	0	0	0	0	175	33	82	6	5	2			
2003	6	1	6	0	0	0	0	1	1	0	0	0	169	40	117	5	0	3			
2004	12	4	3	0	0	0	1	4	4	0	0	0	151	53	48	4	2	0			
2005	1	2	9	0	0	0	1	1	3	0	0	0	103	126	73	4	7	1			
2006	12	11	4	0	0	0	1	3	2	0	0	0	184	64	77	1	0	0			
2007	9	8	2	1	2	0	3	2	2	0	0	0	130	240	191	7	0	2			
2008	7	0	12	0	0	0	2	3	2	0	0	0	182	18	107	1	0	0			
2009	8	0	6	0	0	0	1	0	2	0	0	0	141	16	95	3	1	1			
2010	11	0	4	1	0	0	3	0	0	0	0	0	122	24	187	3	1	1			
2011	5	5	4	0	0	0	1	1	1	0	0	0	125	28	63	0	1	0			
2012	4	0	2	0	0	0	1	1	0	0	0	0	99	19	40	3	0	0			
2013	7	0	2	1	0	0	1	2	2	0	0	0	175	13	51	2	0	0			
2014	7	1	2	0	0	1	7	1	2	0	0	0	132	18	53	1	0	0			
2015	2	1	2	0	0	0	4	2	0	0	0	0	174	152	42	0	4	0			
2016	14	3	5	0	0	0	2	1	0	0	0	0	307	59	120	2	0	0			
2017	7	3	5	0	0	0	2	1	1	0	0	0	243	43	83	0	0	0			
2018	7	2	1	0	0	0	3	0	1	0	0	0	160	22	169	0	0	0			
2019	5	2	0	0	0	0	0	0	0	0	0	0	193	155	59	0	1	0			
2020	5	1	0	0	0	0	2	1	0	0	0	0	108	8	45	1	0	1			
2021	4	1	0	0	0	0	1	0	0	0	0	0	97	5	51	0	0	0			
Total	187	63	94	9	4	3	52	31	30	1	0	0	4,470	1,570	2,340	264	103	46			

TABLE L-4a. Estimated purse-seine catches by set type in metric tons (t) of sharks by observers onboard size-class 6 vessels with a carrying capacity >363 t (1993–2021) and minimum reported longline (LL) catches of sharks (gross-annual removals in t) (1993–2020, *data not available). Purse-seine set types: floating object (OBJ), unassociated tuna schools (NOA) and dolphins (DEL). Species highlighted bold are discussed in main text. Data for 2020 (longline) and 2021 (purse-seine) are considered preliminary.

TABLA L-4a. Capturas cerqueras estimadas de tiburones, por tipo de lance, en toneladas (t), por observadores a bordo de buques de clase 6 con una capacidad de acarreo >363 t (1993–2021) y capturas palangreras (LL) mínimas reportadas de tiburones (extracciones anuales brutas en t) (1993–2020, *datos no disponibles). Tipos de lances cerqueros: objeto flotante (OBJ), atunes no asociados (NOA) y delfines (DEL). Las especies en negritas se discuten en el texto principal. Los datos de 2020 (palangre) y 2021 (cerco) se consideran preliminares.

Year	Carcharhinidae																
	<i>Carcharhinus falciformis</i> , silky shark						<i>Carcharhinus longimanus</i> , oceanic whitetip						<i>Prionace glauca</i> , blue shark				Other Carcharhinidae, requiem sharks
	Purse seine			LL	Purse seine			LL	Purse seine			LL	Purse seine			LL	
	OBJ	NOA	DEL		OBJ	NOA	DEL		OBJ	NOA	DEL		OBJ	NOA	DEL		
1993	447	360	51	-	44	18	9	-	<1	2	<1	360	2	5	3	-	
1994	439	244	38	-	119	9	4	-	<1	1	<1	209	24	14	5	-	
1995	471	120	162	-	200	36	18	-	<1	5	<1	280	4	2	11	-	
1996	442	107	47	-	209	5	12	-	2	<1	<1	606	12	<1	7	-	
1997	843	188	42	-	236	11	6	-	2	<1	<1	425	18	3	5	-	
1998	710	59	171	-	211	7	5	-	1	<1	<1	1,164	4	<1	<1	-	
1999	460	100	74	-	163	7	2	-	<1	<1	<1	2,185	9	<1	<1	-	
2000	308	97	30	-	98	9	2	-	<1	<1	<1	2,112	5	<1	<1	-	
2001	399	76	53	-	96	<1	<1	-	4	<1	<1	2,304	9	<1	-	-	
2002	291	142	35	-	31	6	<1	<1	1	<1	<1	2,356	4	17	<1	-	
2003	320	102	59	-	19	<1	<1	-	<1	<1	<1	2,054	7	6	<1	-	
2004	247	68	76	-	9	<1	<1	<1	<1	<1	-	2,325	5	3	<1	-	
2005	322	41	51	-	2	-	<1	-	<1	<1	-	2,825	4	2	3	-	
2006	361	46	27	13,053	5	<1	<1	46	<1	1	<1	1,341	13	3	8	280	
2007	316	156	41	12,771	2	-	<1	136	<1	1	-	3,169	8	24	11	419	
2008	577	27	25	11,205	2	-	<1	55	<1	1	<1	6,838	11	<1	1	741	
2009	339	31	33	14,042	4	<1	<1	294	<1	<1	<1	6,678	29	4	20	431	
2010	347	66	70	12,510	2	-	<1	94	<1	1	1	10,130	17	10	21	4,259	
2011	266	26	55	12,866	2	-	<1	63	<1	<1	1	13,863	20	6	4	4,730	
2012	200	33	52	10,585	<1	<1	-	1	<1	2	<1	12,565	8	<1	1	4,082	
2013	212	55	38	14,762	<1	<1	-	5	<1	<1	1	12,237	12	2	3	753	
2014	422	68	45	5,511	2	-	-	25	1	<1	<1	10,728	13	<1	5	1,515	
2015	540	133	48	5,690	3	<1	<1	647	<1	<1	<1	13,194	31	7	2	1,901	
2016	488	36	63	9,610	5	<1	<1	755	<1	2	1	12,381	35	<1	3	2,755	
2017	665	12	21	15,893	4	<1	<1	3	<1	<1	-	10,932	54	<1	2	2,562	
2018	397	12	16	15,072	3	-	<1	19	<1	<1	<1	12,394	28	3	1	1,360	
2019	392	13	25	2,598	5	<1	<1	-	<1	<1	<1	11,009	26	4	6	10	
2020	346	11	33	14,752	4	-	<1	-	<1	<1	-	15,080	87	5	4	2,896	
2021	540	10	21	*	12	<1	<1	*	<1	<1	<1	*	31	<1	<1	*	
Total	12,110	2,440	1,502	170,920	1,494	111	64	2,143	20	24	9	171,746	529	128	130	28,695	

TABLE L-4a Continued

Year	Sphyrnidae															
	<i>Sphyra zygaena</i> , smooth hammerhead				<i>Sphyra lewini</i> , scalloped hammerhead				<i>Sphyra mokarran</i> , great hammerhead				<i>Sphyra spp.</i> , hammerheads, nei			
	Purse seine			LL	Purse seine			LL	Purse seine			LL	Purse seine			LL
	OBJ	NOA	DEL	LL	OBJ	NOA	DEL	LL	OBJ	NOA	DEL	LL	OBJ	NOA	DEL	LL
1993	-	<1	-	-	<1	1	-	-	<1	-	-	-	41	17	8	-
1994	1	2	<1	-	<1	4	<1	-	-	-	-	-	102	24	2	-
1995	2	2	-	-	<1	<1	<1	-	<1	-	-	-	71	15	4	-
1996	4	2	-	-	1	<1	-	-	<1	-	-	-	87	39	5	-
1997	21	2	<1	-	10	3	<1	-	1	<1	<1	-	63	10	3	-
1998	18	5	1	-	8	9	<1	-	3	<1	3	-	37	12	5	-
1999	21	3	<1	-	16	3	1	-	1	<1	<1	-	18	5	3	-
2000	11	4	<1	-	7	15	1	-	7	<1	<1	-	7	2	7	-
2001	24	1	<1	-	12	1	<1	-	5	-	<1	-	23	<1	1	-
2002	24	3	1	-	47	<1	1	-	7	-	<1	-	46	4	2	-
2003	49	6	1	-	38	3	3	-	13	<1	<1	-	52	3	2	-
2004	51	11	3	-	25	3	2	-	3	<1	<1	-	60	2	<1	-
2005	34	2	<1	-	25	10	3	-	2	-	<1	-	19	<1	<1	<1
2006	33	6	2	58	19	3	1	-	1	<1	<1	-	3	<1	<1	5
2007	27	5	<1	200	12	3	1	<1	-	<1	<1	-	1	1	<1	43
2008	16	<1	<1	381	16	11	<1	64	<1	-	<1	-	6	<1	1	42
2009	22	<1	<1	423	13	2	1	50	<1	-	-	-	5	1	<1	22
2010	28	1	2	508	13	1	1	143	<1	-	<1	-	3	<1	<1	118
2011	49	2	2	443	13	6	2	191	3	<1	<1	-	12	<1	1	131
2012	32	2	<1	118	9	4	<1	89	<1	<1	<1	-	5	2	1	130
2013	47	2	<1	311	22	2	<1	87	<1	<1	<1	-	9	1	<1	296
2014	35	<1	<1	593	23	2	<1	5	1	<1	<1	-	14	<1	<1	208
2015	32	1	<1	1,961	9	<1	<1	11	<1	<1	-	-	9	<1	<1	392
2016	24	1	<1	4,052	12	1	<1	6	5	<1	-	-	11	1	<1	338
2017	11	<1	<1	3,495	8	3	<1	83	<1	<1	<1	-	6	<1	<1	197
2018	11	<1	<1	851	7	<1	<1	<1	<1	-	-	-	6	<1	<1	173
2019	17	<1	<1	33	11	2	<1	42	1	-	<1	-	5	<1	<1	5
2020	7	<1	<1	941	13	<1	<1	38	<1	-	<1	-	5	<1	<1	1,021
2021	13	<1	<1	*	31	<1	<1	*	2	-	<1	*	8	-	<1	*
Total	664	69	22	14,368	423	97	26	811	61	4	5	-	732	146	52	3,122

TABLE L-4a Continued

Year	Alopiidae															
	<i>Alopias pelagicus</i> , pelagic thresher			<i>Alopias superciliosus</i> , bigeye thresher			<i>Alopias vulpinus</i> , thresher shark			<i>Alopias spp.</i> , thresher shark, nei						
	Purse seine	Purse seine	Purse seine	Purse seine	Purse seine	Purse seine	Purse seine	Purse seine	Purse seine	Purse seine	Purse seine	Purse seine	Purse seine	Purse seine		
OBJ	NOA	DEL	LL	OBJ	NOA	DEL	LL	OBJ	NOA	DEL	LL	OBJ	NOA	DEL	LL	
1993	-	2	<1	-	<1	2	3	-	-	<1	-	-	2	7	1	14
1994	-	<1	<1	-	-	6	<1	-	-	3	<1	-	<1	11	3	87
1995	<1	<1	<1	-	<1	2	<1	-	<1	1	1	-	1	6	3	200
1996	-	1	-	-	<1	1	<1	-	<1	<1	<1	-	<1	2	4	28
1997	<1	<1	-	-	<1	1	<1	-	<1	<1	<1	-	<1	4	<1	5
1998	<1	2	<1	-	<1	4	1	-	<1	2	<1	-	<1	5	3	5
1999	<1	4	2	-	<1	1	6	-	<1	<1	<1	-	<1	3	2	5
2000	<1	<1	<1	-	<1	8	1	-	<1	<1	<1	-	<1	<1	6	64
2001	<1	<1	<1	-	<1	4	2	-	<1	<1	<1	-	<1	4	1	172
2002	<1	<1	<1	-	2	8	1	-	<1	2	<1	-	<1	6	4	88
2003	1	5	3	-	<1	8	6	-	<1	<1	<1	-	<1	4	3	134
2004	6	3	2	-	<1	16	1	-	<1	2	<1	-	<1	4	2	43
2005	1	3	2	-	<1	6	3	-	<1	1	2	-	<1	<1	<1	12
2006	2	23	2	-	<1	22	3	187	<1	7	<1	60	<1	3	<1	8
2007	3	3	6	1,133	2	3	3	115	<1	<1	<1	35	<1	1	1	15
2008	1	3	3	4,323	<1	3	3	240	<1	2	<1	38	<1	1	2	17
2009	<1	<1	1	4,909	<1	<1	2	343	<1	<1	<1	76	<1	<1	1	4
2010	<1	<1	3	7,828	<1	<1	2	373	1	<1	<1	34	<1	<1	1	389
2011	<1	2	2	7,302	<1	2	2	458	<1	<1	<1	61	<1	1	<1	430
2012	<1	1	2	7	<1	1	2	326	<1	<1	<1	86	<1	1	<1	526
2013	<1	<1	3	46	<1	<1	2	543	<1	<1	<1	49	<1	<1	1	109
2014	<1	1	2	36	<1	3	2	636	<1	<1	<1	2	<1	<1	<1	850
2015	<1	2	1	463	<1	1	<1	859	<1	-	<1	13	<1	<1	<1	283
2016	<1	2	3	1,045	<1	<1	4	944	<1	1	<1	549	<1	<1	1	96
2017	<1	<1	<1	582	<1	<1	<1	1,148	-	<1	<1	1,682	<1	<1	<1	153
2018	<1	2	<1	464	<1	<1	<1	32	<1	<1	<1	1,684	<1	<1	<1	39
2019	1	<1	<1	444	<1	<1	<1	17	-	-	<1	1	<1	<1	<1	31
2020	<1	<1	2	342	<1	<1	1	1,273	-	-	<1	746	<1	<1	<1	6
2021	<1	<1	<1	*	<1	<1	1	*	<1	<1	<1	*	<1	<1	<1	*
Total	23	65	45	28,924	17	108	55	7,493	5	28	13	5,116	14	70	46	3,812

TABLE L-4a Continued

Year	Lamnidae						Triakidae													
	Isurus spp., mako sharks			Lamnidae spp., mackerel sharks, porbeagles nei			Triakidae spp., houndsharks, nei			Other sharks				All sharks						
	Purse seine			Purse seine			Purse seine			Purse seine			Purse seine			Purse seine				
OBJ	NOA	DEL	LL	OBJ	NOA	DEL	LL	OBJ	NOA	DEL	LL	OBJ	NOA	DEL	LL	OBJ	NOA	DEL	LL	
1993	<1	2	<1	383	-	<1	-	-	-	-	-	84	19	14	271	623	438	90	1,028	
1994	2	<1	<1	156	-	-	-	-	-	-	-	69	47	7	782	759	367	62	1,234	
1995	2	<1	<1	216	-	-	-	-	-	-	-	103	29	13	226	856	220	213	922	
1996	1	<1	<1	318	-	-	-	-	-	-	-	69	41	34	168	830	202	110	1,120	
1997	2	1	-	361	-	-	-	-	-	-	-	88	4	2	166	1,287	230	62	956	
1998	1	<1	<1	693	-	-	-	-	-	-	-	90	10	6	237	1,085	116	198	2,099	
1999	<1	<1	<1	460	-	-	-	-	-	-	-	50	12	4	3,347	739	140	97	5,997	
2000	2	<1	-	502	-	-	-	-	-	-	-	21	67	178	5,740	466	207	227	8,418	
2001	2	<1	<1	1,168	-	-	-	-	-	-	-	29	4	2	8,896	605	94	62	12,540	
2002	4	<1	<1	1,131	-	-	-	-	-	-	1,484	40	11	3	7,339	497	201	51	12,398	
2003	2	<1	<1	1,156	-	-	-	-	-	-	1,287	12	37	4	9,866	516	177	83	14,498	
2004	1	<1	<1	1,374	-	-	-	-	-	-	846	36	10	5	6,684	446	125	95	11,273	
2005	1	2	<1	1,367	-	-	-	-	-	-	838	5	1	1	7,075	417	71	67	12,117	
2006	2	4	<1	95	-	-	-	2	-	-	674	8	<1	<1	4,770	449	118	46	20,579	
2007	2	2	-	181	-	-	-	1	-	-	996	5	3	1	5,786	380	203	67	25,000	
2008	<1	2	<1	707	-	-	-	1	-	-	1,398	12	<1	2	4,091	644	52	40	30,141	
2009	1	<1	<1	534	-	-	-	7	-	-	695	19	3	1	2,478	434	46	63	30,988	
2010	3	<1	<1	1,901	-	-	-	<1	-	-	<1	17	4	2	2,246	433	87	104	40,533	
2011	3	2	<1	2,802	-	-	-	26	-	-	7	30	<1	<1	2,074	401	51	72	45,449	
2012	2	2	<1	2,120	-	-	-	12	-	-	-	10	<1	<1	1,242	272	50	62	31,889	
2013	1	<1	<1	2,121	-	-	-	44	-	-	211	45	2	<1	1,517	351	67	49	33,090	
2014	2	<1	<1	2,778	-	-	-	51	-	-	4,067	24	<1	<1	2,075	540	78	56	29,082	
2015	<1	<1	<1	3,118	-	-	-	79	-	-	621	18	3	3	10,593	645	151	58	39,823	
2016	1	<1	<1	2,476	-	-	-	91	-	-	538	19	3	<1	2,245	602	50	78	37,880	
2017	<1	<1	-	3,108	-	-	-	95	-	-	986	16	1	<1	1,263	766	21	27	42,181	
2018	2	<1	<1	2,883	-	-	-	86	-	-	729	5	<1	<1	1,156	460	21	20	36,944	
2019	<1	<1	<1	1,927	-	-	-	<1	-	-	-	6	<1	<1	11	465	23	34	16,130	
2020	2	<1	-	3,694	-	-	-	95	-	-	1,031	3	2	<1	2,257	468	21	42	44,174	
2021	2	<1	-	*	-	-	-	*	-	-	*	6	<1	<1	*	645	12	24	*	
Total	48	27	4	39,730	-	<1	-	592	-	-	-	16,410	940	319	287	94,600	17,079	3,637	2,260	588,482

TABLE L-5a. Estimated purse-seine catches by set type in metric tons (t) of rays by observers onboard size-class 6 vessels with a carrying capacity >363 t (1993–2021) and minimum reported longline (LL) catches of rays (gross-annual removals in t) (1993–2020, *data not available, see section 2.2. for uncertainty in reporting of bycatch caught by longline). Purse-seine set types: floating object (OBJ), unassociated tuna schools (NOA) and dolphins (DEL). Species highlighted bold are discussed in main text. Data for 2020 (longline) and 2021 (purse-seine) are considered preliminary.

TABLA L-5a. Capturas cerqueras estimadas de rayas, por tipo de lance, en toneladas (t), por observadores a bordo de buques de clase 6 con una capacidad de acarreo >363 t (1993–2021) y capturas palangreras (LL) mínimas reportadas de rayas (extracciones anuales brutas en t) (1993–2020, *datos no disponibles; ver Sección 2.2 para consultar información sobre la incertidumbre en la notificación de especies capturadas incidentalmente con palangre). Tipos de lances cerqueros: objeto flotante (OBJ), atunes no asociados (NOA) y delfines (DEL). Las especies en negritas se discuten en el texto principal. Los datos de 2020 (palangre) y 2021 (cerco) se consideran preliminares.

Year	Mobulidae																			
	<i>Mobula thurstoni</i> , smoothtail manta				<i>Mobula mobular</i> , spinetail devil ray				<i>Mobula munkiana</i> , munk's devil ray				<i>Mobula tarapacana</i> , chilean devil ray				<i>Mobula birostris</i> , giant manta			
	Purse seine				Purse seine				Purse seine				Purse seine				Purse seine			
	OBJ	NOA	DEL	LL	OBJ	NOA	DEL	LL	OBJ	NOA	DEL	LL	OBJ	NOA	DEL	LL	OBJ	NOA	DEL	LL
1993	-	-	-	-	-	-	-	-	-	-	-	-	-	-	-	-	-	-	-	-
1994	-	<1	-	-	-	-	-	-	-	-	-	-	-	-	-	-	<1	-	-	-
1995	-	-	-	-	-	-	-	-	-	-	-	-	-	-	-	-	<1	-	-	-
1996	-	-	-	-	-	-	-	-	-	-	-	-	-	-	-	-	-	-	-	-
1997	-	-	-	-	-	-	-	-	-	-	-	-	-	-	-	-	<1	-	-	-
1998	-	<1	-	-	-	-	-	-	-	-	-	-	-	-	-	-	3	19	<1	-
1999	-	<1	<1	-	-	-	-	-	-	-	-	-	-	-	-	-	5	10	<1	-
2000	1	4	3	-	-	-	-	-	-	-	-	-	-	-	-	-	<1	5	<1	-
2001	<1	7	2	-	<1	<1	1	-	-	<1	-	-	<1	-	-	-	1	3	<1	-
2002	<1	17	2	-	<1	<1	7	-	<1	<1	<1	-	<1	1	<1	-	1	4	1	-
2003	<1	25	5	-	<1	4	<1	-	<1	<1	<1	-	-	-	<1	-	<1	6	<1	-
2004	<1	15	3	-	<1	2	4	-	-	<1	<1	-	<1	2	<1	-	1	3	4	-
2005	<1	3	6	-	1	9	8	-	-	<1	<1	-	<1	4	7	-	3	14	21	-
2006	<1	18	2	-	2	36	14	-	-	2	<1	-	<1	6	3	-	10	16	128	-
2007	<1	2	4	-	3	12	11	-	<1	<1	<1	-	2	4	2	-	<1	11	4	-
2008	<1	5	2	-	2	18	5	-	<1	3	<1	-	<1	24	3	-	2	32	10	-
2009	<1	1	3	-	1	4	20	-	<1	1	<1	6	<1	<1	8	-	<1	5	3	-
2010	2	5	5	-	2	26	25	-	<1	1	<1	118	<1	1	8	-	1	29	<1	-
2011	<1	14	<1	-	1	5	10	-	<1	1	<1	-	<1	3	7	-	3	4	<1	-
2012	<1	38	1	-	4	20	3	-	<1	1	<1	-	<1	7	1	-	3	24	7	-
2013	<1	6	2	-	1	9	5	-	<1	1	<1	-	<1	3	1	-	<1	10	13	-
2014	<1	<1	3	-	16	6	5	-	<1	<1	<1	-	<1	<1	<1	-	<1	4	-	-
2015	<1	2	3	-	3	1	24	-	<1	<1	1	-	1	2	6	-	<1	10	<1	-
2016	<1	<1	5	-	<1	2	9	-	<1	2	2	-	1	2	2	-	4	18	2	-
2017	<1	<1	1	-	3	1	1	-	<1	<1	<1	-	<1	-	<1	-	5	33	<1	-
2018	<1	1	<1	-	3	4	4	-	<1	<1	<1	-	1	<1	<1	-	5	4	<1	-
2019	<1	5	<1	-	2	12	4	-	<1	-	<1	-	3	<1	1	-	<1	5	3	-
2020	<1	<1	<1	-	2	9	2	-	<1	-	<1	-	<1	<1	<1	-	4	-	<1	-
2021	<1	-	-	*	3	4	<1	*	<1	<1	-	*	2	<1	<1	*	<1	15	-	*
Total	12	172	53	-	49	183	162	-	2	15	10	124	18	65	54	-	55	286	201	-

TABLE L-5a Continued

Year	Mobulidae			Dasyatidae												Other rays			All rays					
	Mobulidae spp., mobulid rays, nei			<i>Pteroplatytrygon violacea</i> , pelagic stingray						Dasyatidae spp., stingrays, nei			Purse seine			Purse seine			Purse seine					
	Purse seine			Purse seine				Purse seine					Purse seine			Purse seine			Purse seine					
Year	OBJ	NOA	DEL	LL	OBJ	NOA	DEL	LL	OBJ	NOA	DEL	LL	OBJ	NOA	DEL	LL	OBJ	NOA	DEL	LL	OBJ	NOA	DEL	LL
1993	9	213	27	-	<1	5	<1	-	-	-	-	-	-	-	-	-	9	219	27	-				
1994	3	73	19	-	<1	4	<1	-	-	-	-	-	-	-	-	-	3	77	20	-				
1995	3	29	30	-	<1	<1	<1	-	-	-	-	-	-	-	-	-	3	30	30	-				
1996	4	73	16	-	<1	<1	<1	-	-	-	-	-	-	-	-	-	4	74	16	-				
1997	5	41	17	-	<1	<1	3	-	-	-	-	-	-	-	-	-	5	42	20	-				
1998	5	228	18	-	<1	<1	<1	-	-	3	-	-	<1	<1	-	-	7	251	20	-				
1999	8	84	16	-	<1	1	<1	-	-	-	-	-	-	-	-	-	13	96	17	-				
2000	2	94	23	-	<1	<1	<1	-	-	-	-	-	-	-	-	-	4	104	27	-				
2001	3	20	23	-	<1	<1	<1	-	-	-	-	-	-	-	-	-	5	30	27	-				
2002	2	69	37	-	<1	<1	<1	-	<1	-	-	-	-	-	-	-	6	92	48	-				
2003	9	61	37	-	<1	25	<1	-	-	-	-	-	-	-	-	-	11	121	44	-				
2004	4	46	19	-	<1	<1	<1	-	<1	5	<1	-	-	-	-	-	6	75	31	-				
2005	2	19	11	-	<1	<1	<1	-	<1	<1	<1	-	-	31	-	-	8	80	53	-				
2006	3	23	14	-	<1	<1	<1	-	<1	12	<1	-	-	-	3	-	16	115	166	-				
2007	2	12	12	-	<1	<1	<1	-	<1	3	<1	2	-	<1	-	-	8	44	35	2				
2008	3	10	5	-	<1	<1	<1	-	<1	<1	<1	2	-	-	-	-	8	93	27	2				
2009	2	7	15	-	<1	<1	<1	-	<1	<1	1	8	-	-	-	-	6	19	50	13				
2010	7	20	17	-	<1	<1	2	-	<1	-	<1	3	-	20	-	-	13	103	58	121				
2011	1	11	5	-	<1	<1	<1	-	<1	<1	<1	<1	-	<1	-	-	7	40	25	<1				
2012	1	10	3	-	<1	<1	<1	-	<1	<1	<1	-	<1	<1	<1	-	9	100	16	-				
2013	<1	6	6	-	<1	<1	<1	-	<1	<1	<1	-	-	-	1	-	5	36	28	-				
2014	1	4	1	-	<1	<1	<1	-	<1	<1	<1	-	-	-	-	-	20	17	11	-				
2015	1	4	9	-	<1	<1	<1	-	<1	<1	1	-	-	-	-	1	7	20	46	1				
2016	3	12	11	-	<1	<1	<1	-	<1	-	<1	-	-	-	-	-	10	37	32	-				
2017	7	20	6	-	<1	<1	<1	-	<1	<1	<1	-	-	-	<1	-	18	56	11	-				
2018	6	5	6	-	<1	<1	<1	-	<1	<1	<1	-	-	-	-	-	17	15	12	-				
2019	4	16	8	-	<1	<1	<1	-	<1	<1	<1	-	-	<1	<1	-	11	40	18	-				
2020	4	5	8	-	<1	<1	<1	-	<1	<1	<1	-	-	-	-	9	11	15	13	9				
2021	5	3	9	*	1	<1	<1	*	<1	<1	<1	*	-	<1	-	*	11	22	11	*				
Total	110	1,217	428	-	11	42	17	-	4	27	7	15	<1	52	5	10	260	2,061	938	149				

TABLE L-6a. Estimated purse-seine catches by set type in metric tons (t) of large fishes by observers onboard size-class 6 vessels with a carrying capacity >363 t (1993–2021) and minimum reported longline (LL) catches of large fishes (gross-annual removals in t) (1993–2020, *data not available, see section 2.2. for uncertainty in reporting of bycatch caught by longline). Purse-seine set types: floating object (OBJ), unassociated tuna schools (NOA) and dolphins (DEL). Species highlighted bold are discussed in main text. Data for 2020 (longline) and 2021 (purse-seine) are considered preliminary.

TABLA L-6a. Capturas cerqueras estimadas de peces grandes, por tipo de lance, en toneladas (t), por observadores a bordo de buques de clase 6 con una capacidad de acarreo >363 t (1993–21) y capturas palangreras (LL) mínimas reportadas de peces grandes (extracciones anuales brutas en t) (1993–2020, *datos no disponibles; ver Sección 2.2. para consultar información sobre la incertidumbre en la notificación de especies capturadas incidentalmente con palangre). Tipos de lances cerqueros: objeto flotante (OBJ), atunes no asociados (NOA) y delfines (DEL). Las especies en negritas se discuten en el texto principal. Los datos de 2020 (palangre) y 2021 (cerco) se consideran preliminares.

Year	Coryphaenidae			Scombridae			Elagatis bipinnulata, rainbow runner			Carangidae			Caranx spp., jacks, crevallles, nei			LL	
	Coryphaenidae spp., dorado			Acanthocybium solandri, wahoo			Seriola spp., amberjacks, nei			Caranx spp., jacks, crevallles, nei			Caranx spp., jacks, crevallles, nei				
	Purse seine			Purse seine			Purse seine			Purse seine			Purse seine				
Year	OBJ	NOA	DEL	LL	OBJ	NOA	DEL	LL	OBJ	NOA	DEL	LL	OBJ	NOA	DEL	LL	
1993	702	14	<1	17	152	11	<1	2	16	<1	<1	-	-	-	-	-	
1994	1,221	20	<1	46	472	1	1	<1	14	<1	<1	-	<1	-	-	-	
1995	1,071	22	3	39	379	<1	<1	1	11	<1	<1	-	<1	<1	-	-	
1996	1,312	18	<1	43	271	<1	<1	1	28	3	<1	-	4	-	-	-	
1997	1,225	12	<1	6,866	475	3	1	<1	60	2	<1	-	1	-	-	<1	
1998	816	18	<1	2,528	396	<1	4	2	93	<1	<1	-	4	-	-	<1	
1999	1,238	4	<1	6,283	161	<1	<1	2	110	<1	<1	-	<1	-	-	<1	
2000	1,437	51	2	3,537	277	2	<1	2	53	5	<1	-	<1	-	-	<1	
2001	2,202	17	3	15,942	1,023	2	<1	6	90	<1	<1	-	1	-	-	<1	
2002	1,815	8	<1	9,464	571	<1	<1	18	94	1	<1	-	<1	<1	-	<1	
2003	894	11	1	5,301	428	<1	<1	164	108	2	-	-	1	<1	-	<1	
2004	1,018	17	1	3,986	380	<1	<1	155	62	<1	-	-	56	9	<1	1	
2005	972	75	1	3,854	420	<1	<1	155	66	<1	<1	-	26	2	<1	2	
2006	1,197	58	<1	3,408	424	1	<1	167	73	<1	<1	-	53	8	<1	10	
2007	1,235	47	1	6,907	421	2	<1	221	157	<1	-	-	18	80	<1	1	
2008	1,112	17	2	15,845	249	1	<1	213	40	<1	<1	-	27	<1	-	17	
2009	1,722	7	<1	17,136	547	<1	<1	336	28	<1	<1	-	13	<1	-	11	
2010	912	3	<1	9,484	373	1	<1	284	17	<1	<1	-	3	23	-	1	
2011	1,410	7	<1	12,438	169	2	<1	242	22	<1	-	-	7	33	-	<1	
2012	1,705	18	<1	17,255	313	<1	<1	230	13	1	-	-	10	7	-	2	
2013	1,455	7	<1	11,249	518	1	<1	291	19	<1	-	-	6	<1	<1	4	
2014	1,779	9	<1	3,342	517	2	<1	287	15	<1	<1	-	6	2	-	3	
2015	1,167	8	<1	1,206	357	1	<1	285	15	<1	-	-	6	<1	-	9	
2016	949	7	<1	446	318	2	<1	321	26	<1	<1	-	12	<1	<1	4	
2017	1,557	11	<1	1,803	335	<1	<1	318	18	<1	<1	-	12	5	<1	4	
2018	1,483	5	5	3,499	230	<1	<1	364	20	<1	-	-	62	<1	-	9	
2019	1,208	29	<1	1,541	201	<1	<1	328	21	<1	<1	-	12	4	<1	5	
2020	784	4	<1	2,506	130	<1	<1	311	23	-	<1	-	9	1	-	<1	
2021	2,203	13	<1	*	133	<1	<1	*	29	<1	<1	*	81	3	-	*	
Total	37,802	539	31	165,972	10,643	42	10	4,707	1,341	19	<1	-	434	179	<1	2	
													94	360	9	1	

TABLE L-6a Continued

Carangidae			Molidae			Lobotidae			Sphyraenidae			Lampridae								
Seriola, Caranx spp., amberjacks, jacks, crevisses, nei			Molidae spp., molas, nei			Lobotes surinamensis, tripletail			Sphyraenidae spp., barracudas			Lampris spp., opahs								
Year	Purse seine			LL	Purse seine			LL	Purse seine			LL	Purse seine			LL	Purse seine			LL
	OBJ	NOA	DEL		OBJ	NOA	DEL		OBJ	NOA	DEL		OBJ	NOA	DEL		OBJ	NOA	DEL	
1993	13	35	<1	-	-	20	<1	-	<1	<1	-	-	-	-	-	-	-	-	-	1
1994	19	6	<1	-	1	3	2	-	<1	-	-	-	<1	34	-	-	-	-	-	23
1995	17	19	-	-	2	4	<1	-	<1	<1	-	-	<1	3	-	-	-	-	-	33
1996	29	153	-	-	5	6	<1	-	<1	-	-	-	<1	<1	-	-	-	-	-	33
1997	68	16	3	-	5	4	3	-	1	<1	<1	-	<1	<1	-	-	-	-	-	40
1998	72	7	<1	-	2	2	1	-	16	<1	-	-	<1	<1	-	-	-	-	-	54
1999	52	46	-	-	2	5	1	-	8	<1	-	-	-	-	-	-	-	-	-	68
2000	29	19	<1	4	2	4	1	-	4	<1	-	-	<1	-	<1	-	-	-	-	88
2001	70	<1	<1	18	6	2	1	-	<1	-	-	-	<1	<1	-	-	-	-	-	73
2002	26	9	<1	15	6	2	1	-	3	-	-	-	<1	-	-	-	-	-	-	6
2003	43	<1	<1	54	<1	4	<1	-	3	<1	-	-	<1	-	-	-	-	-	-	132
2004	8	7	<1	-	6	<1	1	-	1	<1	-	-	<1	-	-	-	-	-	-	139
2005	1	<1	-	-	2	9	2	-	7	<1	<1	-	<1	-	<1	-	-	-	-	159
2006	29	-	-	-	26	14	2	-	9	<1	<1	-	<1	-	-	-	-	-	-	109
2007	2	2	-	6	9	8	2	-	3	<1	<1	-	<1	1	-	-	-	-	-	370
2008	4	-	-	5	9	6	4	-	2	<1	-	-	<1	-	<1	-	-	-	-	308
2009	3	<1	<1	10	6	5	1	-	7	<1	<1	-	1	<1	-	-	-	-	-	488
2010	<1	4	-	8	9	44	1	-	<1	-	-	-	<1	-	<1	-	<1	-	<1	539
2011	<1	4	-	7	4	113	<1	-	3	<1	-	-	<1	2	<1	8	-	-	-	539
2012	7	1	-	1	9	12	<1	-	3	<1	-	-	<1	<1	-	-	<1	-	425	
2013	2	<1	-	<1	9	28	2	-	2	-	<1	-	<1	-	<1	-	<1	-	<1	648
2014	2	2	-	11	3	9	1	-	2	-	<1	-	<1	<1	-	-	<1	-	818	
2015	2	-	<1	11	6	12	1	87	2	<1	-	-	<1	-	-	-	-	-	-	1039
2016	7	5	<1	11	10	7	<1	275	2	-	-	-	<1	<1	-	-	-	-	-	741
2017	4	4	-	-	8	4	<1	<1	5	-	<1	-	<1	-	-	-	-	-	-	827
2018	2	-	-	-	5	2	<1	-	3	<1	-	-	<1	<1	-	-	-	-	-	1038
2019	3	<1	-	-	2	6	<1	-	2	-	<1	-	<1	-	-	-	-	<1	-	698
2020	<1	1	-	-	1	<1	<1	87	2	<1	-	-	<1	-	-	-	-	-	-	597
2021	2	<1	-	*	<1	2	<1	*	1	<1	-	*	1	<1	-	*	-	-	*	
Total	518	341	5	162	157	337	34	449	94	<1	<1	-	10	41	<1	8	-	<1	<1	10,032

TABLE L-6a Continued

<i>Gempylidae spp., snake mackerels, nei</i>			<i>Bramidae spp., pomfrets, nei</i>			Other large fishes			Unidentified fishes			All fishes								
Purse seine			Purse seine			Purse seine			Purse seine			Purse seine								
Year	OBJ	NOA	DEL	LL	OBJ	NOA	DEL	LL	OBJ	NOA	DEL	LL	OBJ	NOA	DEL	LL				
1993	-	-	-	-	-	-	-	<1	3	<1	<1	-	<1	-	<1	183	887	79	1	203
1994	-	-	-	-	-	-	-	2	3	87	<1	-	<1	<1	12	250	1,731	152	16	321
1995	-	-	-	-	-	-	-	2	<1	3	<1	-	3	1	<1	209	1,485	53	4	285
1996	-	-	-	-	-	-	-	2	3	125	<1	-	3	<1	<1	456	1,655	306	1	535
1997	-	-	-	-	-	-	-	6	7	5	<1	-	7	2	-	847	1,850	44	7	7,760
1998	-	-	-	-	-	-	-	9	13	10	<1	-	7	<1	<1	1,338	1,420	38	7	3,931
1999	-	-	-	-	-	-	-	3	4	54	<1	-	22	4	<1	974	1,599	114	2	7,330
2000	-	-	-	-	-	-	-	4	1	1	-	-	1	<1	<1	1,485	1,804	82	4	5,119
2001	-	-	-	-	-	-	-	5	2	9	<1	-	3	<1	<1	1,720	3,398	30	4	17,763
2002	-	-	-	-	-	-	-	<1	2	<1	<1	-	2	6	<1	1,895	2,521	27	2	11,399
2003	-	-	-	-	-	-	-	-	4	<1	-	-	2	2	-	4,386	1,484	19	2	10,037
2004	-	-	-	-	-	-	-	-	4	<1	<1	-	10	<1	<1	377	1,548	35	3	4,658
2005	-	-	-	-	-	-	-	18	<1	<1	<1	-	3	<1	<1	303	1,501	89	3	4,489
2006	-	-	-	18	-	<1	-	17	<1	<1	<1	7	3	<1	<1	285	1,824	302	3	4,011
2007	-	-	-	65	-	-	-	57	1	<1	<1	5	1	5	<1	1,763	1,848	158	4	9,394
2008	-	-	-	144	-	-	-	68	1	<1	<1	-	<1	<1	<1	793	1,462	44	6	17,375
2009	-	-	-	412	-	-	-	56	1	<1	<1	67	2	-	<1	1,077	2,343	21	2	19,581
2010	-	-	-	575	-	-	-	64	<1	-	<1	-	<1	<1	-	879	1,318	122	2	11,833
2011	-	-	-	506	-	<1	-	50	<1	<1	-	15	<1	-	<1	612	1,621	175	<1	14,418
2012	-	-	-	661	-	-	-	61	<1	2	<1	11	1	<1	-	1,305	2,065	57	1	19,949
2013	-	-	-	574	-	-	-	134	<1	<1	<1	36	<1	<1	-	1,112	2,016	40	3	14,045
2014	-	-	-	431	-	-	-	138	<1	<1	-	77	<1	-	-	1,013	2,329	25	2	6,115
2015	-	-	-	321	<1	-	-	172	<1	<1	-	7	2	<1	-	1,367	1,568	30	2	4,495
2016	<1	-	-	730	-	-	-	108	<1	<1	<1	100	<1	1	-	506	1,328	23	9	3,238
2017	-	-	-	258	-	-	-	126	<1	<1	-	62	1	-	-	1,532	1,946	36	1	4,927
2018	-	-	-	227	-	-	-	125	<1	-	-	<1	-	-	-	222	1,816	9	6	5,477
2019	-	-	-	300	-	-	-	81	<1	-	-	25	<1	<1	<1	274	1,455	41	1	3,248
2020	-	-	-	288	-	-	-	70	<1	-	-	212	<1	<1	<1	462	953	9	<1	4,553
2021	-	-	-	*	-	-	-	*	<1	<1	-	*	<1	<1	-	*	2,453	19	1	*
Total	<1	-	-	5,512	<1	<1	-	1,377	57	298	<1	625	75	24	13	27,625	51,227	2,179	103	216,471

TABLE L-7. Estimated purse-seine catches by set type in metric tons (t) of small forage fishes by observers onboard size-class 6 vessels with a carrying capacity >363 t (1993–2021) and minimum reported longline (LL) catches of small forage fishes (gross-annual removals in t) (1993–2020, *data not available, see section 2.2. for uncertainty in reporting of bycatch caught by longline). Purse-seine set types: floating object (OBJ), unassociated tuna schools (NOA) and dolphins (DEL). Species highlighted bold are discussed in main text. Data for 2020 (longline) and 2021 (purse seine) are considered preliminary. “Epipelagic forage fishes” include various mackerels and scad (*Decapterus* spp., *Trachurus* spp., *Selar crumenophthalmus*), Pacific saury (*Cololabis saira*), and tropical two-wing flyingfish (*Exocoetus volitans*).

TABLA L-7. Capturas cerqueras estimadas de peces forrajeros pequeños, por tipo de lance, en toneladas (t), por observadores a bordo de buques de clase 6 con una capacidad de acarreo >363 t (1993–2021) y capturas palangreras (LL) mínimas reportadas de peces forrajeros pequeños (extracciones anuales brutas en t) (1993-2020, *datos no disponibles; ver Sección 2.2. para consultar información sobre la incertidumbre en la notificación de especies capturadas incidentalmente con palangre). Tipos de lances cerqueros: objeto flotante (OBJ), atunes no asociados (NOA) y delfines (DEL). Las especies en negritas se discuten en el texto principal. Los datos de 2020 (palangre) y 2021 (cerco) se consideran preliminares. “Peces epipelágicos de forraje” incluyen varias caballas y jureles (*Decapterus* spp., *Trachurus* spp., *Selar crumenophthalmus*), paparda del Pacífico (*Cololabis saira*), y volador tropical (*Exocoetus volitans*).

Year	Auxis spp., bullet and frigate tunas				Balistidae, Monacanthidae spp., triggerfishes and filefishes				Kyphosidae, sea chubs				Epipelagic forage fishes				Small Carangidae spp., carangids, nei				Other small fishes				
	Purse seine			LL	Purse seine			LL	Purse seine			LL	Purse seine			LL	Purse seine			LL	Purse seine			LL	
	OBJ	NOA	DEL		OBJ	NOA	DEL		OBJ	NOA	DEL		OBJ	NOA	DEL		OBJ	NOA	DEL		OBJ	NOA	DEL		
1993	1,832	142	2	-	261	<1	-	-	-	-	-	-	-	-	-	-	-	-	-	-	182	3	4	-	
1994	294	200	2	-	114	<1	<1	-	<1	-	-	-	-	-	-	<1	-	-	-	-	53	15	2	-	
1995	501	119	6	-	208	4	<1	-	<1	-	-	-	-	-	-	<1	-	-	-	-	319	4	4	-	
1996	761	234	33	-	113	2	<1	-	-	-	-	-	-	-	-	-	<1	-	-	-	55	8	25	-	
1997	2,734	623	25	-	219	<1	<1	-	-	-	-	-	-	-	-	<1	-	-	-	-	151	12	2	-	
1998	1,033	168	32	-	801	2	1	-	<1	-	-	-	<1	-	-	-	<1	-	-	-	91	15	3	-	
1999	2,589	473	29	-	551	3	<1	-	<1	<1	-	-	<1	-	-	-	<1	<1	-	-	85	3	2	-	
2000	1,210	181	19	-	168	<1	9	-	2	-	-	-	-	-	-	-	<1	-	-	-	68	8	6	-	
2001	641	38	-	-	426	1	-	-	<1	-	-	-	-	-	-	-	<1	-	-	-	27	2	<1	-	
2002	1,382	234	248	-	453	<1	-	-	<1	-	-	-	-	-	-	-	<1	-	-	-	25	3	<1	-	
2003	944	278	16	-	157	4	<1	-	<1	-	-	-	<1	-	-	-	<1	-	-	-	75	1	1	-	
2004	834	115	24	-	914	7	2	-	8	<1	<1	-	<1	<1	-	-	<1	<1	-	-	22	1	<1	-	
2005	1,606	309	6	-	129	<1	<1	-	23	<1	<1	-	6	<1	<1	-	2	<1	<1	-	-	<1	9	<1	-
2006	1,300	591	19	-	145	<1	<1	-	79	<1	<1	-	7	1	-	-	2	<1	<1	-	-	5	1	<1	-
2007	868	336	18	-	544	1	<1	-	12	<1	<1	-	2	5	-	-	<1	<1	<1	-	4	<1	<1	-	
2008	759	619	2	-	276	7	2	-	68	<1	<1	-	3	<1	-	-	10	<1	-	-	2	<1	<1	-	
2009	303	165	1	-	174	1	<1	-	47	<1	-	-	<1	<1	-	-	<1	<1	<1	-	1	<1	<1	-	
2010	474	234	<1	-	69	<1	<1	-	16	-	<1	-	4	<1	<1	-	1	<1	-	-	<1	-	<1	-	
2011	677	97	11	-	31	<1	-	-	48	<1	-	-	2	<1	<1	-	<1	<1	-	-	<1	<1	<1	-	
2012	173	179	1	-	110	<1	-	-	39	-	-	-	13	12	-	-	<1	<1	-	-	4	2	-	-	
2013	385	77	-	-	228	<1	<1	-	18	-	<1	-	4	-	<1	-	<1	4	<1	-	-	2	<1	<1	-
2014	297	30	<1	-	325	<1	<1	-	16	-	-	-	3	<1	<1	-	<1	<1	-	-	1	<1	<1	-	
2015	177	64	-	-	140	4	<1	-	5	-	<1	-	6	-	-	-	<1	<1	-	-	1	<1	<1	-	
2016	189	23	<1	-	416	2	<1	-	8	-	-	-	21	-	<1	<1	<1	<1	-	-	3	<1	<1	77	
2017	131	172	-	-	83	<1	-	-	8	-	-	-	3	-	-	-	<1	<1	-	-	<1	<1	-	-	
2018	276	172	-	-	54	<1	<1	-	10	-	-	-	5	<1	-	-	<1	-	-	-	<1	<1	<1	-	
2019	182	94	<1	-	57	<1	<1	-	7	<1	<1	-	5	8	<1	-	<1	<1	-	-	<1	5	-	-	
2020	435	44	<1	-	47	<1	<1	-	2	-	<1	-	4	<1	-	<1	<1	<1	-	0	<1	<1	<1		
2021	424	18	-	*	50	<1	-	*	6	-	<1	*	14	-	-	*	<1	<1	-	*	<1	1	<1	*	
Total	23,411	6,029	495	-	7,262	46	15	-	424	<1	<1	-	102	28	1	<1	22	6	<1	<1	1,182	97	51	78	

TABLE L-8. Minimum nominal purse-seine catches by set type in metric tons (t) in 2021 for size-class 1–5 vessels with a carrying capacity <363 t as reported by observers in 27% of all trips that carried an observer. Purse-seine set types: floating object (OBJ) and unassociated tuna schools (NOA).

TABLA L-8. Capturas cerqueras nominales mínimas, por tipo de lance, en toneladas (t), en 2021 para buques de clases 1-5 con una capacidad de acarreo <363 t según lo reportado por los observadores en el 27% de todos los viajes que llevaban observador a bordo. Tipo de lances cerqueros: objeto flotante (OBJ) y atunes no asociados (NOA).

Broad group	Common name	Scientific name	Set type	
			OBJ	NOA
Sharks	Silky shark	<i>Carcharhinus falciformis</i>	17	<1
	Blue shark	<i>Prionace glauca</i>	<1	<1
	Other Carcharhinidae	Carcharhinidae spp.	<1	<1
	Smooth hammerhead	<i>Sphyrna zygaena</i>	1	-
	Scalloped hammerhead	<i>Sphyrna lewini</i>	4	<1
	Hammerhead, nei	<i>Sphyrna spp.</i>	<1	-
	Pelagic thresher shark	<i>Alopias pelagicus</i>	-	<1
	Mako shark	<i>Isurus spp.</i>	<1	-
	Other shark		3	<1
Rays	Smoothtail manta	<i>Mobula thurstoni</i>	<1	-
	Spinetail devil ray	<i>Mobula mobular</i>	<1	<1
	Munk's devil ray	<i>Mobula munkiana</i>	-	<1
	Chilean devil ray	<i>Mobula tarapacana</i>	<1	<1
	Giant manta	<i>Mobula birostris</i>	1	<1
	Mobulidae ray, nei	Mobulidae spp.	<1	<1
	Pelagic stingray	<i>Pteroplatytrygon violacea</i>	<1	<1
	Stingray, nei	Dasyatidae spp.	<1	<1
Large fishes	Dorado	Coryphaenidae spp.	157	1
	Wahoo	<i>Acanthocybium solandri</i>	13	<1
	Rainbow runner	<i>Elagatis bipinnulata</i>	<1	<1
	Amberjack, nei	Seriola spp.	1	<1
	Jacks, crevallés, nei	Caranx spp.	<1	-
	Amberjack, jack, crevallés, nei	Seriola, Caranx spp.	<1	-
	Mola, nei	Molidae spp.	-	<1
	Tripletail	<i>Lobotes surinamensis</i>	<1	-
	Other large fish		<1	-
Small fishes	Bullet and frigate tunas	<i>Auxis spp.</i>	102	3
	Triggerfishes, filefishes	Balistidae, Monacanthidae spp.	4	-
	Sea chubs	Kyphosidae spp.	<1	-
	Small carangid, nei	Carangidae spp.	<1	-
	Epipelagic forage fishes		<1	-
	Other small fishes		<1	-

L. CONSIDERACIONES ECOSISTÉMICAS

1.	Introducción	196
2.	Fuentes de datos.....	197
2.1.	Cerco	198
2.2.	Palangre.....	199
3.	Interacciones de la pesquería con grupos de especies.....	200
3.1.	Atunes y peces picudos	200
3.2.	Mamíferos marinos.....	200
3.3.	Tortugas marinas.....	201
3.4.	Aves marinas	203
3.5.	Tiburones	204
3.6.	Rayas	207
3.7.	Otros peces grandes.....	208
3.8.	Especies de forraje	209
4.	Medio ambiente físico	210
4.1.	Indicadores ambientales	210
5.	Identificación de especies en riesgo	214
6.	Dinámica del ecosistema.....	214
7.	Acontecimientos futuros.....	216
	Agradecimientos	218
	Literaturatura citada	218

1. INTRODUCCIÓN

Durante las dos últimas décadas, el alcance de la ordenación de muchas pesquerías en todo el mundo se ha ampliado para tener en cuenta los efectos de la pesca de especies no objetivo en particular, y del ecosistema en general. Este enfoque ecosistémico de la ordenación pesquera (EEOP) es importante para mantener la integridad y la productividad de los ecosistemas y, al mismo tiempo, aprovechar al máximo la utilización de los recursos pesqueros de importancia comercial, pero también los servicios del ecosistema que proporcionan beneficios sociales, culturales y económicos a la sociedad humana.

El EEOP se formalizó por primera vez en el *Código de Conducta para la Pesca Responsable* de la FAO (1995), que estipula que “*los Estados y los usuarios de los recursos acuáticos vivos deberían conservar los ecosistemas acuáticos*” y que las “*medidas de ordenación deberían asegurar la conservación no sólo de las especies objetivo, sino también de aquellas especies pertenecientes al mismo ecosistema o dependientes de ellas o que están asociadas con ellas*”. En 2001, la Declaración de Reikiavik sobre Pesca Responsable en el Ecosistema Marino elaboró esos principios con un compromiso de incorporar un enfoque ecosistémico en la ordenación de la pesca.

La Convención de Antigua de la CIAT, que entró en vigor en 2010, está en consonancia con esos instrumentos y principios. El Artículo VII (f) establece que una de las funciones de la CIAT es “*adoptar, en caso necesario, medidas y recomendaciones para la conservación y administración de las especies que pertenecen al mismo ecosistema y que son afectadas por la pesca de especies de peces abarcadas por la presente Convención, o que son dependientes de estas especies o están asociadas con ellas, con miras a mantener o restablecer las poblaciones de dichas especies por encima de los niveles en que su reproducción pueda verse gravemente amenazada*”. Anteriormente, el Acuerdo sobre el Programa Internacional para la Conservación de los Delfines (APICD) de 1999 introdujo consideraciones ecosistémicas a la ordenación de las pesquerías atuneras en el OPO. Por consiguiente, durante más de veinte años, la CIAT ha sido consciente de cuestiones ecosistémicas, y ha avanzado hacia un EEOP en muchas de sus decisiones de

ordenación (por ejemplo, [SAC-10 INF-B](#); Juan-Jorda et al. 2018). En el marco del Plan Científico Estratégico (PCE), el personal de la CIAT está llevando a cabo investigaciones ecológicas novedosas e innovadoras encaminadas a obtener los datos y desarrollar las herramientas necesarias para aplicar un EEOP en las pesquerías atuneras del OPO. Las actividades actuales y futuras del personal relacionadas con el ecosistema se resumen en el PCE ([IATTC-93-06a](#)) y en el informe de Actividades e Investigación del Personal (SAC-13-01).

Determinar la sostenibilidad ecológica de las pesquerías atuneras del OPO es un reto importante, dada la amplia gama de especies con diferentes ciclos vitales con las que esas pesquerías interactúan. Si bien se dispone de información relativamente buena sobre las capturas de atunes y peces picudos en toda la pesquería, no ocurre lo mismo con la mayoría de las especies no objetivo (es decir, de captura incidental), especialmente aquellas que son descartadas en el mar o que tienen un bajo valor económico (ver Sección 2 y el [Informe Especial 25 de la CIAT](#)). Además, los procesos ambientales que operan en diversas escalas temporales y espaciales (por ejemplo, El Niño-Oscilación del Sur, la Oscilación Decadal del Pacífico, el calentamiento de los océanos, la anoxia y la acidificación) pueden influir en la abundancia y distribución horizontal y vertical de las especies en distintos grados, lo que a su vez afecta su potencial de interactuar con las pesquerías atuneras.

Se han utilizado puntos de referencia biológicos, basados en estimaciones de la mortalidad por pesca, la biomasa de la población reproductora, el reclutamiento y otros parámetros biológicos, para la ordenación tradicional de especies individuales de las especies objetivo, pero no se dispone de datos fiables de captura y/o biológicos necesarios para determinar esos puntos de referencia, o medidas alternativas de desempeño, para la mayoría de las especies de captura incidental. De manera similar, dada la complejidad de los ecosistemas marinos, no existe un único indicador que pueda representar holísticamente su estructura y dinámica interna y, por lo tanto, pueda usarse para monitorear y detectar los efectos de la pesca y el medio ambiente.

El personal ha presentado un informe de *Consideraciones Ecosistémicas* desde 2003, pero en los últimos años este informe ha ido evolucionando, en cuanto a su contenido, estructura y propósito. Su propósito principal es complementar el informe anual sobre la pesquería ([SAC-13-03](#)) con información sobre las especies no objetivo y sobre el efecto de la pesca en el ecosistema, y describir cómo la investigación del ecosistema puede contribuir al asesoramiento de ordenación y al proceso de toma de decisiones. También describe algunos avances importantes recientes en las investigaciones relacionadas con la evaluación de los impactos ecológicos de la pesca y el medio ambiente en el ecosistema del OPO y sus especies asciadas.

2. FUENTES DE DATOS

En el presente informe, las capturas totales estimadas de especies de captura incidental se obtuvieron de los datos de observadores para la pesquería cerquera de buques grandes¹⁹, las capturas nominales reportadas por la cobertura limitada de observadores a bordo de buques cerqueros pequeños²⁰, y las extracciones anuales brutas de la pesquería palangrera se obtuvieron de los datos notificados por los CPC a la CIAT. También se incluyen las capturas mínimas en 2020 reportadas por observadores en buques palangreros como medida provisional hasta que la cobertura por observadores aumente al menos al 20%, lo que podría permitir estimar de forma fiable las capturas anuales totales de algunas especies de captura incidental. Actualmente, la cobertura por observadores de la mayoría de los CPC es inferior al 5% exigido y el personal no la considera representativa de las actividades de sus flotas de palangre (ver la Sección 2.2. más adelante y el documento [BYC-10 INF-D](#)). Se dispuso de datos de palangre hasta 2020, ya que la

¹⁹ Buques cerqueros de clase 6 con una capacidad de acarreo > 363 t

²⁰ Buques con una capacidad de acarreo <363 t

fecha límite para la presentación de datos del año anterior es posterior a la reunión del Comité Científico Asesor. Se dispuso de datos de la pesquería de cerco hasta 2021, considerándose preliminares los datos de los dos últimos años hasta marzo de 2022. A continuación, se describe detalladamente cada una de las fuentes de datos.

2.1. Cercos

Los datos de la pesquería de cerco se compilan a partir de tres fuentes de datos: 1) datos de observadores de la CIAT y de los Programas Nacionales, 2) datos de las bitácoras de los buques extraídos por el personal de las oficinas regionales de la Comisión en los puertos atuneros de Latinoamérica, y 3) datos de las empresas enlatadoras. Los datos de los observadores de la pesquería de buques grandes (clase 6) son los más completos en cuanto a las especies de captura incidental. Recientemente se publicó una perspectiva histórica de la recolección de datos de captura incidental de los programas de observadores, que se describe en el [Informe Especial 25 de la CIAT](#). Los observadores de la CIAT y los diversos Programas Nacionales proveen datos detallados de captura incidental por especie, captura, disposición y esfuerzo para la posición exacta de pesca (es decir, la latitud y longitud del lance cerquero). Tanto los conjuntos de datos de las bitácoras llenadas por los pescadores como los de las enlatadoras contienen datos muy limitados sobre las especies de captura incidental, ya que la notificación está enfocada principalmente en las especies de atún de importancia comercial. Los datos de bitácora, al igual que los de cerco, incluyen la posición exacta de pesca, pero se registran datos de esfuerzo limitados con una sola entrada por día, independientemente del número de lances realizados. Los datos de las enlatadoras (o de "descarga") no tienen una posición exacta de pesca sino una región geográfica amplia donde se capturó el pescado (por ejemplo, el Pacífico oriental o el Océano Pacífico occidental). Estos datos contienen especies de captura incidental solo si fueron retenidas en una bodega de un buque cerquero durante la operación de pesca.

Los buques cerqueros más pequeños (clases 1-5) no están obligados sistemáticamente a llevar observadores, excepto en determinadas circunstancias (por ejemplo, con fines de certificación, pesca durante períodos de veda). Las principales fuentes de datos no observados son los registros de las bitácoras, los registros de descarga de las enlatadoras, y el muestreo en puerto realizado por el personal de la oficina regional de la CIAT, que se enfocan todos en especies de atunes. El Formulario Plantados, una bitácora diseñada a finales de 2018 para ser utilizada por los capitanes de embarcaciones pequeñas que pescan sobre plantados, es también una fuente de datos no observados de atunes y grupos de especies sensibles, pero los datos de captura incidental son actualmente de poca utilidad para los fines de este informe, ya que los datos se agregan en grupos taxonómicos amplios y la calidad de los datos es incierta. Por lo tanto, existe poca información registrada sobre las interacciones con especies de captura incidental por los buques más pequeños. En los últimos años ha aumentado el número de buques pequeños que llevan observadores a bordo. Esto se debe a los requisitos del APICD para la pesca durante los períodos de veda para los buques de cerco de clase 6, el deseo de obtener la certificación de pesquería segura para los delfines (*dolphin safe*), un proyecto piloto de la CIAT en el que se prueba la eficacia de las metodologías de monitoreo electrónico ([SAC-11-10](#)), y un programa voluntario de observadores para buques pequeños establecido en 2018 por el Tuna Conservation Group (TUNACONS), un consorcio de empresas atuneras ecuatorianas. La captura mínima derivada de los datos de observadores reportada por los observadores para las especies de captura incidental por viajes de buques pequeños se incluyen en este informe ([Tabla L-8](#)) para proporcionar la información básica disponible actualmente para esta pesquería, con el fin de ampliar los informes sobre esta pesquería a medida que se espera que la provisión de datos mejore en el futuro. En 2021, la mayoría de los viajes (73%) realizados por buques pequeños no fueron observados, el 19% fueron del programa voluntario de observadores de TUNACONS de Ecuador, el 6% del programa nacional de observadores de Ecuador y el 2% del programa de observadores de la CIAT.

Por lo tanto, en el presente informe nos enfocamos principalmente en el conjunto completo de datos de observadores en buques cerqueros grandes para proporcionar estimaciones de captura de especies de captura incidental. Conforme al programa del APICD, se asigna un observador a un buque de cerco grande antes de cada viaje. Se usan los datos de captura incidental provistos por los observadores para estimar las capturas totales, por tipo de lance (es decir, objetos flotantes (OBJ), atunes no asociados (NOA), y delfines (DEL)). En la Tabla A-7 del Documento [SAC-13-03](#) se muestra el número de lances de cada tipo realizados en el OPO durante 2006-2021.

A pesar del requerimiento de observadores, se sabe que se han realizado algunos lances, con base en las bitácoras y otras fuentes, pero no fueron observados. Por ejemplo, al comienzo de la recolección de datos de captura incidental en 1993, se observó alrededor del 46% de los lances, aumentando a 70% en 1994. De 1994 a 2008, el porcentaje promedio de lances observados fue de alrededor 80%. A partir de 2009, se observó casi el 100% de los lances. Se extrapolan²¹ los datos de captura por día tanto para las especies objetivo como para las no objetivo de captura incidental para tener en cuenta estos casos.

2.2. Palangre

La considerable variabilidad en los formatos de notificación de datos de palangre ha dificultado la capacidad del personal de estimar las capturas de especies de captura incidental en el OPO entero ([SAC-08-07b](#), [SAC-08-07d](#), [SAC-08-07e](#), [BYC-10 INF-D](#)). Los datos de captura incidental de las pesquerías de palangre aquí reportados fueron obtenidos usando datos de extracciones anuales brutas estimados por cada CPC y notificados a la CIAT en forma resumida. Debido a que existe incertidumbre en cuanto a si la CIAT está recibiendo todos los datos de captura incidental de la pesquería palangrera de cada CPC, estos datos son considerados incompletos, o "datos de muestra", y por lo tanto son considerados como estimaciones mínimas de captura anual reportada para 1993-2020. Se está llevando a cabo una colaboración por todo el personal para actualizar la resolución [C-03-05](#) sobre provisión de datos a fin de mejorar la calidad de la recolección, notificación y análisis de datos para alinearlos con las responsabilidades de la CIAT establecidas en la Convención de Antigua y el PCE ([SAC-12-09](#)). Un objetivo preliminar de este trabajo es iniciar una serie de talleres colaborativos entre el personal y los CPC para evaluar la viabilidad de recolectar los tipos de datos deseables y desarrollar plantillas de recolección de datos para cada tipo de arte, con estándares y procedimientos claros para la remisión de datos que incluyan explícitamente las interacciones con las especies de captura incidental.

Durante este proceso, el personal pudo determinar que las capturas de tiburones con palangre, notificadas por los CPC, eran varias veces superiores a las capturas anteriormente notificadas para la pesquería palangrera. Una revisión de los datos reveló que una alta proporción de las capturas de tiburones se asignaba a "otras artes" en los [informes anuales de la situación de la pesquería](#) desde 2006, pero que en realidad se capturaron con palangre por CPC costeros. Por lo tanto, la transferencia resultante de los datos de captura de "otras artes" a "palangre" incrementó significativamente las capturas

²¹ Los datos observados se agrupan por especie, año, bandera y tipo de lance. El número de lances no observados conocidos se obtiene de las bitácoras y otras fuentes. Además, hay viajes conocidos en el OPO de los cuales el personal no sabe el número y tipo de lances realizados. Por lo tanto, se calcula la captura incidental por día conocida a partir de los datos de observadores por especie, año, bandera y tipo de lance, y se aplica al número de días en el mar de cada viaje para estimar la captura incidental. En algunos casos, es posible que haya lances no observados o datos de días en el mar por una bandera que no tengan datos de observadores equivalentes para ese año para facilitar una estimación fiable de la captura. Para estos viajes se usan datos anuales de una bandera sustituta. La bandera sustituta se determina mediante los 5 viajes subsiguientes realizados por el buque en los que hubo un observador a bordo, y adoptando como bandera sustituta la bandera predominante usada en esos viajes. Luego se aplica la captura incidental por lance o día de la bandera sustituta conocida para el año en cuestión a los datos de la bandera no representada.

palangreras de tiburones a partir de 2006 (ver Tabla A2c en [SAC-11-03](#)).

La notificación de datos de observadores en palangreros para los buques >20 m ha mejorado desde que la resolución [C-19-08](#) entró en vigor. El personal ha recibido datos operacionales de observadores detallados por lance individual para varios CPC, aunque el nivel de cobertura por observadores ha sido a menudo inferior a la cobertura obligatoria del 5% del número total de anzuelos o "días efectivos de pesca". Además, para la mayoría de los CPC, la cobertura es significativamente menor que la cobertura del 20% recomendada por el personal, el Grupo de Trabajo sobre Captura Incidental, y el Comité Científico Asesor. La eficacia de la cobertura por observadores obligatoria del 5% para evaluar si la cobertura por observadores es representativa de las actividades de la flota total se presenta en el documento [BYC-10 INF-D](#). Aunque los CPC hicieron un gran esfuerzo para mejorar su notificación de los datos de observadores en palangreros, los resultados del análisis demostraron que una cobertura por observadores del 5% es insuficiente para estimar la captura total de los atunes aleta amarilla y patudo, relativamente ricos en datos, por lo que es probable que las estimaciones de captura de las especies de captura incidental sean menos fiables, dado que se dispone de menos datos para dichas especies. El personal de la CIAT procurará proveer estimaciones de las capturas de palangre en el OPO basadas en datos de observadores en el futuro, pero los resultados de los análisis mencionados destacan una clara necesidad de mejorar la notificación de datos de las especies de captura incidental (ver [SAC-12-09](#)).

3. INTERACCIONES DE LA PESQUERÍA CON GRUPOS DE ESPECIES

3.1. Atunes y peces picudos

En el documento [SAC-13-03](#) se presentan datos sobre las capturas de las principales especies de atunes y bonitos de los géneros *Thunnus*, *Katsuwonus*, *Euthynnus* y *Sarda*, y de los peces picudos de las familias Istiophoridae y Xiphidae. En el documento [SAC-13-05](#) se presenta una investigación sobre los efectos de la pandemia de COVID-19 en las capturas de atunes tropicales. El personal ha desarrollado [evaluaciones](#) y/o indicadores de condición de población (SSI, de *stock status indicators*) para los atunes tropicales ([SAC-13-06](#)), una evaluación provisional del barrilete ([SAC-13-07](#)), un modelo espaciotemporal de marcado para el barrilete ([SAC-13-08](#)), y un índice de abundancia independiente de la pesca para el barrilete usando datos de boyas con ecosonda para la pesquería OBJ ([FAD-06-03](#)). El personal también ha colaborado en las evaluaciones de los atunes [aleta azul del Pacífico](#) y [albacora](#) dirigidas por el Comité Científico Internacional para los Atunes y Especies Afines en el Océano Pacífico Norte (ISC), la evaluación del [atún albacora del Pacífico sur](#) dirigida por la Comisión de Pesca del Pacífico Occidental y Central (WCPFC), y colaboró en las evaluaciones del ISC para el [pez espada](#) del Pacífico norte (2018), [marlín azul](#) (2019) y [marlín rayado](#) (2019 y 2022). En el documento [SAC-13-09](#) se presenta una evaluación de referencia del pez espada del OPO sur.

3.2. Mamíferos marinos

Mamíferos marinos, especialmente los delfines manchado (*Stenella attenuata*), tornillo (*S. longirostris*) y común (*Delphinus delphis*) están a menudo asociados a atunes aleta amarilla en el OPO. Los pescadores de cerco comúnmente lanzan la red alrededor de manadas de delfines y los atunes aleta amarilla asociados, y después liberan los delfines mientras retienen los atunes. La mortalidad incidental de delfines fue alta durante los primeros años de la pesquería, pero disminuyó drásticamente a principios de la década de 1990, y se ha mantenido en niveles bajos desde entonces ([AIDCP-43-02](#); [Figura L-1](#)).

En la [Tabla L-1a](#) se presentan estimaciones de la mortalidad incidental de delfines en la pesquería cerquera de buques grandes durante 1993-2021. En 2021, la población de delfines con la mortalidad incidental más alta fue la de tornillo oriental ($n=197$), seguida por los delfines manchado occidental-sureño ($n=178$), tornillo panza blanca ($n=175$) y manchado nororiental ($n=167$). Los delfines comunes fueron los menos afectados por la pesquería, con mortalidades de 3 delfines comunes norteños, 6 centrales y 5 sureños.

El personal tiene previsto analizar los datos disponibles sobre las interacciones con mamíferos marinos notificados y observados para las pesquerías de cerco en un futuro próximo.

En los últimos años se han realizado mejoras significativas a los estándares mínimos de datos de observadores de palangre remitidos a la CIAT, que ahora requieren la presentación de datos operacionales en virtud de la resolución [C-19-08](#). Sin embargo, tal y como se discute en la Sección 2.2, el bajo nivel de cobertura por observadores (al menos 5%) que se exige actualmente para estos buques no es representativo de los distintos componentes de la flota y dificulta la extrapolación de los datos observados para generar los totales de la flota (ver [BYC-10 INF-D](#)). Por el momento, solo se presenta el número mínimo de interacciones y mortalidades observadas de mamíferos marinos reportadas para 2020 ([Tabla L-1b](#)). Las interacciones y mortalidades se definieron por la clasificación subjetiva del destino (herido, liberado o no reportado) y la condición de liberación (vivo y sano o no reportada) según lo registrado por los observadores. Las disposiciones no reportadas se asumieron, de manera precautoria, como mortalidades. Bajo estos supuestos, todos los mamíferos marinos reportados por los observadores fueron considerados muertos con la excepción de una ballena pequeña no identificada que fue liberada "viva y sana". El personal reitera que el nivel de cobertura por observadores debe aumentar al menos al 20% recomendado para facilitar la expansión del número de interacciones y mortalidades a la totalidad de las actividades de la flota para los mamíferos marinos y otras especies de captura incidental vulnerables.

TABLA L-1b. Número mínimo de interacciones con mamíferos marinos y mortalidades en 2020 reportadas por observadores a bordo de buques palangreros bajo el mandato actual de al menos 5% de cobertura ([C-19-08](#)) de cada flota de los CPC que opera en el Océano Pacífico oriental. Todas las interacciones con mamíferos marinos reportadas resultaron en mortalidades (es decir, no se reportó la disposición y se supuso precautoriamente que el animal había muerto, o se reportó como "Herido", excepto por una ballena pequeña no identificada que fue reportada como "Liberada viva y sana").

Taxones de mamíferos marinos	Interacciones	Mortalidades
Lobo fino de Guadalupe, <i>Arctocephalus townsendi</i>	7	7
Focas y lobos marinos, nep, Otariidae, Phocidae	2	2
Delfín esteno, <i>Steno bredanensis</i>	1	1
Delfín, nep, Delphinidae, <i>Pseudorca crassidens</i>	2	2
Orca falsa, <i>Pseudorca crassidens</i>	2	2
Mesoplodón, nep, <i>Mesoplodon</i> spp.	1	1
Ballena pequeña no identificada, Odontoceti	1	0
Cetáceo no identificado, nep, Cetacea	1	1
Números totales	17	16

3.3. Tortugas marinas

Las tortugas marinas son capturadas ocasionalmente en la pesquería cerquera en el OPO, generalmente cuando se asocian a objetos flotantes que se cercan, aunque a veces son capturadas por casualidad en lances sobre atunes no asociados o atunes asociados a delfines. También pueden enredarse en la malla de los dispositivos agregadores de peces (plantados) y ahogarse, o resultar heridas o muertas a causa de las artes de pesca.

En la [Figura L-2](#) se muestra el número estimado de mortalidades e interacciones de tortugas marinas registradas por observadores en buques de cerco grandes, por tipo de lance, durante 1993-2021. Las interacciones se definieron a partir de la información de los observadores registrada como destino en el formulario de tortugas como: enredadas, liberadas ilegas, heridas leves, escapadas de la red, observadas pero no involucradas en el lance y otras/desconocidas. La tortuga golfina (*Lepidochelys olivacea*) es, por mucho, la especie de tortuga marina capturada más frecuentemente, con un total de 21,680 interacciones

y 951 mortalidades (~4%) durante 1993-2021, pero solo 245 interacciones (2 mortalidades) en 2021 ([Tabla L-2a](#)). En 2021, hubo 52 interacciones registradas con tortugas verdes del Pacífico oriental, 29 con caguamas, 5 con carey, 1 con laúd y 153 con tortugas no identificadas y no hubo mortalidades.

En la pesquería palangrera, las tortugas marinas son capturadas cuando se tragan un anzuelo cebado, se enganchan accidentalmente o se ahogan después de quedar enredadas en la línea principal, las líneas de flotación o las brazoladas y no pueden subir a la superficie para respirar. También son capturadas en pesquerías costeras pelágicas y de redes agalleras de fondo, donde quedan enredadas en la red o enmalladas en las líneas de flotación o en la relinga superior. Aunque se dispone de muy pocos datos sobre la mortalidad incidental de tortugas por la pesca con palangre y redes agalleras, es probable que las tasas de mortalidad en la pesquería palangrera industrial del OPO sean mínimas en los lances "profundos" (alrededor de 200-300 m) dirigidos al atún patudo y al albacora, y máximas en los lances "someros" (<150 m) dirigidos al pez espada. También existe una flota importante de flotas artesanales palangreras y de redes agalleras de naciones costeras que se sabe que capturan tortugas marinas, pero se dispone de datos limitados (ver [BYC-11-02](#)).

No se ha dispuesto de datos sobre las interacciones y mortalidades de las tortugas marinas en la pesquería de palangre ([SAC-08-07b](#)), aunque empiezan a mejorar con la remisión de datos operacionales de observadores desde 2019, de conformidad con la resolución [C-19-08](#). Teniendo en cuenta que la cobertura por observadores en la mayoría de los buques de palangre es de 5% o menos (ver [BYC-10 INF-D](#)), comparado con el 100% de los viajes observados en la pesquería cerquera de buques grandes, los datos de observadores provistos por los CPC para 2020 son considerados números mínimos de interacciones y mortalidades ([Tabla L-2b](#)). Aquí las interacciones y mortalidades se definieron por destino (descartada, herida, heridas graves, liberada, liberada con anzuelo o no reportado) y/o la condición de liberación (viva y sana, viva y herida, muerta, desconocida o no reportada) según lo registrado por los observadores. Las interacciones notificadas en 2020 fueron máximas para las tortugas laúd (43%), pero de las 10 interacciones, 7 fueron liberadas vivas. El personal espera usar las nuevas remisiones de datos operacionales de observadores requeridas en virtud de la resolución [C-19-08](#) para reportar la primera estimación de captura total de la flota palangrera de especies de tortugas marinas en el futuro, aunque en el documento [BYC-10 INF-D](#) se advierte que la actual cobertura por observadores del 5% es insuficiente para producir estimaciones fiables de la captura total.

TABLA L-2b. Número mínimo de interacciones con tortugas marinas y mortalidades en 2020 reportadas por observadores a bordo de buques palangreros bajo el mandato actual de al menos 5% de cobertura ([C-19-08](#)) de cada flota de los CPC que opera en el Océano Pacífico oriental. Las disposiciones que se considera que indican un evento de supervivencia son las reportadas por los observadores como "Viva y sana", "Heridas leves" y "Liberada con un anzuelo", mientras que las que se considera que indican un evento de mortalidad son las disposiciones reportadas como "Muerta", "Descartada", "Heridas graves", "Herida", "Viva y herida" o, de manera precautoria, cuando la disposición no fue reportada.

Taxones de tortugas marinas	Interacciones	Mortalidades
Tortuga laúd, <i>Dermochelys coriacea</i>	10	3
Tortuga verde, <i>Chelonia mydas</i>	5	2
Tortuga golfinha, <i>Lepidochelys olivacea</i>	4	3
Tortuga caguama, <i>Caretta caretta</i>	2	2
Tortuga carey, <i>Eretmochelys imbricata</i>	1	1
Tortugas marinas, nep, <i>Testudinata</i>	1	0
Números totales	23	11

Varias resoluciones de la CIAT, más recientemente la [C-19-04](#), han tenido como objetivo mitigar los impactos de la pesca en las tortugas marinas y establecer procedimientos seguros de manipulación y liberación de las tortugas marinas capturadas con redes de cerco y palangre. Además, antes de la 13^a reunión del CCA se celebró un taller sobre anzuelos circulares para discutir a) los efectos de diferentes tamaños de anzuelos circulares en la mitigación de la captura incidental de tortugas marinas y otras especies vulnerables en la pesquería de palangre y b) el tamaño mínimo de anzuelo para satisfacer los requisitos establecidos en la resolución [C-19-04](#). Los participantes del taller discutieron sobre el uso de diferentes anzuelos circulares en las pesquerías de palangre para satisfacer la resolución [C-19-04](#), con una anchura mínima del anzuelo definida en función de la pesquería y de la especie objetivo. Sin embargo, no se formularon conclusiones ni recomendaciones definitivas ([WSHKS-01](#)), aunque las discusiones se reanudaron durante la 11^a reunión del Grupo de Trabajo sobre Captura Incidental en mayo de 2022.

Se realizó una evaluación preliminar de la vulnerabilidad de la población de tortugas laúd del Pacífico oriental en 2018 en colaboración con la Convención Interamericana para la Protección y Conservación de las Tortugas Marinas (CIT), usando el enfoque de Evaluación Ecológica del Impacto Sostenible de las Pesquerías (EASI-Fish) (ver Sección 5) ([BYC-10 INF-B](#)). Se determinó que el estado de vulnerabilidad de la población era "más vulnerable" en 2018. El personal ha seguido colaborando con la CIT en 2020-2022 para mejorar el modelo de distribución de la especie ([BYC-11-01](#)) y la evaluación de su vulnerabilidad utilizando datos de pesca actualizados de CPC costeros ([BYC-11-02](#)). La evaluación finalizada mostró que el estado de vulnerabilidad de la población se mantuvo en "más vulnerable" en 2019. El modelado de 70 escenarios de ordenación mostró que la implementación de mejores prácticas de manipulación y liberación por parte de las flotas industriales y artesanales, o el uso de anzuelos circulares, o el uso de cebo de pescado por las flotas palangreras podrían reducir la mortalidad posliberación y/o en el buque a tal grado que la población podría recuperarse a un estado "menos vulnerable", siempre que no aumenten los niveles de esfuerzo de pesca de todas las pesquerías del OPO. Se predijo que el uso de estas tres medidas en conjunto reduciría aún más la vulnerabilidad. Los resultados detallados de este trabajo se presentaron en 2022 en la reunión del Grupo de Trabajo sobre Captura Incidental ([BYC-11-01](#), [BYC-11-02](#)).

3.4. Aves marinas

Existen aproximadamente 100 especies de aves marinas en el OPO tropical. Algunas de ellas se asocian a depredadores epipelágicos, como peces (especialmente atunes) y mamíferos marinos, cerca de la superficie del océano; para algunas, las oportunidades de alimentación dependen de la presencia de cardúmenes de atunes que se alimentan cerca de la superficie. Algunas aves marinas, especialmente los albatros y petreles son capturados en anzuelos cebados en las pesquerías palangreras pelágicas.

La CIAT ha adoptado una resolución sobre aves marinas ([C-11-02](#)); además, el Acuerdo sobre la Conservación de Albatros y Petreles (ACAP) y BirdLife International han actualizado sus mapas de las distribuciones de aves marinas en el OPO, y han recomendado directrices sobre la identificación, notificación, manipulación y medidas de mitigación para aves marinas ([SAC-05 INF-E](#), [SAC-07-INF-C\(b\)](#), [SAC-08-INF-D\(a\)](#), [SAC-08-INF-D\(b\)](#), [BYC-08 INF J\(b\)](#)). Adicionalmente, el ACAP ha informado sobre la condición de conservación de los albatros y los petreles grandes ([SAC-08-INF-D\(c\)](#); [BYC-08 INF J\(a\)](#)). Los participantes del taller sobre anzuelos circulares, celebrado en marzo de 2022 ([WSHKS-01](#)), discutieron la influencia de los anzuelos circulares en la captura y mortalidad de las aves marinas. Los datos disponibles no parecen ser concluyentes para comentar sobre el valor de conservación de los anzuelos circulares en comparación con otras formas o tamaños de anzuelos para las aves marinas dada la falta de estudios empíricos.

Al igual que en el caso de las tortugas marinas, no se ha dispuesto de datos sobre las interacciones y

mortalidades de las aves marinas en la pesquería de palangre ([SAC-08-07b](#)), pero con la remisión de datos operacionales de observadores en palangreros de >20 m en 2019 se dispone de algunas estimaciones mínimas de 2020 para la presentación de informes ([Tabla L-3](#)).

Los datos de observadores remitidos por los CPC para 2020 contenían 126 interacciones con aves marinas, todas registradas como “descartadas”, “heridas” o presuntamente muertas de manera precautoria debido a datos incompletos de disposición. Con estos datos limitados, el albatros de Laysan, *Phoebastria immutabilis*, fue el que más interactuó con las artes (29% de todas las interacciones). El personal espera reportar la primera estimación de captura total de la flota palangrera de especies de aves marinas en el futuro usando los datos operacionales de observadores a medida que continúe la mejora en la recolección de datos; ver el documento [BYC-10 INF-D](#) para consultar una discusión sobre las deficiencias actuales de los datos de observadores de palangre para ampliar los datos a las actividades de la flota palangrera a fin de proporcionar estimaciones de la captura total.

TABLA L-3. Número mínimo de interacciones con aves marinas en 2020 reportadas por observadores a bordo de buques palangreros bajo el mandato actual de al menos 5% de cobertura ([C-19-08](#)) de cada flota de los CPC que opera en el Océano Pacífico oriental. Todas las interacciones con aves marinas reportadas resultaron en mortalidades (es decir, la disposición fue reportada como "Descartada", "Herida", o no fue reportada).

Taxones de aves marinas	Interactions	Mortalities
Albatros de Laysan, <i>Phoebastria immutabilis</i>	37	37
Albatros patinegro, <i>Phoebastria nigripes</i>	32	32
Pardela gorgiblanca, <i>Procellaria aequinoctialis</i>	17	17
Bobos y alcatraces, nep, Sulidae	16	16
Albatros errante, <i>Diomedea exulans</i>	16	16
Petrel darnero, <i>Daption capense</i>	5	5
Albatros nep, <i>Diomedea</i> spp.	2	2
Albatros de Buller, <i>Thalassarche bulleri</i>	1	1
Números totales	126	126

3.5. Tiburones

Se capturan tiburones como captura incidental en las pesquerías atuneras cerqueras del OPO y ya sea como captura incidental u objetivo en las pesquerías palangreras, multiespecíficas y de múltiples artes de las naciones costeras.

Se dispone de evaluaciones o indicadores de condición (SSI, de *stock status indicators*) de las poblaciones de solo cuatro especies de tiburones en el OPO: sedoso (*Carcharhinus falciformis*) (Lennert-Cody *et al.* 2018; [BYC-10 INF-A](#), [BYC-11 INF-B](#)), azul (*Prionace glauca*) ([Grupo de Trabajo sobre Tiburones del ISC](#)), marajo dientuso (*Isurus oxyrinchus*) ([Grupo de Trabajo sobre Tiburones del ISC](#)) y zorro (*Alopias vulpinus*) ([NMFS](#)). Como parte del [Proyecto Océanos Comunes de la FAO](#), en 2017 se finalizaron evaluaciones a escala del Pacífico entero del tiburón marajo sardinero (*Lamna nasus*) en el hemisferio sur (Clarke 2017), y del tiburón zorro ojón (*Alopias superciliosus*) (Fu *et al.* 2018), mientras que la del tiburón sedoso (Clarke 2018a) y una evaluación de riesgo para la población del tiburón ballena del Indo-Pacífico (Clarke 2018b) se completaron en 2018. Las interacciones del tiburón ballena con la pesquería atunera de cerco en el OPO se resumen en el Documento [BYC-08 INF-A](#). Se desconocen los impactos de las pesquerías atuneras sobre las poblaciones de otras especies de tiburones, no mencionadas anteriormente, en el OPO. La primera evaluación cuantitativa de la vulnerabilidad de la captura incidental de tiburones en las pesquerías industriales y artesanales del OPO, usando la metodología EASI-Fish (Sección 5), fue completada en 2022 y fue presentada en la 13^a reunión del CCA ([SAC-13-11](#)). En resumen, se registraron

un total de 49 especies de tiburones que interactúan con las pesquerías atuneras del OPO, de las cuales 32 especies fueron evaluadas formalmente usando EASI-Fish para 2019. En general, 20 especies se clasificaron como "más vulnerables", incluidos los tiburones martillo (4 especies), cazones (10 especies), zorros (*Alopias superciliosus* y *A. pelagicus*), mesopelágicos (3 especies) y el tiburón azul (*Prionace glauca*) y el marajo dientuso (*Isurus oxyrinchus*), ambos de importancia comercial. Las 12 especies restantes se clasificaron como "menos vulnerables" (9 especies) o "cada vez más vulnerables" (3 especies). El informe recomendó más análisis para explorar una gama de posibles medidas de conservación y ordenación (MCO) hipotéticas que podrían implementarse, de forma aislada o combinada, en el OPO para reducir los impactos de la pesca sobre las especies de tiburones particularmente vulnerables identificadas, incluidos los tiburones sedoso, zorro y martillo.

En la [Tabla L-4a](#) se muestran las capturas (t) de tiburones en las pesquerías cerqueras de buques grandes (1993-2021) y las estimaciones mínimas de captura reportada²² por las pesquerías palangreras (1993-2020), mientras que en la [Figura L-3](#) se muestran las capturas de las especies capturadas con más frecuencia, que se discuten a continuación. La notificación de muchas especies de tiburones por palangreros comenzó en 2006. El tiburón sedoso (familia Carcharhinidae) es la especie de tiburón más comúnmente capturada en la pesquería de cerco, con capturas anuales que promedian las 554 t (principalmente de lances sobre objetos flotantes ([Figura L-3](#))) y que fueron 571 t en 2021. En cambio, la captura anual mínima reportada en los datos de muestra de palangre para 2006-2020 promedió 11,395 t y fue de 14,752 t en 2020. La captura anual de tiburón oceánico punta blanca (Carcharhinidae) en la pesquería de cerco promedió 58 t (también principalmente de lances sobre objetos flotantes) y fue de 12 t en 2021. La captura anual mínima reportada en la pesquería de palangre entre 2006 y 2020 alcanzó un promedio de 143 t y no se reportó ninguna en 2020. Las capturas de tiburón oceánico punta blanca han disminuido en la pesquería de cerco desde principios de la década de 2000, mientras que las capturas han sido variables en la pesquería de palangre ([Figura L-3](#)). La captura mínima anual reportada de tiburón azul en la pesquería de palangre de 1993-2020 promedió 6,134 t y fue de 15,080 t en 2020. En cambio, la captura anual en la pesquería de cerco promedió solo 2 t, con 1 t capturada en 2021.

Otras especies importantes de tiburones capturadas en las pesquerías de cerco y palangre son los tiburones cornuda cruz (*Sphyrna zygaena*), zorro pelágico (*Alopias pelagicus*) y marrajos (*Isurus spp.*) ([Tabla L-4a](#), [Figura L-3](#)). Las estimaciones de captura del tiburón cornuda cruz en la pesquería cerquera promediaron 26 t (principalmente capturados en lances sobre objetos flotantes) y fue de 13 t en 2021, mientras que en la pesquería palangrera la captura mínima anual reportada promedió 958 t (2006-2020), y fue de 941 t en 2020. En cambio, el zorro pelágico fue capturado principalmente en lances no asociados en la pesquería cerquera con la captura anual promedio de 5 t, y fue de 1 t en 2021. La captura mínima anual reportada de zorro pelágico en la pesquería palangrera promedió 2,066 t (2007-2020), y 342 en 2020. Las estimaciones de captura de marrajos en la pesquería cerquera fueron más bajas que las de las especies antes mencionadas, promediando 3 t, y 2 t 2021. Sin embargo, en la pesquería de palangre la captura mínima anual reportada promedió 1,419 t (1993-2020) y en 2020 fue de 3,694 t.

Los datos limitados de observadores en buques de cerco pequeños mostraron que se capturaron 17 t de tiburón sedoso y 4 t de tiburón martillo en lances sobre objetos flotantes en 2021, mientras que las de otras especies o grupos de especies de tiburones fueron mínimas (<3 t) ([Tabla L-8](#)).

Las capturas mínimas, derivadas únicamente de los datos de observadores, de tiburones capturados con

²² Los tiburones capturados por los buques palangreros se registran usando diferentes métricas de peso (por ejemplo, peso en vivo, del tronco o entero) y, por lo tanto, es posible que las estimaciones de la captura total anual reportada contengan una mezcla de estas métricas de peso. El personal está trabajando en la armonización de la recopilación de datos de tiburones para mejorar la fiabilidad de las estimaciones de captura total (por ejemplo, [SAC-11-13](#)).

palangre en 2020 se presentan en la [Tabla L-4b](#) (ver Sección 2.2 y [BYC-10 INF-D](#) para consultar las incertidumbres en la notificación de datos por arte de palangre). El tiburón azul fue, por mucho, la especie de tiburón más frecuentemente capturada en este conjunto de datos, con reportes de más de 70,000 animales que interactuaron con el arte en 2020, seguido por el tiburón sedoso con más de 10,000 animales. Según los criterios de disposición descritos en la [Tabla L-4b](#), casi todas las interacciones resultaron en mortalidades para la mayoría de las especies y grupos de especies de tiburones reportados por los observadores.

TABLA L-4b. Número mínimo de interacciones con tiburones y mortalidades en 2020 reportadas por observadores a bordo de buques palangreros bajo el mandato actual de al menos 5% de cobertura ([C-19-08](#)) de cada flota de los CPC que opera en el Océano Pacífico oriental. Las disposiciones que se considera que indican un evento de supervivencia son las reportadas por los observadores como "Vivo y sano", "Vivo con heridas leves" y "Vivo", mientras que las que se considera que indican un evento de mortalidad son las disposiciones reportadas como "Muerto", "Vivo, mortalidad probable", "Vivo herido", "Descartado", "Desconocida" o cuando la disposición no fue reportada.

Taxones de tiburones	Interacciones	Mortalidades
Tiburón azul, <i>Prionace glauca</i>	76,387	76,092
Tiburón sedoso, <i>Carcharhinus falciformis</i>	10,084	10,057
Zorro pelágico, <i>Alopias pelagicus</i>	6,887	6,871
Marrajo dientuso, <i>Isurus oxyrinchus</i>	3,122	3,121
Cornuda cruz, <i>Sphyraena zygaena</i>	1,659	1,657
Tiburón cocodrilo, <i>Pseudocarcharias kamoharai</i>	1,343	1,100
Zorro ojón, <i>Alopias superciliosus</i>	904	754
Bruja bocachica, <i>Scymnodon squamulosus</i>	309	172
Varios tiburones, nep, <i>Euselachii</i>	218	213
Tiburón oceánico punta blanca, <i>Carcharhinus longimanus</i>	118	107
Marrajo carite, <i>Isurus paucus</i>	101	99
Cornuda común, <i>Sphyraena lewini</i>	90	90
Zorro, <i>Alopias vulpinus</i>	69	69
Carocho, <i>Dalatias licha</i>	45	45
Tiburones, rayas, etc. nep, <i>Elasmobranchii</i>	40	40
Zorros, nep, <i>Alopias</i> spp.	23	20
Cazones picudos,tintoreras nep, <i>Carcharhinidae</i>	20	20
Tintorera tigre, <i>Galeocerdo cuvier</i>	10	10
Otros tiburones*	12	8
Números totales	101,441	100,545

*"Otros tiburones" incluye aquéllos con ≤2 interacciones de 6 taxones en 2020.

Las pesquerías palangreras artesanales de los CPC costeros están dirigidas a tiburones, atunes, peces picudos y dorado (*Coryphaena hippurus*), y algunos de estos buques son similares a las pesquerías palangreras industriales en el sentido de que operan en zonas más allá de jurisdicciones nacionales (Martínez-Ortiz *et al.* 2015). Sin embargo, suelen faltar datos esenciales de tiburones de las pesquerías palangreras, y por lo tanto no se pueden producir evaluaciones convencionales y/o indicadores de condición de población (ver síntesis de retos de datos en [SAC-07-06b\(iii\)](#)). Se llevó a cabo un proyecto, financiado por la Organización para la Agricultura y el Alimento de las Naciones Unidas (FAO) y el Fondo para el Medio Ambiente Mundial (FMAM) en el marco del programa Océanos Comunes ABNJ ([SAC-07-06b\(ii\)](#), [SAC-07-06b\(iii\)](#)), para mejorar la recolección de datos sobre tiburones de la pesquería palangrera, particularmente en Centroamérica. En 2019 se realizó un estudio piloto de un año para recopilar datos de la pesquería de tiburones y desarrollar y probar diseños de muestreo para un programa de muestreo a

largo plazo de la pesquería de tiburones en Centroamérica (Fase 2 del proyecto). Se presentó un informe del avance del proyecto FAO-FMAM ABNJ en la 11^a reunión del CCA ([SAC-11-13](#)). Aunque este estudio piloto en Centroamérica ya concluyó, la metodología de muestreo será aplicada en una segunda fase del proyecto FAO-FMAM ABNJ en otros Miembros de la CIAT que comenzará en 2022 (SAC-13-12). Es posible que los datos obtenidos en estos proyectos se incluyan en futuras versiones de este informe para brindar mejores estimaciones de captura, aunque sean estimaciones mínimas, de tiburones capturados por las distintas flotas de palangre, red agallera y de artes mixtas.

3.6. Rayas

En la [Tabla L-5a](#) se presentan las capturas anuales estimadas de mantarrayas (Mobulidae) y rayas pelágicas (Dasyatidae) por las pesquerías de cerco de buques grandes (1993-2021) y las capturas anuales mínimas reportadas por las pesquerías de palangre (1993-2020), mientras que en la [Figura L-4](#) se muestran las capturas de especies clave. Estas rayas son capturadas principalmente por la pesquería de cerco, mientras que se reportaron capturas limitadas para la pesquería palangrera solo para la manta de Munk (2009: 6 t, 2010: 118 t) y Dasyatidae spp. (15 t en un periodo de 5 años), con la mitad de las capturas realizadas en 2009 ([Tabla L-5a](#)). La manta gigante tuvo las capturas promedio más altas en la pesquería de cerco (19 t), seguida de la manta mobula (14 t) y la manta diablo (8 t). Las capturas de estas especies en 2021 fueron de 15, 7 y <1 t, respectivamente. Las capturas de la raya pelágica fueron bajas, con un promedio de solo 2 t y 2 t en 2021 ([Tabla L-5a](#)). Aunque las capturas de estas rayas pueden variar por tipo de lance, han sido máximas en los lances no asociados, seguidos por los lances sobre delfines, y mínimas en los lances sobre objetos flotantes ([Figura L-4](#)).

En el caso de la pesquería cerquera de buques pequeños, los limitados datos de observadores disponibles para 2021 fueron mínimos (≤ 1 t) para todas las demás especies o grupos de especies de rayas ([Tabla L-8](#)).

Los datos mínimos disponibles del conjunto de datos de observadores de palangre (ver Sección 2.2. y [BYC-10 INF-D](#)) mostraron que la mayoría de las interacciones fueron con la raya pelágica (*Pteroplatytrygon violacea*) y el 91% de estas interacciones (4,332 individuos) resultaron en mortalidades (3,960) ([Tabla L-5b](#)).

TABLA L-5b. Número mínimo de interacciones con rayas y mortalidades en 2020 reportadas por observadores a bordo de buques palangreros bajo el mandato actual de al menos 5% de cobertura ([C-19-08](#)) de cada flota de los CPC que opera en el Océano Pacífico oriental. Las disposiciones que se considera que indican un evento de supervivencia son las reportadas por los observadores como "Viva y sana", "Viva con heridas leves" y "Viva", mientras que las que se considera que indican un evento de mortalidad son las disposiciones reportadas como "Muerta", "Viva, mortalidad probable", "Viva herida", "Descartada", "Desconocida" o cuando la disposición no fue reportada.

Taxones de rayas	Interacciones	Mortalidades
Raya pelágica, <i>Pteroplatytrygon violacea</i>	4,332	3,960
Manta mobula, <i>Mobula mobular</i>	21	20
Rayas, mantas nep Rajiformes	18	3
Mantas, nep, <i>Mobula</i> spp.	5	3
Otras rayas*	4	2
Números totales	4,380	3,988

*"Otras rayas" incluye aquéllas con ≤ 2 interacciones de 2 taxones en 2020

Se determinó el estado de vulnerabilidad y la eficacia de posibles medidas de conservación y ordenación (MCO) para la manta mobula (*Mobula mobular*) impactada por las pesquerías industriales de cerco y palangre en el OPO usando la metodología EASI-Fish (Sección 5) (Griffiths y Lezama-Ochoa 2021). En el año de evaluación de 2018, la mortalidad por pesca estimada rebasó el punto de referencia biológico $F/F_{40\%}$ y $SBR/SBR_{40\%}$, lo que llevó a una clasificación del estado de vulnerabilidad de "más vulnerable". Un análisis retrospectivo de la vulnerabilidad entre 1979 y 2018 mostró que la especie fue clasificada como

"menos vulnerable" entre 1979 y 1993, pero pasó a ser "más vulnerable" a partir de 1994, lo que coincidió con la rápida expansión espacial de la pesquería industrial de cerco. La vulnerabilidad aumentó significativamente a partir de 2011 tras el rápido aumento del número de lances sobre objetos flotantes hasta 2018. La simulación de las MCO existentes en 2018 para las pesquerías atuneras del OPO (es decir, una veda en todo el OPO) y para las rayas Mobulidae específicamente (es decir, el uso de mejores prácticas de manipulación y liberación en el marco de la resolución [C-15-04](#)) resultó en que 31 de los 45 escenarios cambiaron la clasificación de la especie de "más vulnerable" a "menos vulnerable", lo que implicó principalmente una reducción de la mortalidad poscaptura de hasta un 20%. La aplicación de mejores prácticas de manipulación y liberación puede ser una medida de conservación razonablemente sencilla, rápida y rentable, pero una recomendación del trabajo fue ampliar el análisis EASI-Fish a todas las especies de rayas Mobulidae afectadas por las pesquerías atuneras del OPO, mejorar las estimaciones de la mortalidad posliberación de estas especies mediante estudios de marcado específicos y mejorar la notificación de la captura por especie, sobre todo en las pesquerías artesanales, para mejorar la fiabilidad de los resultados de las evaluaciones EASI-Fish.

3.7. Otros peces grandes

En la [Tabla L-6a](#) se muestran los peces pelágicos grandes capturados por la pesquería cerquera de buques grandes, principalmente en lances sobre objetos flotantes (1993-2021) y en la pesquería con palangre (1993-2020), y en la [Figura L-5](#) se presentan series de tiempo de las capturas de especies clave. Los peces pelágicos más comúnmente capturados en ambas pesquerías son el dorado (Coryphaenidae), con una captura anual promedio estimada de 1,323 t para la pesquería de cerco (2,217 t en 2021) y una captura anual mínima reportada para la pesquería de palangre de 5,928 t en promedio (2,506 t en 2020). El dorado es también una de las especies más importantes capturadas en las pesquerías artesanales de las naciones costeras del OPO ([SAC-07-06a\(i\)](#)). En el documento [SAC-10-11](#) se pueden encontrar recomendaciones sobre puntos de referencia y reglas de control de extracción potenciales para el dorado en el OPO.

Otras especies clave capturadas por la pesquería de cerco son el peto (Scombridae) y el macarela salmón (Carangidae). El peto tuvo una captura promedio anual estimada de 369 t en la pesquería cerquera, aunque las capturas han disminuido de un pico de 1,025 t en 2001 a 133 t en 2021 ([Figura L-5](#)). La captura anual mínima reportada de peto por la pesquería de palangre ha promediado 168 t y fue de 311 t en 2020. No se han reportado capturas de macarela salmón en la pesquería de palangre. Sin embargo, en la pesquería de cerco, las capturas anuales promedio estimadas de macarela salmón fueron de 47 t, con un pico de captura en 2007 de 158 t y disminuyendo posteriormente a 29 t en 2021 ([Figura L-5](#)).

Entre los peces pelágicos comúnmente reportados por la pesquería palangrera se incluyen las opas (Lampridae), las sierras (Gempylidae) y las japutas (Bramidae). Las capturas mínimas anuales reportadas de estas especies alcanzaron un promedio de 358 t (1993-2020), 367 t (2006-2020) y 49 t (1993-2020), respectivamente. Las capturas de todos estos grupos taxonómicos han aumentado después de mediados de la década de 2000 ([Figura L-5](#)). En el año más reciente (2020), se registraron 597 t, 288 t y 70 t de opas, sierras y japutas, respectivamente ([Tabla L-5a](#)).

Los limitados datos de observadores disponibles para 2021 para la pesquería de cerco de buques pequeños incluyeron 158 t de dorado y 13 t de peto capturadas en lances sobre objetos flotantes, mientras que para el resto de especies o grupos de especies de peces grandes se reportaron ≤1 t ([Tabla L-8](#)).

Para 2020, los datos mínimos disponibles de observadores de palangre (ver Sección 2.2. y [BYC-10 INF-D](#)) se proporcionan en la [Tabla L-6b](#) y muestran que la especie más frecuentemente capturada en este conjunto de datos fue el lanzón picudo (*Alepisaurus ferox*) con unas 14,000 interacciones. La mayoría de las interacciones con peces grandes resultaron en mortalidades.

TABLA L-6b. Número mínimo de interacciones y mortalidades de peces grandes en 2020 reportadas por observadores a bordo de buques palangreros bajo el mandato actual de al menos 5% de cobertura ([C-19-08](#)) de cada flota de los CPC que opera en el Océano Pacífico oriental. Las disposiciones que se considera que indican un evento de supervivencia son las reportadas por los observadores como "Vivo y sano", "Vivo con heridas leves" y "Vivo", mientras que las que se considera que indican un evento de mortalidad son las disposiciones reportadas como "Muerto", "Vivo, mortalidad probable", "Vivo herido", "Descartado", "Desconocida" o cuando la disposición no fue reportada.

Taxones de peces grandes	Interacciones	Mortalidades
Lanzón picudo, <i>Alepisaurus ferox</i>	14,092	14,089
Escolar negro, <i>Lepidocybium flavobrunneum</i>	5,908	5,815
Opa, <i>Lampris guttatus</i>	3,006	2,992
Peto, <i>Acanthocybium solandri</i>	2,645	2,644
Sierra, <i>Gempylus serpens</i>	2,156	2,110
Dorado común, <i>Coryphaena hippurus</i>	1,806	1,806
Dorado, nep, <i>Coryphaenidae</i>	1,288	1,288
Tristón segador, <i>Taractichthys steindachneri</i>	1,040	972
Japutas, nep, <i>Bramidae</i>	920	904
Lanzón, nep, <i>Alepisaurus spp.</i>	490	490
Escolar clavo, <i>Ruvettus pretiosus</i>	476	465
Caballas, nep, <i>Scombridae</i>	147	147
Dorado pompano, <i>Coryphaena equiselis</i>	66	66
Picuda barracuda, <i>Sphyraena barracuda</i>	50	49
Pez sol, mola mola, <i>Mola mola</i>	41	39
Barracudas, nep, <i>Sphyraena spp.</i>	18	17
Tristón áspero, <i>Taractes asper</i>	18	18
Escolar prometeo, <i>Promethichthys prometheus</i>	12	12
Escolar narigudo, <i>Nesiarchus nasutus</i>	11	11
Atún chauchera, <i>Gasterochisma melampus</i>	10	10
Otros peces grandes*	71	70
Números totales	34,271	34,014

*"Otros peces grandes" incluye aquéllos con <10 interacciones de 16 taxones en 2020

3.8. Especies de forraje

Un gran número de grupos taxonómicos que ocupan los niveles tróficos medios del ecosistema del OPO, denominados generalmente como "especies de forraje", juegan un papel clave al proporcionar un vínculo trófico entre los productores primarios en la base de la red alimenticia y los depredadores de nivel trófico alto, como los atunes y peces picudos. Algunos peces de forraje pequeños son capturados incidentalmente en el OPO por buques cerqueros en alta mar, principalmente en lances sobre objetos flotantes, y en pesquerías artesanales costeras, pero son generalmente descartados en el mar. En la [Tabla L-7](#) se presentan las capturas de estas especies con las especies clave identificadas por los datos de captura presentados en la [Figura L-6](#) para la pesquería cerquera de buques grandes, con la mayoría de las capturas procedentes de lances sobre objetos flotantes.

Las melvas (Scombridae) son, por mucho, las especies de forraje más comunes, con capturas anuales promedio estimadas de 1,032 t entre 1993 y 2021. Sin embargo, sus capturas han disminuido de 1,922 en 2005 a 442 t en 2021 ([Figura L-6](#)). Los peces ballesta (Balistidae) y cachúas (Monacanthidae) son el segundo grupo de forraje más comúnmente reportado, con capturas anuales estimadas que promedian

253 t y suman 50 t en 2021. Las capturas de este grupo alcanzaron su pico en 2004 con 922 t, pero en general han sido variables. Las capturas anuales de chopas (*Kyphosidae*) han promediado 16 t, que comenzaron a aumentar después de 2002 pero han permanecido bajas desde 2015, con 6 t en 2021. Por último, las capturas anuales de las diversas especies de la categoría "peces epipelágicos de forraje" promediaron 5 t, y se estima que en 2021 se capturaron 14 t. Los observadores reportaron un total de 104 t de melvas y 4 t de peces ballesta y cachúas en el número limitado de viajes de buques cerqueros pequeños que llevaron observadores en 2021. Las capturas de todas las demás especies o grupos de especies de peces pequeños fueron mínimas (<1 t) ([Tabla L-7](#)).

4. MEDIO AMBIENTE FÍSICO

Las condiciones ambientales afectan a los ecosistemas marinos, la dinámica y capturabilidad de las especies objetivo y de captura incidental, y las actividades de los pescadores. Los factores biofísicos pueden tener importantes efectos en la distribución y la abundancia de las especies marinas²³ (por ejemplo, [SAC-10 INF-D](#)). El siguiente resumen del medio ambiente físico abarca: 1) indicadores ambientales a corto y largo plazo, y 2) condiciones ambientales y su efecto potencial sobre la pesquería durante el año anterior, en este caso, 2021.

4.1. Indicadores ambientales

El medio ambiente oceánico varía en una variedad de escalas temporales, de estacional a interanual, decadal, y más largas. Los cambios inducidos por el clima a más largo plazo, típicamente decadales (a intervalos de 10 a 30 años) y caracterizados por condiciones y patrones promedio relativamente estables en las variables físicas y biológicas se denominan "regímenes". Sin embargo, la fuente dominante de variabilidad en las capas superiores del OPO es El Niño-Oscilación del Sur (ENOS), una fluctuación irregular que afecta el Océano Pacífico tropical y la atmósfera global (Fiedler 2002). Los eventos de El Niño ocurren a intervalos de entre dos y siete años, y se caracterizan por vientos alisios más débiles, termoclínas más profundas, y temperaturas superficiales del mar (TSM) altas en el OPO ecuatorial. La fase contraria a El

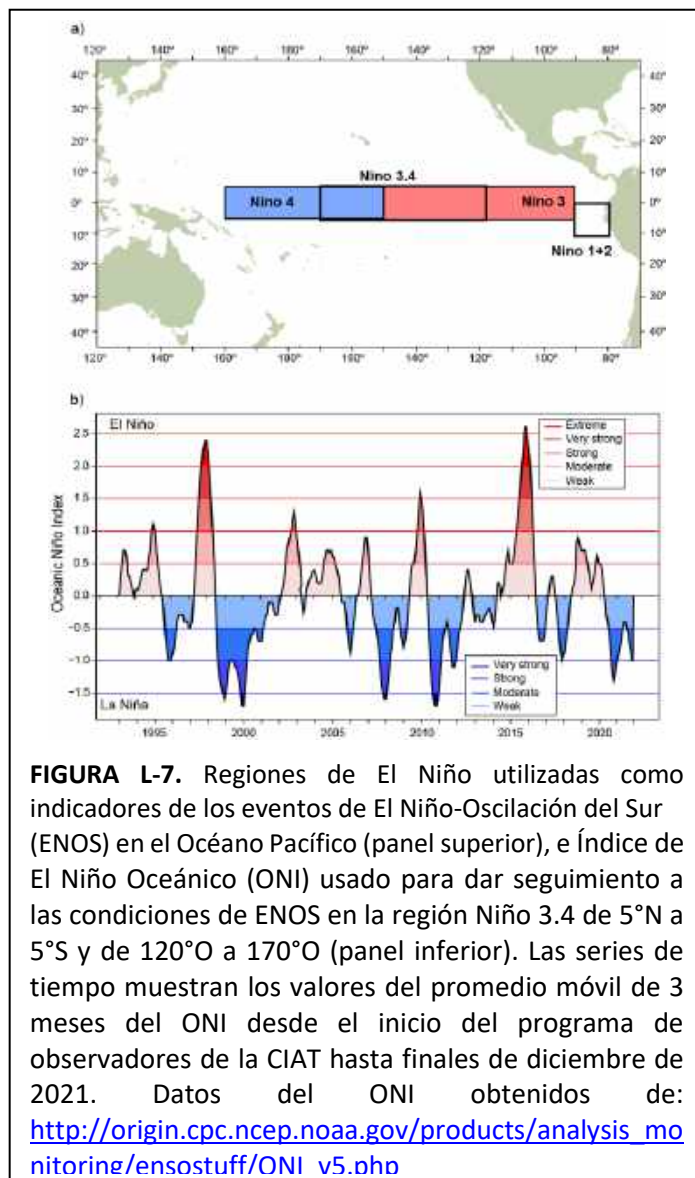
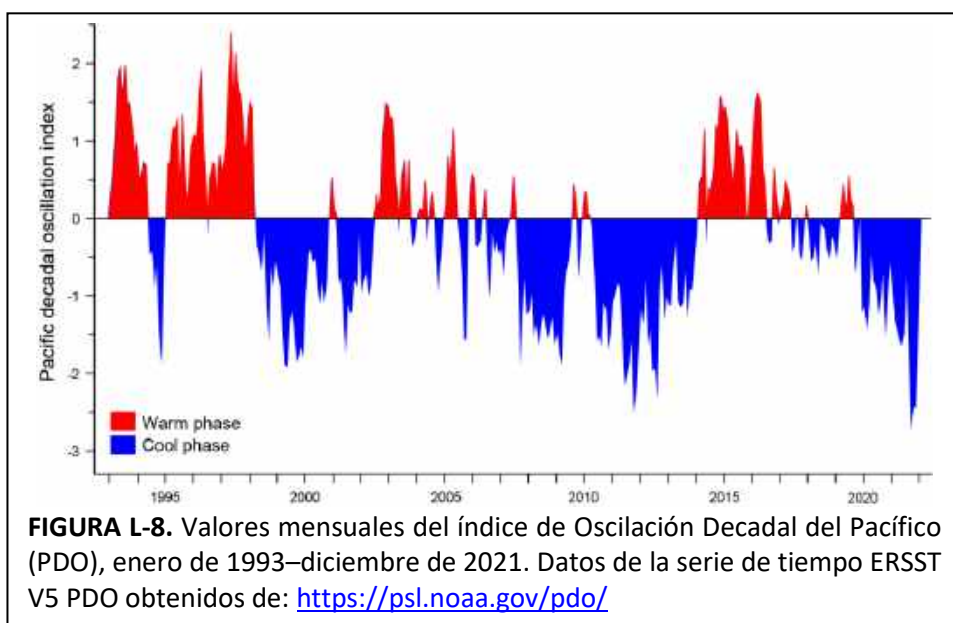


FIGURA L-7. Regiones de El Niño utilizadas como indicadores de los eventos de El Niño-Oscilación del Sur (ENOS) en el Océano Pacífico (panel superior), e Índice de El Niño Oceánico (ONI) usado para dar seguimiento a las condiciones de ENOS en la región Niño 3.4 de 5°N a 5°S y de 120°O a 170°O (panel inferior). Las series de tiempo muestran los valores del promedio móvil de 3 meses del ONI desde el inicio del programa de observadores de la CIAT hasta finales de diciembre de 2021. Datos del ONI obtenidos de: http://origin.cpc.ncep.noaa.gov/products/analysis_monitoring/ensostuff/ONI_v5.php

²³ Ver [SAC-04-08, Medio ambiente físico](#), y [SAC-06 INF-C](#) para una descripción completa de los efectos de la oceanografía física y biológica sobre los atunes, las comunidades de presas y las pesquerías en el OPO.

Niño, denominada comúnmente La Niña, se caracteriza por vientos alisios más fuertes, termoclinas menos profundas, y TSM más bajas. Los cambios en el medio ambiente biogeoquímico debidos a ENOS tienen un impacto sobre la productividad biológica, alimentación y reproducción de peces, aves y

mamíferos marinos (Fiedler 2002).



Se cree que ENOS causa variabilidad considerable en la disponibilidad de atunes y peces picudos de importancia comercial en el OPO para su captura (Bayliff 1989). Por ejemplo, la termoclinia poco profunda durante un evento de La Niña puede aumentar las tasas de captura de atunes con red de cerco, al comprimir el hábitat térmico preferido de los atunes pequeños cerca de la superficie del mar, mientras que es probable que la termoclinia más profunda durante un evento de El Niño haga que los atunes sean menos vulnerables a la captura y, por lo tanto, se reduzcan las tasas de captura. Además, TSM superiores e inferiores al promedio pueden también causar que los peces se desplacen a hábitats más favorables, lo que también puede afectar las tasas de captura, ya que los pescadores dedican más esfuerzo a localizar los peces.

Es posible que el reclutamiento de los atunes tropicales en el OPO también se vea afectado por eventos de ENOS. Por ejemplo, los eventos fuertes de La Niña en 2007-2008 podrían ser parcialmente responsables del reclutamiento bajo de patudo en el OPO, mientras que el reclutamiento máximo ha correspondido a los eventos extremos de El Niño en 1982-1983 y 1998 ([SAC-09-05](#)). El reclutamiento del aleta amarilla también fue bajo en 2007, pero fue alto en 2015-2016, después del evento extremo de El Niño en 2014-2016 ([SAC-09-06](#)).

El [Boletín de Diagnóstico Climático](#) del Servicio Meteorológico Nacional de Estados Unidos informó que en 2021 las anomalías, definidas en el Boletín como una desviación del promedio mensual, de las características oceánicas y atmosféricas (por ejemplo, temperaturas superficiales y subsuperficiales, profundidad de la termoclinia, viento, y convección) eran indicativas de condiciones de La Niña en enero-marzo, condiciones neutras de ENOS durante abril-agosto y condiciones de La Niña durante septiembre-diciembre.

Los índices de variabilidad en dichas condiciones se utilizan comúnmente para dar seguimiento a la dirección y magnitud de los eventos de ENOS en el Océano Pacífico. En el presente informe, se usa el Índice de El Niño Oceánico (ONI, por sus siglas en inglés), utilizado por la Administración Nacional Oceánica y Atmosférica de los Estados Unidos (NOAA) como indicador principal de condiciones cálidas de El Niño y frías de La Niña en la región Niño 3.4 en el Océano Pacífico tropical oriental-central (Dahlman 2016) ([Figura L-7](#)), para caracterizar la variabilidad interanual de las anomalías en la TSM. El ONI es una medida de El

Niño definida por la NOAA como "un fenómeno en el Océano Pacífico ecuatorial caracterizado por cinco medias consecutivas de 3 meses de anomalías de TSM en la región Niño 3.4 que está por encima (por debajo) del umbral de +0,5°C (-0,5°C)". El ONI categoriza los eventos ENOS desde "extremo" hasta "débil" ([Figura L-7](#)). Por ejemplo, el evento "extremo" de El Niño en 1997-1998 fue seguido de un evento "muy fuerte" de La Niña en 1998-2000. También se observaron eventos "fuertes" de La Niña en 2007-2008 y 2010-2011. Los valores de ONI más altos (>2.5) se registraron durante el evento de El Niño en 2015-2016. Durante gran parte de 2020 se produjeron condiciones neutrales de ENOS, con condiciones moderadas-fuertes de La Niña desde agosto hasta diciembre.

El índice de Oscilación Decadal del Pacífico (PDO, por sus siglas en inglés; [Figura L-8](#)) se usa para describir fluctuaciones a mayor plazo en el Océano Pacífico, y también se ha utilizado para explicar, por ejemplo, la influencia de los impulsores ambientales sobre la vulnerabilidad de los tiburones sedosos a las pesquerías en el OPO (Lennert-Cody *et al.* 2018). La PDO, un patrón de variabilidad climática de larga vida en el Pacífico parecido a El Niño con eventos que persisten 20-30 años, sigue patrones interdecadales a gran escala de cambios ambientales y bióticos, principalmente en el Océano Pacífico norte (Mantua 1997), con patrones secundarios observados en el Pacífico tropical, lo opuesto a ENOS (Hare y Mantua 2000). Al igual que ENOS, las fases de la PDO se clasifican como "cálidas" o "frías". Los valores de la PDO alcanzaron dos picos, 2.79 en agosto de 1997 y 2.62 en abril de 2016, ambos coincidiendo con los eventos extremos de El Niño indicados por el ONI. La PDO se encuentra en una fase "fría" desde principios de 2020. Durante 2021, las condiciones frías se intensificaron a finales del año, con un valor de PDO pico de -2.70 en octubre. Septiembre de 2012 fue la última vez que se produjo un índice mensual de PDO con una fuerza similar (-2.31) (ver los [datos de la serie de tiempo ERSST V5 PDO](#)).

4.2. Exploración espaciotemporal de las condiciones ambientales

Se exploró una serie de tiempo de TSM y concentración de clorofila-a (CHL-a, un indicador de la biomasa de

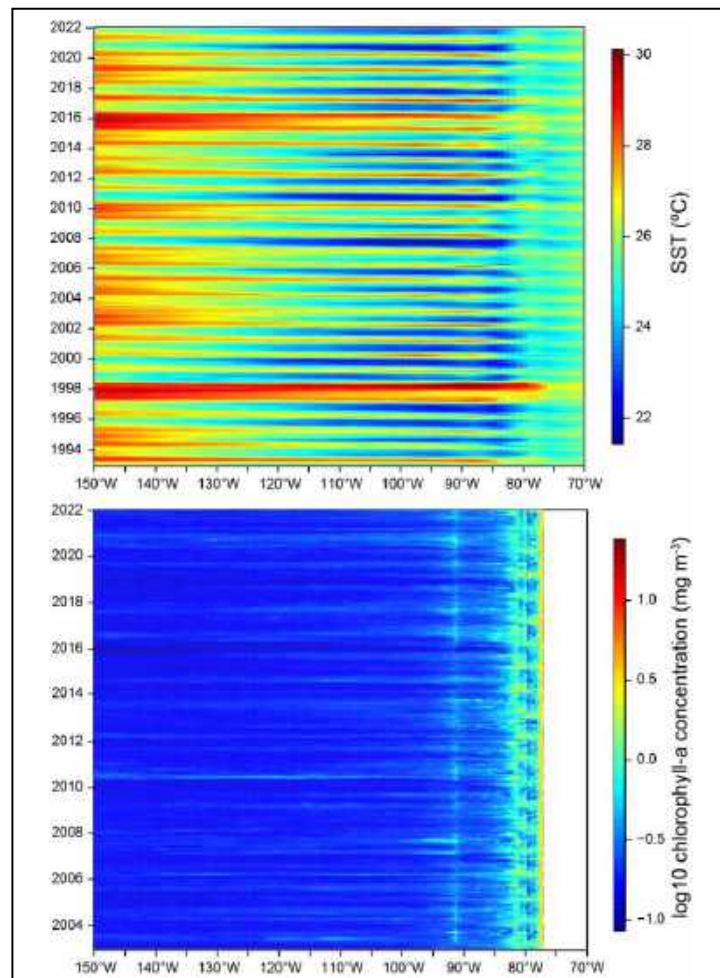


FIGURA L-9. Diagrama de Hovmöller tiempo-longitud con datos promediados en el Océano Pacífico tropical oriental de 5°N a 5°S para la TSM promedio mensual de enero de 1993 a diciembre de 2021 (panel superior) (<https://www.esrl.noaa.gov/psd/>) y concentración promedio mensual de clorofila-a de enero de 2003 a diciembre de 2021 (panel inferior) (https://coastwatch.pfeg.noaa.gov/erddap/info/erdMH_1chlamday/index.html).

productividad primaria) ([Figura L-9](#)) en el Pacífico oriental tropical (POT) entre 5°N y 5°S, la misma banda latitudinal utilizada en el ONI, para mostrar la variabilidad de estas variables a lo largo del tiempo y el espacio usando diagramas de Hovmöller de tiempo-longitud. Las series de tiempo de la TSM muestran valores mensuales promedio de 1993-2021, mientras que las de las concentraciones de CHL-a cubren datos de 2003-2021 debido a la disponibilidad de datos. La gráfica de TSM ([Figura L-9](#), panel superior) muestra claramente la extensión de los eventos extremos de El Niño de 1997-1998 y 2015-2016, con aguas más cálidas, y los eventos fuertes de La Niña en 1999-2000, 2007-2008 y 2010-2011, con aguas más frías a través del POT. La gráfica de CHL-a ([Figura L-9](#), panel inferior), aunque el patrón es menos claro que el de la gráfica de TSM, muestra un aumento en las concentraciones de CHL-a después de los eventos fuertes de La Niña en 2007-2008 y 2010-2011, posiblemente debido al aumento de la disponibilidad de nutrientes.

4.3. Condiciones ambientales y distribución de las capturas

La disponibilidad de peces y, por lo tanto, de capturas, está fuertemente relacionada con las condiciones y procesos ambientales, en particular en las aguas pelágicas (Fiedler y Lavín 2017; Chassot *et al.* 2011). Las condiciones de ENOS están influenciadas por muchos factores oceánicos y atmosféricos, pero se sabe que tanto la TSM como los niveles de CHL-a son buenas variables explicativas para describir y predecir el hábitat y la distribución de los animales oceánicos (Hobday y Hartog 2014).

Las [Figuras L-10](#) y [L-11](#) muestran las concentraciones promedio trimestrales de TSM y CHL-a, respectivamente, para: 1) proporcionar una indicación general de la variabilidad ambiental estacional, y 2) superponer la distribución de las capturas de atunes tropicales, como primer paso, para ilustrar la potencial influencia de las condiciones ambientales en las capturas en el OPO durante 2021. En el futuro, el personal planea incorporar la distribución de la captura de especies clave de captura incidental y desarrollar modelos de distribución de especies (MDE) para describir mejor las relaciones potenciales entre el medio ambiente y las especies. En 2021-2022, se han desarrollado MDE para la tortuga laúd ([BYC-11-01](#)) y para 32 especies de tiburones ([SAC-13-11](#)) y se están desarrollando actualmente varios MDE de alta resolución para otras especies de captura incidental vulnerables.

En la [Figura L-10](#) se muestra que las aguas más frías se produjeron en el norte de México y el suroeste de Estados Unidos al norte de 20°N y se extendieron hacia el oeste durante los trimestres 1 (enero-marzo) y 2 (abril-junio), y en Sudamérica, al sur de la línea ecuatorial y al este de 100°O, en los trimestres 3 (julio-septiembre) y 4 (octubre-diciembre). Las aguas más cálidas se desarrollaron en Centroamérica y se extendieron hacia el oeste durante los trimestres 2 y 3, pero se retrajeron en el trimestre 4. Se observó un charco cálido secundario en el OPO suroccidental (10-20°S, 140°-150°O) durante los trimestres 1 y 2.

En la [Figura L-11](#) se muestra que las concentraciones de CHL-a fueron máximas a lo largo de la línea ecuatorial y la costa del continente americano durante todo el año. El Giro oligotrófico²⁴ del Pacífico Sur, ubicado entre 20°-40°S, y que se extiende desde los 150°-90°O, estuvo presente en el trimestre 1, se retrajo ligeramente en los trimestres 2 y 3, y regresó en el trimestre 4.

Durante los trimestres 1 y 2, el barrilete predominó en las capturas en las aguas más frías (~25°C) de la costa de Sudamérica ([Figura L-10](#)), donde la concentración de CHL-a era elevada ([Figura L-11](#)). El aleta amarilla fue la especie de atún predominante en las capturas, principalmente al norte de la línea ecuatorial y al este de los 120°O, durante estos mismos trimestres; en el trimestre 2 se produjeron aguas más cálidas. Durante los trimestres 3 y 4, las capturas de atún a lo largo de la costa de Sudamérica disminuyeron a medida que las aguas más frías se extendían por la región. Las capturas de patudo se produjeron principalmente al sur de 10°N, con capturas mayores al oeste de ~110°O, particularmente en el trimestre

²⁴ Un área de baja productividad, nutrientes y clorofila superficial, a menudo denominada "desierto oceánico".

2. No hubo capturas de atún en el giro oligotrófico situado aproximadamente al sur de 20°S y en el límite occidental del OPO (150°O) hasta aproximadamente 100°O.

5. IDENTIFICACIÓN DE ESPECIES EN RIESGO

El objetivo principal del EEOP es asegurar la sostenibilidad a largo plazo de todas las especies afectadas, directa o indirectamente, por la pesca. Sin embargo, esto representa un reto importante para las pesquerías que interactúan con muchas especies no objetivo con distintos ciclos vitales, para las cuales se carece de datos de captura y biológicos fiables para evaluaciones de especies individuales. Una alternativa para estas situaciones de datos limitados, reflejada en la [Meta L](#) del PCE, son las Evaluaciones de Riesgos Ecológicos (ERE), evaluaciones de vulnerabilidad diseñadas para identificar y priorizar especies en riesgo para la recolección de datos, la investigación y la ordenación.

La "vulnerabilidad" se define como la posibilidad de que la productividad de una población disminuya por los impactos directos e indirectos de las actividades de pesca. El personal de la CIAT ha aplicado evaluaciones cualitativas, usando análisis de productividad-susceptibilidad (APS) para estimar la vulnerabilidad relativa de especies no objetivo de datos limitados capturadas en el OPO por buques cerqueros grandes (Duffy *et al.* 2019) y en la pesquería palangrera ([SAC-08-07d](#)).

Debido a que el APS no puede estimar cuantitativamente los efectos acumulativos de múltiples pesquerías sobre especies de captura incidental de datos escasos, el personal de la CIAT desarrolló en 2018 un nuevo enfoque ([SAC-09-12](#)), la Evaluación Ecológica de los Impactos Sostenibles de las Pesquerías (EASI-Fish), para superar este problema. Este método flexible y espacialmente explícito emplea un conjunto de parámetros más pequeño que el APS para primero producir un sustituto de la tasa de mortalidad por pesca (F) de cada especie, con base en el "solapamiento volumétrico" de cada pesquería con la distribución geográfica de estas especies. La estimación de F se usa luego en modelos de rendimiento y biomasa reproductora por recluta estructurados por talla para evaluar la vulnerabilidad de cada especie, usando puntos de referencia biológicos convencionales (por ejemplo, F_{RMS} , $SPR_{40\%}$).

En 2018, EASI-Fish fue aplicado con éxito, como "prueba de concepto" a 24 especies que representan una gama de ciclos vitales, incluyendo atunes, peces picudos, especies afines a los atunes, elasmobranquios, tortugas marinas y cetáceos capturados en las pesquerías atuneras del OPO ([SAC-09-12](#)). Posteriormente se usó para evaluar la situación de vulnerabilidad de la manta mobula (*Mobula mobular*), capturada por todas las pesquerías atuneras industriales en el OPO ([BYC-09-01](#)), y la población de tortuga laúd (*Dermochelys coriacea*) del OPO, en peligro crítico de extinción ([BYC-10 INF-B](#), [BYC-11-02](#)). Por lo tanto, se decidió en el PCE que se usará EASI-Fish en el futuro para evaluar la vulnerabilidad de todos los grupos de especies (por ejemplo, elasmobranquios, tortugas marinas, teleósteos) impactadas por las pesquerías atuneras del OPO. En 2022, se utilizó EASI-Fish para evaluar la vulnerabilidad de la tortuga laúd del PO y de las especies de tiburones capturadas incidentalmente en las pesquerías atuneras del OPO y los resultados se presentaron en la reunión BYC-11 ([BYC-11-02](#)) y SAC-13, respectivamente ([SAC-13-11](#)).

6. DINÁMICA DEL ECOSISTEMA

Aunque las evaluaciones de vulnerabilidad (por ejemplo, EASI-Fish) pueden ser útiles para evaluar los impactos ecológicos de la pesca al evaluar las poblaciones de especies individuales, se necesitan modelos ecosistémicos para detectar cambios en la estructura o dinámica interna de un ecosistema. La elaboración de estos modelos suele requerir una gran cantidad de datos y de trabajo y, por consiguiente, pocas pesquerías del mundo tienen acceso a un modelo ecosistémico fiable que sirva de guía para las medidas de conservación y ordenación. Estos modelos requieren una buena comprensión de los componentes del ecosistema y la dirección y magnitud de los flujos tróficos entre ellos, lo que requiere estudios ecológicos detallados sobre contenidos estomacales y/o estudios de isótopos estables. A propósito, el personal de la CIAT ha tenido una larga historia de emprender estos estudios tróficos, comenzando con la determinación

experimental de las estimaciones de consumo del atún aleta amarilla en las instalaciones del NMFS en la Cuenca de Kewalo en Oahu, Hawái, en la década de 1980, hasta análisis más recientes del contenido estomacal y análisis de isótopos estables de una gama de depredadores ápice.

En 2003, el personal de la CIAT compiló los datos tróficos para completar el desarrollo de un modelo del ecosistema pelágico en el OPO tropical (Boletín de la CIAT, [Vol. 22, No. 3](#)), llamado "ETP7", para explorar cómo la pesca y la variación climática podrían afectar las especies objetivo (por ejemplo, atunes), las especies secundarias (peto, dorado), los elasmobranquios (por ejemplo, tiburones), los grupos de forraje (por ejemplo, voladores, calamares) y especies de importancia para la conservación (por ejemplo, tortugas marinas, cetáceos). En la [Figura L-12](#) se muestra un diagrama simplificado de la red alimenticia del modelo, con los niveles tróficos (TL) aproximados.

El modelo fue calibrado a series de tiempo de datos de biomasa y captura de un número de especies objetivo durante 1961-1998. Los programas de recolección de datos en el OPO han mejorado significativamente desde 1998, lo cual ha permitido actualizar el modelo con estos nuevos datos hasta 2018 ("ETP8"). A partir de este modelo actualizado se obtuvieron indicadores ecológicos que se describen a continuación.

6.1. Indicadores ecológicos

Desde 2017, se ha usado el ETP8 en el informe de *Consideraciones Ecosistémicas* para proporcionar valores anuales de siete indicadores ecológicos que, en conjunto, pueden identificar cambios en la estructura y la dinámica interna del ecosistema del POT. Estos indicadores son: el nivel trófico medio de la captura (TL_c), el Índice Trófico Marino (MTI), el Índice de Pesca en Equilibrio (FIB), el índice de Shannon, y el nivel trófico medio comunitario para los niveles tróficos 2.0-3.5 ($TL_{2.0}$), $\geq 3.25-4.0$ ($TL_{3.5}$), y >4.0 ($TL_{4.0}$). En el documento [SAC-10-14](#) se ofrece una descripción completa de estos indicadores. Además, se realizaron simulaciones utilizando la versión de ETP8 actualizada y reequilibrada en 2021 ("ETP-21") para evaluar los posibles impactos de la pesca sobre plantados en la estructura del ecosistema ([SAC-12-13](#)).

La actualización en 2021 fue necesaria debido a un cambio significativo en la forma en que el personal de la CIAT ha reclasificado los datos de captura presentados por los CPC para "otras artes" en palangre y otros tipos de artes tras una revisión interna de los datos. Esto resultó en un aumento dramático de las capturas palangreras reportadas de depredadores de nivel trófico alto (tiburones), lo cual puede tener una fuerte influencia en la dinámica del ecosistema. Se asignaron las estimaciones anuales de captura por especie de 1993-2018 a los grupos funcionales pertinentes en el modelo ETP-21, que luego se reequilibró y recalibró a datos de series de tiempo para proporcionar una condición actualizada del ecosistema para 2021 ([SAC-12-13](#)).

Los indicadores ecológicos mostraron que los valores de TL_c y MTI disminuyeron desde su pico de 4.77 y 4.83 en 1991 a 4.64 y 4.65 en 2018, respectivamente, a medida que el esfuerzo de pesca certero sobre plantados aumentó significativamente ([Figura L-13](#)), cuando hubo un aumento de las capturas de especies de alto nivel trófico que tienden a concentrarse alrededor de objetos flotantes (por ejemplo, tiburones, peces picudos, peto y dorado). Desde su pico en 1991, el TL_c disminuyó en 0.05 de un nivel trófico en los 28 años siguientes, es decir, 0.04 niveles tróficos por década. La expansión de la pesquería sobre plantados también se observa en el índice FIB que supera el cero después de 1990, así como el cambio continuo en la uniformidad de la biomasa de la comunidad indicada por el índice de Shannon.

Estos indicadores generalmente describen el cambio en los componentes explotados del ecosistema, mientras que los indicadores de biomasa comunitaria describen cambios en la estructura del ecosistema una vez extraída la biomasa debido a la pesca. La biomasa de la comunidad $TL_{MC4.0}$ alcanzó uno de sus valores más altos (4.493) en 1986, pero ha seguido disminuyendo hasta 4.470 en 2018 ([Figura L-13](#)). Como resultado de cambios en la presión de depredación sobre los niveles tróficos más bajos, entre 1993 y 2018,

la biomasa de la comunidad $TL_{MC3.0}$ aumentó de 3.801 a 3.829, mientras que la de la comunidad $TL_{MC2.0}$ también aumentó, de 3.092 a 3.107.

Conjuntamente, estos indicadores señalan que la estructura del sistema probablemente ha cambiado durante el periodo de 40 años del análisis. Los consistentes patrones de cambio en cada indicador ecológico, particularmente en el nivel trófico medio comunitario desde 1993, definitivamente justifican la continuación, e idealmente una expansión, de los programas de seguimiento de pesquerías en el OPO.

7. ACONTECIMIENTOS FUTUROS

Es poco probable, al menos en el futuro cercano, que se realicen evaluaciones de las poblaciones de la mayoría de las especies de captura incidental. Por lo tanto, la CIAT debe seguir realizando investigaciones ecológicas que puedan proporcionar a los gestores información fiable para orientar el desarrollo de medidas de conservación y ordenación basadas en la ciencia, cuando sea necesario, a fin de asegurar que la CIAT siga cumpliendo sus responsabilidades en virtud de la Convención de Antigua y los objetivos del [PCE](#). A continuación, se detallan las áreas de investigación prioritarias que han sido identificadas por el personal científico y que requieren un mayor desarrollo:

- Tras el desarrollo del enfoque EASI-Fish, se realizará por etapas un análisis del conjunto completo de más de 100 especies de captura incidental impactadas, por grupo taxonómico (por ejemplo, tiburones, rayas, teleósteos, tortugas y cetáceos), comenzando en 2022 con los tiburones y la tortuga laúd, que está en peligro crítico de extinción.
- Debido a que se identificó un elevado número de especies de tiburones altamente vulnerables en la evaluación EASI-Fish de 2022, una de las principales prioridades es desarrollar una estrategia para la futura conservación y ordenación de estas especies vulnerables. Como primer paso, se utilizará EASI-Fish para explorar la eficacia potencial de medidas hipotéticas de conservación y ordenación para los tiburones sedoso, martillo y zorro.
- Las lagunas de conocimiento significativas identificadas para los tiburones en la evaluación EASI-Fish son referentes a la dinámica de población fundamental de varias especies en el OPO, incluso aquéllas que han sido registradas comúnmente como captura incidental durante décadas. Por lo tanto, son necesarios esfuerzos importantes por parte de la CIAT y sus Miembros para establecer una estrategia para emprender estudios rentables para recolectar datos a fin de desarrollar relaciones morfométricas para conversiones talla-peso y talla-talla, curvas de crecimiento y ojivas de madurez. Además del trabajo de recolección de datos de la pesquería tiburonera del proyecto FAO-FMAM ABNJ recientemente completado en Centroamérica y a punto de extenderse a otros Miembros de la CIAT en 2022, que podría ser visto como una oportunidad para lograr dicha estrategia (SAC-13-12), el personal de la CIAT ha preparado un nuevo proyecto (F.3.a) para un estudio de viabilidad sobre muestreo biológico de cerqueros y palangreros ([SAC-13-01](#)).
- Una deficiencia del modelo ecosistémico ETP-21, del que se derivan los indicadores ecológicos, es que su estructura se basa en datos del contenido estomacal de peces recolectados en 1992-1994. Dados los cambios ambientales significativos que se han observado en el OPO en la última década, existe una necesidad crítica de recolectar información trófica actualizada. En 2018-2021 el personal ha propuesto establecer un programa de monitoreo ecológico para recolectar datos de contenido estomacal para actualizar el modelo ecosistémico. Dados los nuevos requisitos de datos biológicos de tiburones, un programa de monitoreo de este tipo podría incorporar todos los requisitos biológicos y ecológicos de la CIAT. Nuevamente, el proyecto FAO-FMAM ABNJ, que sigue expandiéndose entre los Miembros de la CIAT, ofrece algunas oportunidades para integrar un programa de muestreo de este tipo, especialmente si el proyecto piloto ABNJ continúa a

perpetuidad, tal como recomienda el personal.

- Una segunda limitación del modelo ETP-21 es que describe solamente el componente tropical del ecosistema del OPO, y los resultados no pueden ser extrapolados de forma fiable a otras regiones del OPO. Por lo tanto, tras recolectar información actualizada sobre la dieta, el trabajo futuro apuntará a desarrollar un modelo espacialmente explícito que cubra el OPO entero y calibrar el modelo con las series de tiempo de capturas disponibles, idealmente para especies que representen diferentes niveles tróficos, y datos de esfuerzo para las pesquerías claves del OPO.
- Las variables ambientales pueden tener una profunda influencia en las capturas de especies objetivo y de captura incidental, como lo ha demostrado anteriormente el personal de la CIAT y ahora se hace anualmente en el presente informe. No obstante, las investigaciones del personal para estudiar el impacto de las condiciones ambientales en la pesquería podrían mejorarse mucho con la disponibilidad de datos operacionales de alta resolución de la pesquería palangrera. Aunque ahora se exige a los miembros de la CIAT y los CPC que remitan a la CIAT datos operacionales de observadores que abarquen al menos el 5% de sus flotas, el personal concluyó que estos datos no son representativos de la flota ([BYC-10 INF-D](#)) y por lo tanto pone en duda la validez de usar los datos de palangre remitidos para futuros análisis ambientales hasta que la cobertura por observadores alcance al menos el 20%.
- La tarea de desentrañar el traslape espacial y temporal de múltiples especies objetivo y no objetivo requiere una exploración a fondo de los riesgos, ventajas y desventajas de los distintos escenarios de ordenación y grupos de especies. Aunque la comunidad científica ha defendido la importancia de explorar la ordenación espacial dinámica desde hace más de 20 años, hasta la fecha hay pocos ejemplos de ordenación espacial dinámica o adaptativa para reducir la captura incidental. De hecho, hasta la fecha no se ha implementado ninguna medida de ordenación espacial para reducir específicamente las capturas de especies no objetivo en las OROP atuneras. La identificación de áreas de interés potenciales para la ordenación espacial en alta mar depende directamente de la relación cambiante entre las especies y el medio ambiente, que puede ser modelada para estimar y predecir la distribución de las especies y su abundancia relativa a través del espacio y el tiempo, e informar el diseño de medidas de ordenación adaptativa. Aunque el personal de la CIAT ha comenzado a investigar este asunto en el OPO para especies tanto objetivo como no objetivo (por ejemplo, [SAC-10 INF-D](#), Pons et al. 2022, [BYC-11-04](#), Druon et al. 2022), la relación ambiente-especie, así como la implementación y operación potencial de medidas de ordenación adaptativa deberían ser consideradas y desarrolladas en detalle en los próximos años.
- La calidad de los análisis ecológicos y los informes anuales de las estimaciones de captura del OPO entero para las especies de captura incidental está actualmente obstaculizada por la resolución existente de la CIAT sobre provisión de datos ([C-03-05](#)), que ya no se alinea con las responsabilidades cambiantes de la CIAT en virtud de la Convención de Antigua (ver [SAC-12-09](#)). Dichas responsabilidades incluyen asegurar los impactos sostenibles de las pesquerías del OPO sobre las especies asociadas y dependientes, que es la razón principal para la creación, y las actualizaciones anuales, de este informe de *Consideraciones del Ecosistema*. En la actualidad, la única fuente fiable de datos de captura incidental proviene de los observadores a bordo de buques de cerco grandes de clase 6. Los datos de captura incidental de otras pesquerías pelágicas en el OPO son limitados o inexistentes. Se espera que las oportunidades de fomento de capacidad propuestas y una serie de talleres en los que participen el personal de la CIAT y los CPC para desarrollar estándares claros para la notificación de datos faciliten la mejora de la remisión de datos, la notificación y las estimaciones de captura, lo cual a su vez mejorará los análisis ecológicos que permiten a la CIAT cumplir con sus obligaciones en virtud de la Convención de Antigua.

AGRADECIMIENTOS

Quisiéramos agradecer a Nick Vogel, Joydelee Marrow y Joanne Boster su ayuda con la preparación de datos, a Alexandre Aires-da-Silva y Paulina Llano por sus revisiones de este documento, y a Christine Patnode por perfeccionar las figuras. Reconocemos con gratitud las primeras investigaciones sobre el ecosistema realizadas por Robert Olson que contribuyeron a la elaboración de este informe. Su informe inicial de Consideraciones Ecosistémicas fue presentado por primera vez en la 8^a reunión del Grupo de Trabajo sobre Evaluación de Poblaciones en 2007 ([SAR-8-17 J](#)) y ha sido actualizado anualmente.

LITERATURATURA CITADA

- Bayliff, W.H. 1989. Inter-American Tropical Tuna Commission, Annual Report for 1988. IATTC, La Jolla, CA USA. 270 pp.
- Chassot, E., S. Bonhommeau, G. Reygondeau, K. Nieto, J.J. Polovina, M. Huret, N.K. Dulvy, and H. Demarcq. 2011. Satellite remote sensing for an ecosystem approach to fisheries management. ICES Journal of Marine Science 68(4): 651-666.
- Clarke, S. 2017. Southern Hemisphere porbeagle shark (*Lamna nasus*) stock status assessment. WCPFC-SC13-2017/SA-WP-12 (rev. 2). Pages 75. *Western and Central Pacific Fisheries Commission. Scientific Committee Thirteenth Regular Session*, Rarotonga, Cook Islands.
- Clarke, S. 2018a. Pacific-wide silky shark (*Carcharhinus falciformis*) Stock Status Assessment. WCPFC-SC14-2018/SA-WP-08. Pages 137. *Western and Central Pacific Fisheries Commission*, Busan, Korea.
- Clarke, S. 2018b. Risk to the Indo-Pacific Ocean whale shark population from interactions with Pacific Ocean purse-seine fisheries. WCPFC-SC14-2018/SA-WP-12 (rev. 2). Pages 55. *Western and Central Pacific Fisheries Commission, Scientific Committee Fourteenth Regular Session*, Busan, Korea.
- Dahlman, L. 2016. Climate Variability: Oceanic Niño Index. <https://www.climate.gov/news-features/understanding-climate/climate-variability-oceanic-ni%C3%B1o-index>. National Oceanic and Atmospheric Administration.
- Druon, J.-N., S. Campana, F. Vandeperre, F. Hazin, H. Bowlby, R. Coelho, N. Queiroz, F. Serena, F. Abascal, D. Damalas, M. Musyl, J. Lopez, B. Block, P. Afonso, H. Dewar, P.S. Sabarros, B. Finucci, A. Zanzi, P. Bach, I. Senina, F. Garibaldi, D. Sims, J. Navarro, P. Cermeño, A. Leone, G. Diez, M. Teresa, M. Deflorio, E. Romanov, A. Jung, M. Lapinski, M. Francis, H. Hazin, and P. Travassos. 2022. Global-scale environmental niche and habitat of blue shark (*Prionace glauca*) by size and sex: a pivotal step to improving stock management. Frontiers in Marine Science 9
- Duffy, L.M., and S.P. Griffiths. 2019. Assessing attribute redundancy in the application of productivity-susceptibility analysis to data-limited fisheries. Aquatic Living Resources 32(20): 1-11.
- Duffy, L.M., C.E. Lennert-Cody, R. Olson, C.V. Minte-Vera, and S.P. Griffiths. 2019. Assessing vulnerability of bycatch species in the tuna purse-seine fisheries of the eastern Pacific Ocean. Fisheries Research 219: 105316
- Fiedler, P., and M. Lavín. 2017. Oceanographic Conditions of the Eastern Tropical Pacific. In P. W. Glynn, D. P. Manzello, and I. C. Enochs (eds.), *Coral Reefs of the Eastern Tropical Pacific: Persistence and Loss in a Dynamic Environment*, p. 59-83. Springer, Netherlands.
- Fiedler, P.C. 2002. Environmental change in the eastern tropical Pacific Ocean: review of ENSO and decadal variability. Administrative Report LJ-02-16. Southwest Fisheries Science Center. Pages 38. National Marine Fisheries Service, NOAA, La Jolla, CA.

Fu, D., M.-J. Roux, S. Clarke, M. Francis, A. Dunn, S. Hoyle, and C. Edwards. 2018. Pacific-wide sustainability risk assessment of bigeye thresher shark (*Alopias superciliosus*). WCPFC-SC13-2017/SA-WP-11. Rev 3 (11 April 2018). *Western and Central Pacific Fisheries Commission. Scientific Committee Thirteenth Regular Session*, Rarotonga, Cook Islands.

Griffiths, S.P., and N. Lezama-Ochoa. 2021. A 40-year chronology of the vulnerability of spinetail devil ray (*Mobula mobular*) to eastern Pacific tuna fisheries and options for future conservation and management. *Aquatic Conservation: Marine and Freshwater Ecosystems* 31(10): 2910-2925.

Hare, S.R., and N.J. Mantua. 2000. Empirical evidence for North Pacific regime shifts in 1977 and 1989. *Progress in Oceanography* 47: 103-145.

Hobday, A.J., and J.R. Hartog. 2014. Derived Ocean Features for Dynamic Ocean Management. *Oceanography* 27(4): 134-145.

Lennert-Cody, C.E., S.C. Clarke, A. Aires-da-Silva, M.N. Maunder, P.J.S. Franks, M.H. Román, A.J. Miller, and M. Minami. 2018. The importance of environment and life stage on interpretation of silky shark relative abundance indices for the equatorial Pacific Ocean. *Fisheries Oceanography*: 1-11

Mantua, N.J., S.R. Hare, Y. Zhang, J.M. Wallace, and R.C. Francis. 1997. A Pacific interdecadal climate oscillation with impacts on salmon production. *Bulletin of the American Meteorological Society* 78: 1069-1079.

Martínez-Ortiz, J., A. Aires-da-Silva, C.E. Lennert-Cody, and M.N. Maunder. 2015. The Ecuadorian artisanal fishery for large pelagics: species composition and spatio-temporal dynamics. *PLoS ONE* 10(8): e0135136.

Pons, M., J.T. Watson, D. Ovando, S. Andraka, S. Brodie, A. Domingo, M. Fitchett, R. Forselledo, M. Hall, E.L. Hazen, J.E. Jannot, M. Herrera, S. Jiménez, D.M. Kaplan, S. Kerwath, J. Lopez, J. McVeigh, L. Pacheco, L. Rendon, K. Richerson, R. Sant'Ana, R. Sharma, J.A. Smith, K. Somers, and R. Hilborn. 2022. Trade-offs between bycatch and target catches in static versus dynamic fishery closures. *Proceedings of the National Academy of Sciences* 119(4): e2114508119.